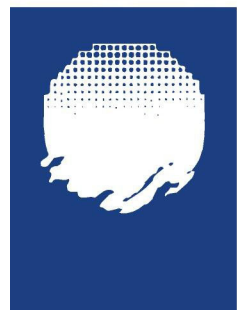


# 2021

## **Boletín del Observatorio del Ebro Observaciones ionosfericas**

**ISSN: 1885-9674**





Observatori  
de  
l'Ebre

BOLETÍN DEL  
OBSERVATORIO DEL EBRO

**Observaciones Ionosféricas  
2021**

VOL. CIX

*La reducció dels ionogrames, tabulació i preparació de les dades i gràfiques ha estat a càrrec de: D. Altadill i G. Solé.*

*Suport informàtic: O. Cid.*

*Coordinació i direcció: D. Altadill.*

**ISSN: 1885-9674**

## 1 INTRODUCCIÓ

L'activitat de la secció ionosfèrica de l'Observatori de l'Ebre s'inicià de forma oficial el 26 de març de 1955. De llavors ençà s'han efectuat els sondejos ionosfèrics regularment, agrupant-se les dades en els diferents butlletins que s'han publicat al llarg dels anys.

Aquest butlletí és un resum de les mesures realitzades entre l'1 de gener i el 31 de desembre de 2021 a l'estació ionosfèrica de l'Observatori de l'Ebre.

La presentació de les dades en aquest butlletí és principalment gràfica. Per a cada mes es presenten les gràfiques dels valors horaris dels següents paràmetres ionosfèrics:  $foF2$ ,  $M(3000)F2$ ,  $foE$ ,  $h'E$ ,  $fmin$  i  $h'F$ , juntament amb una taula resum dels valors de les medianes horàries mensuals.

## 2 SITUACIÓ DE L'OBSERVATORI DE L'EBRE

L'Observatori de l'Ebre està situat en el cim d'un petit turó a 50 m. per sobre del nivell del mar. Les coordenades geogràfiques són: Latitud  $40^{\circ} 49' 14''$  N., Longitud  $0^{\circ} 29' 36''$  E. I les geomagnètiques: Latitud  $42^{\circ} 51' 30''$  N., Longitud  $81^{\circ} 35' 35''$  E. calculades a partir de la 12a generació de l'IGRF per a l'època 2017,5.

## 3 INSTRUMENTACIÓ

Tipus: Sondejador ionosfèric digital DPS-4D.

Freqüències explorades: ajustable de 0.5 fins a 30 MHz.

Duració dels impulsos: 533  $\mu$ s.

Recurrència dels impulsos: 100 i 200 pps.

Potència d'emissió (en pic): 300Kw.

Duració del sondeig: variable, de 2 fins a 200 s, dependent de la darrera freqüència del sondeig, temps d'integració, etc.

Marques en altura<sup>(\*)</sup> : cada 2.5 km.

Amplitud de l'escala d'altures<sup>(\*)</sup>: variable de 77.5 fins a 1357.5 km.

Escala de freqüències: lineal.

Marques de freqüències<sup>(\*)</sup>: cada 0.025 MHz.

Freqüència dels sondejos: almenys un cada hora.

Les hores estan expressades en Temps Universal (T.U.)

(\*) En les condicions normals de treball per als sondejos verticals.

## 4 TERMINOLOGIA

En la terminologia, símbols, precisió de les mesures i tractament estadístic se segueixen les recomanacions de la U.R.S.I., publicades en el REPORT UAG-23 del World Data Center A.

## 5 PARÀMETRES MESURATS

$fmin$  Freqüència més baixa per a la qual apareixen reflexions.

$h'E1$

$h'Es$  Altura virtual de la traça corresponent al raig ordinari de les capes  $E1$ ,  
 $h'F1$   $Es$ ,  $F1$  i  $F2$  respectivament.

$h'F2$

$foE1$

$foEs$  Freqüència crítica del raig ordinari corresponent a les capes,  $E1$ ,  $Es$ ,  $F1$   
 $foF1$  i  $F2$  respectivament.

$foF2$

<i>fb</i> <i>Es</i>	Freqüència del raig ordinari de la capa <i>Es</i> , per la que aquesta deixa de ser ocultant i permet observar les capes superiors (únicament es dona en les taules si la capa <i>Es</i> és ocultant).
<i>M(3000)F2</i>	Quantitat per la qual cal multiplicar la freqüència crítica per tal d'obtenir la màxima freqüència emprable per a un trajecte de 3000 km amb una única reflexió a la capa <i>F</i> .
Tipus d' <i>Es</i>	Com s'ha indicat, s'utilitzen els tipus definits per la U.R.S.I. que es caracteritzen per lletres minúscules: els tipus que s'acostumen a enregistrar a l'Observatori de l'Ebre són:
<i>l</i> (low)	<i>Es</i> baixa: apareix per sota de la capa <i>EI</i> quan aquesta és visible en el ionograma. Quan no ho és, per ser hora nocturna o ser la capa <i>Es</i> ocultant, es denomina <i>l</i> a la capa <i>Es</i> amb altura virtual més petita o igual a 100 km.
<i>c</i> (cusp)	<i>Es</i> en cúspide: apareix com continuació de la capa <i>EI</i> , de la que la separa una cúspide deguda al retard de grup; la cúspide és simètrica en totes dues branques, i les altures virtuals de les capes <i>EI</i> i <i>Es</i> són similars.
<i>h</i> (high)	<i>Es</i> alta: apareix també a continuació de la capa <i>EI</i> i separada d'ella per una cúspide deguda al retard de grup; es diferencia de l'anterior en el fet que l'altura virtual de la capa <i>Es</i> és superior a la de la capa <i>EI</i> i la cúspide no és simètrica en totes dues branques.
<i>f</i> (flat)	<i>Es</i> plana: a les nits, quan no apareix <i>EI</i> i, per tant, no es pot determinar si l'altura virtual de la capa <i>Es</i> és similar o superior a la de la capa <i>EI</i> , es denomina <i>f</i> a tota <i>Es</i> que no varia d'altura en variar la freqüència i l'altura virtual de la qual és superior als 100 km.

La xifra que segueix al tipus de capa *Es* indica el nombre de reflexions múltiples si existeixen. Quan apareix més d'un tipus de capa *Es* la freqüència i altura donades a les taules corresponen al primer tipus de capa que es presenta a la taula de tipus de capes *Es*.

## 5.1 PRECISIÓ DE LES MESURES

Les freqüències crítiques es procuren donar amb un error menor de 0,1 MHz., mentre que per a les altures és menor de 5 km.

Si la precisió de la mesura està impedida per algun fenomen (absorció, reflexions difuses, etc.) i l'error és menor del 2%, la xifra va seguida d'un símbol que expressa la causa de la incertesa.

Si la incertesa està compresa entre el 2 i el 5%, la xifra va precedida d'un símbol qualificatiu i seguida d'un símbol descriptiu que explica la raó de la imprecisió.

Si la imprecisió és superior al 5%, el valor ve substituït per un símbol descriptiu.

## 5.2 SÍMBOLS DESCRIPTIUS

Les lletres símbols serveixen per a explicar l'absència de valor numèric o la causa i grau de la imprecisió. Sempre s'escriuen amb lletres majúscules.

Els símbols descriptius segueixen al valor numèric o el substitueixen, i són els següents:

- A** Mesura influenciada o impossibilitada per la presència d'una capa inferior ocultant.
- B** Mesura influenciada o impossibilitada per l'absorció en la proximitat de *fmin*.
- C** Mesura influenciada o impossibilitada per qualsevol causa no ionosfèrica.
- D** Mesura influenciada o impossibilitada per ser el valor superior als límits del ionograma.
- E** Mesura influenciada o impossibilitada per ser el valor inferior als límits del ionograma.
- F** Mesura influenciada o impossibilitada per la presència d'ecos difusos.
- G** Mesura influenciada o impossibilitada per ser la ionització de la capa petita en comparació amb la d'una capa inferior, cosa que impedeix efectuar la mesura amb precisió, verbigràcia, quan la *foF2* és pròxima a la *foFI* o inferior. Serveix també per a indicar l'absència d'*Es* en els ionogrames diürns.
- H** Mesura influenciada o impossibilitada per aparèixer estratificació.
- L** Mesura influenciada o impossibilitada per no presentar la traça una clara distinció entre les capes *F1* i *F2*.

- M** Mesura incerta per no presentar distinció entre el raig ordinari i l'extraordinari.
- N** Mesura impossibilitada per fenòmens anòmals.
- Q** Mesura influenciada o impossibilitada per la presència de difusió en altura.
- R** Mesura influenciada o impossibilitada per la presència d'absorció desviant en les proximitats de la freqüència crítica.
- S** Mesura influenciada o impossibilitada per interferències.
- V** Mesura influenciada o impossibilitada per la presència de bifurcations anòmals en les proximitats de la freqüència crítica.
- W** Mesura influenciada o impossibilitada pel fet que la traça està per sobre de l'escala d'altures del ionograma.
- Y** Mesura de la freqüència crítica de la capa *Es* dificultada o impossibilitada per la presència de trases intermitents
- Z** Mesura influenciada per la presència de la probable tercera component magnetoionònica.

### 5.3 SÍMBOLS QUALIFICATIUS

Les lletres símbols serveixen per a explicar la causa i grau de la incertesa. Sempre s'escriuen amb lletres majúscules.

Els símbols qualificatius precedeixen al valor numèric, i són els següents:

- D** Valor superior al valor numèric donat (precisió entre el 2 i el 5%).
- E** Valor inferior al valor numèric donat (precisió entre el 2 i el 5%).
- I** Valor reemplaçat per un valor interpolat.
- J** Valor deduït del raig extraordinari.
- T** Valor deduït d'una sèrie de ionogrames pròxims, no existint o essent dubtos el valor corresponent.
- U** Valor numèric dubtos (precisió entre el 2 i el 5%).

### 6. INFORMACIÓ ADDICIONAL

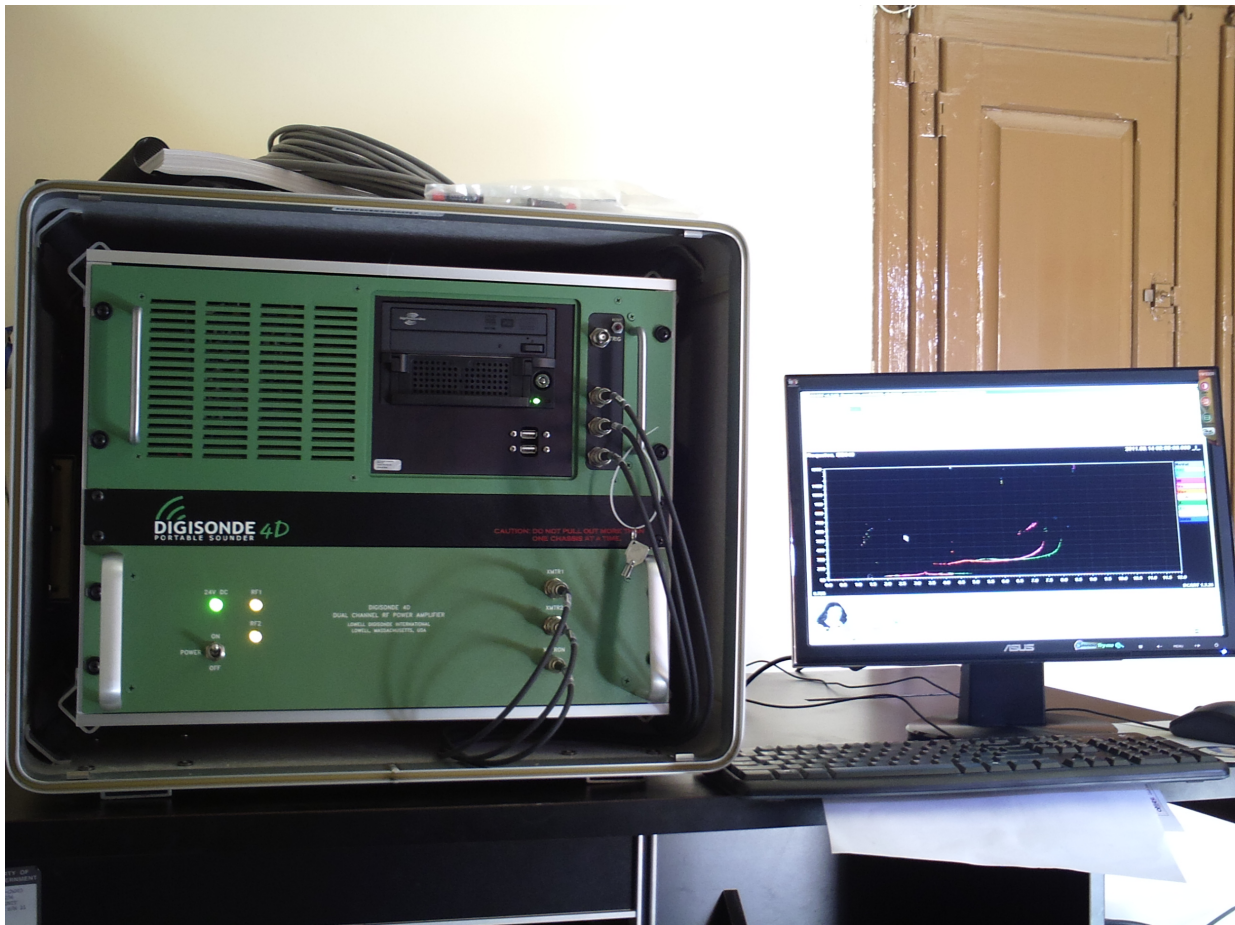
Seguint el nou format del butlletí, únicament es publiquen les característiques generals de l'Observatori i del sondejador, gràfiques dels valors horaris dels principals paràmetres ionosfèrics, taules de les medianes mensuals amb el nombre de valors emprats en el càlcul i les gràfiques corresponents.

La reducció dels ionogrames s'ha efectuat amb el programari SAO-Explorer (<http://ulcar.uml.edu/SAO-X/SAO-X.html>), amb control manual.

S'ha digitalitzat la sèrie completa de valors horaris, que comprèn els anys des de 1955 fins a 2021. Aquestes dades seran distribuïdes, prèvia petició, a qui ho demani. Per a més informació, contacteu amb:

Observatori de l'Ebre  
Carrer Observatori, 3A  
43520 Roquetes. (Tarragona)

Telefon: 977 50 05 11  
E-mail: ionosfera@obsebre.es  
Pàgina web: <http://www.obsebre.es>



## 1 INTRODUCCIÓN

La actividad de la sección ionosférica del Observatori de l'Ebre se inició de forma oficial el 26 de marzo de 1955. Desde entonces se han efectuado los sondeos ionosféricos regularmente, agrupándose los datos en los diferentes boletines que se han publicado a lo largo de los años.

Este boletín es un resumen de las medidas realizadas entre el 1 de enero y el 31 de diciembre de 2021 en la estación ionosférica del Observatori de l'Ebre.

La presentación de los datos en este boletín es principalmente gráfica. Para cada mes se presentan las gráficas de los valores horarios de los siguientes parámetros ionosféricos:  $foF2$ ,  $M(3000)F2$ ,  $foE$ ,  $h'E$ ,  $fmin$  y  $h'F$ , junto con una tabla resumen de los valores de las medianas horarias mensuales.

## 2 SITUACIÓN DEL OBSERVATORI DE L'EBRE

El Observatori de l'Ebre está situado en una pequeña colina a 50 m. sobre el nivel del mar. Sus coordenadas geográficas son: Latitud  $40^{\circ} 49' 14''$  N., Longitud  $0^{\circ} 29' 36''$  E. Y las geomagnéticas: Latitud  $42^{\circ} 51' 30''$  N., Longitud  $81^{\circ} 35' 35''$  E., calculadas a partir de la 12<sup>a</sup> generación del IGRF para la época 2017,5.

## 3 INSTRUMENTACIÓN

Tipo: Sondeador ionosférico digital DPS -4D.

Frecuencias exploradas: ajustable de 0.5 a 30 MHz.

Duración de los impulsos: 533  $\mu$ s.

Recurrencia de los impulsos: 100 y 200 pps.

Potencia de emisión (en cresta): 300 W.

Duración del sondeo: variable, de 2 a 200 s, dependiendo de la última frecuencia elegida para el sondeo, tiempo de integración, etc.

Marcas de altura (\*): cada 2.5 Km

Amplitud de la escala de alturas (\*): variable de 77.5 a 1357.5 km.

Escala de frecuencias: lineal.

Marcas de frecuencias (\*): cada 0.025 MHz.

Frecuencia de los sondeos: al menos uno cada hora.

Las horas están dadas en Tiempo Universal (T.U.)

(\*) En las condiciones normales de trabajo para los sondeos verticales.

## 4 TERMINOLOGÍA

En la terminología, símbolos, precisión de las medidas y tratamiento estadístico se siguen las recomendaciones de la U.R.S.I. publicadas en el REPORT UAG-23 del World Data Center A.

## 5 PARÁMETROS MEDIDOS.

$fmin$  Frecuencia más baja en la que aparecen ecos.

$h'E1$

$h'Es$  Altura virtual del trazo correspondiente al rayo ordinario de las capas  $E1$ ,  
 $h'F1$   $Es$ ,  $F1$  y  $F2$  respectivamente

$h'F2$

$foE1$

$foEs$

$foF1$

$foF2$

Frecuencia crítica del rayo ordinario correspondiente a las capas,  $E1$ ,  $Es$ ,  $F1$  y  $F2$   
respectivamente.

<i>fb</i> <i>Es</i>	Frecuencia del rayo ordinario de la capa <i>Es</i> , a la que esta deja de ser ocultante y permite observar las capas superiores (sólo se da en las tablas cuando la <i>Es</i> es ocultante).
<i>M(3000)F2</i>	Cantidad por la que hay que multiplicar la frecuencia crítica para obtener la máxima frecuencia utilizable para el trayecto de 3000 km con una sola reflexión en la capa <i>F</i> .
Tipos de <i>Es</i>	Como se ha indicado se utilizan los tipos definidos por la U.R.S.I. que se caracterizan por letras minúsculas: los tipos que aparecen en el Observatorio del Ebro son:
<i>l</i> (low)	<i>Es</i> baja: aparece por debajo de la capa <i>EI</i> cuando esta es visible en el ionograma. Cuando no lo es, por ser hora nocturna o ser la <i>Es</i> ocultante se denomina <i>l</i> a la <i>Es</i> con altura virtual menor o igual de 100 km.
<i>c</i> (cusp)	<i>Es</i> en cúspide: aparece como continuación de <i>EI</i> de la que la separa una cúspide debida al retardo de grupo; la cúspide es simétrica en ambas ramas, y las alturas virtuales de <i>EI</i> y <i>Es</i> son parecidas.
<i>h</i> (high)	<i>Es</i> alta: aparece también a continuación de la <i>EI</i> y separada de ella por una cúspide debida al retardo de grupo; se diferencia de la anterior en que la altura virtual de <i>Es</i> es superior a la de <i>EI</i> y la cúspide no es simétrica en ambas ramas.
<i>f</i> (flat)	<i>Es</i> llana: por las noches cuando no aparece <i>EI</i> y, por tanto, no se puede determinar si la altura virtual de la <i>Es</i> es semejante o superior a la de <i>EI</i> , se denomina <i>f</i> a toda <i>Es</i> que no varía de altura al variar la frecuencia y cuya altura virtual es superior a los 100 km.

La cifra que sigue al tipo de *Es* indica el número de reflexiones múltiples si existen. Cuando aparece más de un tipo de *Es* la frecuencia y altura dadas en las tablas corresponden al primer tipo de *Es* que se da en la tabla de tipos de *Es*.

## 5.1 PRECISIÓN DE LAS MEDIDAS

Las frecuencias críticas se procuran dar con un error menor que 0,1 MHz., mientras que para las alturas es menor que 5 km.

Si la precisión de la medida está impedida por algún fenómeno, absorción, ecos difusos, etc., y el error es menor del 2%, la cifra va seguida de un símbolo que expresa la causa de la imprecisión.

Si la imprecisión está comprendida entre el 2 y el 5%, la cifra va precedida de un símbolo calificativo y seguida de un símbolo descriptivo que explica la razón de la imprecisión.

Si la imprecisión es superior al 5% el valor viene substituido por un símbolo descriptivo.

## 5.2 SÍMBOLOS DESCRIPTIVOS

Las letras símbolos sirven para explicar la ausencia de valor numérico o la causa y grado de la imprecisión. Siempre se escriben en letras mayúsculas.

Los símbolos descriptivos siguen al valor numérico o lo substituyen, y son los siguientes:

- A** Medida influenciada o imposibilitada por la presencia de una capa inferior ocultante.
- B** Medida influenciada o imposibilitada por la absorción en la proximidad de *fmin*.
- C** Medida influenciada o imposibilitada por cualquier causa no ionosférica.
- D** Medida influenciada o imposibilitada por ser el valor superior a los límites del ionograma.
- E** Medida influenciada o imposibilitada por ser el valor inferior a los límites del ionograma.
- F** Medida influenciada o imposibilitada por la presencia de ecos difusos.
- G** Medida influenciada o imposibilitada por ser la ionización de la capa pequeña en comparación con la de una capa inferior, lo que impide efectuar la medida con precisión, verbigracia, cuando la *foF2* es próxima a la *foF1* o inferior. Sirve también para indicar la ausencia de *Es* en los ionogramas diurnos.
- H** Medida influenciada o imposibilitada por aparecer estratificación.
- L** Medida influenciada o imposibilitada por no presentar el trazo una clara distinción entre las capas *F1* y *F2*.

- M** Medida incierta por no presentar distinción entre el rayo ordinario y el extraordinario.
- N** Medida imposibilitada por fenómenos anormales.
- Q** Medida influenciada o imposibilitada por la presencia de difusión en altura.
- R** Medida influenciada o imposibilitada por la presencia de absorción desviante en las proximidades de la frecuencia crítica.
- S** Medida influenciada o imposibilitada por interferencias.
- V** Medida influenciada o imposibilitada por la presencia de bifurcaciones anómalas en las proximidades de la frecuencia crítica.
- W** Medida influenciada o imposibilitada por el hecho de que la traza se encuentra por encima de la escala de alturas del ionograma.
- Y** Medida de la frecuencia crítica de  $E_s$  dificultada o imposibilitada por la presencia de trazos intermitentes.
- Z** Medida influenciada por la presencia de la probable tercera componente magnetoiónica.

### 5.3 SÍMBOLOS CALIFICATIVOS

Las letras símbolos sirven para explicar la causa y grado de la imprecisión. Siempre se escriben en letras mayúsculas.

Los símbolos calificativos preceden al valor numérico, y son los siguientes:

- D** Valor superior al valor numérico dado (precisión entre el 2 y el 5%).
- E** Valor inferior al valor numérico dado (precisión entre el 2 y el 5%).
- I** Valor reemplazado por un valor interpolado.
- J** Valor deducido del rayo extraordinario.
- T** Valor deducido de una serie de ionogramas próximos, no existiendo o siendo dudoso el valor correspondiente.
- U** Valor numérico dudoso (precisión entre el 2 y el 5%).

### 6 INFORMACIÓN ADICIONAL

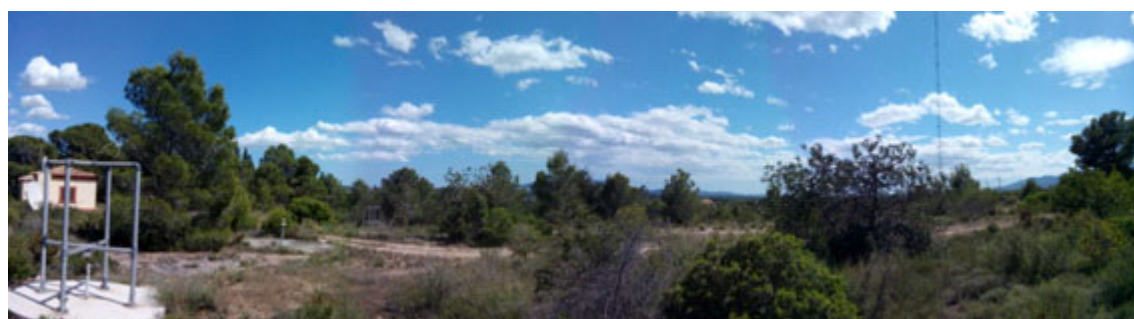
Siguiendo el nuevo formato del boletín, sólo se publican las características generales del observatorio y del sondeador, gráficas de valores horarios de los principales parámetros ionosféricos, las tablas mensuales de las medianas con el número de valores utilizados para su cálculo y sus gráficas correspondientes.

La reducción de los ionogramas se ha efectuado usando el programa SAO-Explorer (<http://ulcar.uml.edu/SAO-X/SAO-X.html>), con control manual.

Se ha digitalizado la serie completa de valores horarios, que comprende los años desde 1955 hasta 2021. Estos datos serán distribuidos, previa petición, a quien lo solicite. Para más información, contáctese con:

Observatori de l'Ebre  
Carrer Observatori, 3A  
43520 Roquetes. (Tarragona)

Teléfono: 977 50 05 11  
E-mail: [ionosfera@obsebre.es](mailto:ionosfera@obsebre.es)  
Página web: <http://www.obsebre.es>



## 6 ADDITIONAL INFORMATION

Following the new format of the bulletin, we only publish the general characteristics of the observatory and the sounder, graphics of the hourly values of the main ionospheric parameters, tables of the monthly median values with counts and their corresponding graphics.

The ionospheric soundings are done by a DPS-4 sounder, which started its operativity on September 9, 2011.

The ionogram scaling was done using the SAO-Explorer (<http://ulcar.uml.edu/SAO-X/SAO-X.html>) software under manual control.

The complete series of hourly values, from 1955 to 2021, has been digitised. Digital data can be supplied under request. For more information, please contact us:

Observatori de l'Ebre  
Carrer Observatori, 3A  
43520 Roquetes. (Tarragona) Spain.

Telephone number: +34 977 50 05 11  
E-mail: [ionosfera@obsebre.es](mailto:ionosfera@obsebre.es)  
Web page: <http://www.obsebre.es>



MEDIANES

MENSUALS

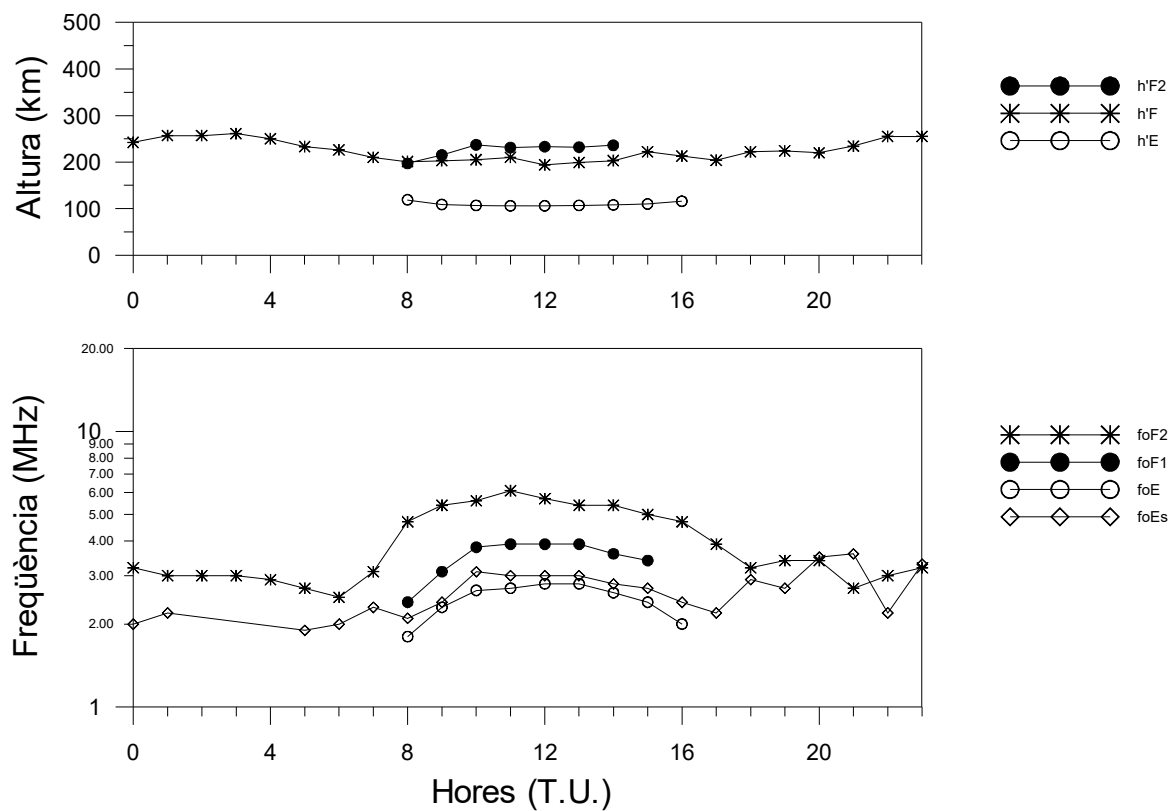
I

GRÀFIQUES.



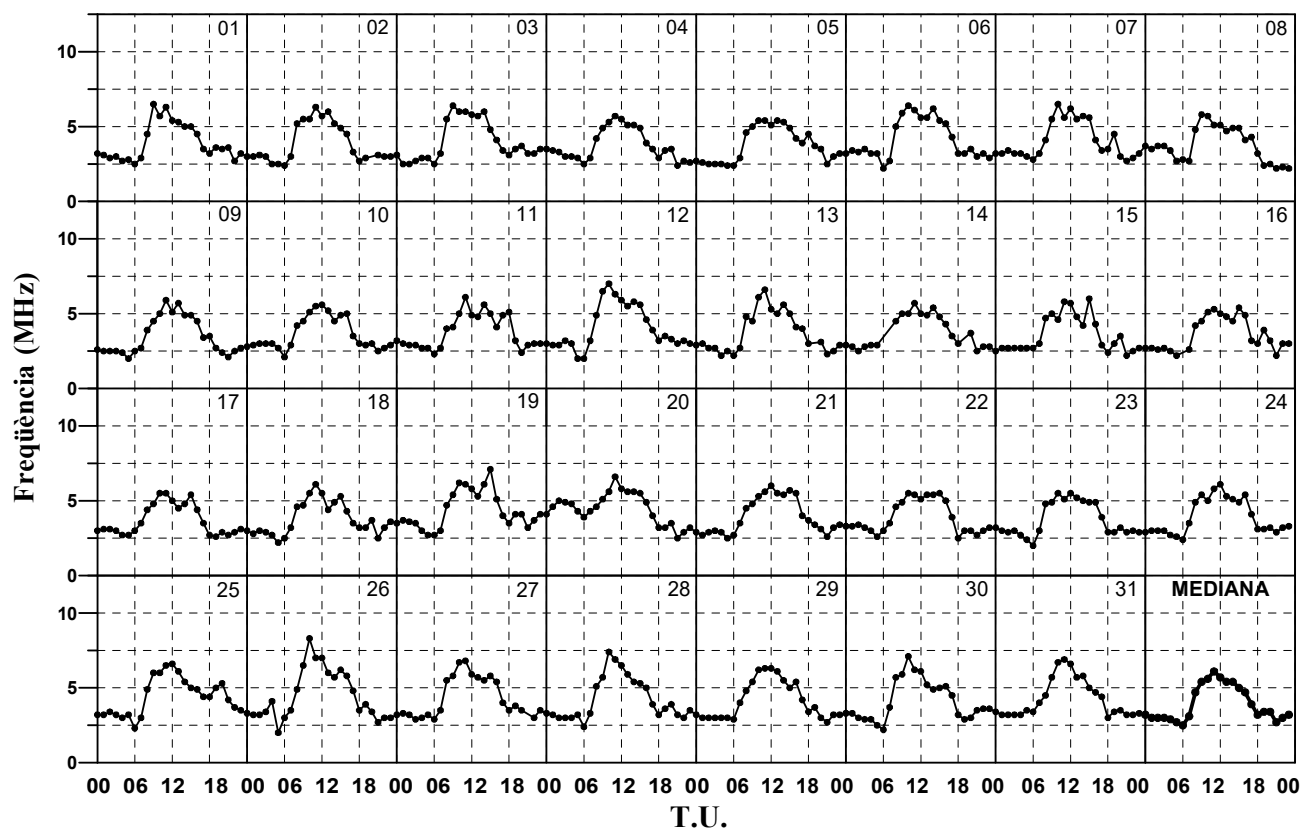
## GENER 2021

Hora T.U.	foF2 MHz	M(3000) F2	h'F2 Km	foF1 MHz	h'F Km	foE MHz	h'E Km	foEs MHz
0	3.2 - 31	3.22 - 31	0 - 0	0.0 - 0	242 - 31	0.00 - 0	0 - 0	2.0 - 9
1	3.0 - 31	3.11 - 31	0 - 0	0.0 - 0	257 - 31	0.00 - 0	0 - 0	2.2 - 5
2	3.0 - 31	3.16 - 31	0 - 0	0.0 - 0	257 - 31	0.00 - 0	0 - 0	0.0 - 0
3	3.0 - 31	3.18 - 31	0 - 0	0.0 - 0	261 - 31	0.00 - 0	0 - 0	0.0 - 0
4	2.9 - 31	3.21 - 31	0 - 0	0.0 - 0	250 - 31	0.00 - 0	0 - 0	0.0 - 0
5	2.7 - 31	3.42 - 31	0 - 0	0.0 - 0	233 - 31	0.00 - 0	0 - 0	1.9 - 6
6	2.5 - 29	3.46 - 29	0 - 0	0.0 - 0	226 - 29	0.00 - 0	0 - 0	2.0 - 9
7	3.1 - 30	3.55 - 30	0 - 0	0.0 - 0	210 - 30	0.00 - 0	0 - 0	2.3 - 7
8	4.7 - 31	3.89 - 31	197 - 5	2.4 - 5	201 - 31	1.80 - 21	119 - 21	2.1 - 15
9	5.4 - 31	3.76 - 31	215 - 6	3.1 - 6	203 - 31	2.30 - 31	109 - 31	2.4 - 18
10	5.6 - 31	3.65 - 31	237 - 10	3.8 - 11	205 - 31	2.65 - 30	107 - 30	3.1 - 13
11	6.1 - 31	3.75 - 31	231 - 23	3.9 - 24	210 - 31	2.70 - 31	106 - 31	3.0 - 14
12	5.7 - 31	3.73 - 31	233 - 23	3.9 - 23	194 - 31	2.80 - 31	106 - 31	3.0 - 19
13	5.4 - 31	3.75 - 31	232 - 23	3.9 - 23	199 - 31	2.80 - 31	107 - 31	3.0 - 11
14	5.4 - 31	3.68 - 31	236 - 6	3.6 - 7	203 - 31	2.60 - 29	108 - 29	2.8 - 19
15	5.0 - 31	3.72 - 31	0 - 0	3.4 - 5	222 - 31	2.40 - 30	110 - 30	2.7 - 20
16	4.7 - 31	3.83 - 31	0 - 0	0.0 - 0	213 - 31	2.00 - 29	116 - 29	2.4 - 21
17	3.9 - 31	3.58 - 31	0 - 0	0.0 - 0	204 - 31	0.00 - 0	0 - 0	2.2 - 13
18	3.2 - 31	3.43 - 31	0 - 0	0.0 - 0	222 - 31	0.00 - 0	0 - 0	2.9 - 17
19	3.4 - 29	3.45 - 29	0 - 0	0.0 - 0	224 - 29	0.00 - 0	0 - 0	2.7 - 15
20	3.4 - 30	3.49 - 30	0 - 0	0.0 - 0	220 - 30	0.00 - 0	0 - 0	3.5 - 17
21	2.7 - 30	3.22 - 30	0 - 0	0.0 - 0	234 - 30	0.00 - 0	0 - 0	3.6 - 11
22	3.0 - 31	3.16 - 31	0 - 0	0.0 - 0	255 - 31	0.00 - 0	0 - 0	2.2 - 14
23	3.2 - 31	3.12 - 31	0 - 0	0.0 - 0	255 - 31	0.00 - 0	0 - 0	3.3 - 6



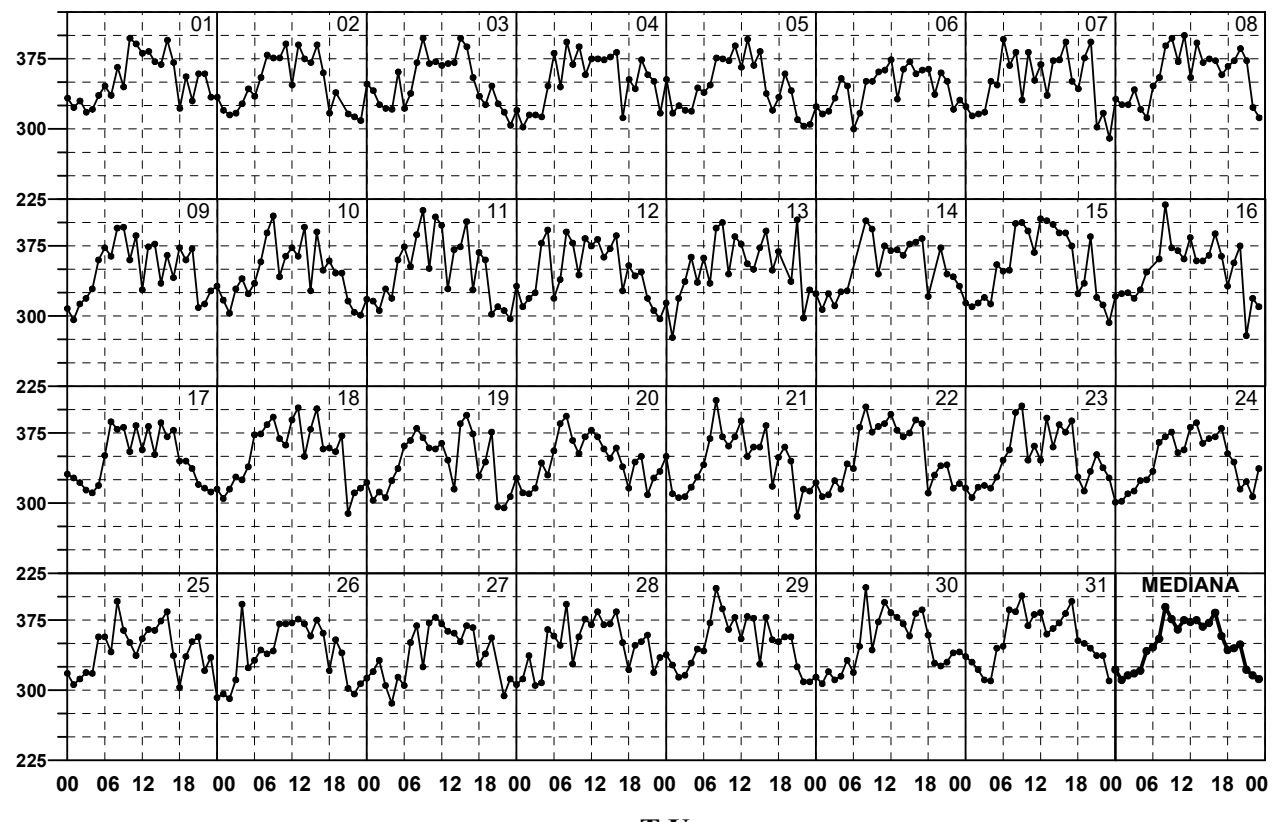
**Gener 2021**

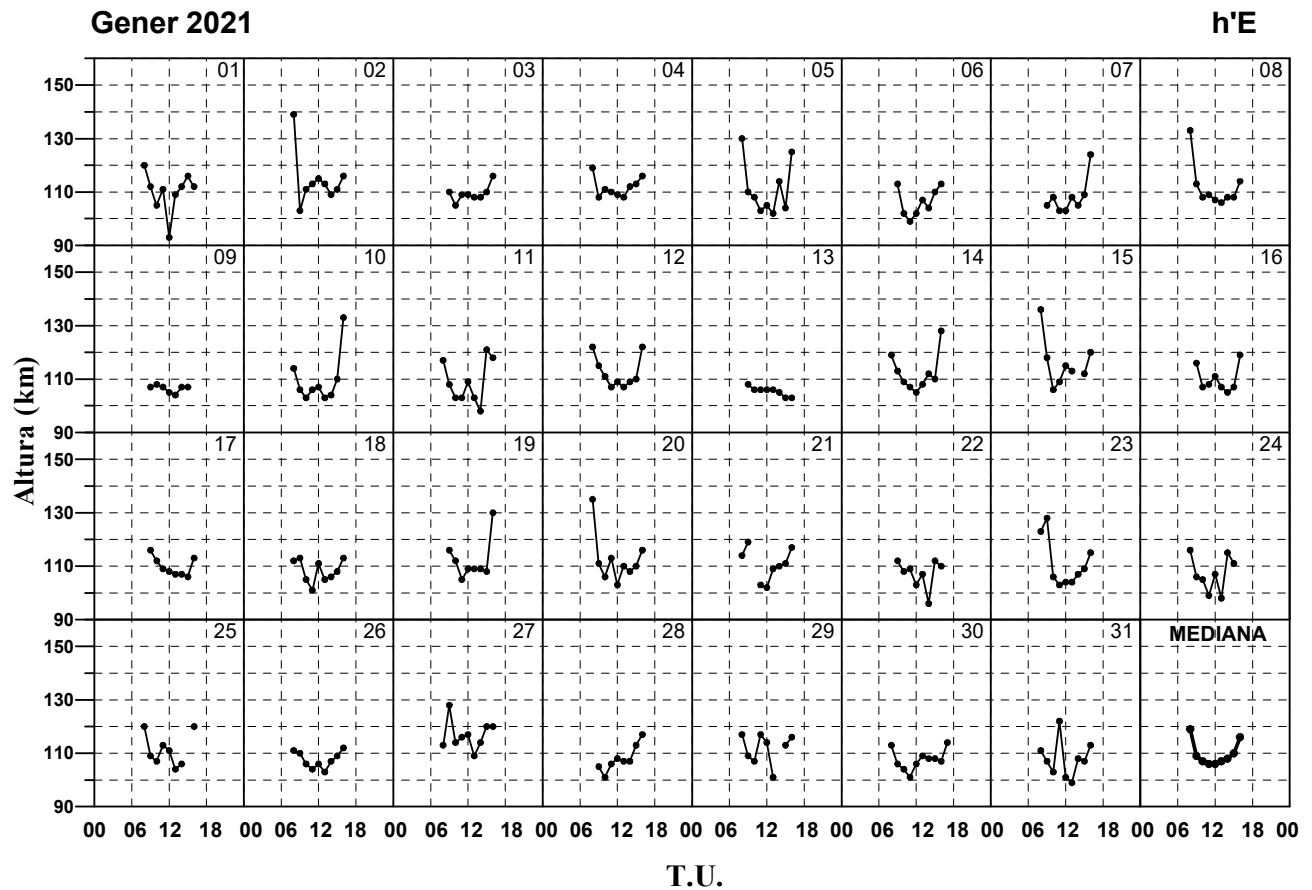
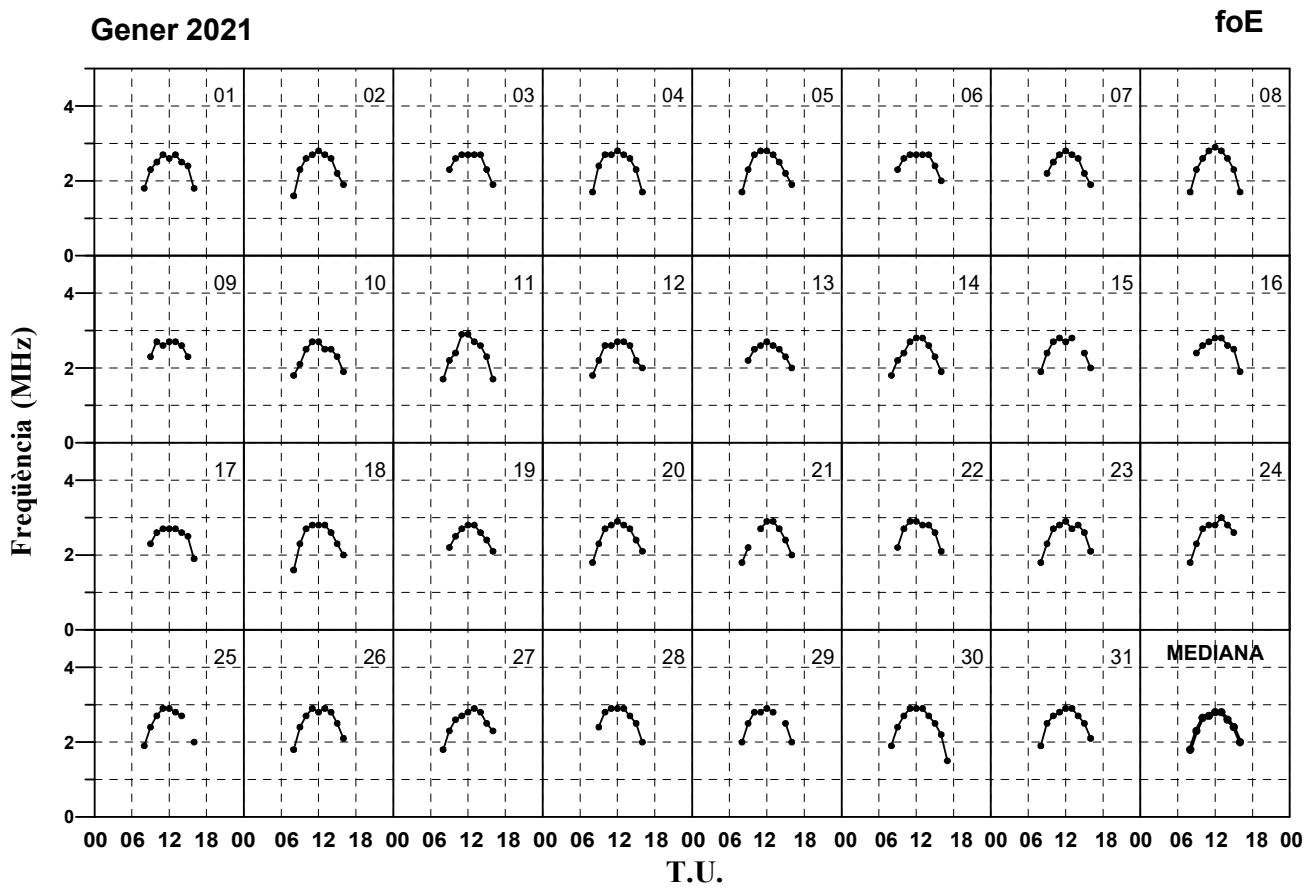
**foF2**



**Gener 2021**

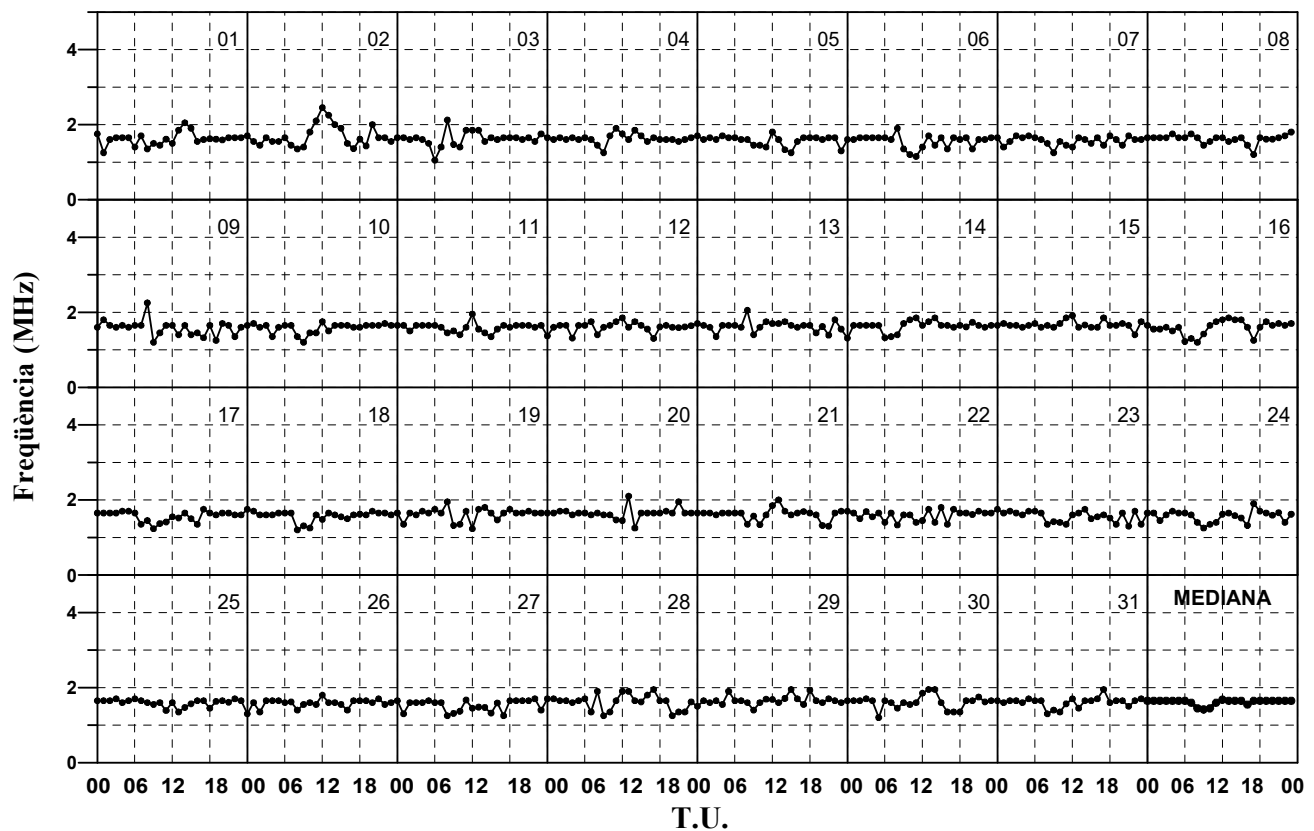
**M(3000)F2**





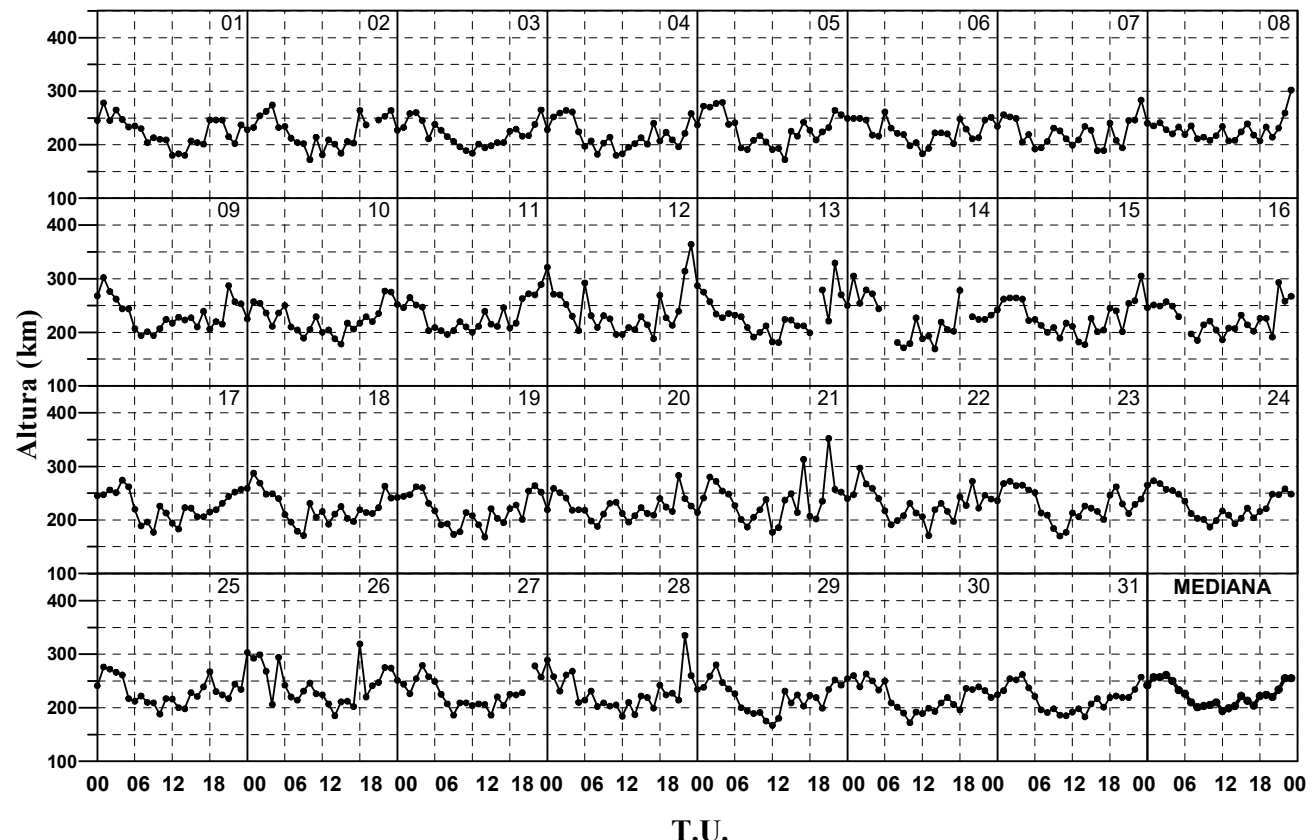
### Gener 2021

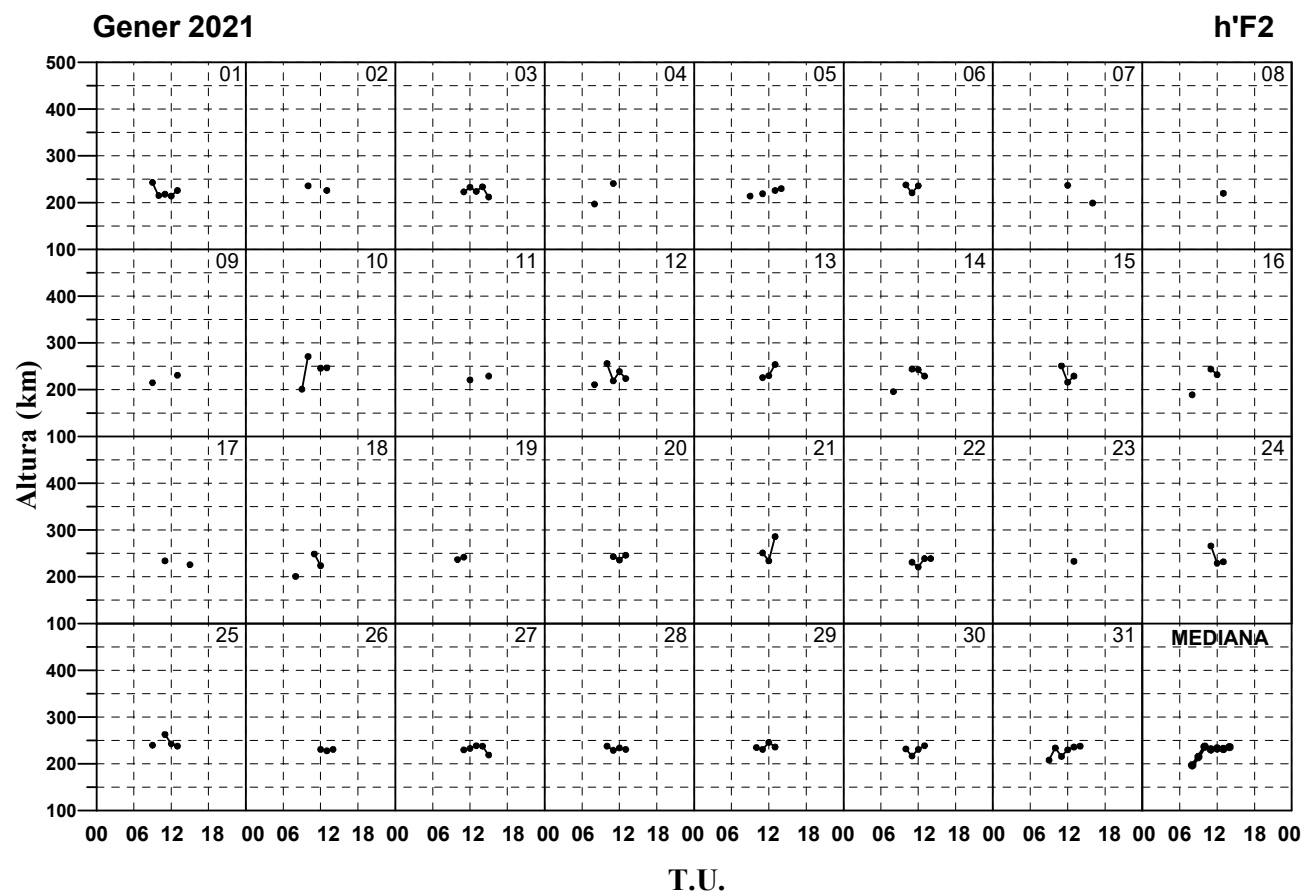
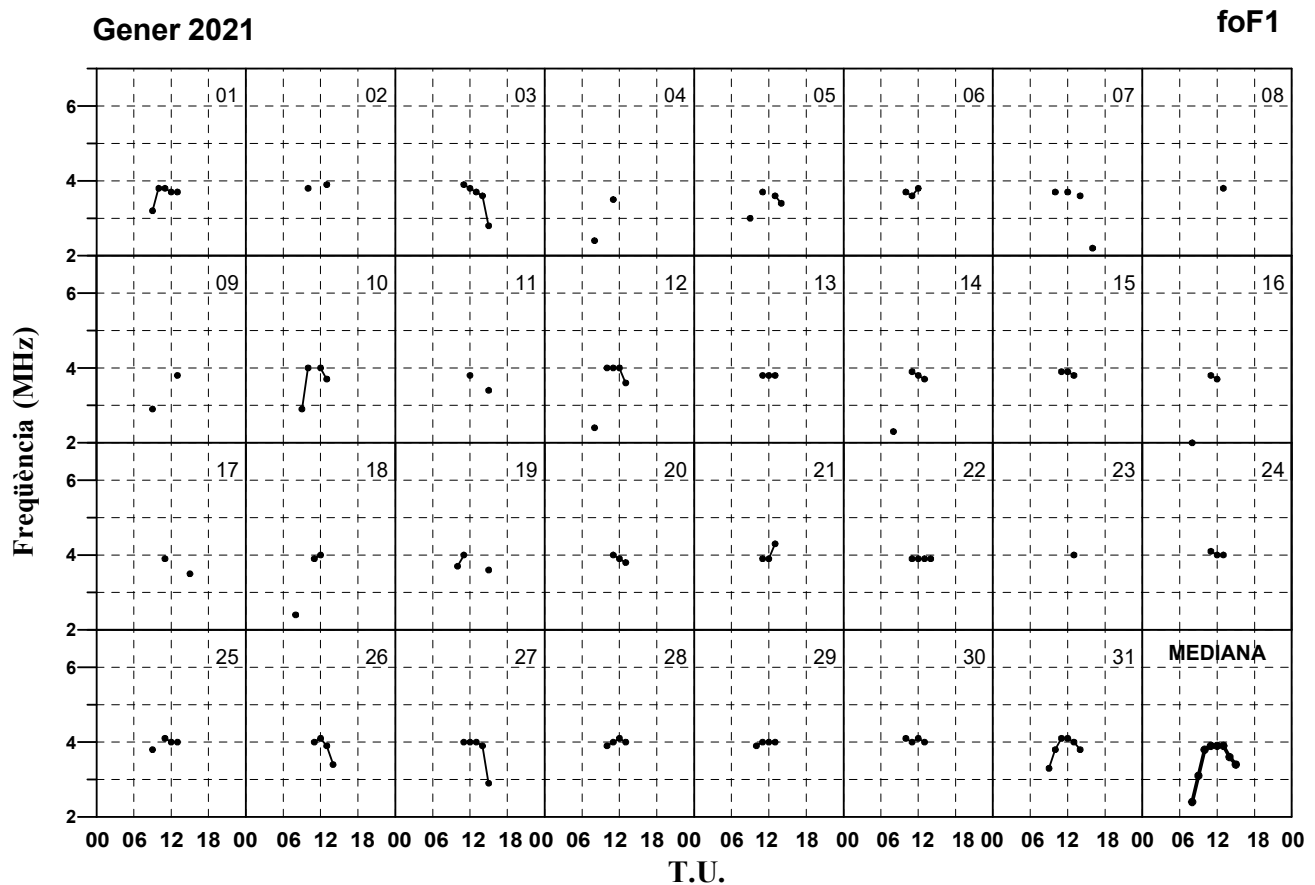
**f min**

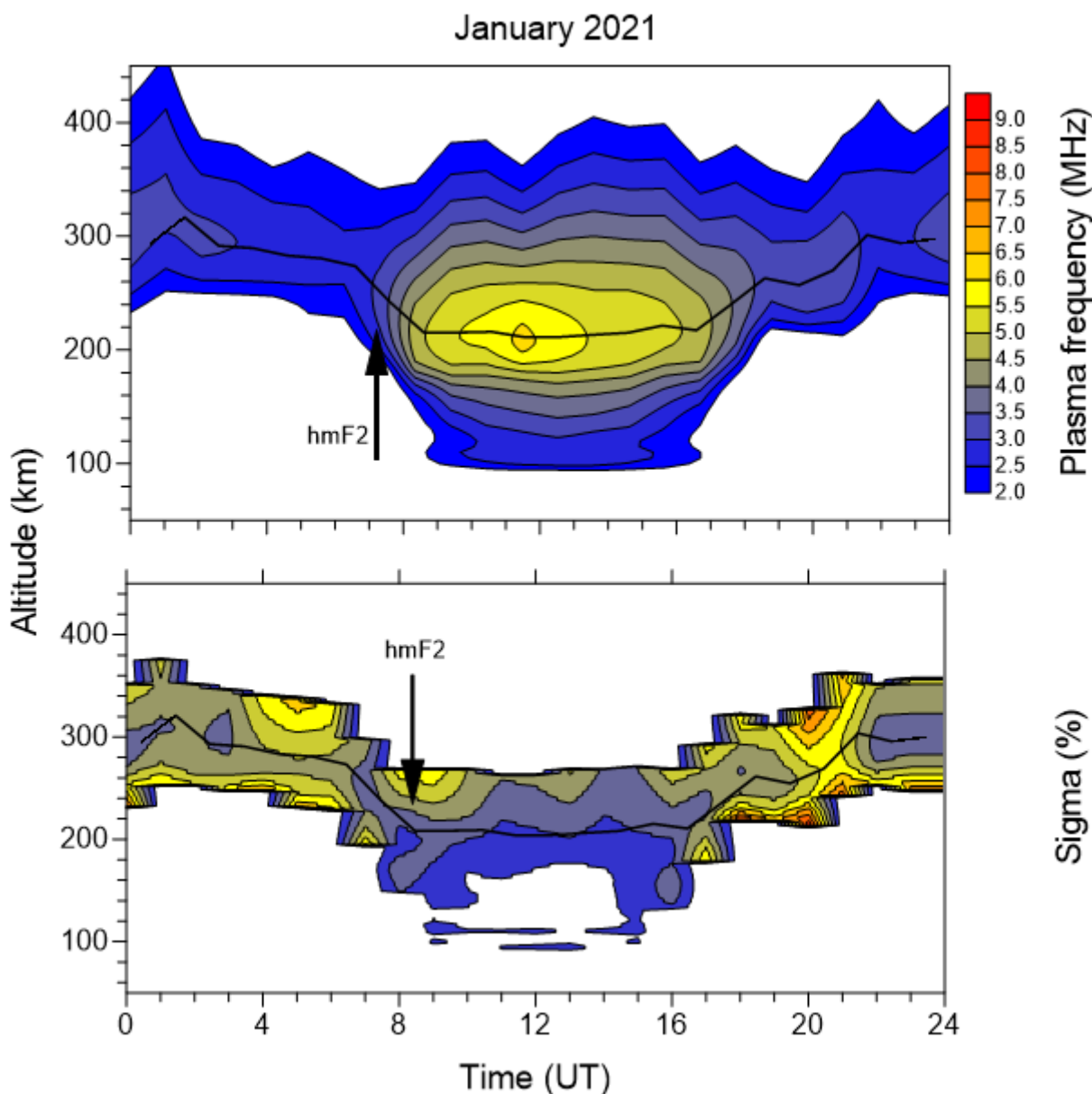


### Gener 2021

**h'F**







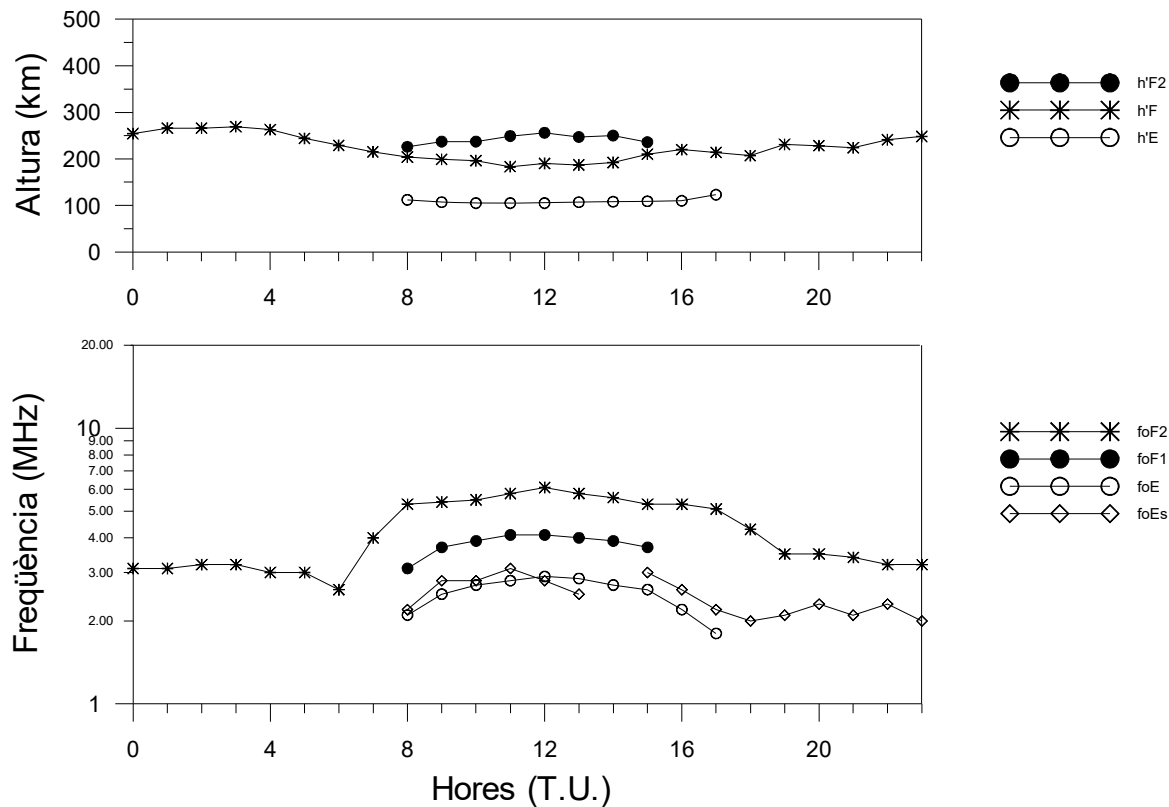
Variació diürna típica de la densitat electrònica (Freqüència de plasma) i la seva desviació estàndard (%) a sobre de l'observatori en funció de l'altura.

Variación diurna típica de la densidad electrónica (Frecuencia de plasma) y su desviación estándar (%) sobre el Observatorio en función de la altura.

Typical daily variation of the electron density (Plasma frequency) and its standard deviations (%) above the Observatory as function of the altitude.

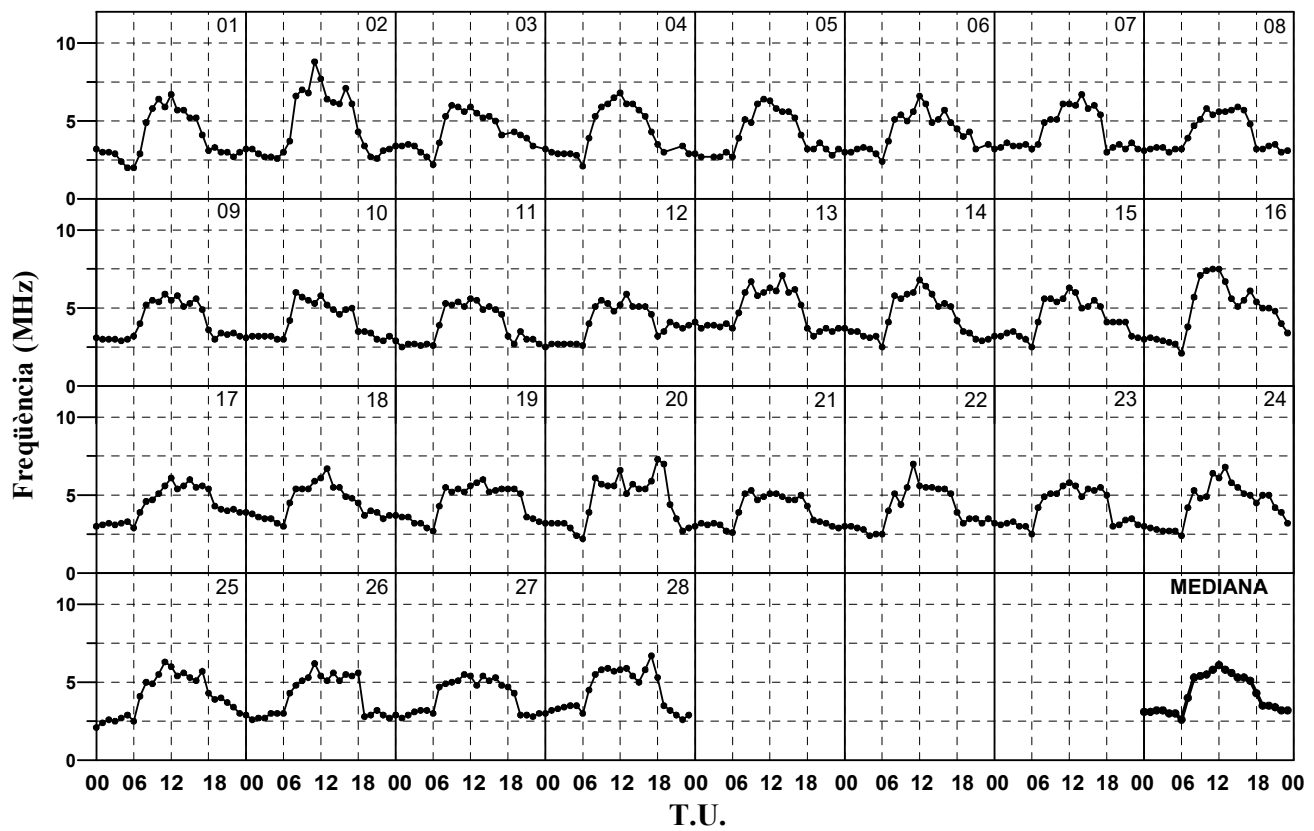
## FEBRER 2021

Hora T.U.	foF2 MHz	M(3000) F2	h'F2 Km	foF1 MHz	h'F Km	foE MHz	h'E Km	foEs MHz
0	3.1 - 28	3.14 - 28	0 - 0	0.0 - 0	254 - 28	0.00 - 0	0 - 0	0.0 - 0
1	3.1 - 28	3.09 - 28	0 - 0	0.0 - 0	266 - 28	0.00 - 0	0 - 0	0.0 - 0
2	3.2 - 27	3.10 - 27	0 - 0	0.0 - 0	266 - 27	0.00 - 0	0 - 0	0.0 - 0
3	3.2 - 28	3.10 - 28	0 - 0	0.0 - 0	269 - 28	0.00 - 0	0 - 0	0.0 - 0
4	3.0 - 28	3.15 - 28	0 - 0	0.0 - 0	263 - 28	0.00 - 0	0 - 0	0.0 - 0
5	3.0 - 28	3.26 - 28	0 - 0	0.0 - 0	244 - 28	0.00 - 0	0 - 0	0.0 - 0
6	2.6 - 28	3.34 - 28	0 - 0	0.0 - 0	229 - 28	0.00 - 0	0 - 0	0.0 - 0
7	4.0 - 28	3.69 - 28	0 - 0	0.0 - 0	215 - 28	0.00 - 0	0 - 0	0.0 - 0
8	5.3 - 28	3.77 - 28	226 - 11	3.1 - 11	204 - 28	2.10 - 26	112 - 26	2.2 - 9
9	5.4 - 28	3.69 - 28	237 - 14	3.7 - 14	199 - 28	2.50 - 27	107 - 27	2.8 - 9
10	5.5 - 28	3.72 - 28	237 - 24	3.9 - 25	196 - 28	2.70 - 28	105 - 28	2.8 - 9
11	5.8 - 28	3.60 - 28	249 - 23	4.1 - 22	183 - 27	2.80 - 25	105 - 25	3.1 - 9
12	6.1 - 28	3.56 - 28	256 - 24	4.1 - 25	190 - 28	2.90 - 26	105 - 26	2.8 - 6
13	5.8 - 28	3.58 - 28	247 - 26	4.0 - 26	187 - 28	2.85 - 28	107 - 28	2.5 - 5
14	5.6 - 28	3.60 - 28	250 - 19	3.9 - 19	192 - 28	2.70 - 27	108 - 27	0.0 - 0
15	5.3 - 28	3.58 - 28	236 - 12	3.7 - 12	210 - 28	2.60 - 27	109 - 27	3.0 - 8
16	5.3 - 28	3.61 - 28	0 - 0	0.0 - 0	220 - 28	2.20 - 27	110 - 27	2.6 - 17
17	5.1 - 28	3.65 - 28	0 - 0	0.0 - 0	214 - 28	1.80 - 16	123 - 16	2.2 - 21
18	4.3 - 27	3.56 - 27	0 - 0	0.0 - 0	207 - 27	0.00 - 0	0 - 0	2.0 - 10
19	3.5 - 28	3.33 - 28	0 - 0	0.0 - 0	231 - 28	0.00 - 0	0 - 0	2.1 - 12
20	3.5 - 27	3.31 - 27	0 - 0	0.0 - 0	228 - 27	0.00 - 0	0 - 0	2.3 - 10
21	3.4 - 27	3.36 - 27	0 - 0	0.0 - 0	224 - 27	0.00 - 0	0 - 0	2.1 - 8
22	3.2 - 27	3.22 - 27	0 - 0	0.0 - 0	241 - 27	0.00 - 0	0 - 0	2.3 - 8
23	3.2 - 27	3.18 - 27	0 - 0	0.0 - 0	248 - 27	0.00 - 0	0 - 0	2.0 - 6



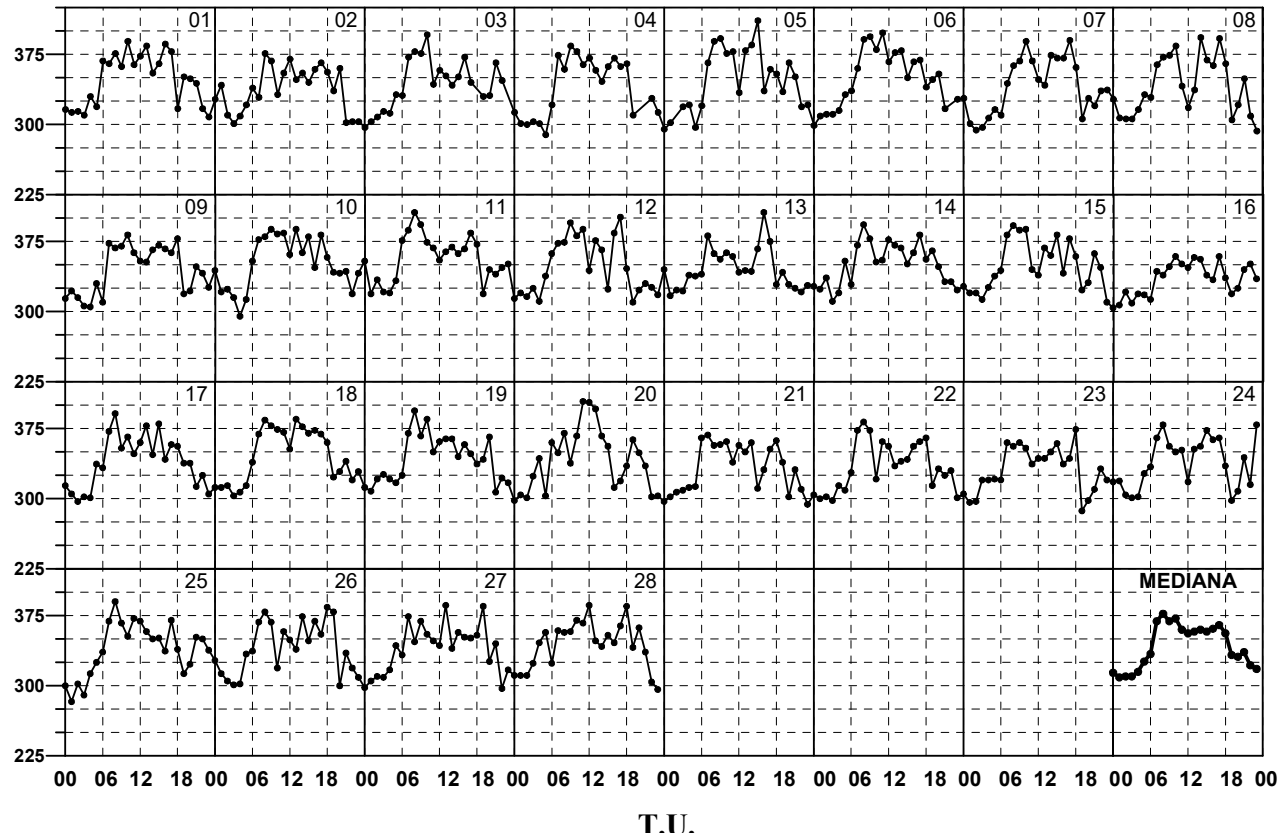
**Febrer 2021**

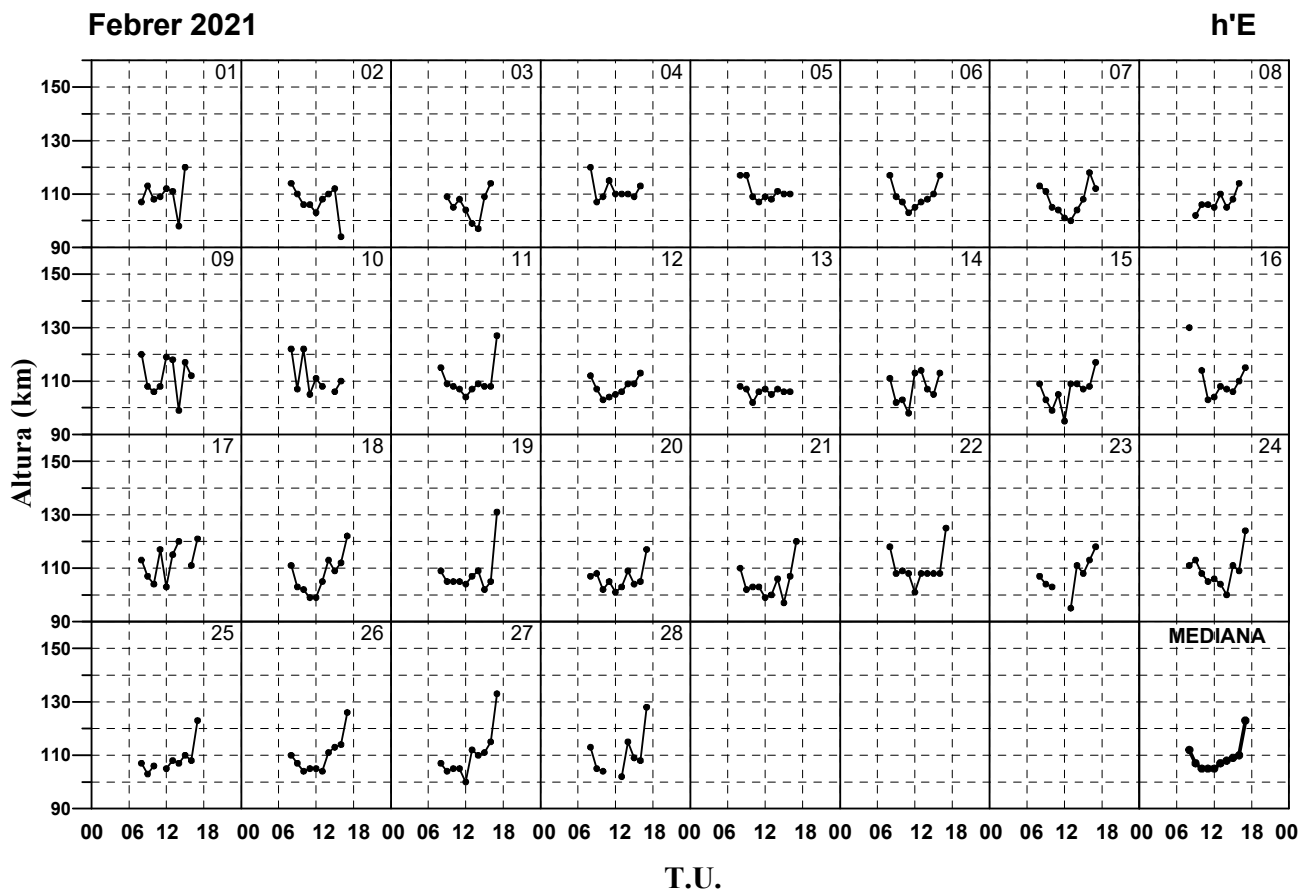
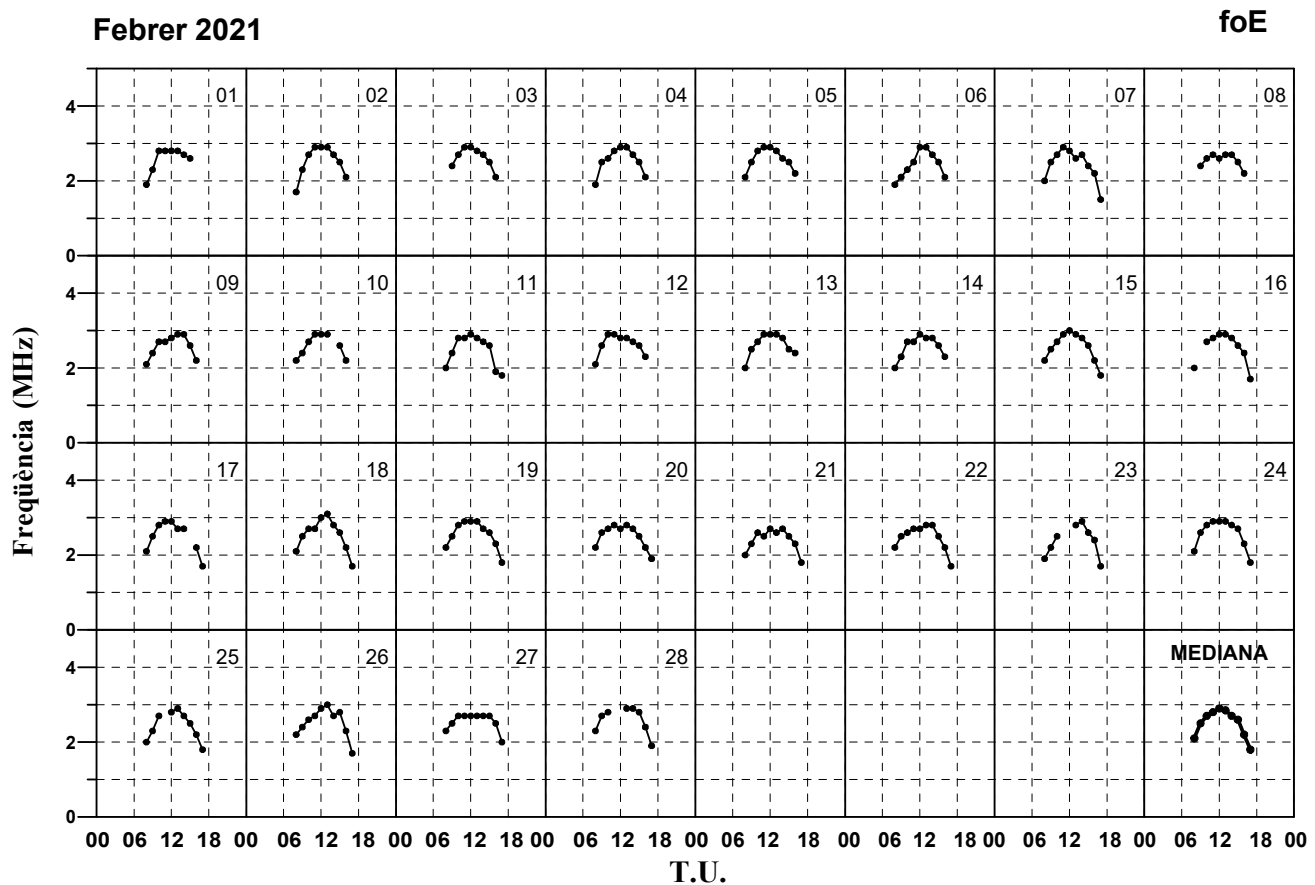
**foF2**



**Febrer 2021**

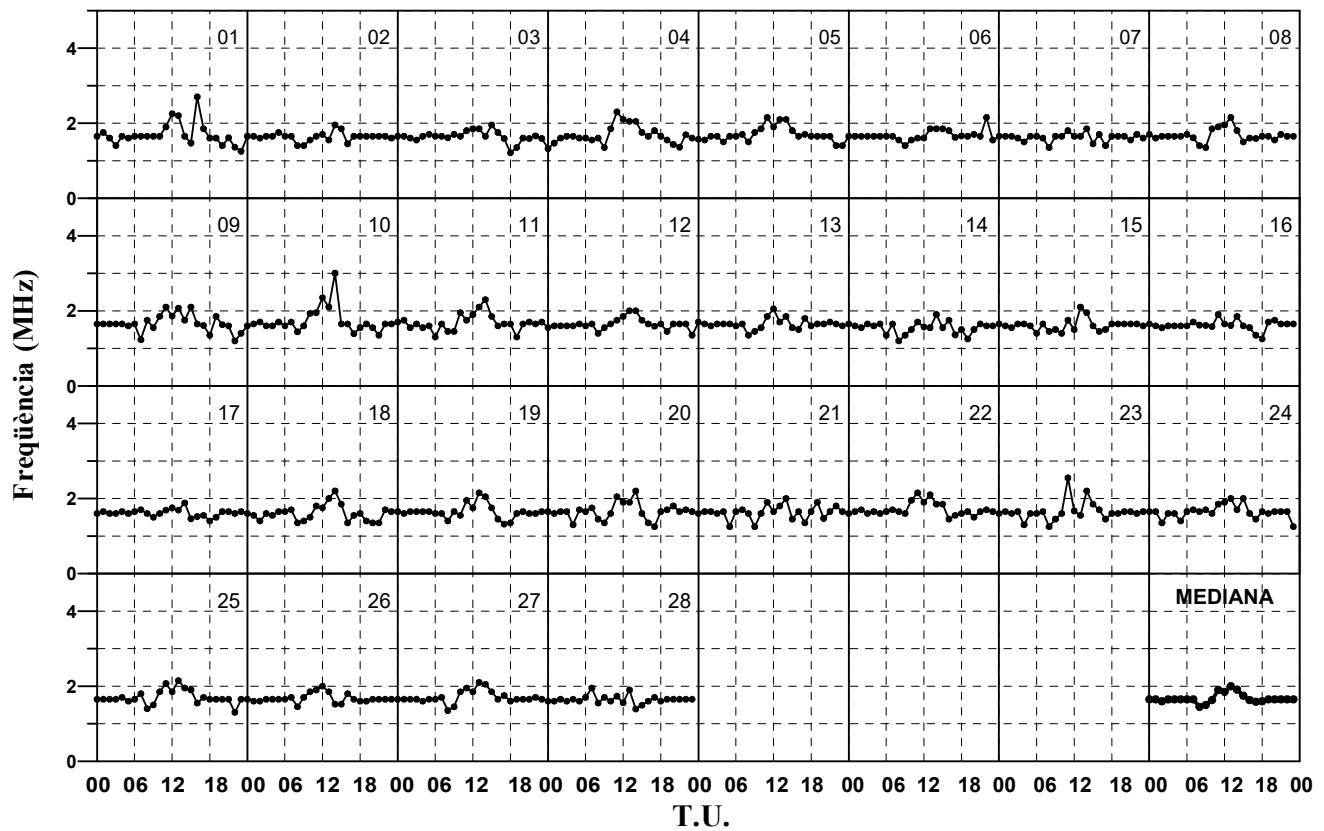
**M(3000)F2**





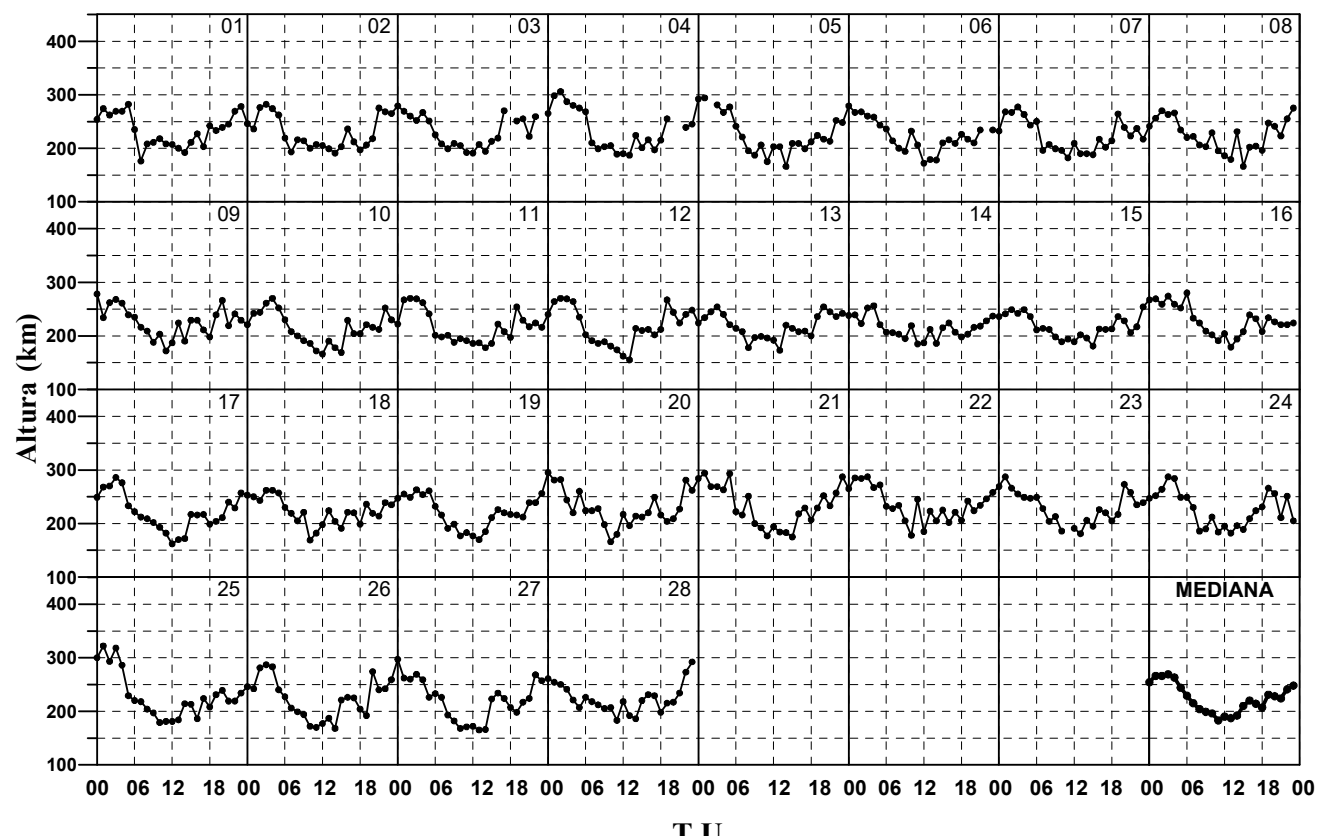
Febrer 2021

$f$  min



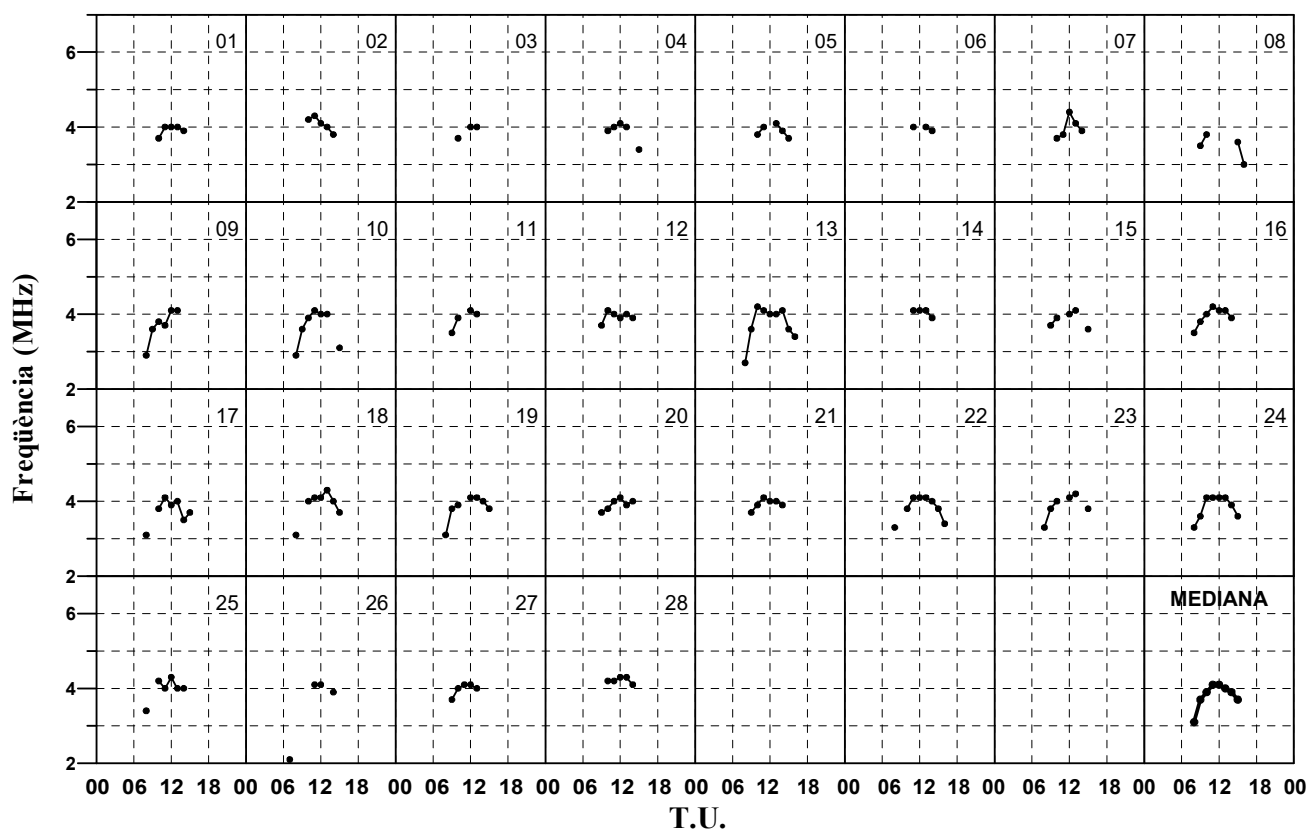
Febrer 2021

$h'F$



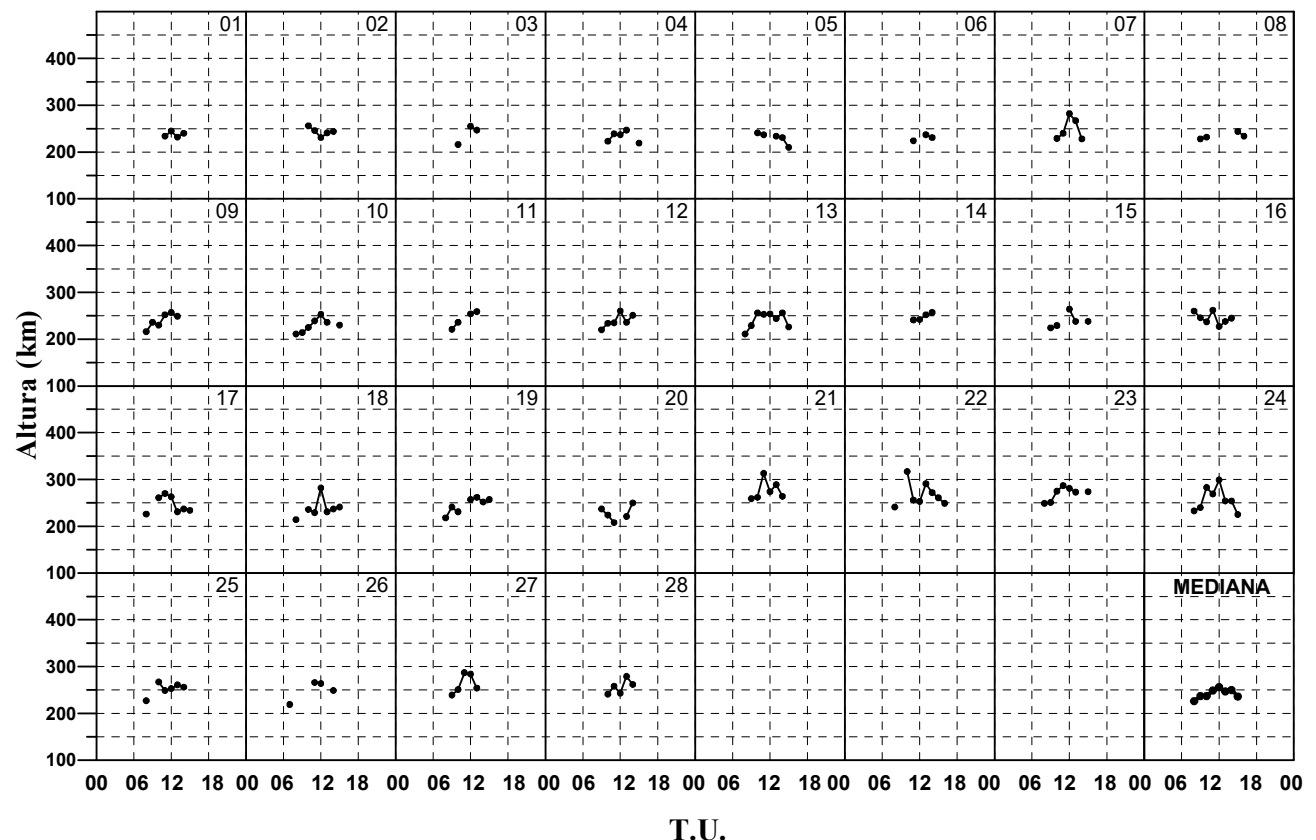
**Febrer 2021**

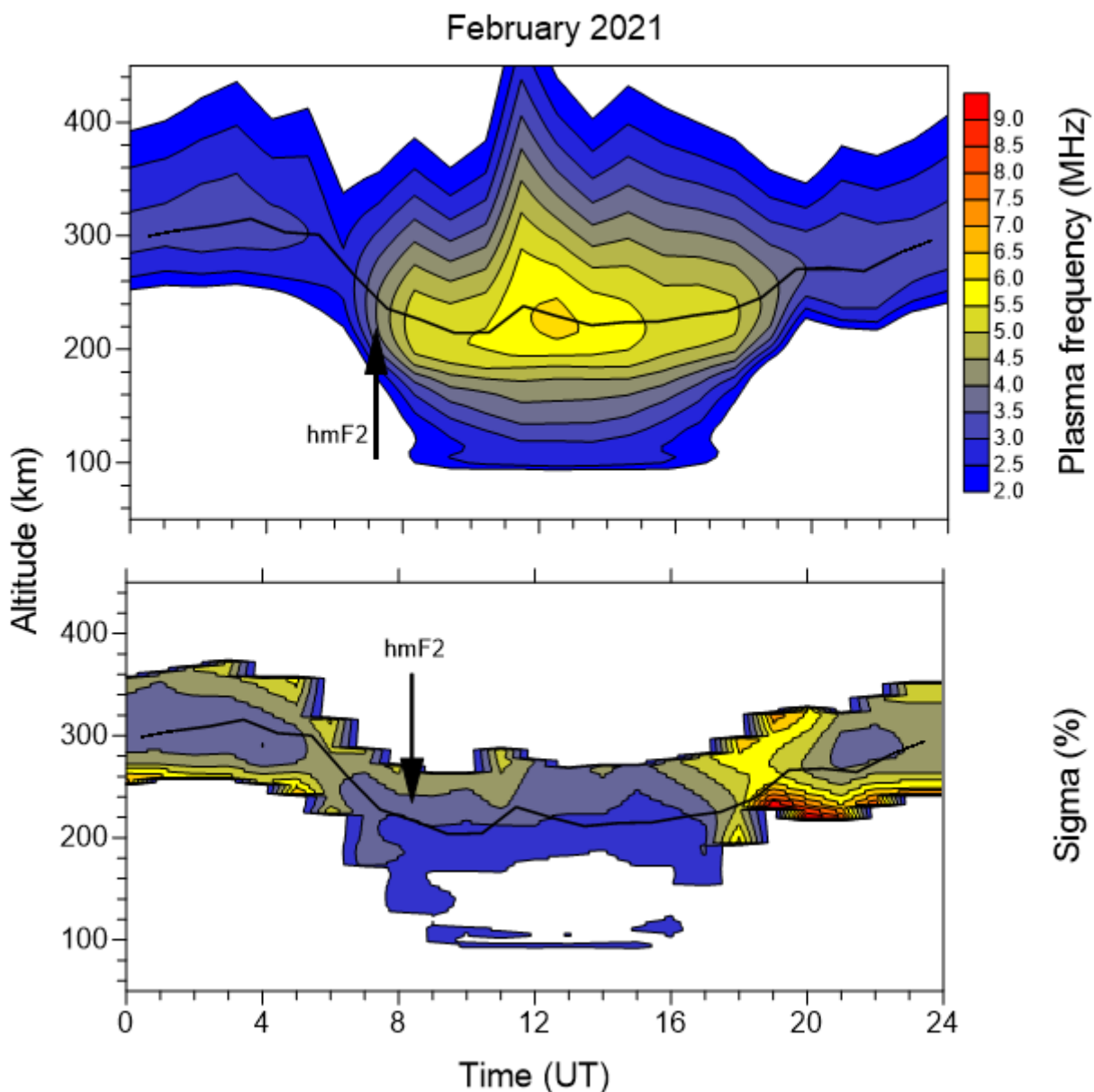
**foF1**



**Febrer 2021**

**h'F2**





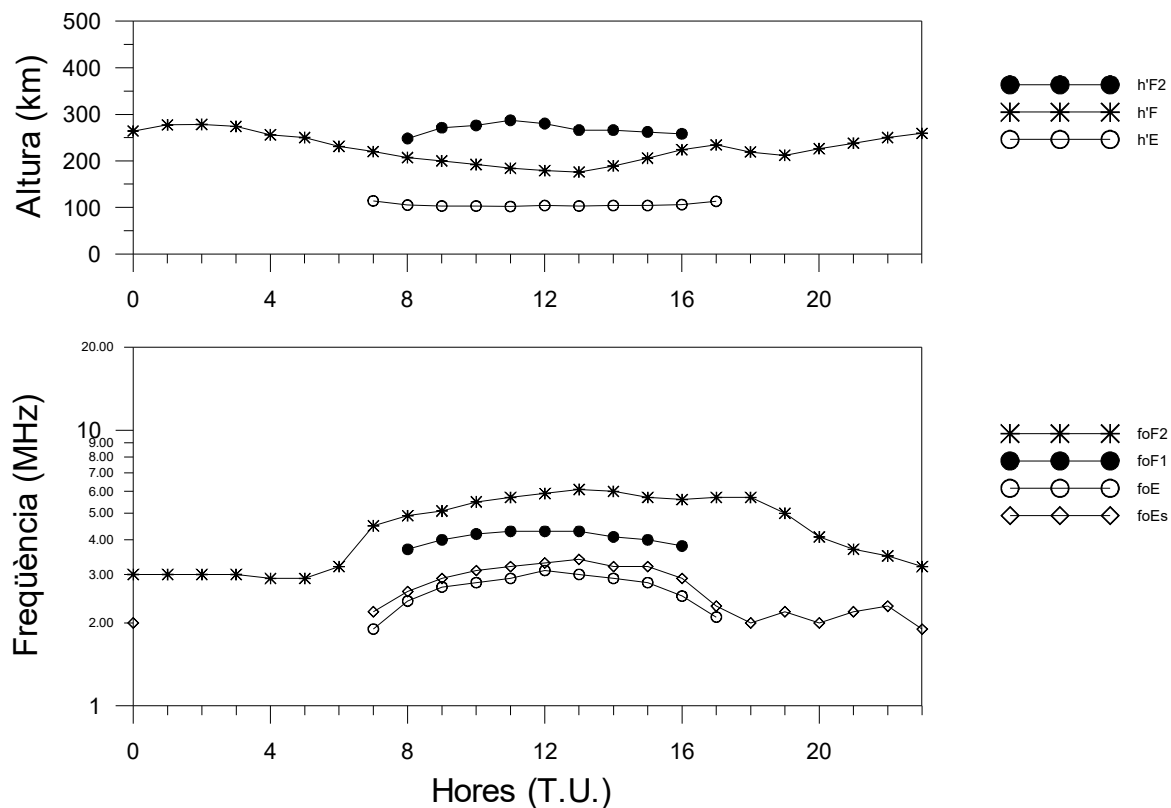
Variació diürna típica de la densitat electrònica (Freqüència de plasma) i la seva desviació estàndard (%) a sobre de l'observatori en funció de l'altura.

Variación diurna típica de la densidad electrónica (Frecuencia de plasma) y su desviación estándar (%) sobre el Observatorio en función de la altura.

Typical daily variation of the electron density (Plasma frequency) and its standard deviations (%) above the Observatory as function of the altitude.

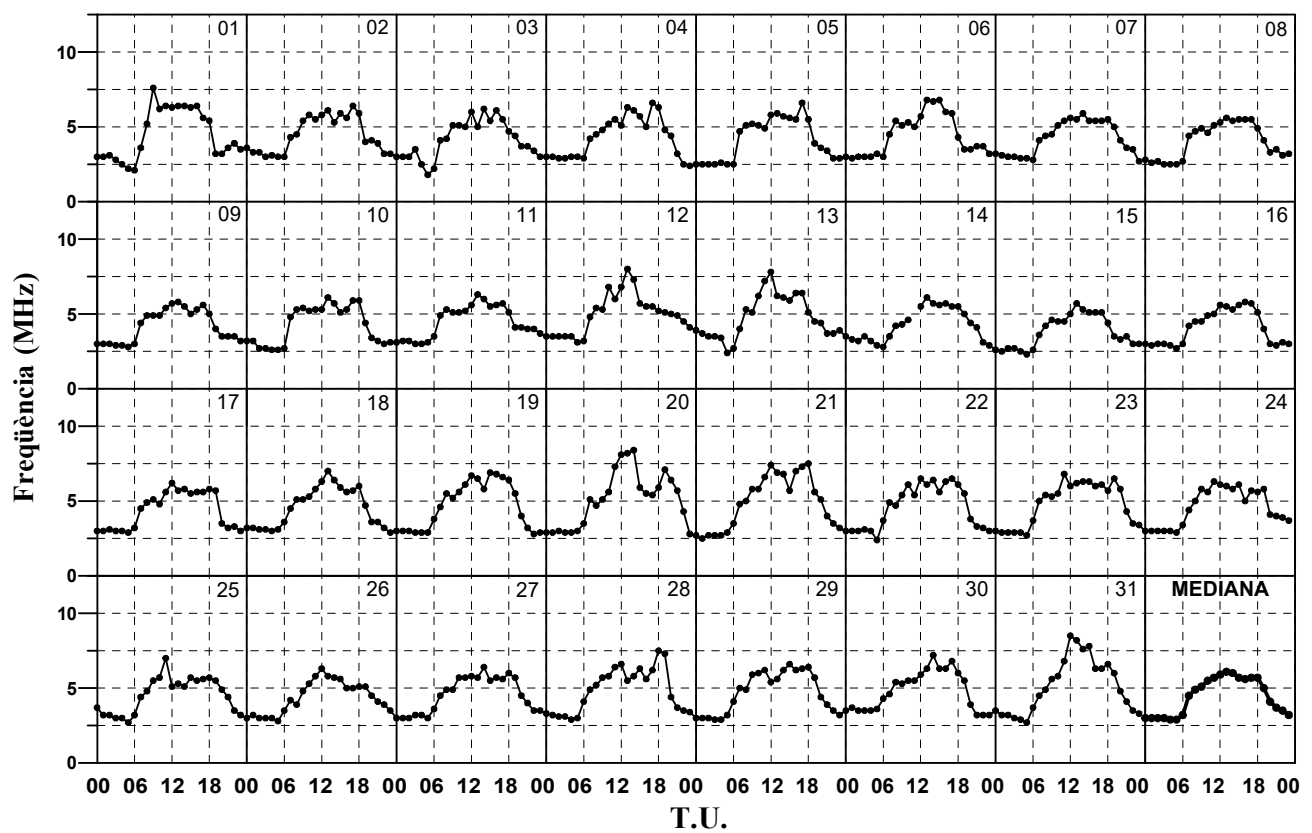
## MARÇ 2021

Hora T.U.	foF2 MHz	M(3000) F2	h' F2 Km	foF1 MHz	h' F Km	foE MHz	h' E Km	foEs MHz
0	3.0 - 31	3.09 - 31	0 - 0	0.0 - 0	264 - 31	0.00 - 0	0 - 0	2.0 - 5
1	3.0 - 31	3.06 - 31	0 - 0	0.0 - 0	277 - 31	0.00 - 0	0 - 0	0.0 - 0
2	3.0 - 31	3.04 - 31	0 - 0	0.0 - 0	278 - 31	0.00 - 0	0 - 0	0.0 - 0
3	3.0 - 31	3.08 - 31	0 - 0	0.0 - 0	274 - 31	0.00 - 0	0 - 0	0.0 - 0
4	2.9 - 31	3.16 - 31	0 - 0	0.0 - 0	256 - 31	0.00 - 0	0 - 0	0.0 - 0
5	2.9 - 31	3.19 - 31	0 - 0	0.0 - 0	252 - 31	0.00 - 0	0 - 0	0.0 - 0
6	3.2 - 31	3.45 - 31	0 - 0	0.0 - 0	231 - 31	0.00 - 0	0 - 0	0.0 - 0
7	4.5 - 31	3.66 - 31	0 - 0	0.0 - 0	220 - 31	1.90 - 29	114 - 29	2.2 - 14
8	4.9 - 31	3.59 - 31	248 - 14	3.7 - 14	207 - 31	2.40 - 31	105 - 31	2.6 - 12
9	5.1 - 31	3.49 - 31	271 - 24	4.0 - 24	200 - 31	2.70 - 31	103 - 31	2.9 - 18
10	5.5 - 31	3.48 - 31	276 - 25	4.2 - 25	192 - 31	2.80 - 30	103 - 30	3.1 - 18
11	5.7 - 30	3.40 - 30	287 - 27	4.3 - 27	184 - 30	2.90 - 31	102 - 31	3.2 - 17
12	5.9 - 31	3.42 - 31	280 - 28	4.3 - 29	179 - 31	3.10 - 31	104 - 31	3.3 - 11
13	6.1 - 31	3.46 - 31	266 - 29	4.3 - 29	176 - 31	3.00 - 30	103 - 30	3.4 - 8
14	6.0 - 31	3.46 - 31	266 - 28	4.1 - 28	189 - 31	2.90 - 29	104 - 29	3.2 - 6
15	5.7 - 31	3.52 - 31	262 - 25	4.0 - 25	206 - 31	2.80 - 29	104 - 29	3.2 - 13
16	5.6 - 31	3.45 - 31	258 - 14	3.8 - 15	224 - 31	2.50 - 29	106 - 29	2.9 - 14
17	5.7 - 31	3.49 - 31	0 - 0	0.0 - 0	234 - 31	2.10 - 29	113 - 29	2.3 - 26
18	5.7 - 31	3.54 - 31	0 - 0	0.0 - 0	219 - 31	0.00 - 0	0 - 0	2.0 - 13
19	5.0 - 31	3.48 - 31	0 - 0	0.0 - 0	212 - 31	0.00 - 0	0 - 0	2.2 - 10
20	4.1 - 31	3.27 - 31	0 - 0	0.0 - 0	226 - 31	0.00 - 0	0 - 0	2.0 - 9
21	3.7 - 31	3.27 - 31	0 - 0	0.0 - 0	238 - 31	0.00 - 0	0 - 0	2.2 - 8
22	3.5 - 31	3.18 - 31	0 - 0	0.0 - 0	250 - 31	0.00 - 0	0 - 0	2.3 - 6
23	3.2 - 31	3.15 - 31	0 - 0	0.0 - 0	259 - 31	0.00 - 0	0 - 0	1.9 - 7



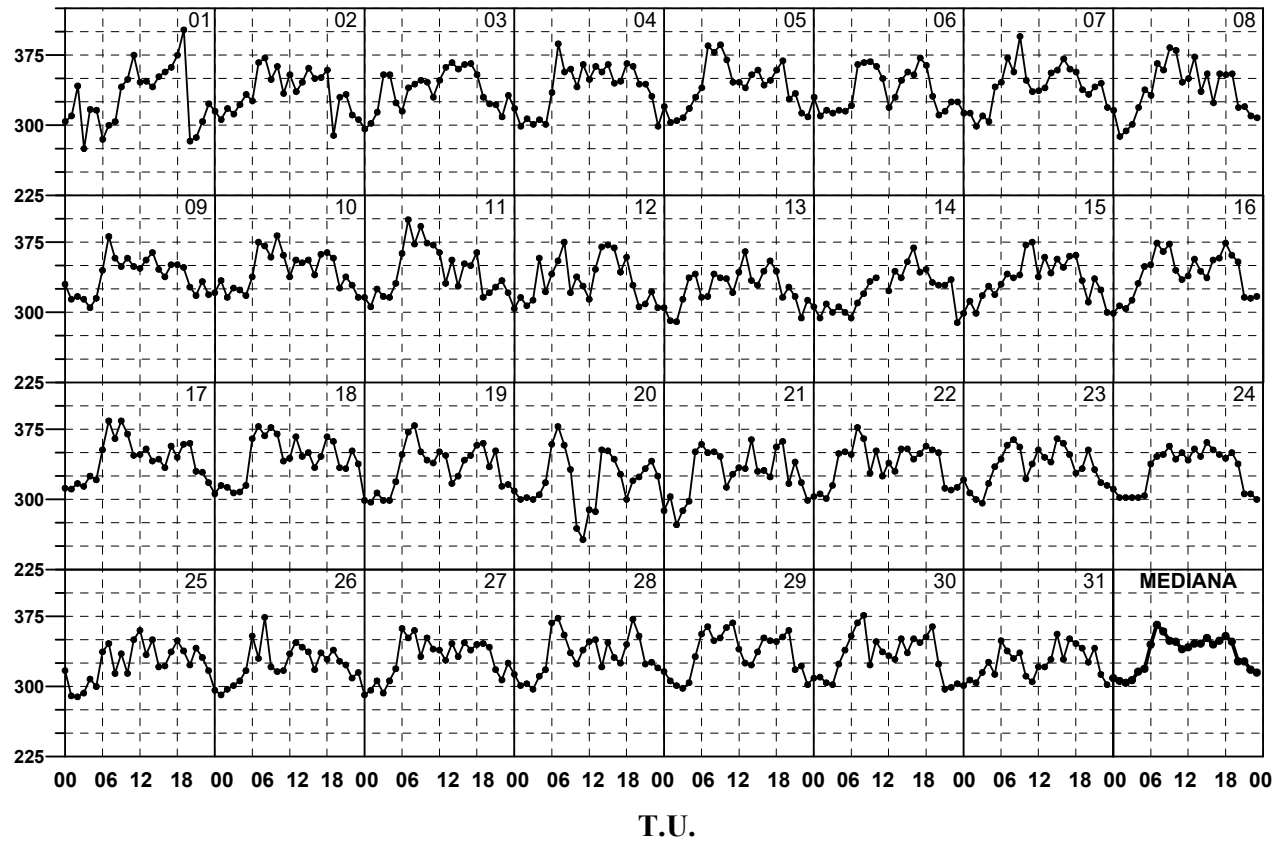
Març 2021

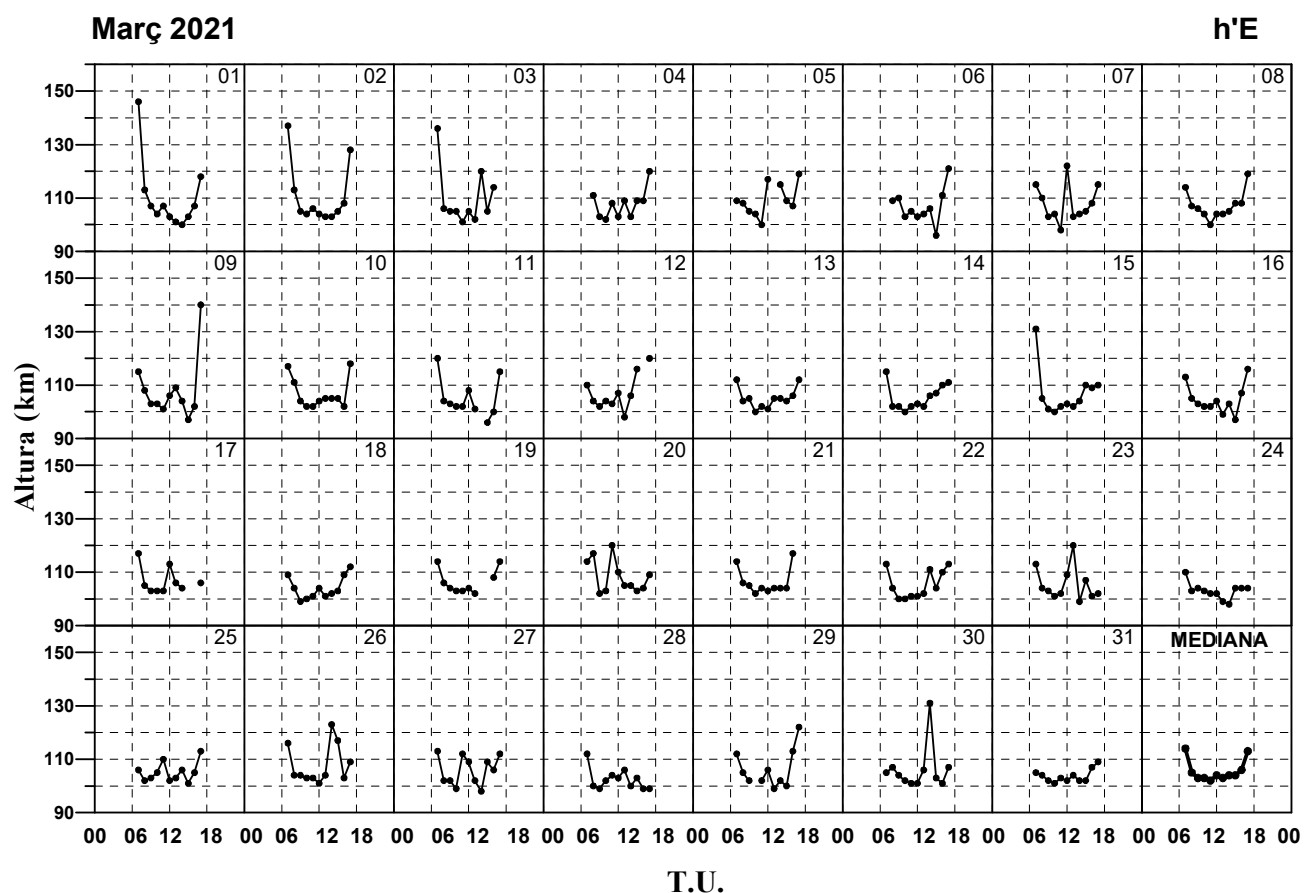
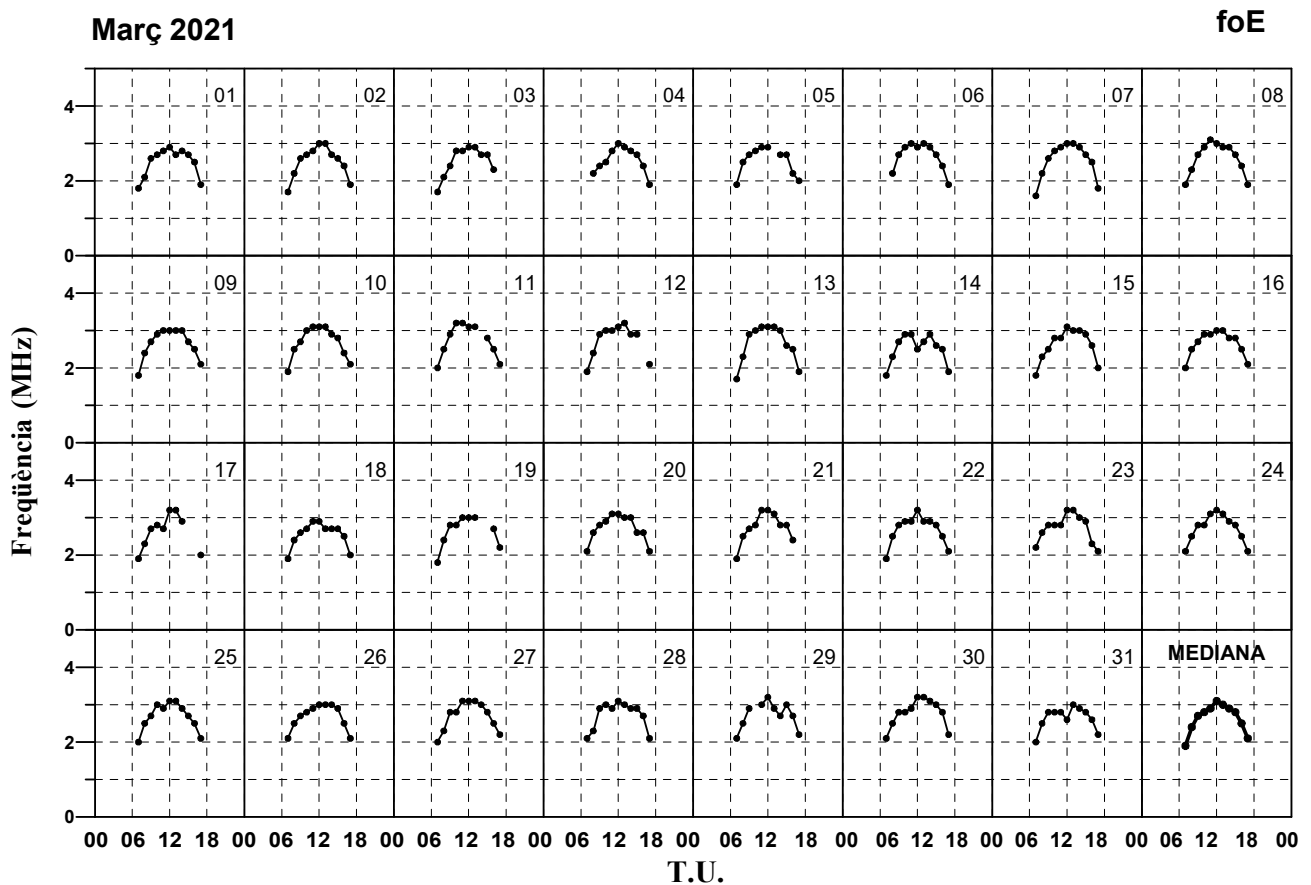
foF2



Març 2021

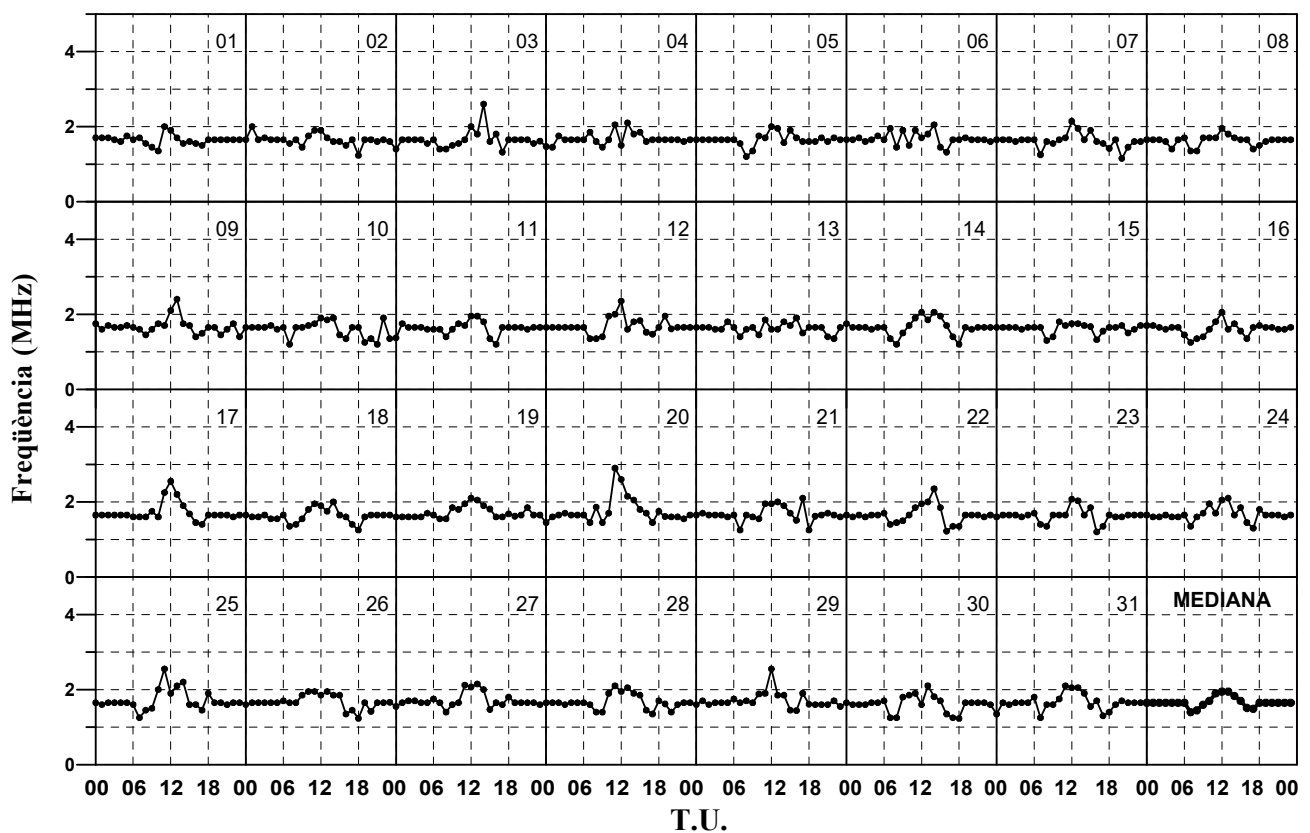
M(3000)F2





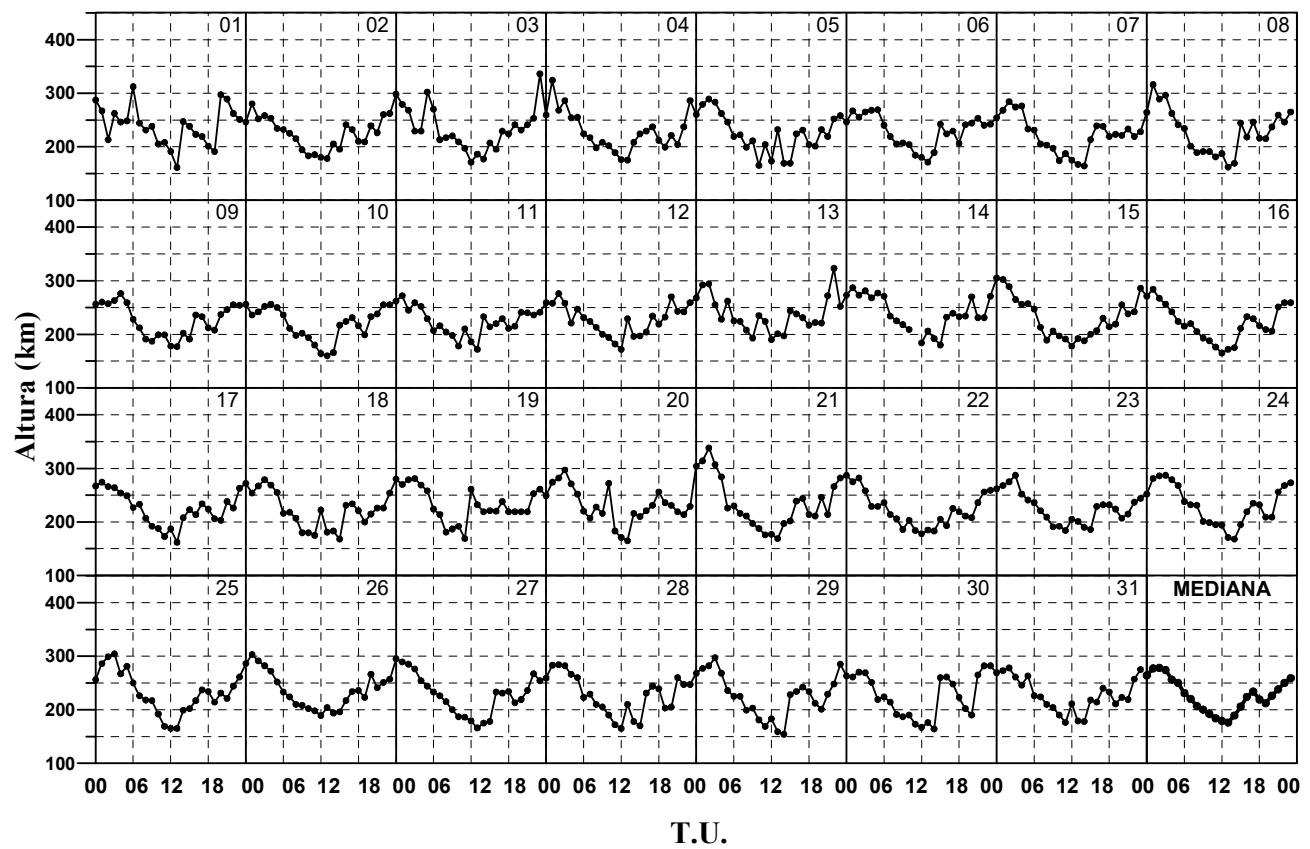
Març 2021

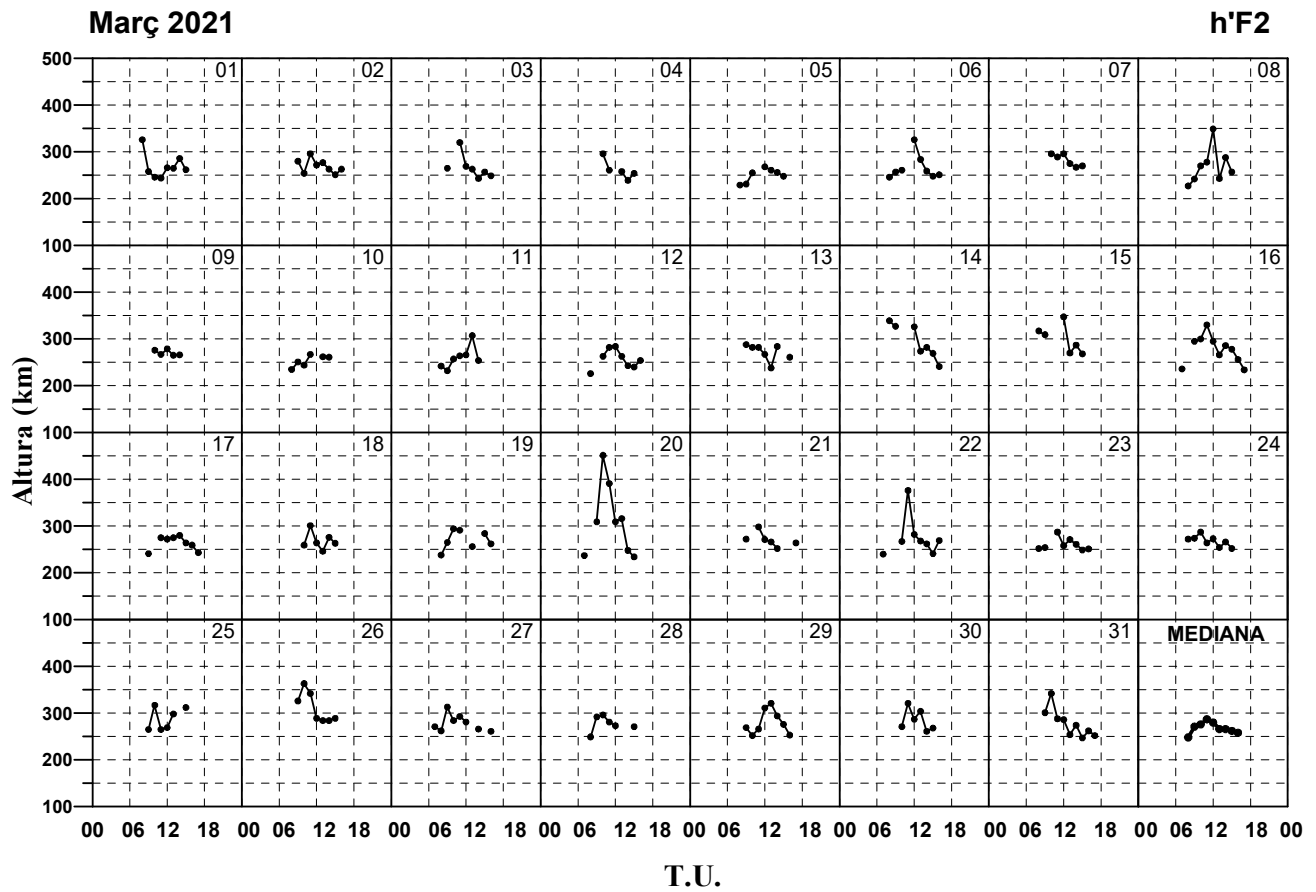
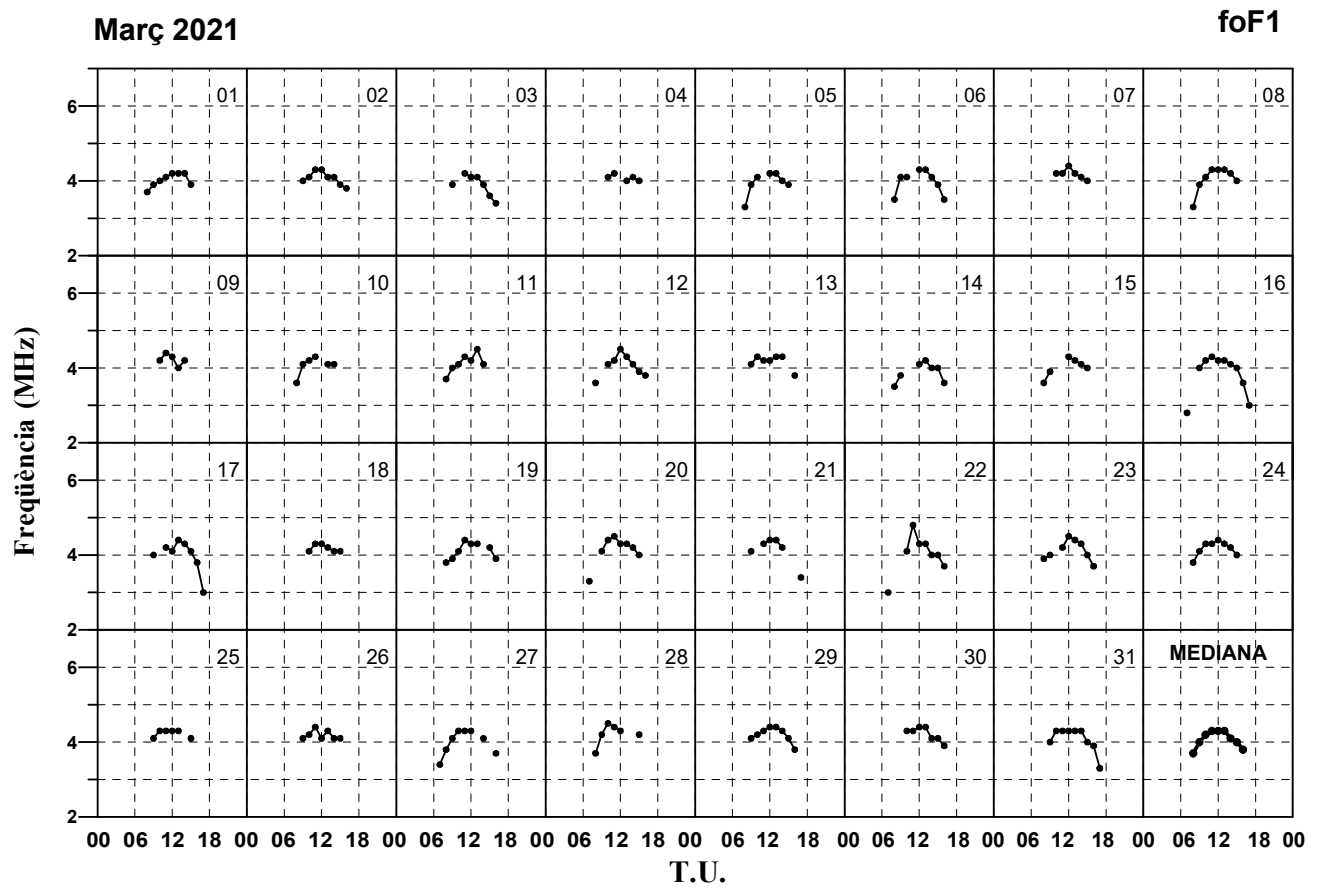
f min

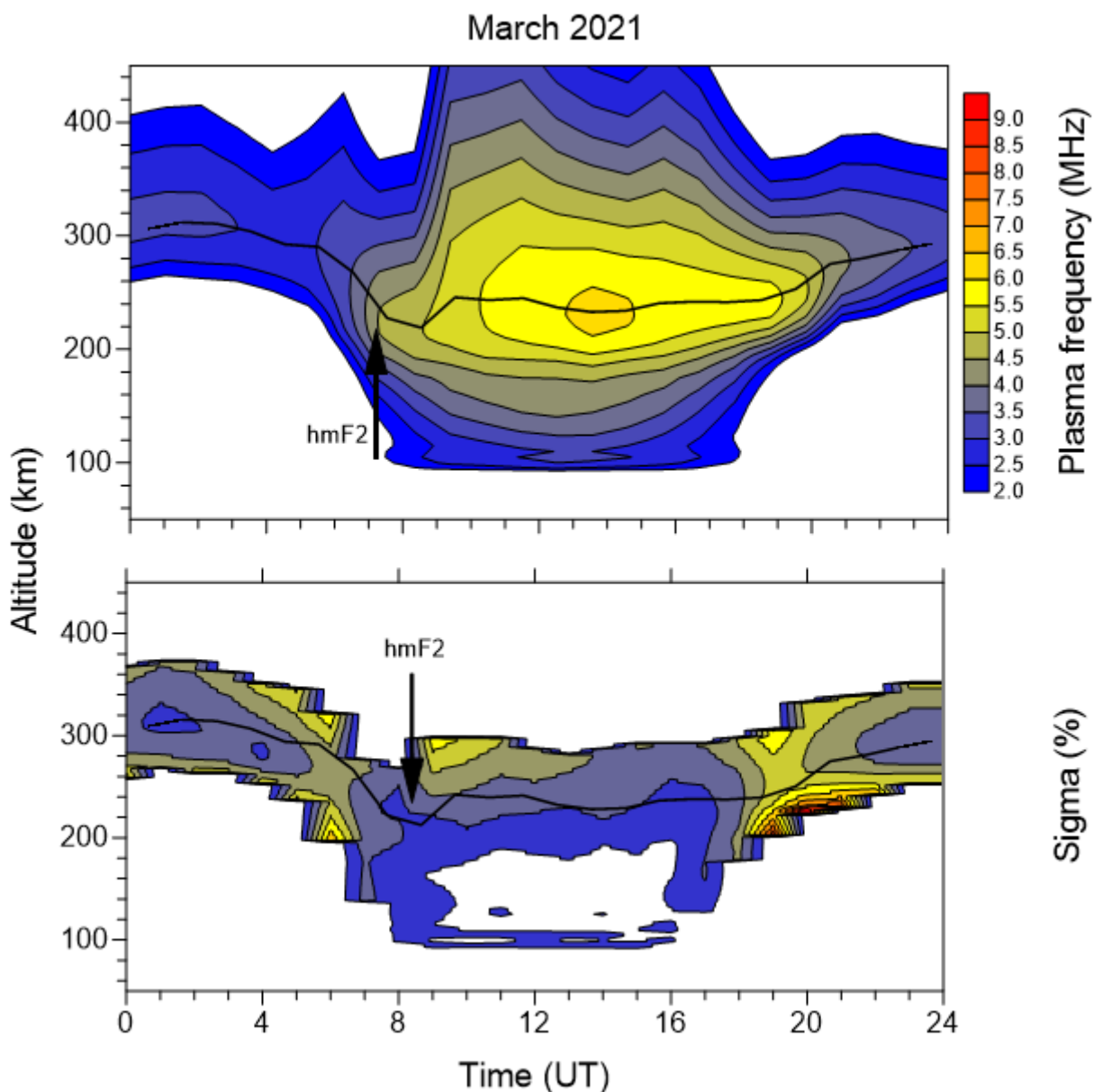


Març 2021

h'F







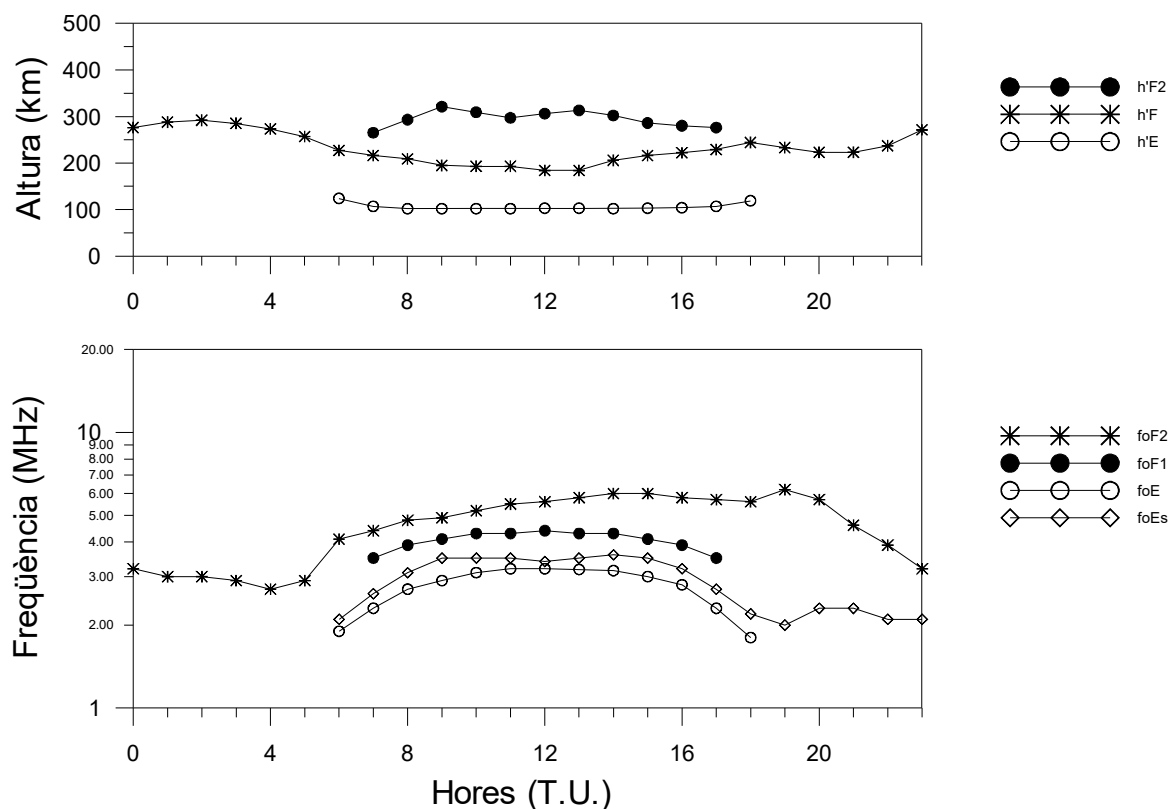
Variació diürna típica de la densitat electrònica (Freqüència de plasma) i la seva desviació estàndard (%) a sobre de l'observatori en funció de l'altura.

Variación diurna típica de la densidad electrónica (Frecuencia de plasma) y su desviación estándar (%) sobre el Observatorio en función de la altura.

Typical daily variation of the electron density (Plasma frequency) and its standard deviations (%) above the Observatory as function of the altitude.

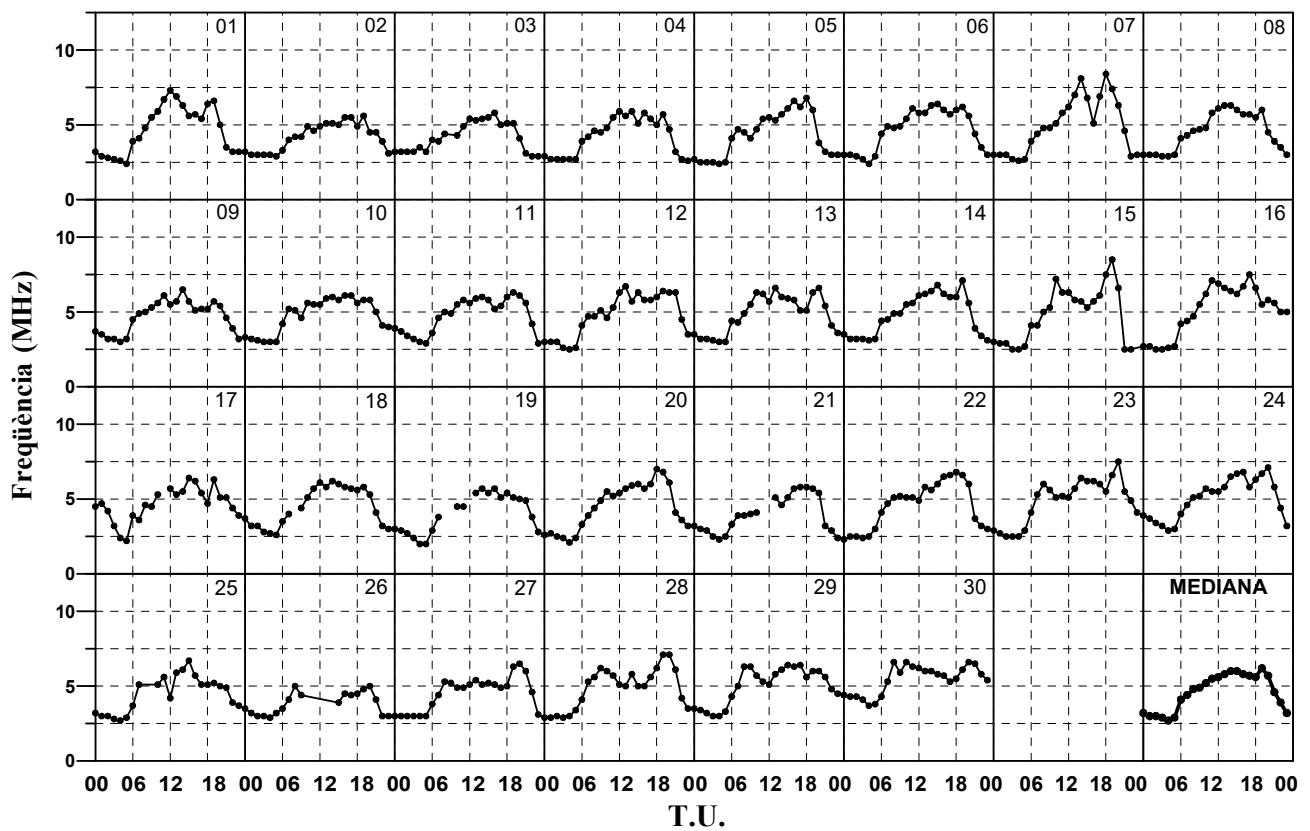
## ABRIL 2021

Hora T.U.	foF2 MHz	M(3000) F2	h'F2 Km	foF1 MHz	h'F Km	foE MHz	h'E Km	foEs MHz
0	3.2 - 30	3.00 - 30	0 - 0	0.0 - 0	276 - 30	0.00 - 0	0 - 0	0.0 - 0
1	3.0 - 30	2.98 - 30	0 - 0	0.0 - 0	288 - 30	0.00 - 0	0 - 0	0.0 - 0
2	3.0 - 30	2.97 - 30	0 - 0	0.0 - 0	292 - 30	0.00 - 0	0 - 0	0.0 - 0
3	2.9 - 30	3.05 - 30	0 - 0	0.0 - 0	285 - 30	0.00 - 0	0 - 0	0.0 - 0
4	2.7 - 30	3.07 - 30	0 - 0	0.0 - 0	273 - 30	0.00 - 0	0 - 0	0.0 - 0
5	2.9 - 30	3.18 - 30	0 - 0	0.0 - 0	257 - 30	0.00 - 0	0 - 0	0.0 - 0
6	4.1 - 30	3.53 - 30	0 - 0	0.0 - 0	227 - 30	1.90 - 23	124 - 23	2.1 - 11
7	4.4 - 30	3.57 - 30	265 - 16	3.5 - 17	216 - 30	2.30 - 30	107 - 30	2.6 - 16
8	4.8 - 30	3.50 - 30	293 - 23	3.9 - 24	209 - 30	2.70 - 30	102 - 30	3.1 - 17
9	4.9 - 30	3.44 - 30	321 - 24	4.1 - 24	195 - 29	2.90 - 30	102 - 30	3.5 - 20
10	5.2 - 30	3.42 - 30	309 - 25	4.3 - 24	193 - 29	3.10 - 30	102 - 30	3.5 - 21
11	5.5 - 30	3.40 - 30	297 - 29	4.3 - 29	193 - 30	3.20 - 30	102 - 30	3.5 - 21
12	5.6 - 29	3.38 - 29	306 - 26	4.4 - 26	184 - 29	3.20 - 30	103 - 30	3.4 - 13
13	5.8 - 30	3.32 - 30	313 - 29	4.3 - 28	184 - 29	3.18 - 30	103 - 30	3.5 - 7
14	6.0 - 30	3.30 - 30	302 - 29	4.3 - 27	206 - 28	3.15 - 29	102 - 29	3.6 - 14
15	6.0 - 30	3.33 - 30	286 - 28	4.1 - 27	216 - 28	3.00 - 29	103 - 29	3.5 - 20
16	5.8 - 30	3.33 - 30	280 - 25	3.9 - 23	222 - 28	2.80 - 29	104 - 29	3.2 - 21
17	5.7 - 30	3.34 - 30	276 - 20	3.5 - 17	229 - 27	2.30 - 30	107 - 30	2.7 - 21
18	5.6 - 30	3.37 - 30	0 - 0	0.0 - 0	244 - 30	1.80 - 21	119 - 20	2.2 - 27
19	6.2 - 30	3.32 - 30	0 - 0	0.0 - 0	233 - 30	0.00 - 0	0 - 0	2.0 - 16
20	5.7 - 30	3.40 - 30	0 - 0	0.0 - 0	223 - 30	0.00 - 0	0 - 0	2.3 - 14
21	4.6 - 30	3.39 - 30	0 - 0	0.0 - 0	223 - 30	0.00 - 0	0 - 0	2.3 - 11
22	3.9 - 30	3.18 - 30	0 - 0	0.0 - 0	237 - 30	0.00 - 0	0 - 0	2.1 - 10
23	3.2 - 29	3.04 - 29	0 - 0	0.0 - 0	271 - 29	0.00 - 0	0 - 0	2.1 - 10



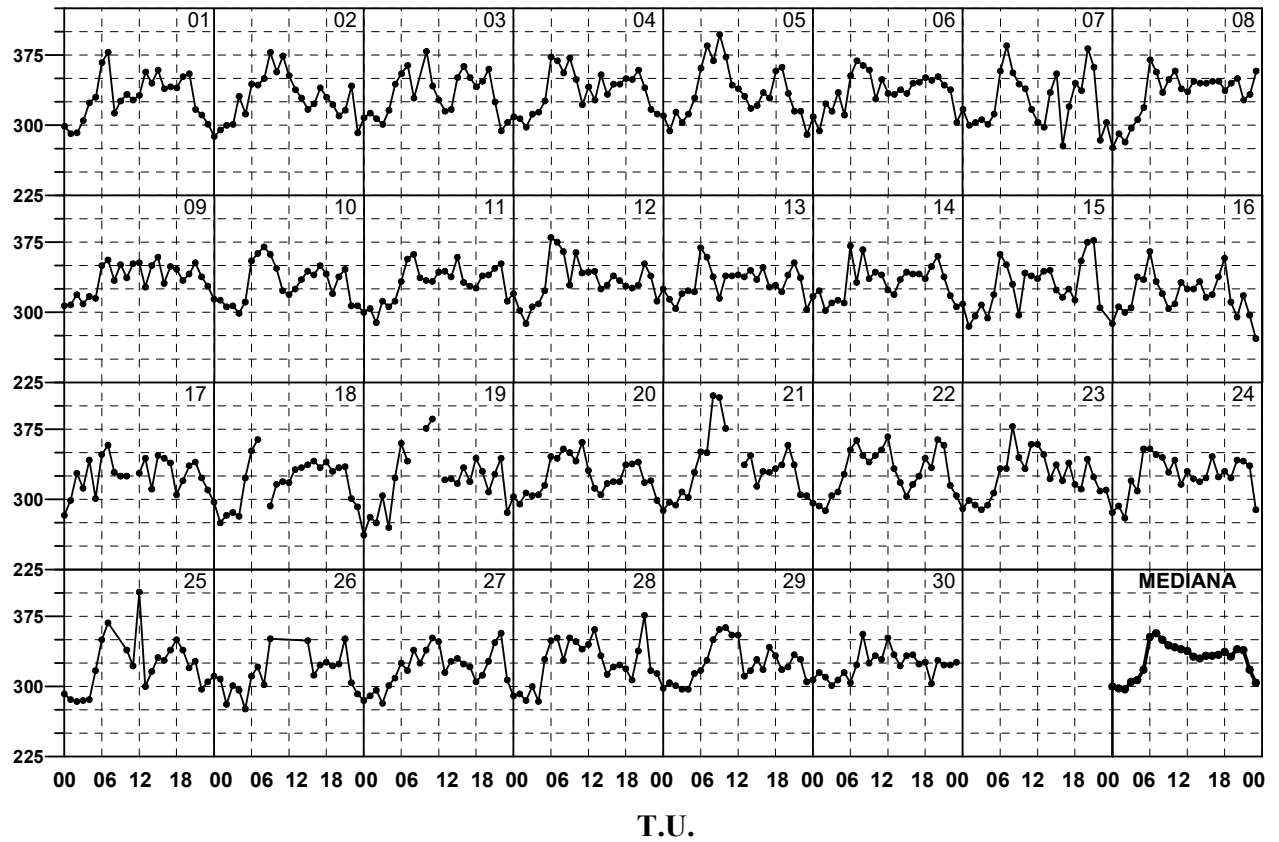
Abril 2021

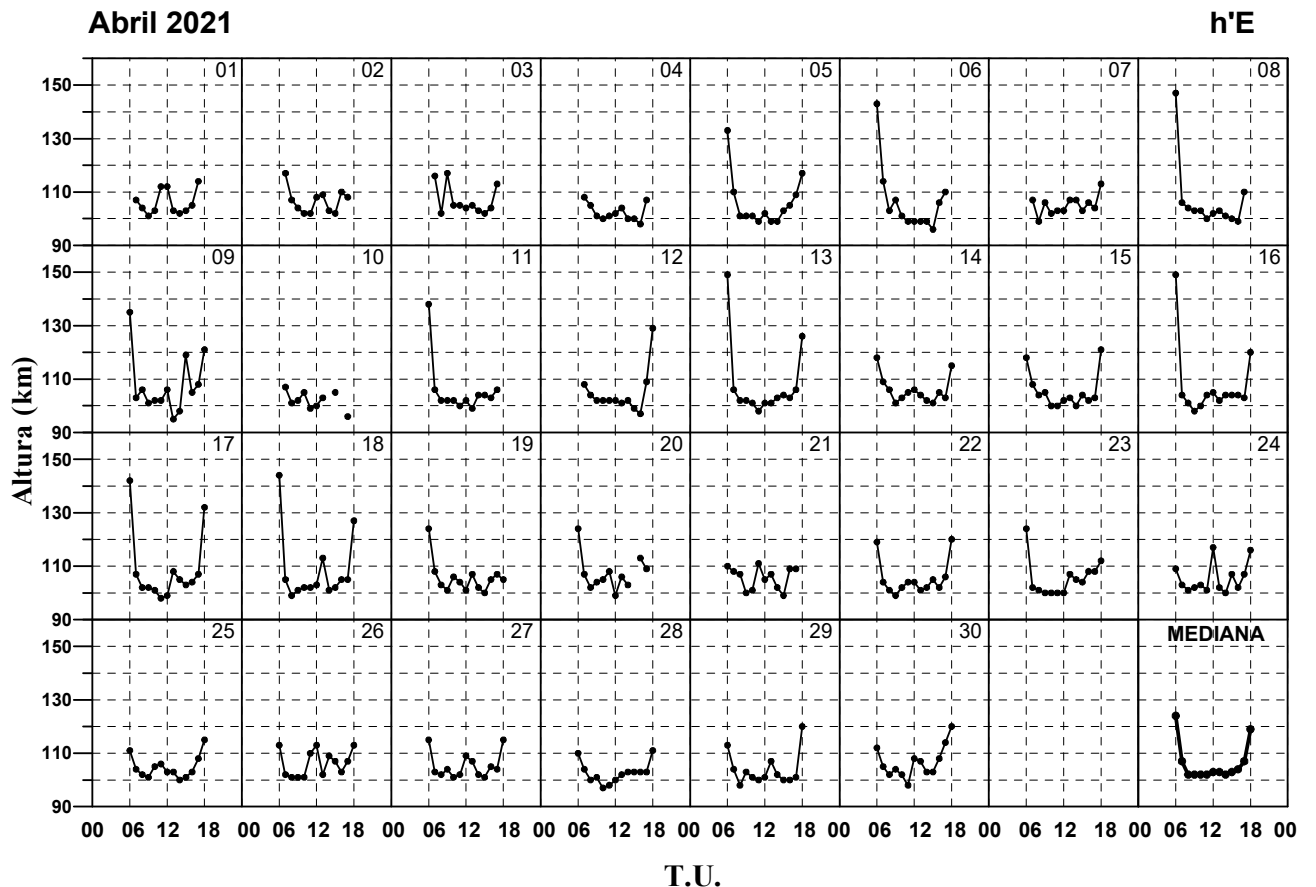
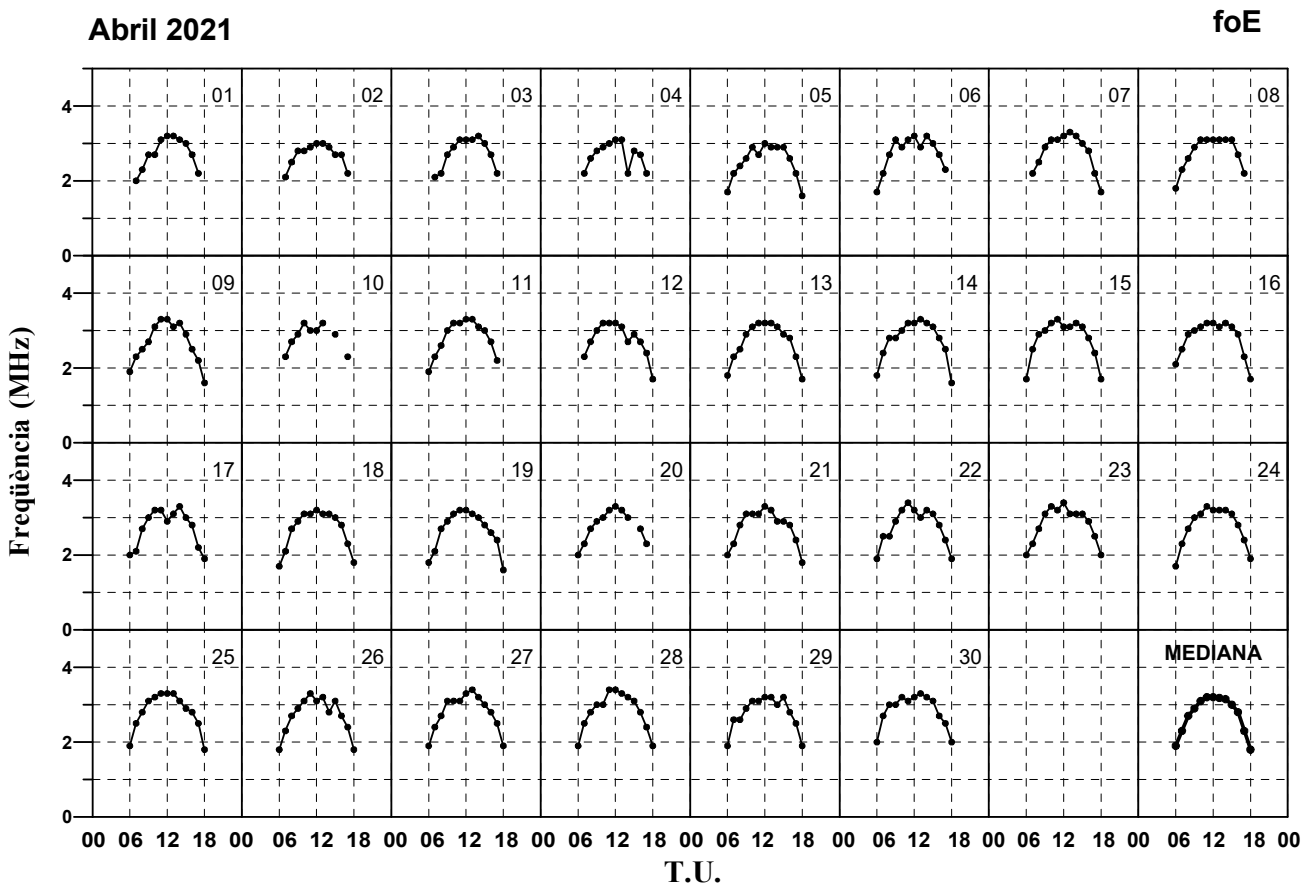
foF2



Abril 2021

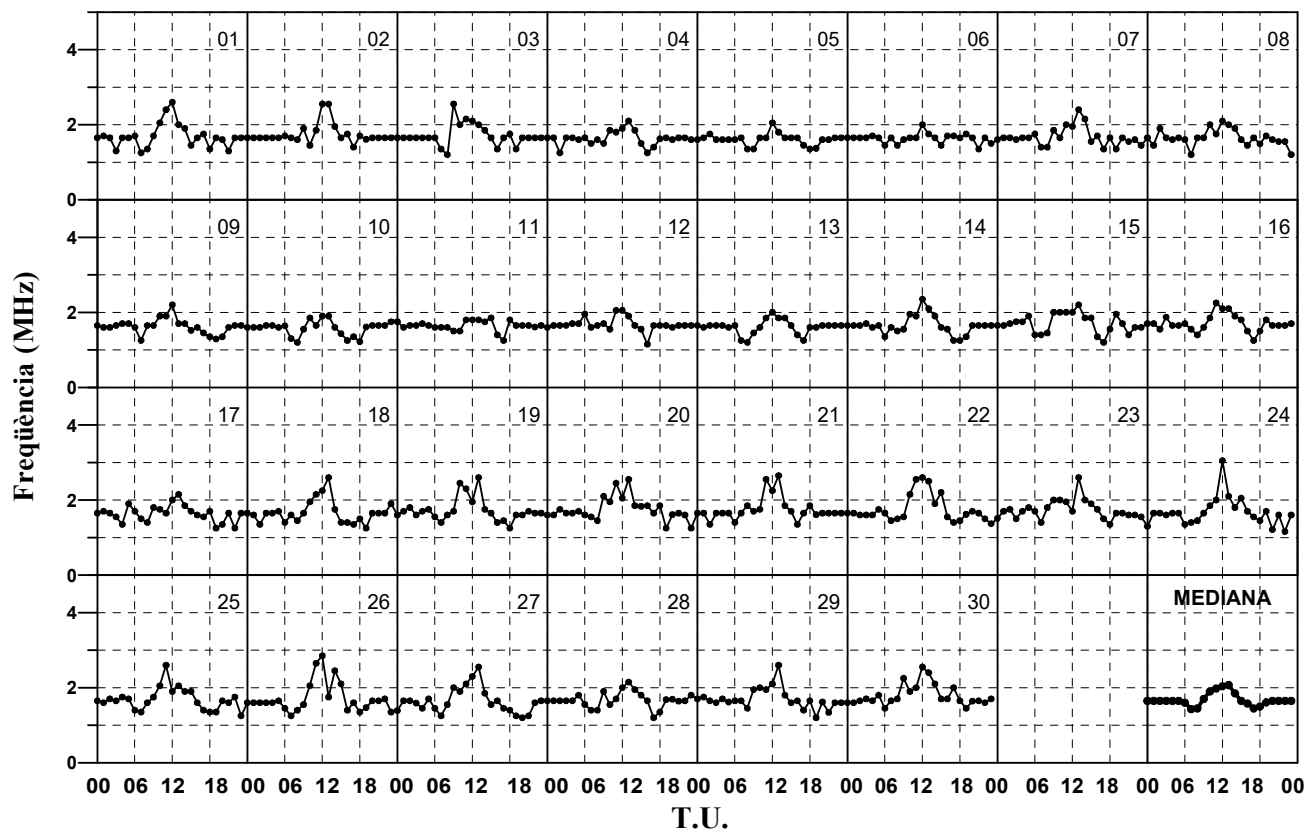
M(3000)F2





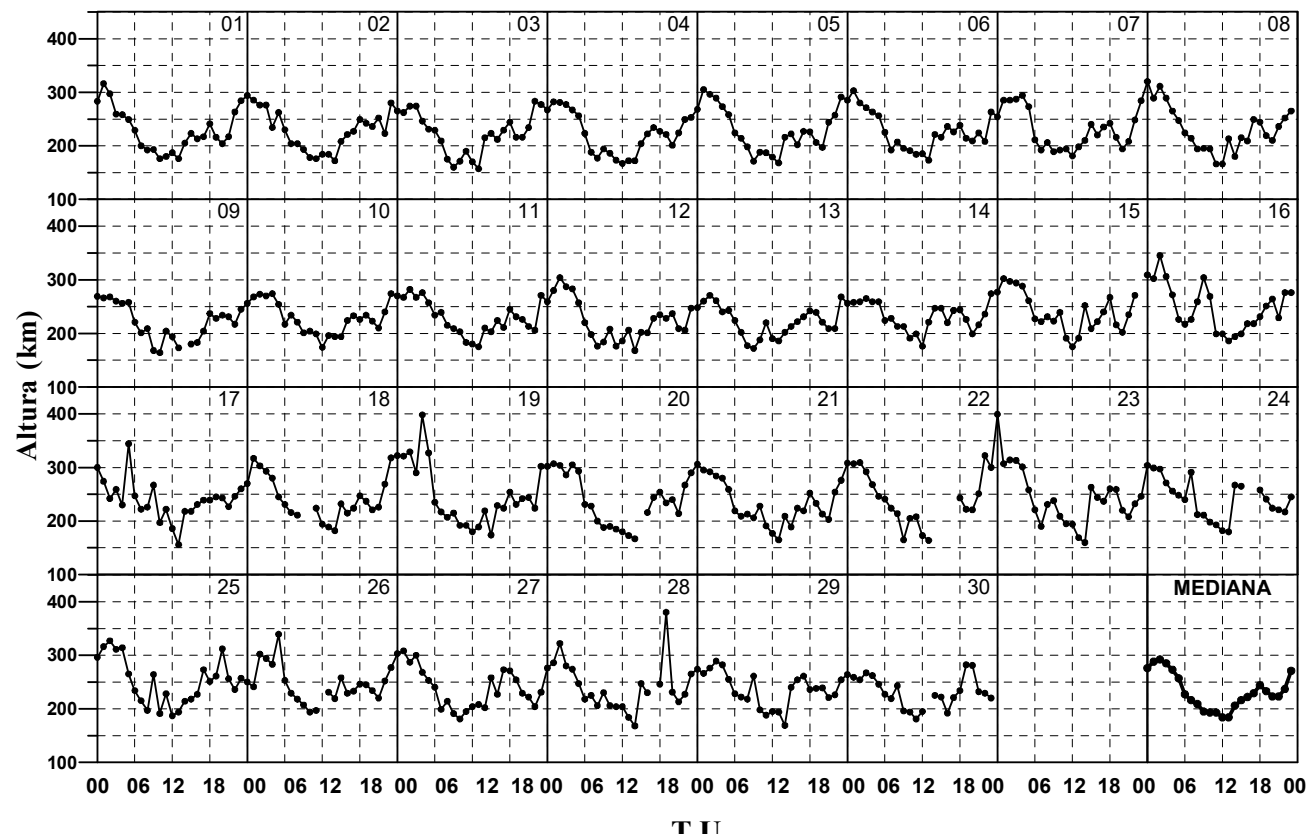
Abril 2021

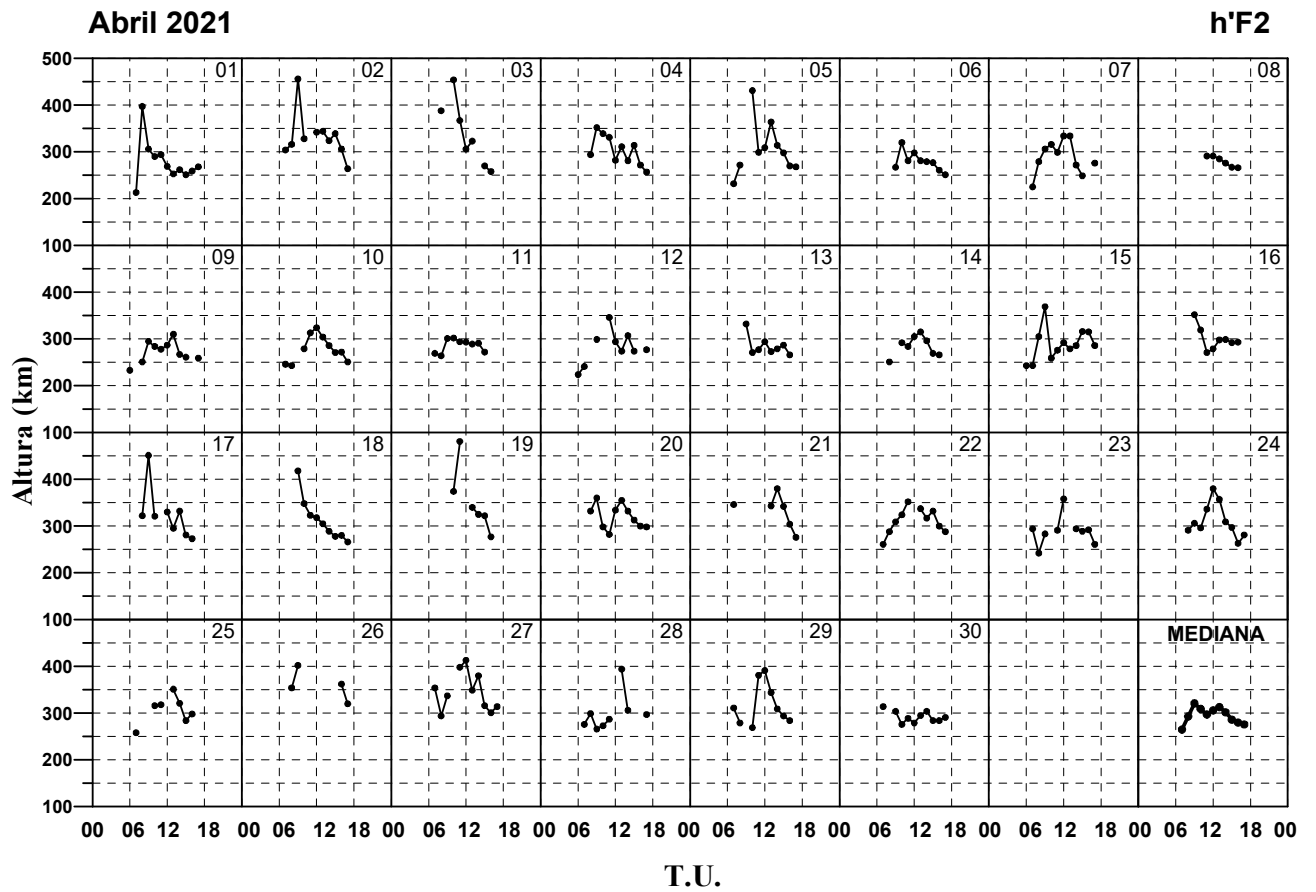
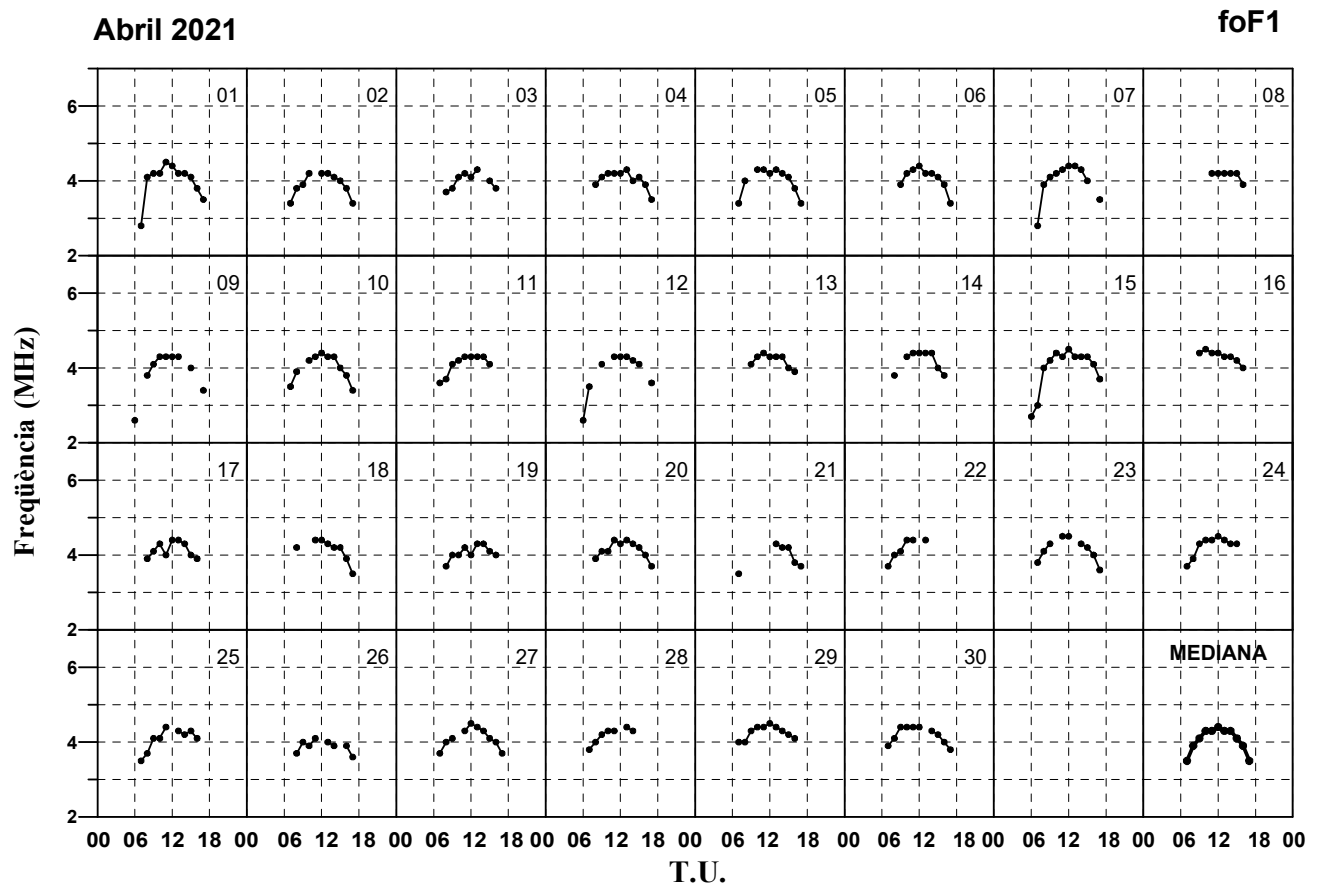
$f$  min

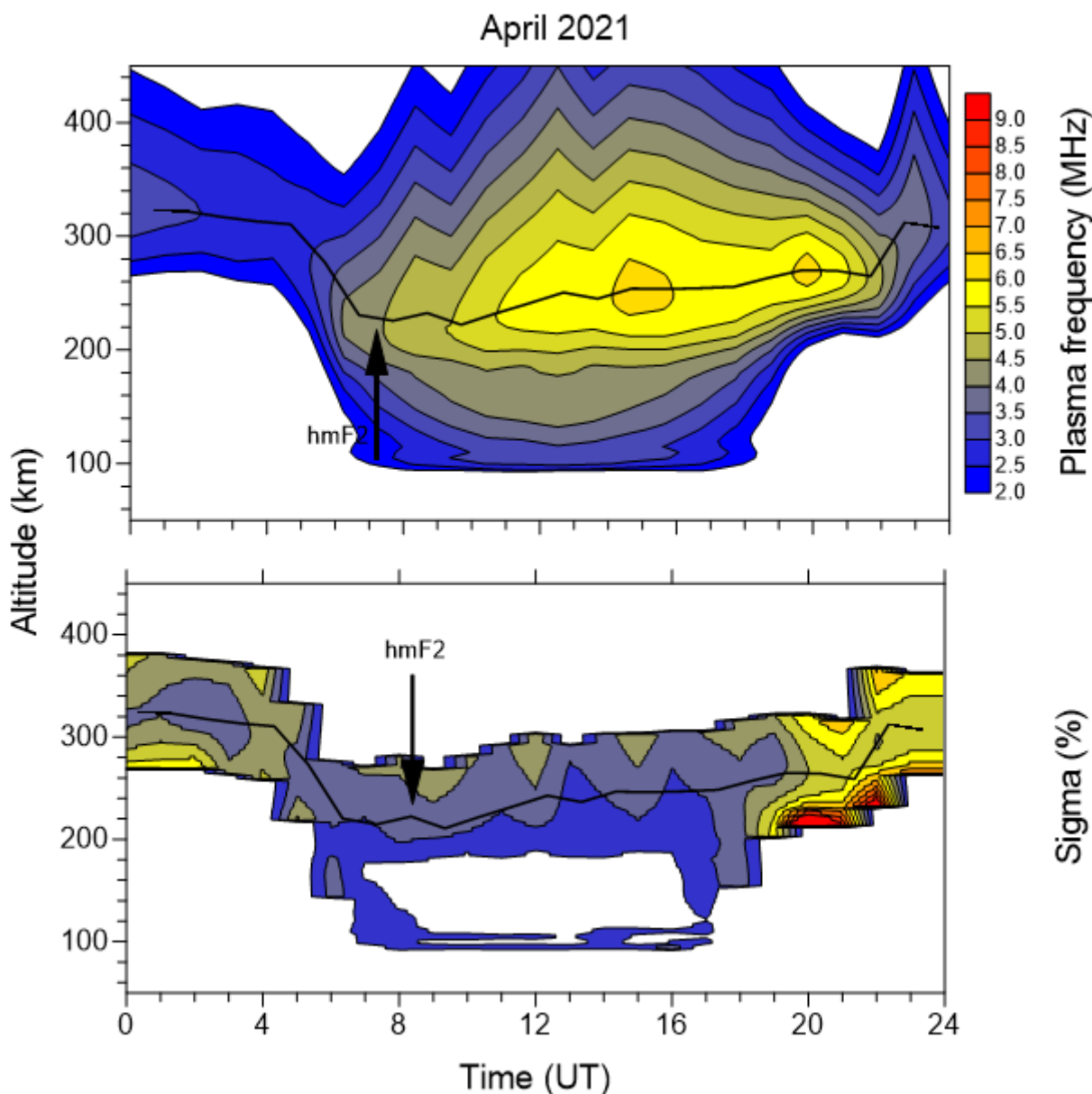


Abril 2021

$h^*F$







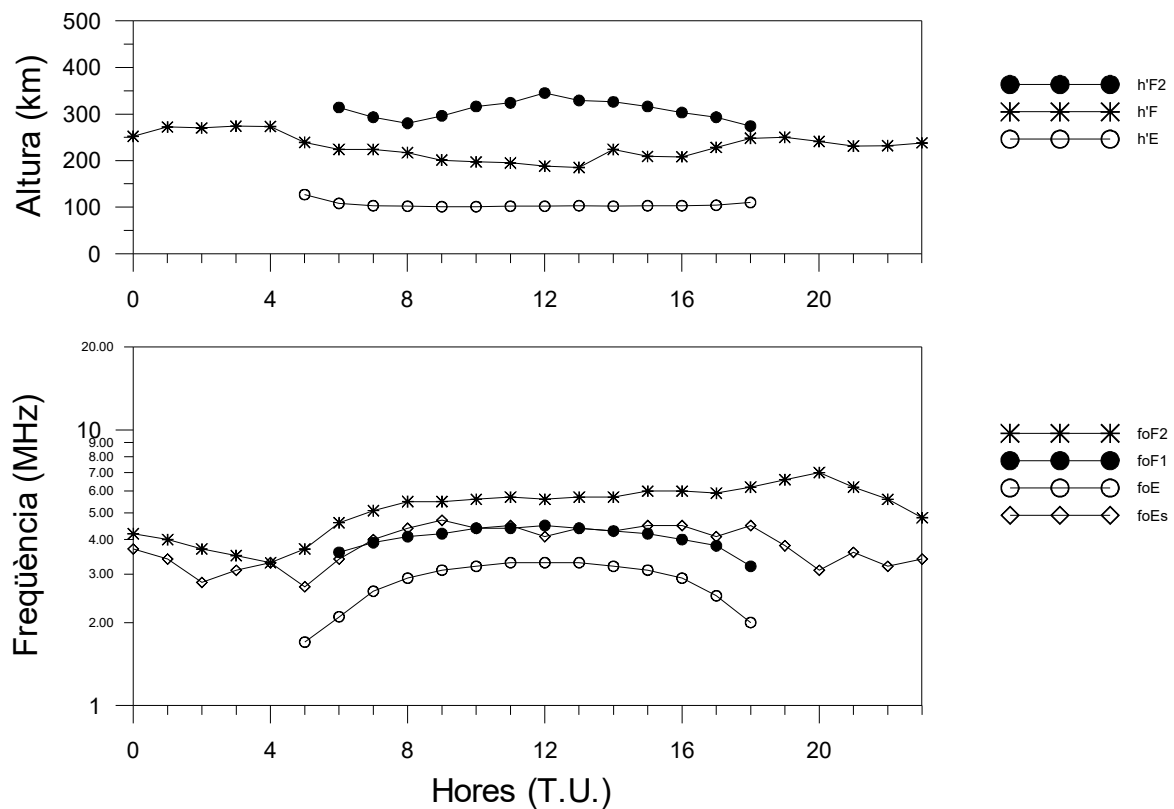
Variació diürna típica de la densitat electrònica (Freqüència de plasma) i la seva desviació estàndard (%) a sobre de l'observatori en funció de l'altura.

Variación diurna típica de la densidad electrónica (Frecuencia de plasma) y su desviación estándar (%) sobre el Observatorio en función de la altura.

Typical daily variation of the electron density (Plasma frequency) and its standard deviations (%) above the Observatory as function of the altitude.

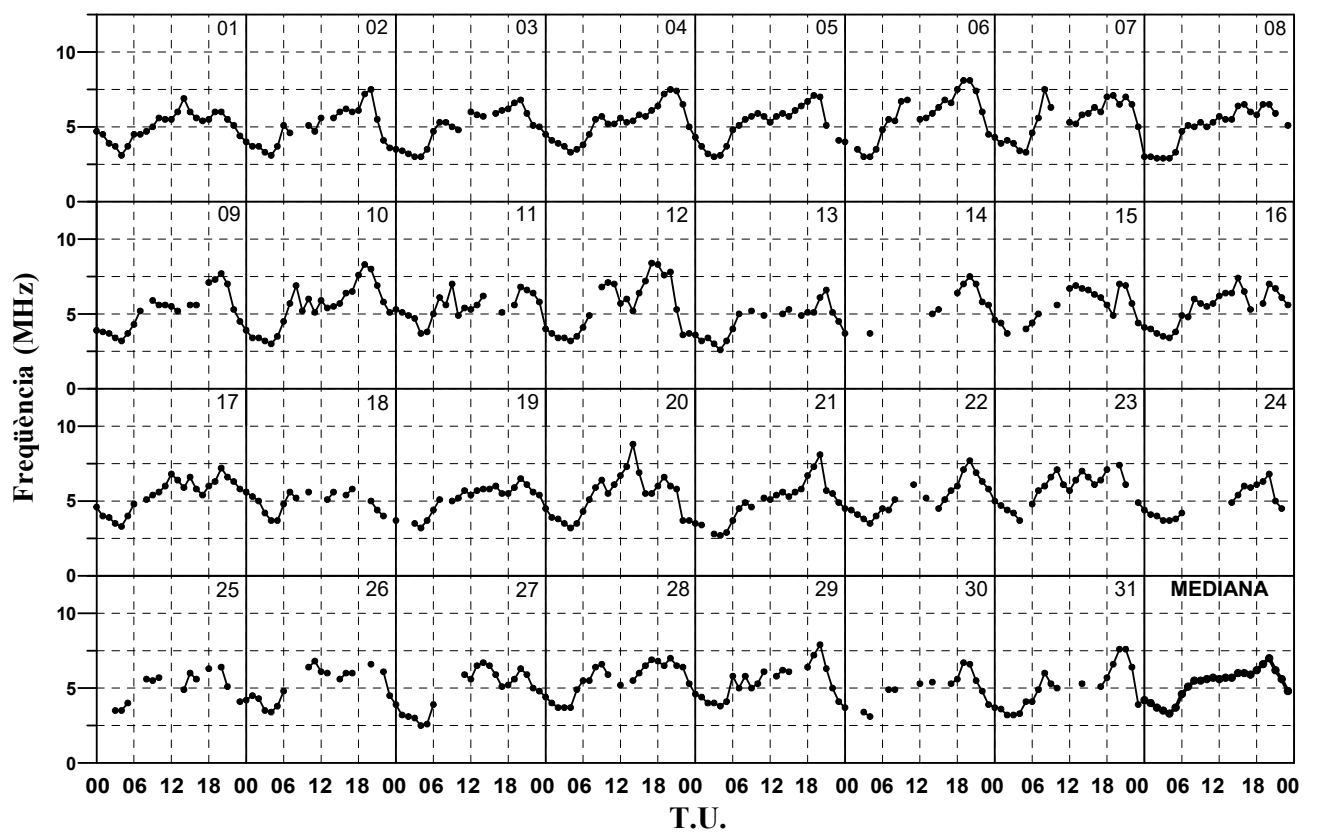
## MAIG 2021

Hora T.U.	foF2 MHz	M(3000) F2	h'F2 Km	foF1 MHz	h'F Km	foE MHz	h'E Km	foEs MHz
0	4.2 - 30	3.10 - 30	0 - 0	0.0 - 0	252 - 30	0.00 - 0	0 - 0	3.7 - 25
1	4.0 - 26	3.04 - 26	0 - 0	0.0 - 0	272 - 26	0.00 - 0	0 - 0	3.4 - 24
2	3.7 - 26	3.07 - 26	0 - 0	0.0 - 0	270 - 26	0.00 - 0	0 - 0	2.8 - 22
3	3.5 - 29	3.04 - 29	0 - 0	0.0 - 0	274 - 29	0.00 - 0	0 - 0	3.1 - 19
4	3.3 - 30	3.07 - 30	0 - 0	0.0 - 0	273 - 30	0.00 - 0	0 - 0	3.3 - 21
5	3.7 - 28	3.29 - 28	0 - 0	0.0 - 0	239 - 28	1.70 - 5	127 - 5	2.7 - 23
6	4.6 - 28	3.30 - 28	U314 - 10	3.6 - 6	224 - 24	2.10 - 29	108 - 29	3.4 - 29
7	5.1 - 25	3.36 - 25	293 - 24	3.9 - 14	224 - 20	2.60 - 31	103 - 31	4.0 - 30
8	5.5 - 22	3.37 - 22	280 - 19	4.1 - 14	217 - 17	2.90 - 31	102 - 31	4.4 - 31
9	5.5 - 24	3.38 - 24	296 - 23	4.2 - 15	201 - 17	3.10 - 31	101 - 31	4.7 - 30
10	5.6 - 26	3.34 - 26	316 - 24	4.4 - 15	197 - 15	3.20 - 31	101 - 31	4.4 - 30
11	5.7 - 20	3.34 - 20	324 - 19	4.4 - 17	195 - 16	3.30 - 31	102 - 31	4.5 - 28
12	5.6 - 24	3.19 - 24	345 - 23	4.5 - 16	188 - 16	3.30 - 30	102 - 30	4.1 - 23
13	5.7 - 23	3.21 - 23	329 - 22	4.4 - 20	185 - 20	3.30 - 31	103 - 31	4.4 - 21
14	5.7 - 29	3.14 - 29	326 - 28	4.3 - 21	224 - 21	3.20 - 30	102 - 30	4.3 - 21
15	6.0 - 26	3.19 - 26	316 - 26	4.2 - 17	209 - 17	3.10 - 31	103 - 31	4.5 - 24
16	6.0 - 26	3.20 - 26	303 - 25	4.0 - 14	208 - 15	2.90 - 31	103 - 31	4.5 - 26
17	5.9 - 27	3.21 - 27	293 - 25	3.8 - 15	U228 - 18	2.50 - 30	104 - 30	4.1 - 28
18	6.2 - 27	3.13 - 27	274 - 12	3.2 - 9	248 - 23	2.00 - 30	110 - 30	4.5 - 29
19	6.6 - 27	3.18 - 27	0 - 0	0.0 - 0	250 - 27	0.00 - 0	0 - 0	3.8 - 30
20	7.0 - 31	3.25 - 31	0 - 0	0.0 - 0	241 - 31	0.00 - 0	0 - 0	3.1 - 28
21	6.2 - 30	3.28 - 30	0 - 0	0.0 - 0	231 - 30	0.00 - 0	0 - 0	3.6 - 27
22	5.6 - 27	3.24 - 27	0 - 0	0.0 - 0	232 - 27	0.00 - 0	0 - 0	3.2 - 27
23	4.8 - 29	3.18 - 29	0 - 0	0.0 - 0	238 - 29	0.00 - 0	0 - 0	3.4 - 26



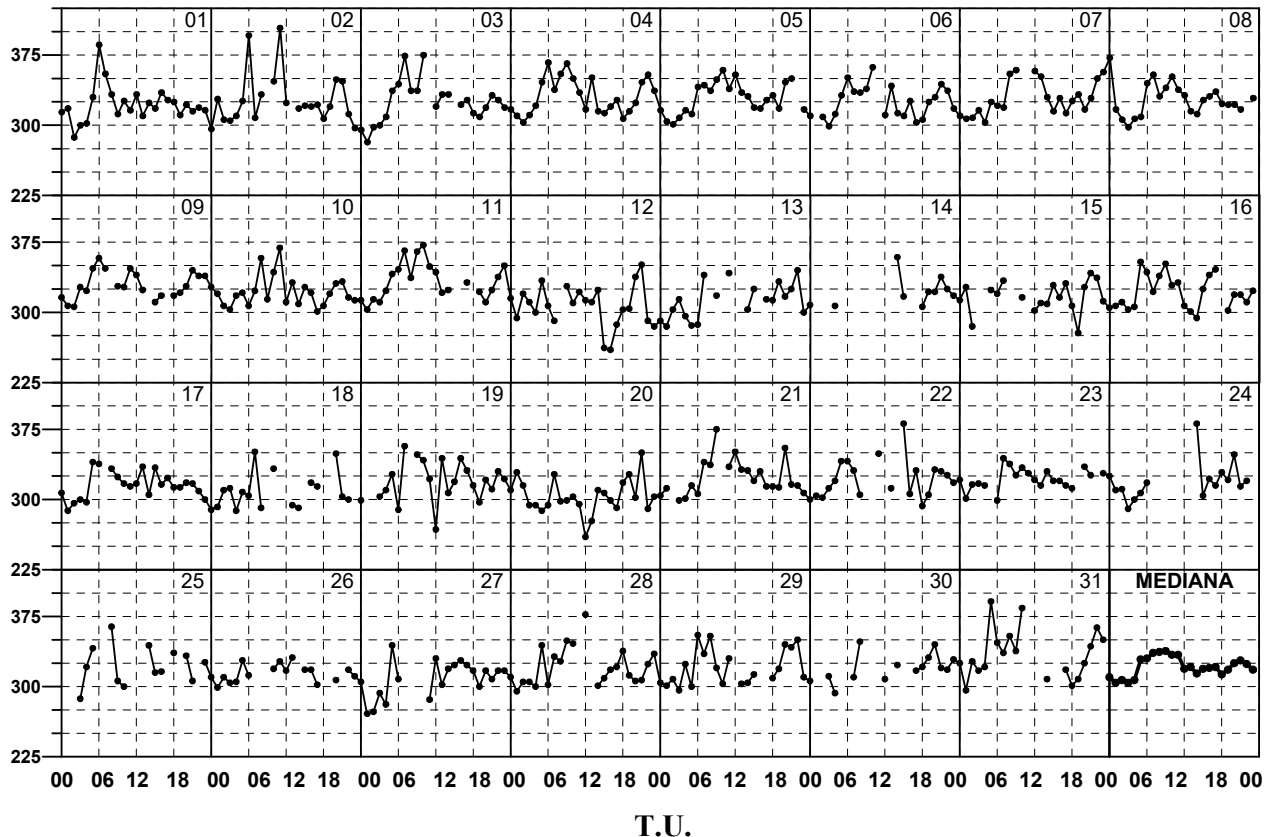
**Maig 2021**

**foF2**



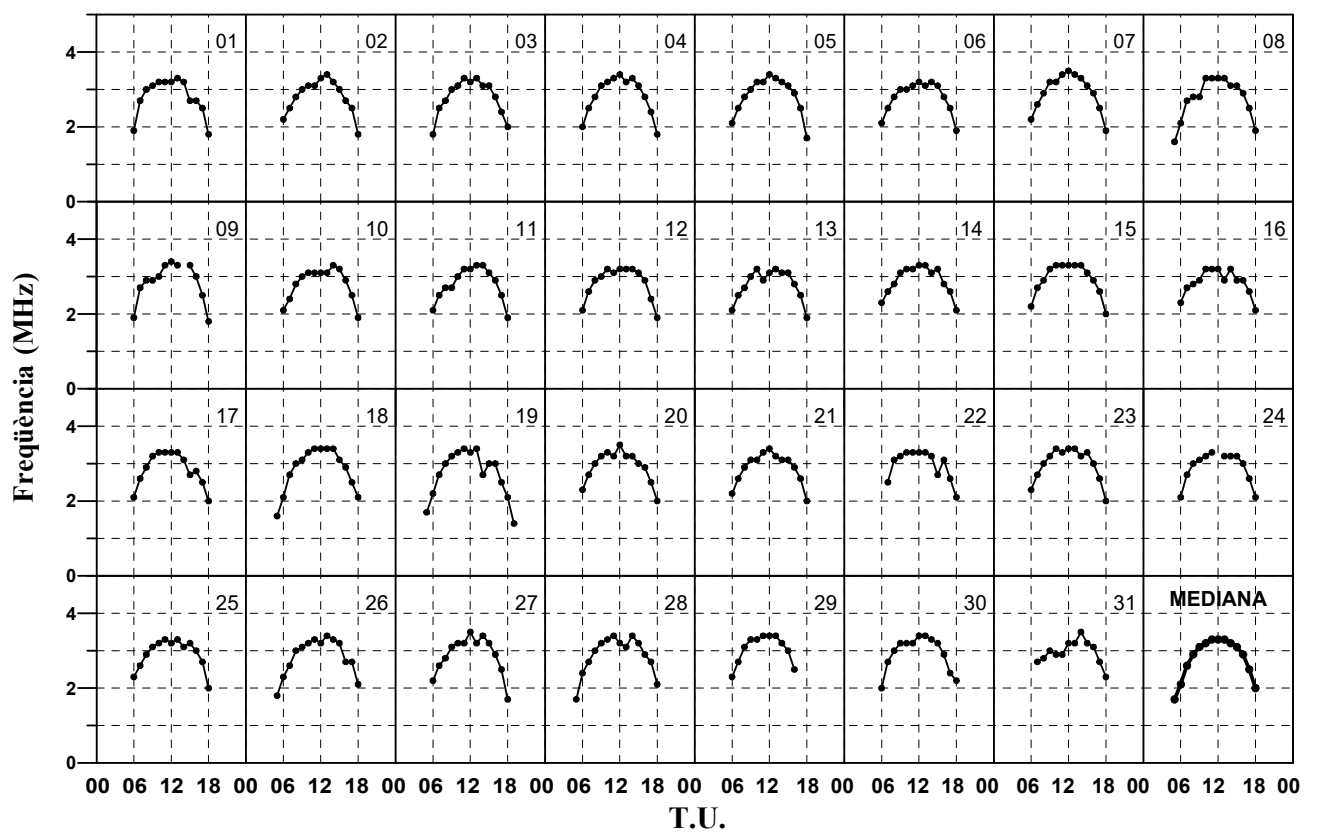
**Maig 2021**

**M(3000)F2**



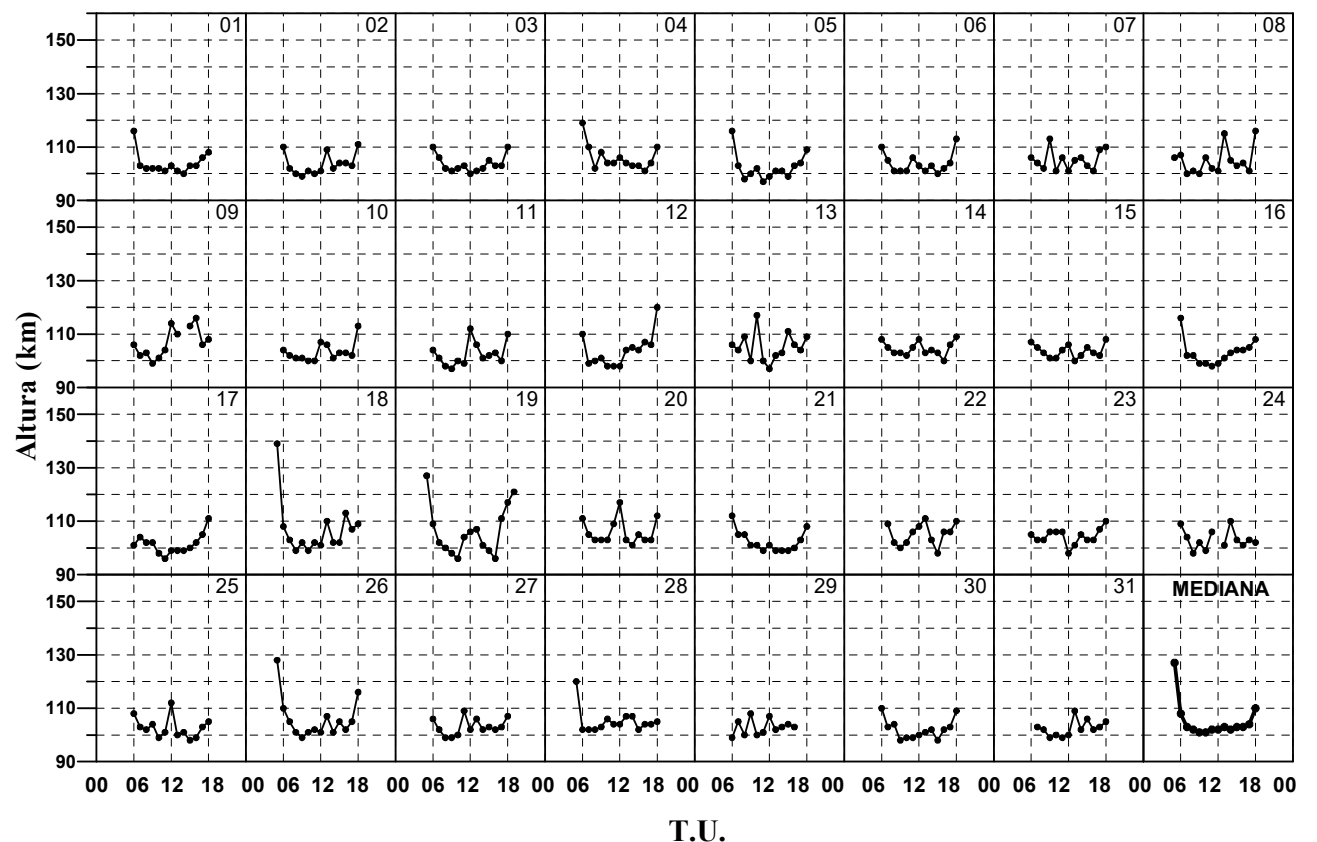
**Maig 2021**

**foE**



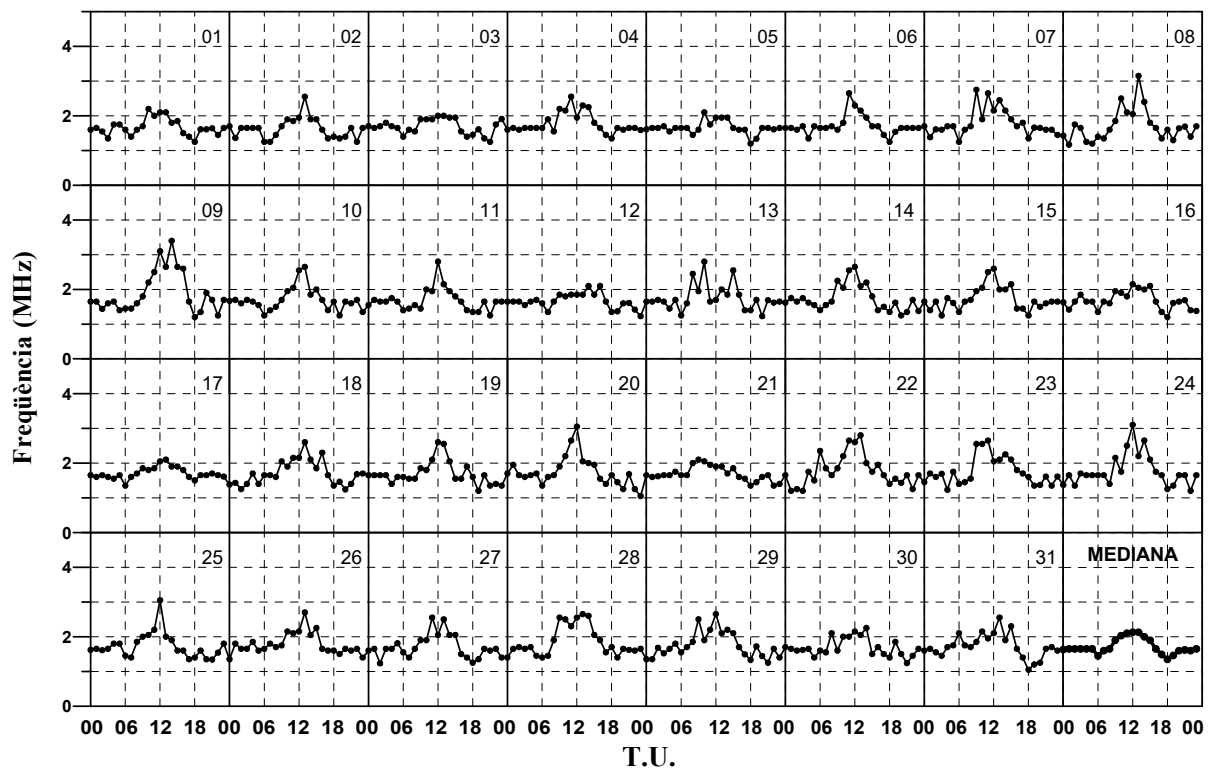
**Maig 2021**

**h'E**



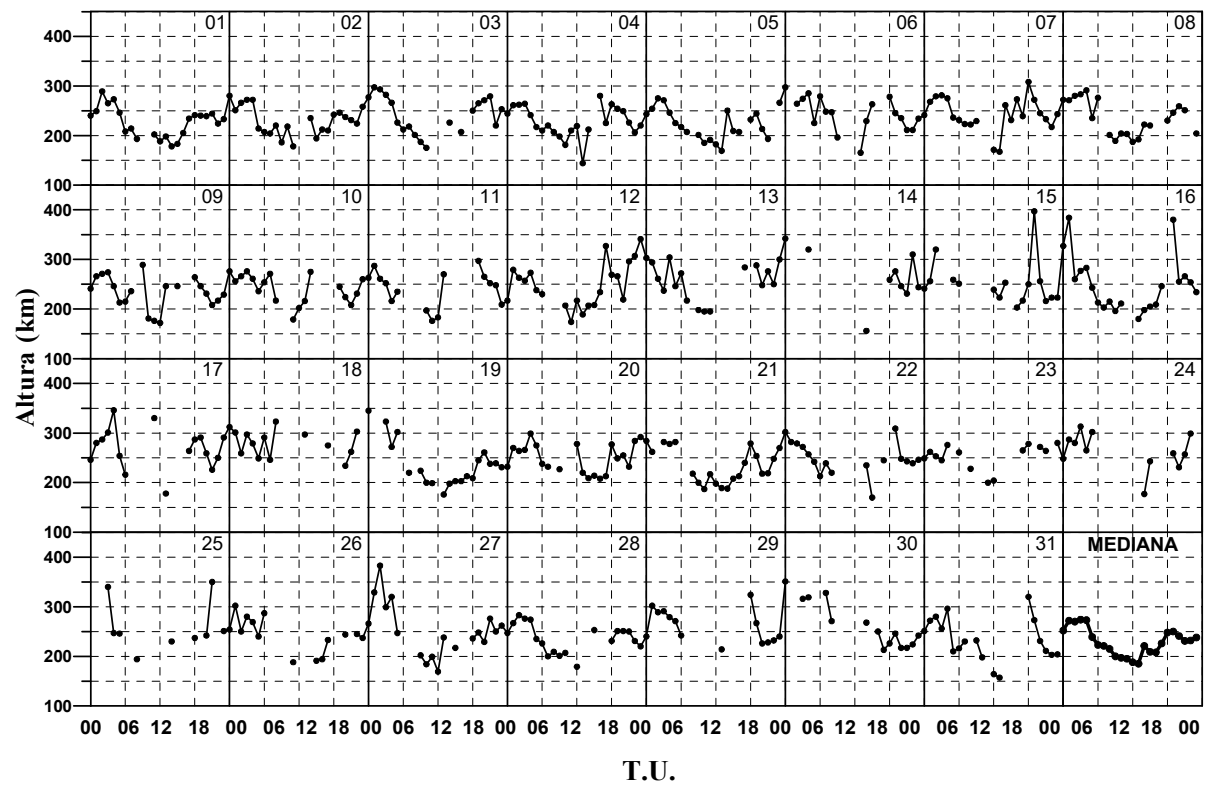
**Maig 2021**

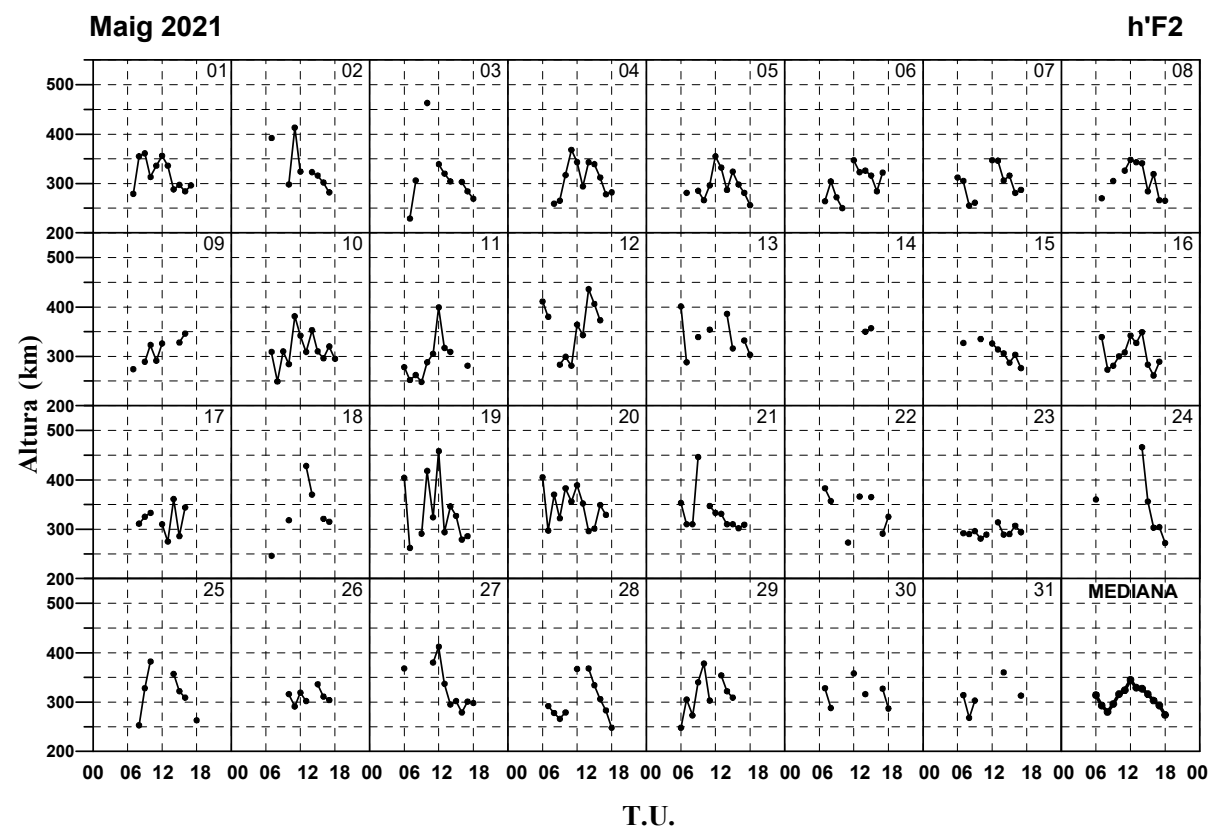
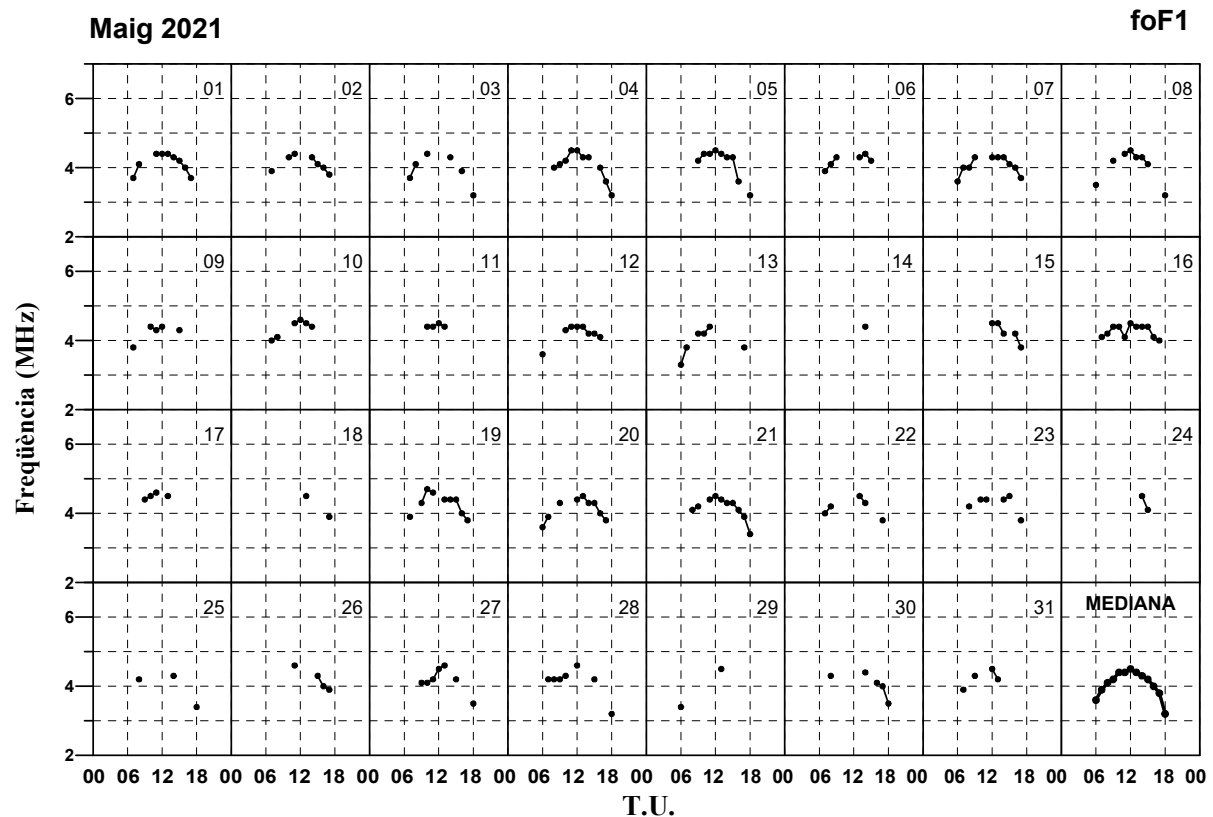
**f min**

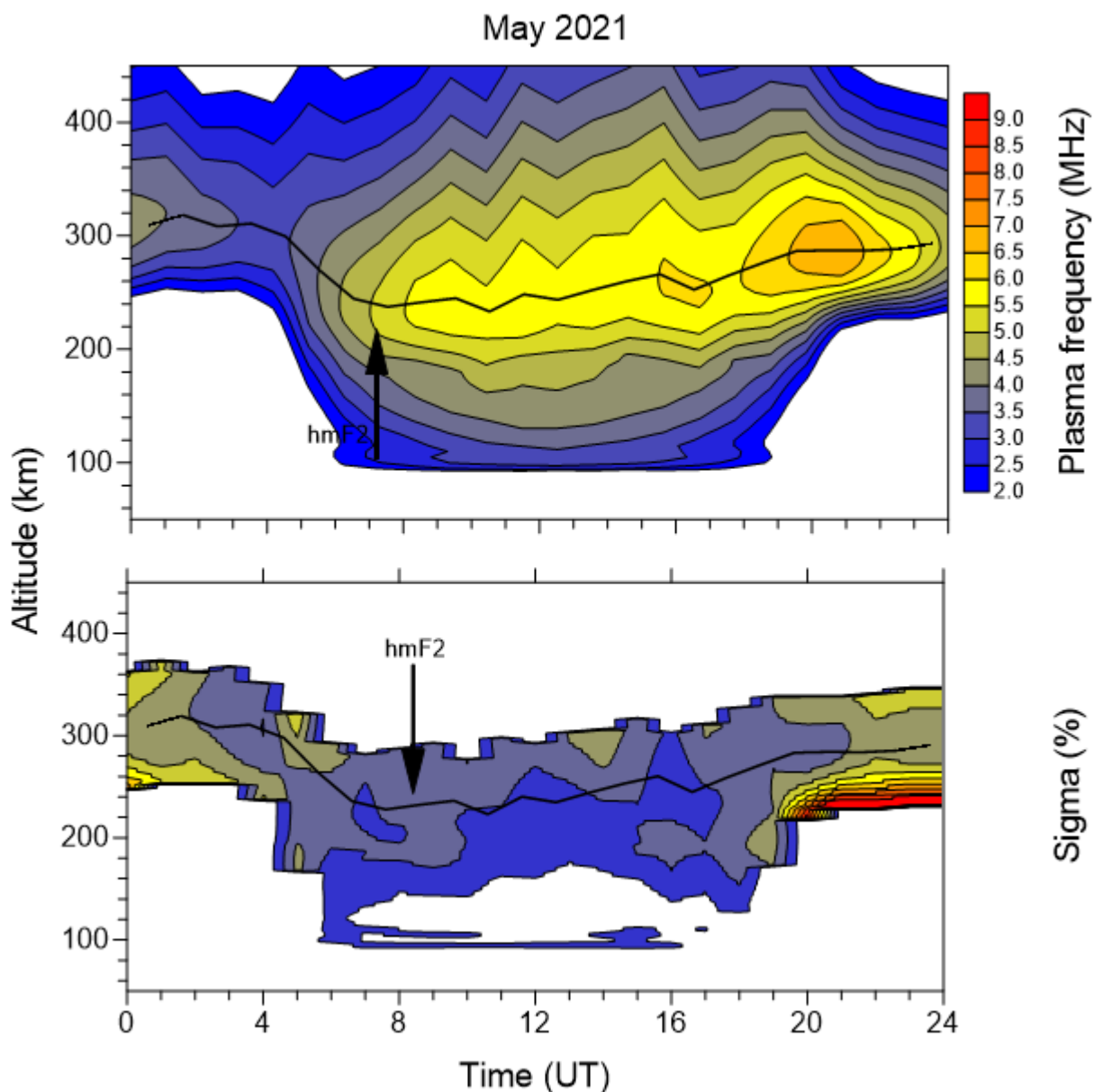


**Maig 2021**

**h'F**







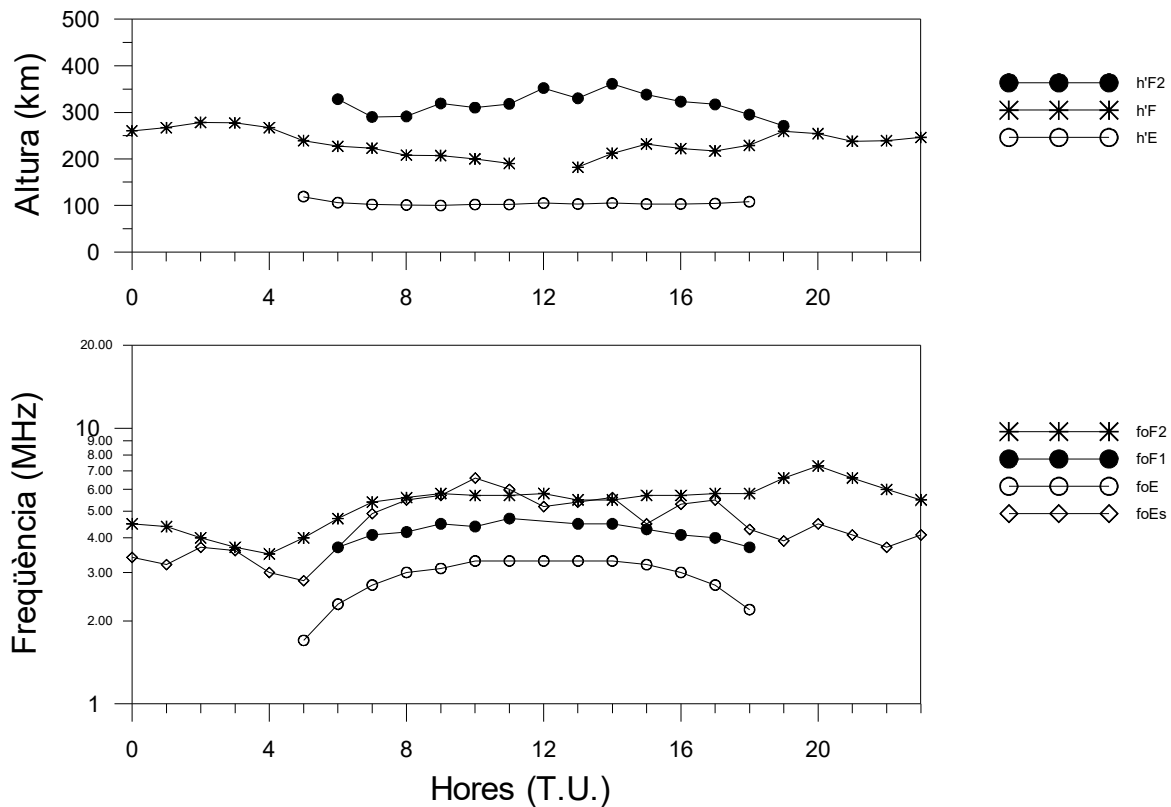
Variació diürna típica de la densitat electrònica (Freqüència de plasma) i la seva desviació estàndard (%) a sobre de l'observatori en funció de l'altura.

Variación diurna típica de la densidad electrónica (Frecuencia de plasma) y su desviación estándar (%) sobre el Observatorio en función de la altura.

Typical daily variation of the electron density (Plasma frequency) and its standard deviations (%) above the Observatory as function of the altitude.

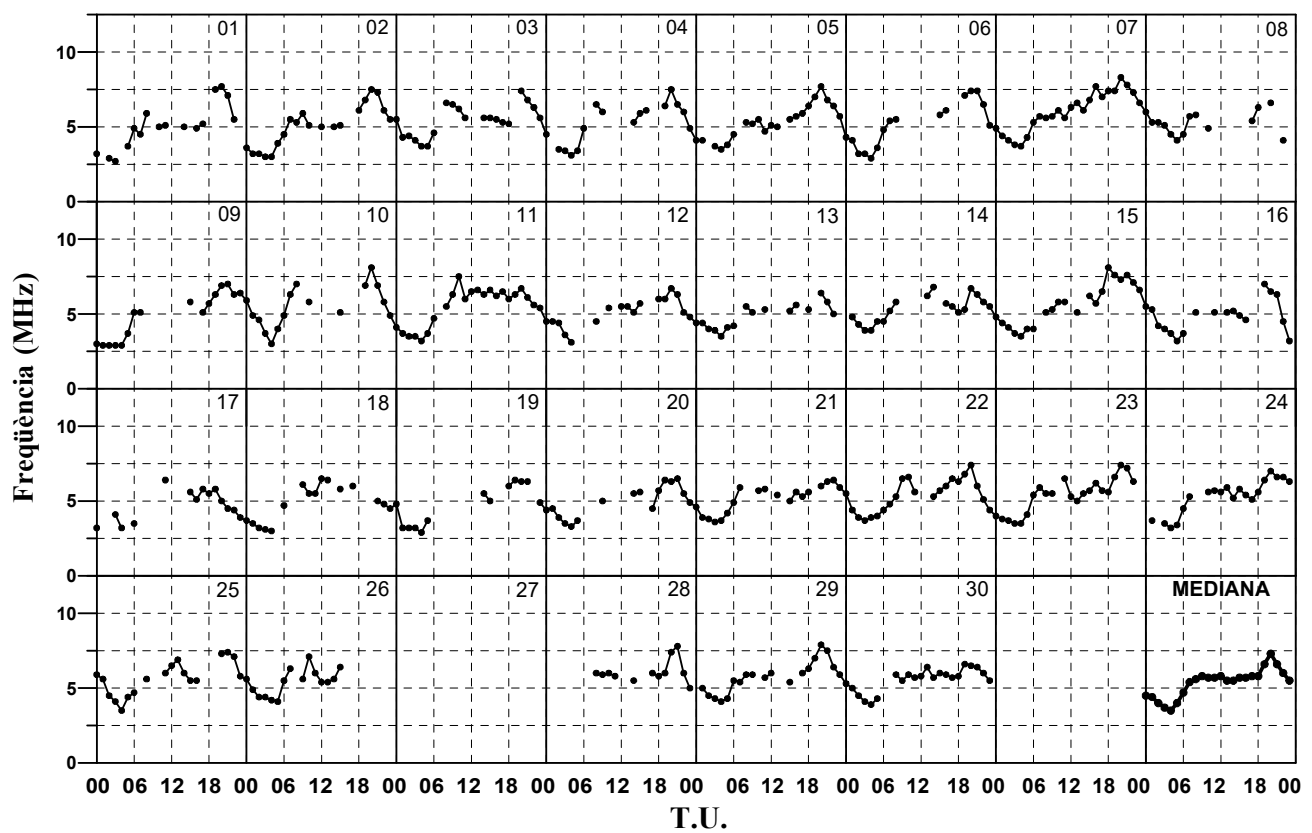
## JUNY 2021

Hora T.U.	foF2 MHz	M(3000) F2	h'F2 Km	foF1 MHz	h'F Km	foE MHz	h'E Km	foEs MHz
0	4.5 - 25	3.09 - 25	0 - 0	0.0 - 0	260 - 25	0.00 - 0	0 - 0	3.4 - 26
1	4.4 - 25	3.04 - 25	0 - 0	0.0 - 0	267 - 25	0.00 - 0	0 - 0	3.2 - 26
2	4.0 - 25	3.02 - 25	0 - 0	0.0 - 0	278 - 25	0.00 - 0	0 - 0	3.7 - 26
3	3.7 - 28	3.02 - 28	0 - 0	0.0 - 0	277 - 28	0.00 - 0	0 - 0	3.6 - 26
4	3.5 - 27	3.08 - 27	0 - 0	0.0 - 0	267 - 27	0.00 - 0	0 - 0	3.0 - 23
5	4.0 - 25	3.18 - 25	0 - 0	0.0 - 0	239 - 25	1.70 - 15	119 - 14	2.8 - 24
6	4.7 - 24	3.19 - 24	328 - 20	3.7 - 12	227 - 17	2.30 - 28	106 - 28	3.7 - 28
7	5.4 - 15	3.41 - 15	290 - 14	4.1 - 7	223 - 7	2.70 - 28	102 - 28	4.9 - 28
8	5.6 - 21	3.35 - 21	291 - 21	4.2 - 8	208 - 5	3.00 - 29	101 - 29	5.5 - 28
9	5.8 - 16	3.36 - 16	319 - 15	4.5 - 7	207 - 5	3.10 - 29	100 - 29	5.7 - 29
10	5.7 - 19	3.29 - 19	310 - 19	4.4 - 9	200 - 8	3.30 - 29	102 - 29	6.6 - 29
11	5.7 - 19	3.16 - 19	U318 - 17	4.7 - 6	190 - 6	3.30 - 29	102 - 29	6.0 - 29
12	5.8 - 12	3.16 - 12	352 - 11	0.0 - 0	0 - 0	3.30 - 27	105 - 27	5.2 - 26
13	5.5 - 15	3.18 - 15	330 - 11	4.5Y- 5	182 - 5	3.30 - 27	103 - 26	5.4 - 28
14	5.5 - 18	3.05 - 18	361 - 16	4.5 - 10	212 - 5	3.30 - 28	105 - 28	5.6 - 27
15	5.7 - 25	3.14 - 25	338 - 23	4.3 - 14	232 - 14	3.20 - 28	103 - 28	4.5 - 25
16	5.7 - 18	3.13 - 18	323 - 18	4.1 - 10	222 - 11	3.00 - 27	103 - 27	5.3 - 27
17	5.8 - 19	3.13 - 19	317 - 19	4.0 - 12	U217 - 11	2.70 - 28	104 - 28	5.5 - 26
18	5.8 - 21	3.12 - 21	295 - 16	3.7 - 11	229 - 14	2.20 - 23	108 - 23	4.3 - 28
19	6.6 - 22	3.09 - 22	271 - 6	0.0 - 0	259 - 20	0.00 - 0	0 - 0	3.9 - 28
20	7.3 - 27	3.22 - 27	0 - 0	0.0 - 0	254 - 27	0.00 - 0	0 - 0	4.5 - 26
21	6.6 - 27	3.25 - 27	0 - 0	0.0 - 0	238 - 27	0.00 - 0	0 - 0	4.1 - 27
22	6.0 - 27	3.21 - 27	0 - 0	0.0 - 0	239 - 27	0.00 - 0	0 - 0	3.7 - 27
23	5.5 - 24	3.15 - 24	0 - 0	0.0 - 0	246 - 24	0.00 - 0	0 - 0	4.1 - 26



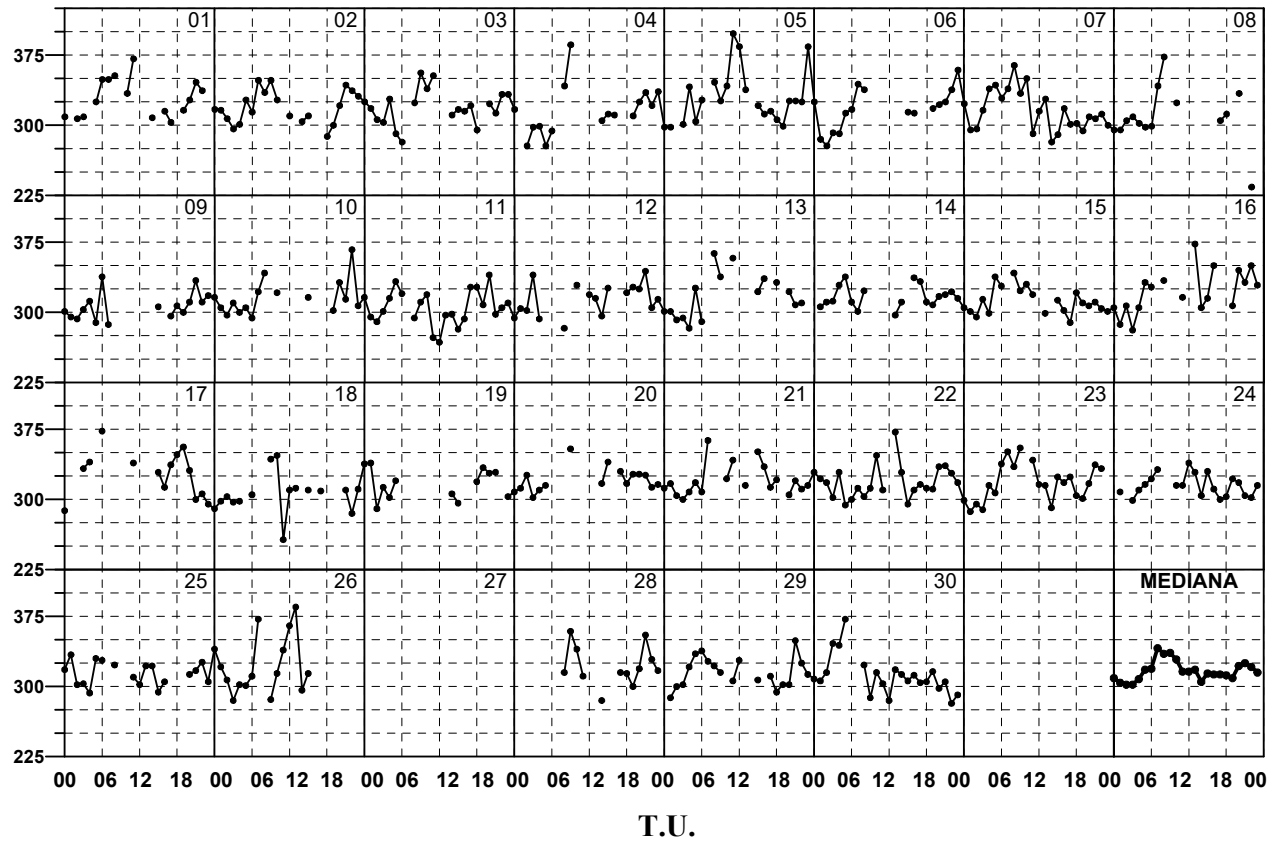
Juny 2021

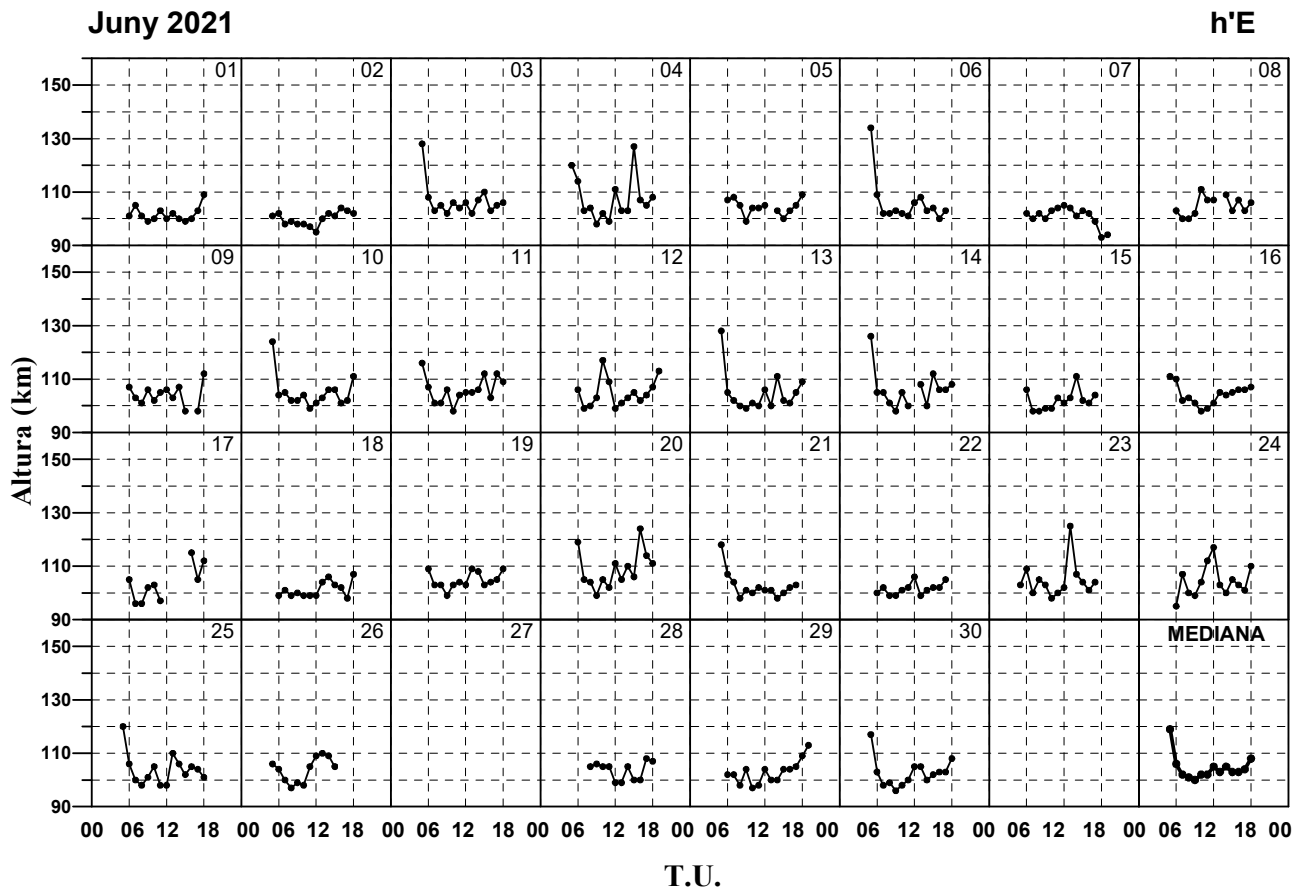
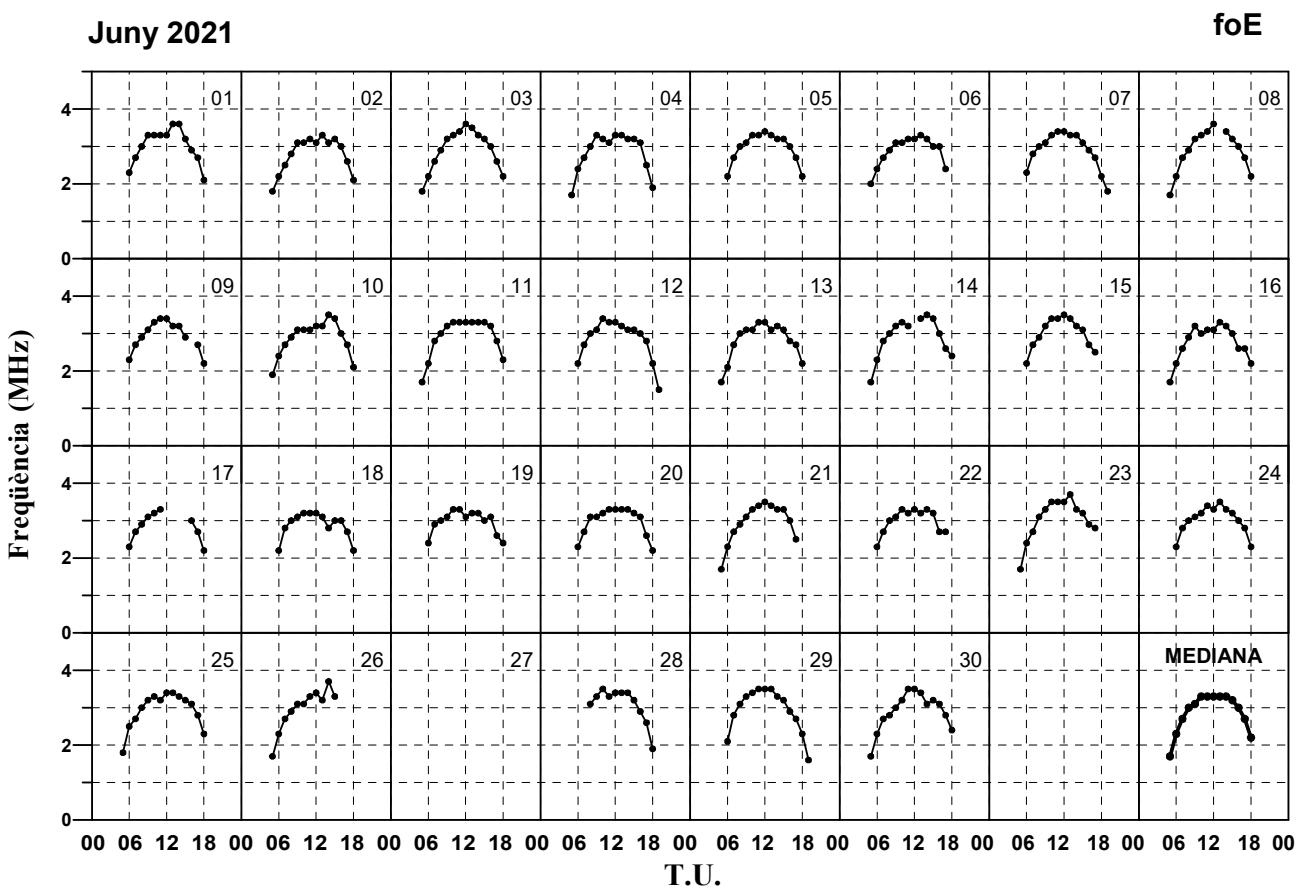
foF2



Juny 2021

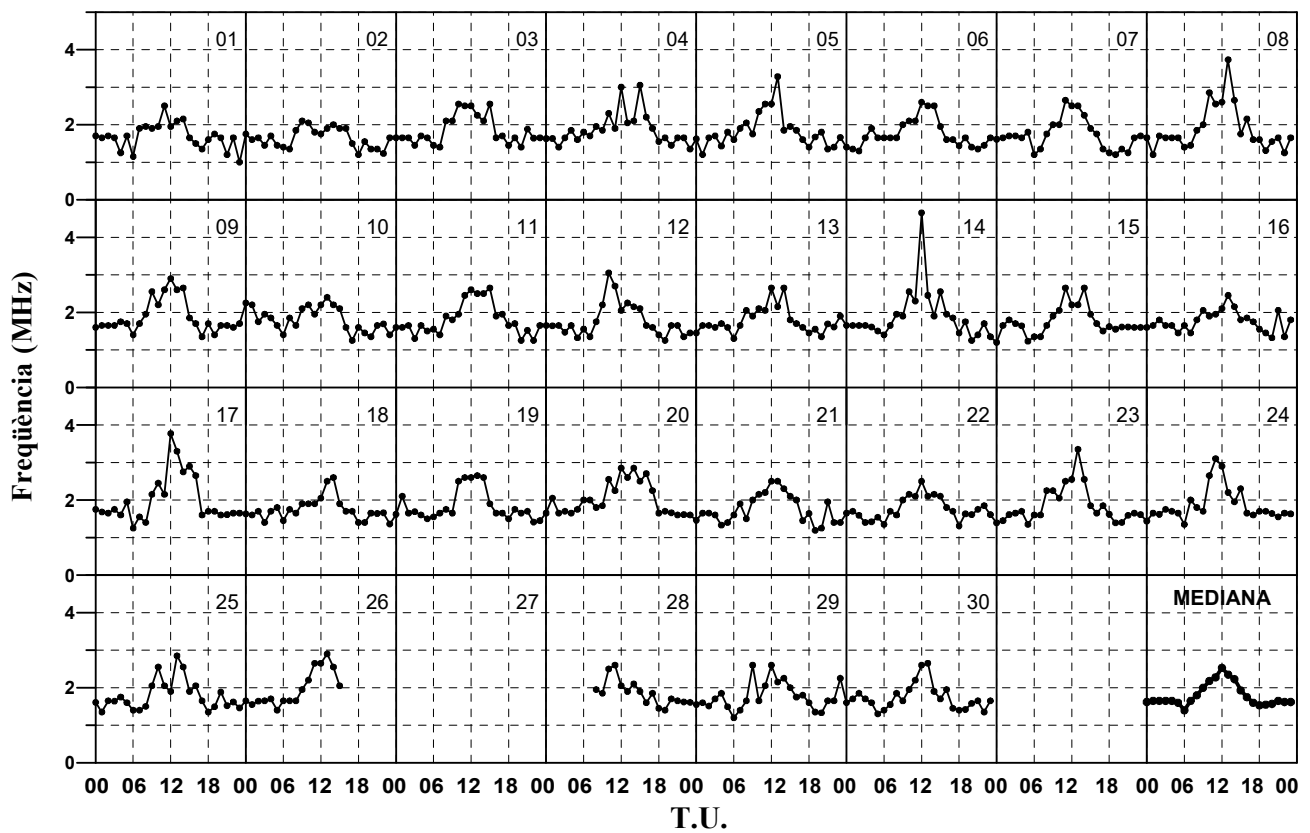
M(300)F2





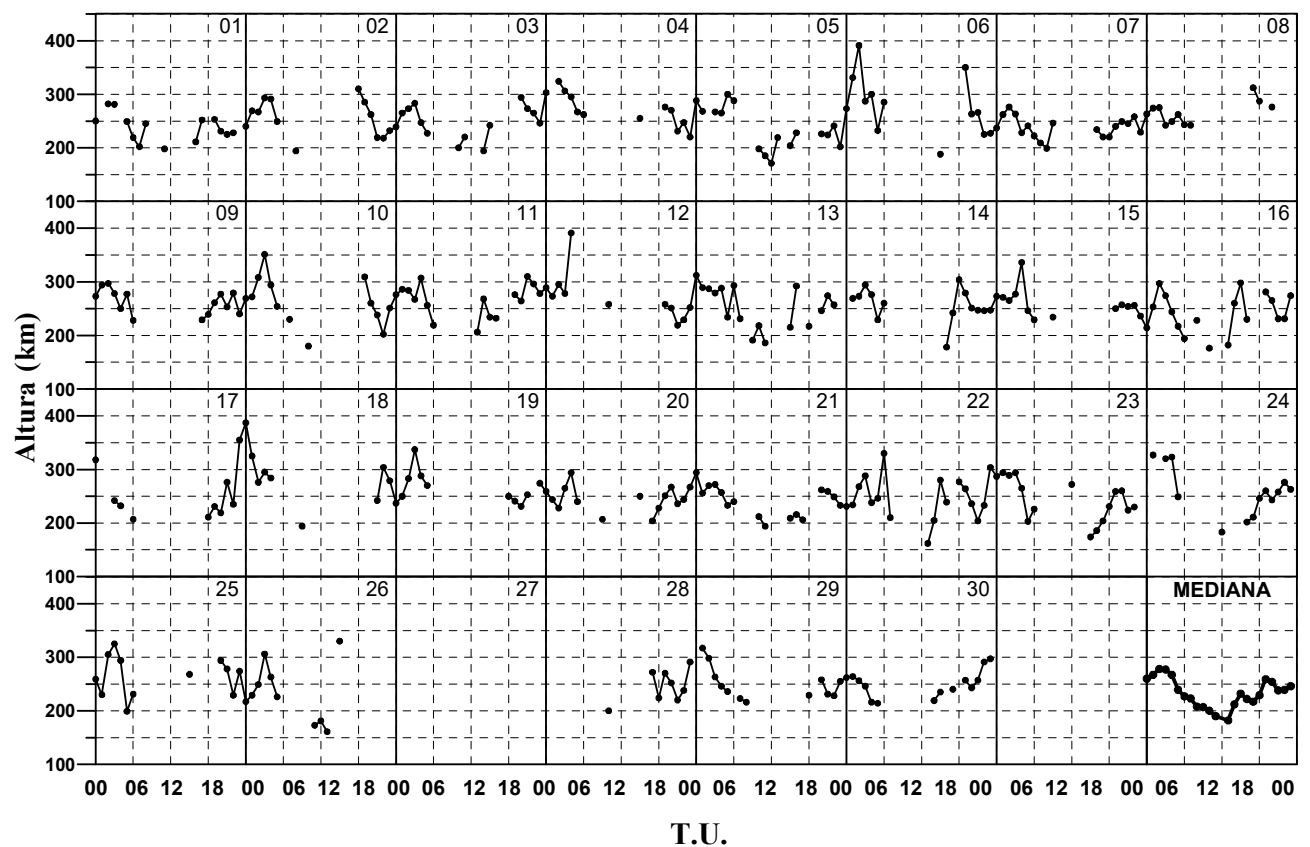
Juny 2021

$f \text{ min}$



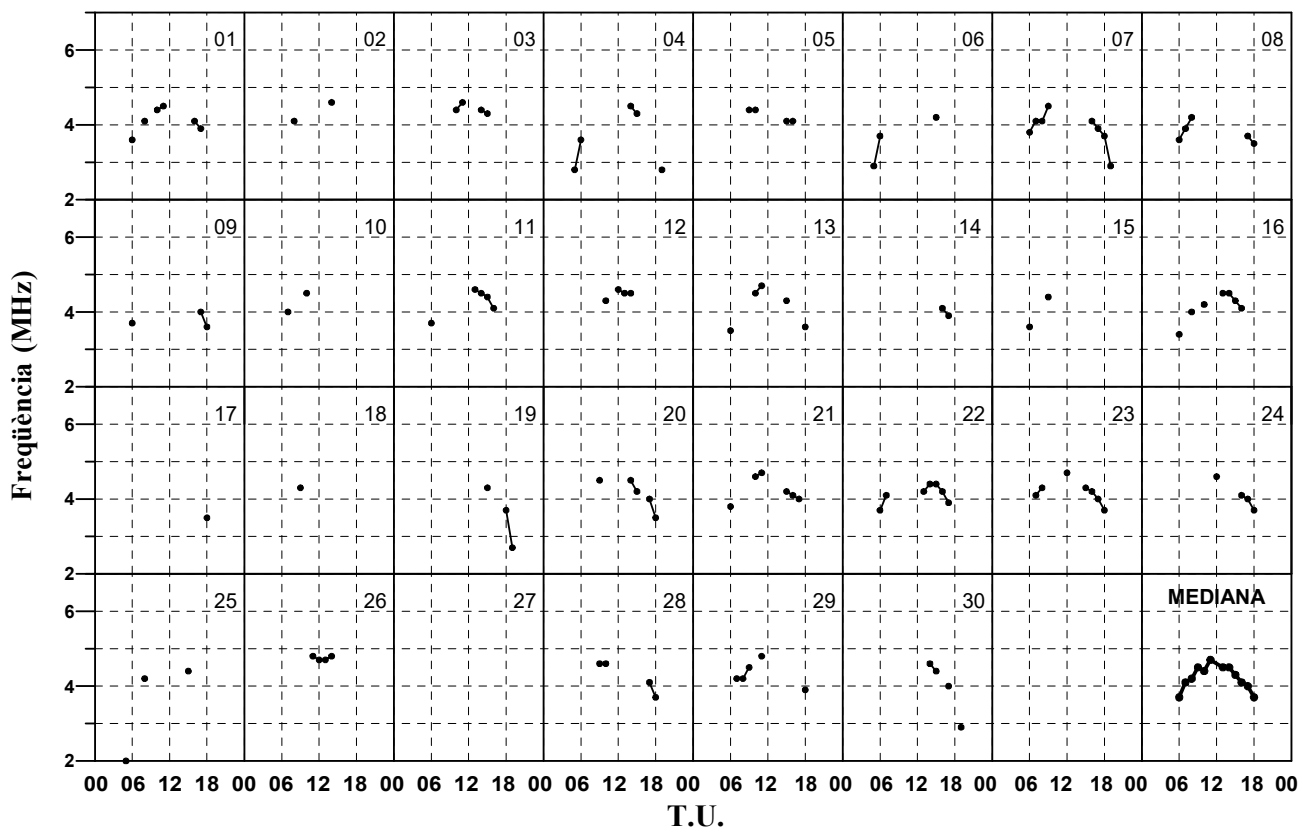
Juny 2021

$h'F$  •



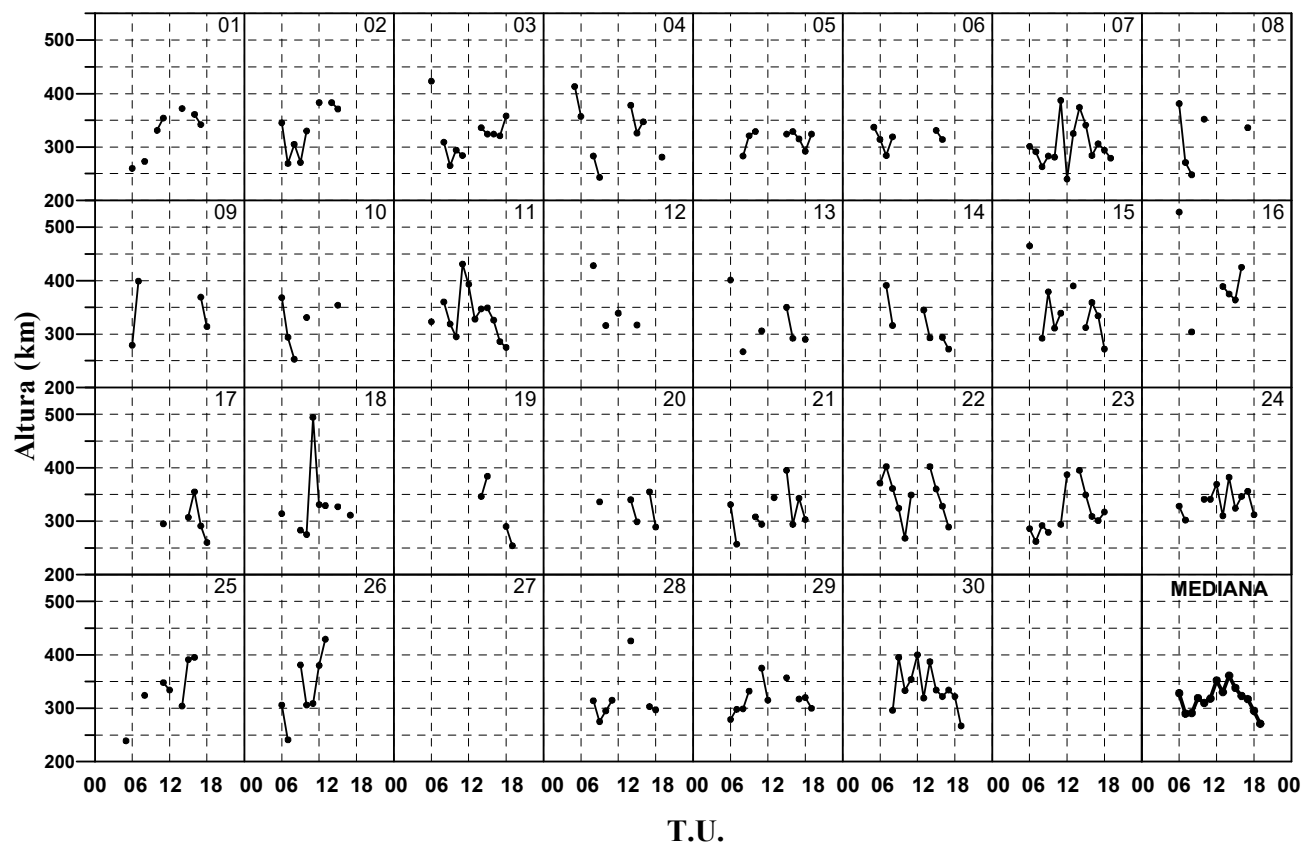
Juny 2021

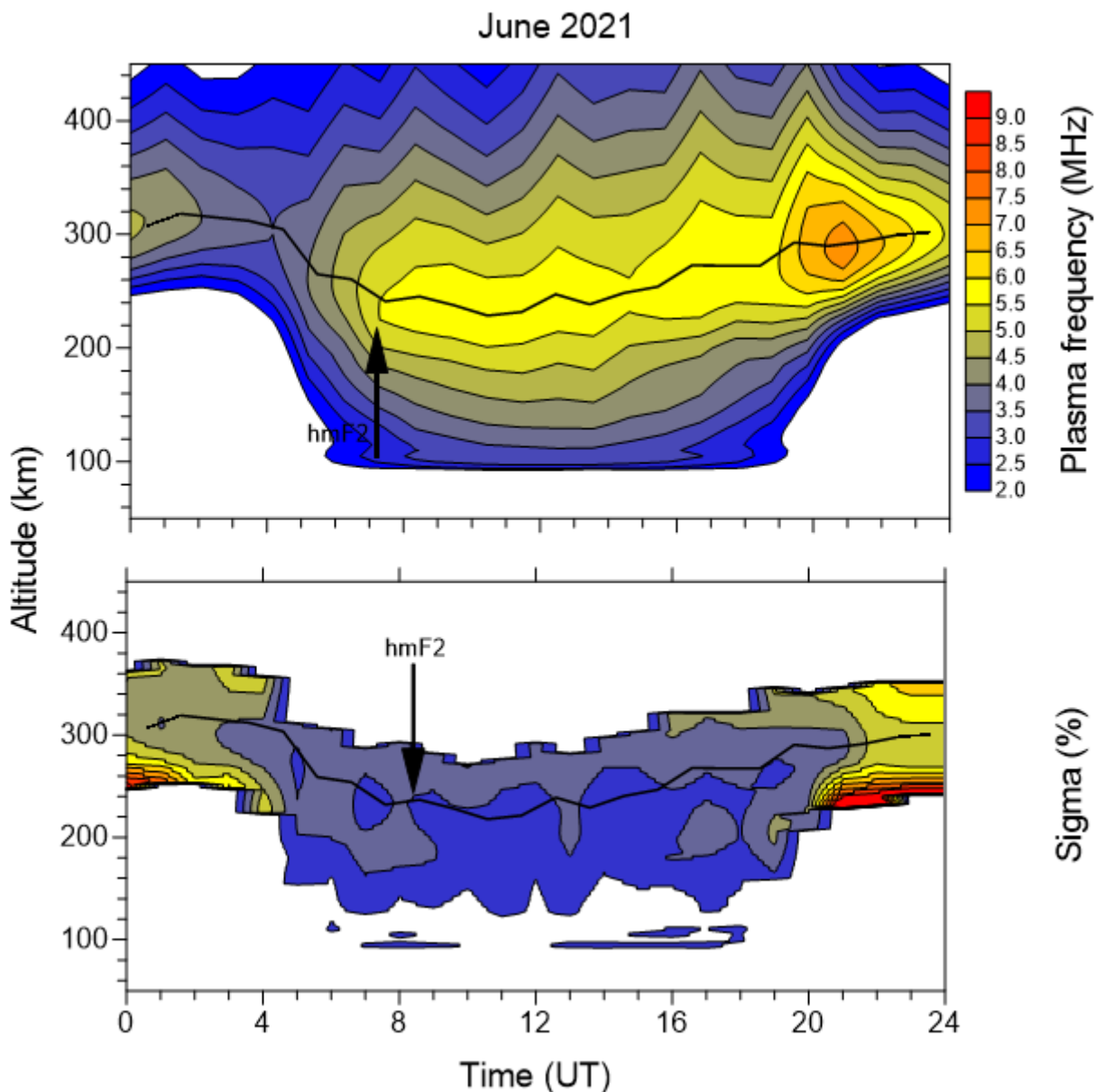
foF1



Juny 2021

h'F2





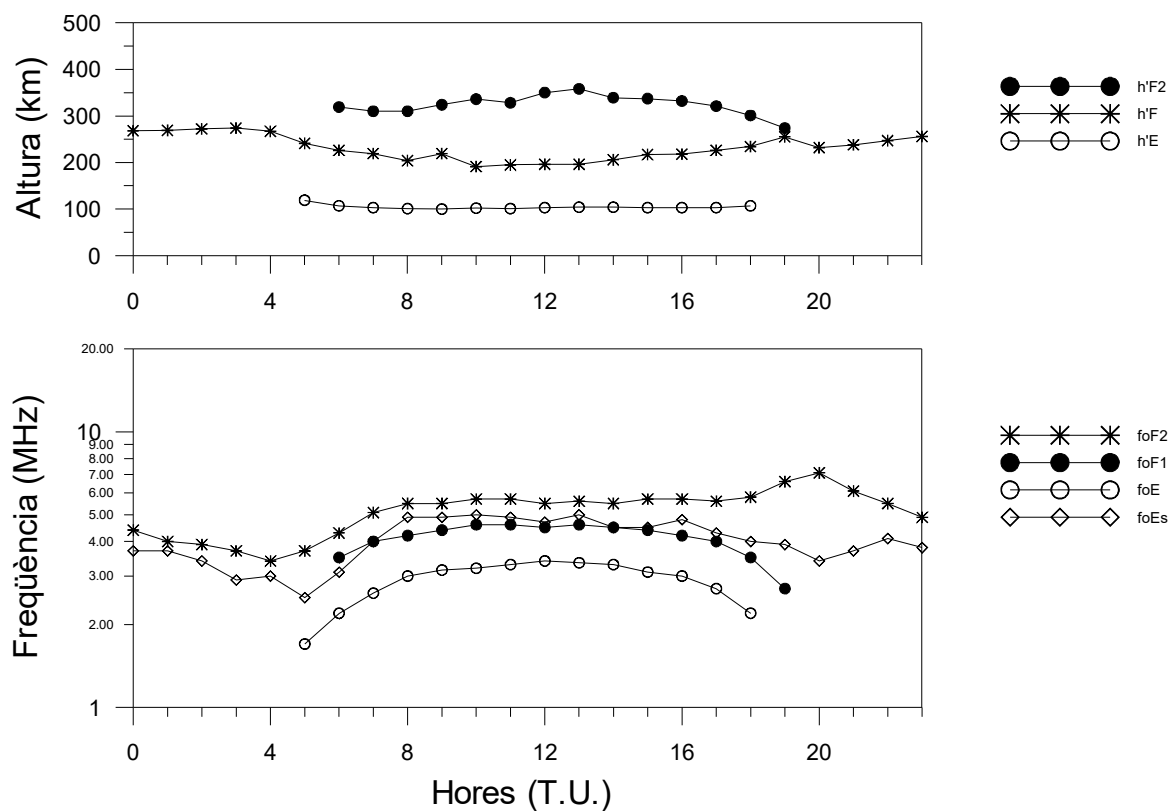
Variació diürna típica de la densitat electrònica (Freqüència de plasma) i la seva desviació estàndard (%) a sobre de l'observatori en funció de l'altura.

Variación diurna típica de la densidad electrónica (Frecuencia de plasma) y su desviación estándar (%) sobre el Observatorio en función de la altura.

Typical daily variation of the electron density (Plasma frequency) and its standard deviations (%) above the Observatory as function of the altitude.

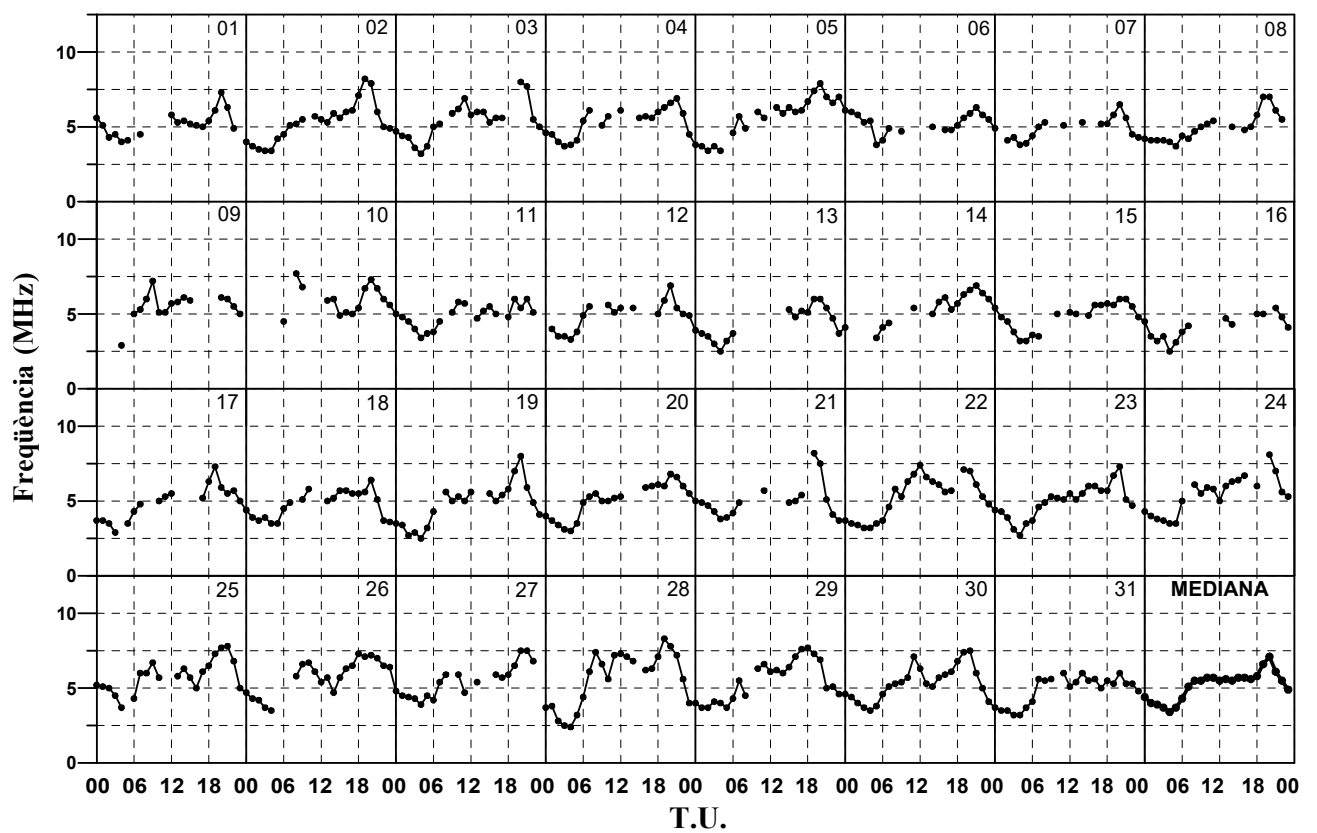
## JULIOL 2021

Hora T.U.	foF2 MHz	M(3000) F2	h'F2 Km	foF1 MHz	h'F Km	foE MHz	h'E Km	foEs MHz
0	4.4 - 28	3.02 - 28	0 - 0	0.0 - 0	268 - 28	0.00 - 0	0 - 0	3.7 - 28
1	4.0 - 27	2.99 - 27	0 - 0	0.0 - 0	269 - 27	0.00 - 0	0 - 0	3.7 - 24
2	3.9 - 28	3.05 - 28	0 - 0	0.0 - 0	272 - 28	0.00 - 0	0 - 0	3.4 - 26
3	3.7 - 28	3.05 - 28	0 - 0	0.0 - 0	274 - 28	0.00 - 0	0 - 0	2.9 - 22
4	3.4 - 28	3.09 - 28	0 - 0	0.0 - 0	267 - 28	0.00 - 0	0 - 0	3.0 - 25
5	3.7 - 26	3.28 - 26	0 - 0	0.0 - 0	241 - 26	1.70 - 7	119 - 7	2.5 - 24
6	4.3 - 29	3.24 - 29	319 - 15	3.5 - 14	226 - 27	2.20 - 30	107 - 30	3.1 - 26
7	5.1 - 26	3.29 - 26	310 - 22	4.0 - 17	U219 - 19	2.60 - 30	103 - 30	4.0 - 30
8	5.5 - 21	3.31 - 21	310 - 18	4.2 - 10	204 - 10	3.00 - 31	101 - 31	4.9 - 31
9	5.5 - 19	3.36 - 19	324 - 18	4.4 - 14	219 - 13	3.15 - 30	100 - 30	4.9 - 30
10	5.7 - 22	3.24 - 22	336 - 21	4.6 - 9	191 - 11	3.20 - 31	102 - 31	5.0 - 31
11	5.7 - 22	3.30 - 22	328 - 22	4.6 - 11	195 - 11	3.30 - 29	101 - 29	4.9 - 31
12	5.5 - 20	3.28 - 20	350 - 19	4.5 - 15	196 - 15	3.40 - 29	103 - 29	4.7 - 30
13	5.6 - 20	3.19 - 20	358 - 19	4.6 - 12	196 - 12	3.35 - 28	104 - 28	5.0 - 27
14	5.5 - 25	3.14 - 25	339 - 24	4.5 - 16	206 - 15	3.30 - 31	104 - 31	4.5 - 27
15	5.7 - 22	3.15 - 22	337 - 20	4.4 - 12	217 - 11	3.10 - 30	103 - 30	4.5 - 29
16	5.7 - 26	3.13 - 26	332 - 25	4.2 - 18	218 - 17	3.00 - 29	103 - 29	4.8 - 29
17	5.6 - 26	3.10 - 26	321 - 23	4.0 - 17	U228 - 18	2.70 - 29	103 - 29	4.3 - 27
18	5.8 - 27	3.08 - 27	301 - 21	3.5 - 17	U234 - 23	2.20 - 24	107 - 24	4.0 - 30
19	6.6 - 28	3.16 - 28	274 - 7	2.7 - 7	255 - 27	0.00 - 0	0 - 0	3.9 - 30
20	7.1 - 30	3.29 - 30	0 - 0	0.0 - 0	232 - 30	0.00 - 0	0 - 0	3.4 - 28
21	6.1 - 31	3.26 - 31	0 - 0	0.0 - 0	238 - 31	0.00 - 0	0 - 0	3.7 - 29
22	5.5 - 31	3.16 - 31	0 - 0	0.0 - 0	247 - 31	0.00 - 0	0 - 0	4.1 - 26
23	4.9 - 26	3.10 - 26	0 - 0	0.0 - 0	256 - 26	0.00 - 0	0 - 0	3.8 - 28



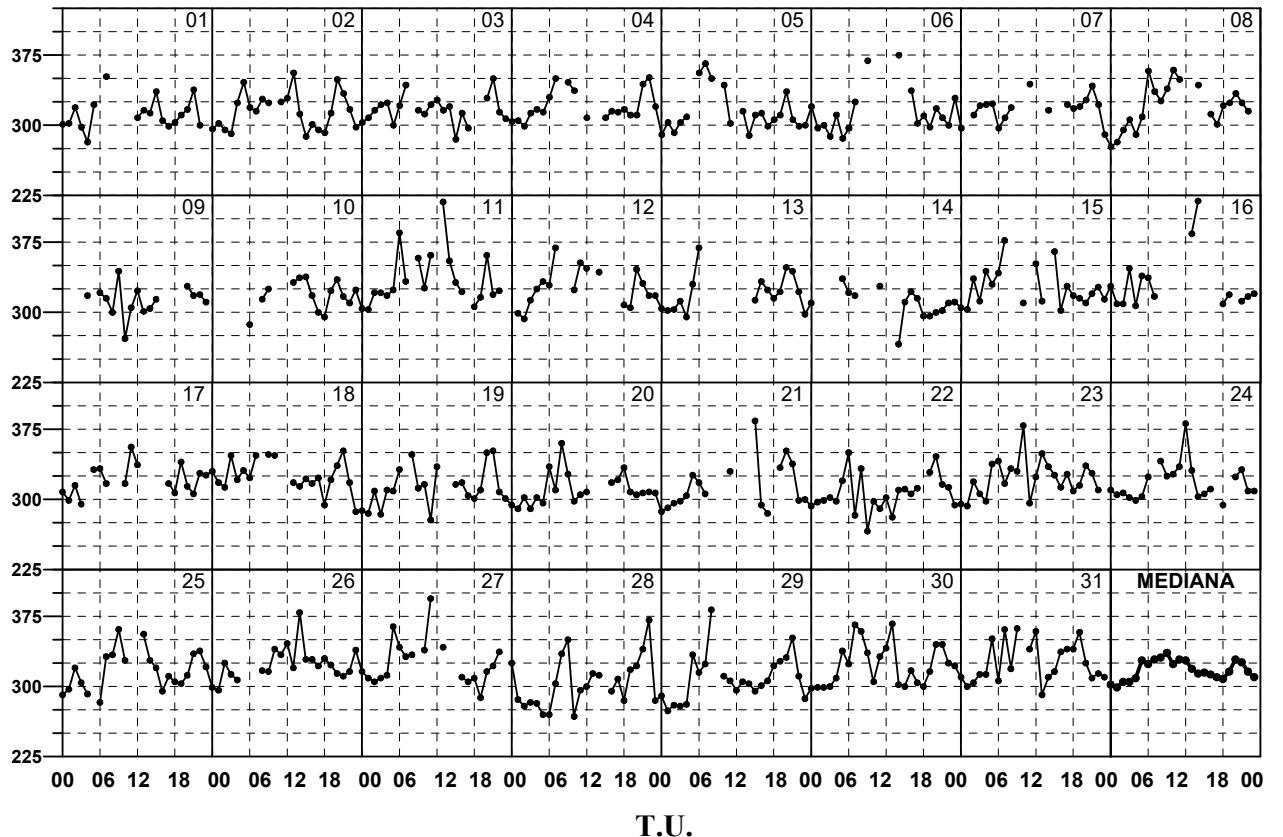
**Juliol 2021**

**foF2**



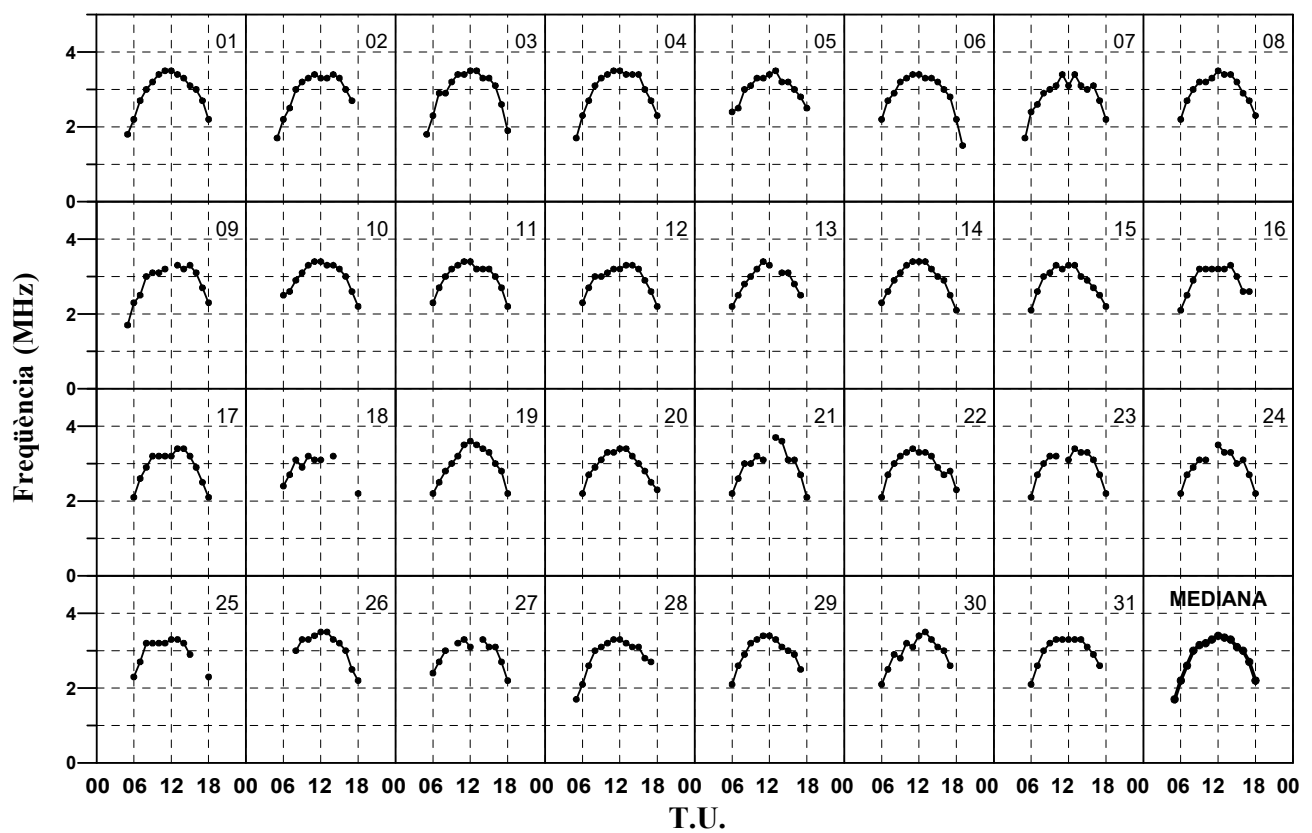
**Juliol 2021**

**M(3000)F2**



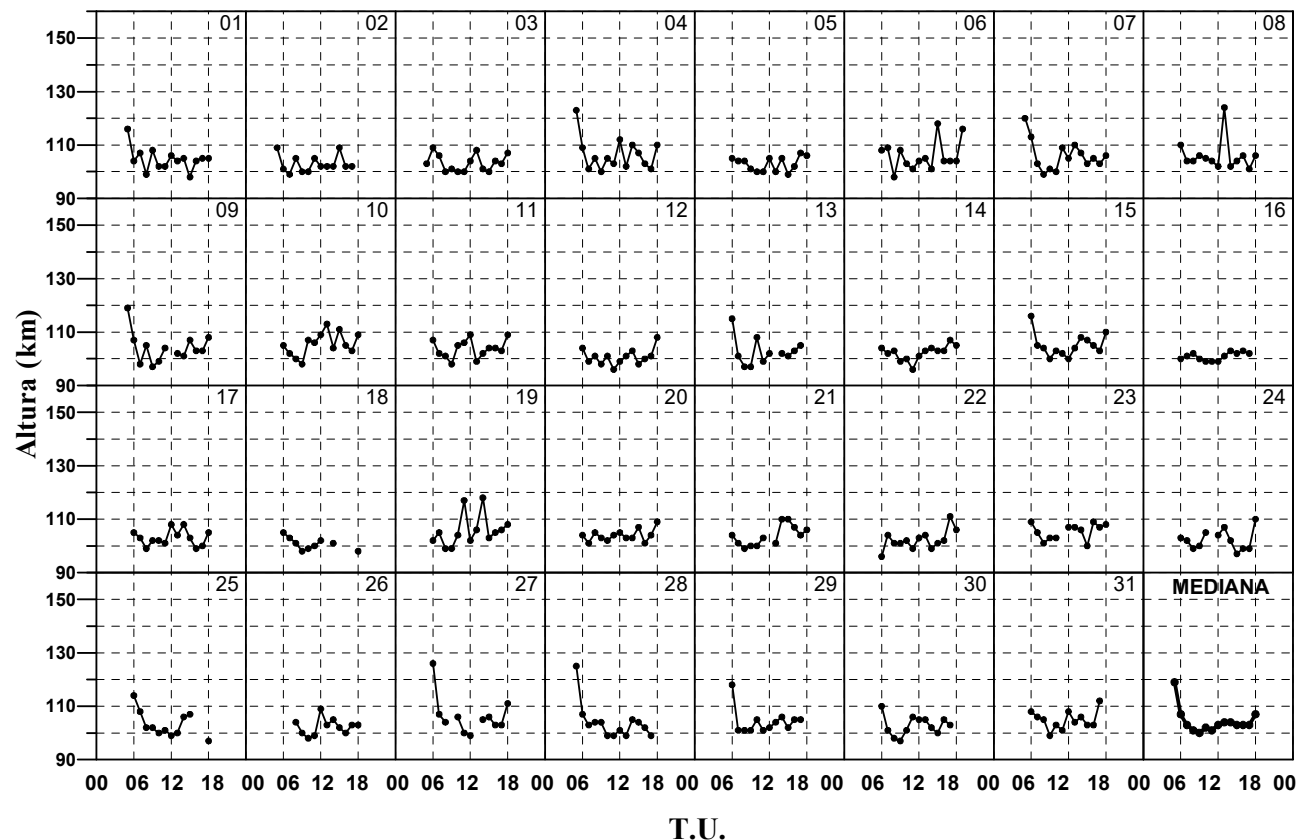
**Juliol 2021**

**foE**



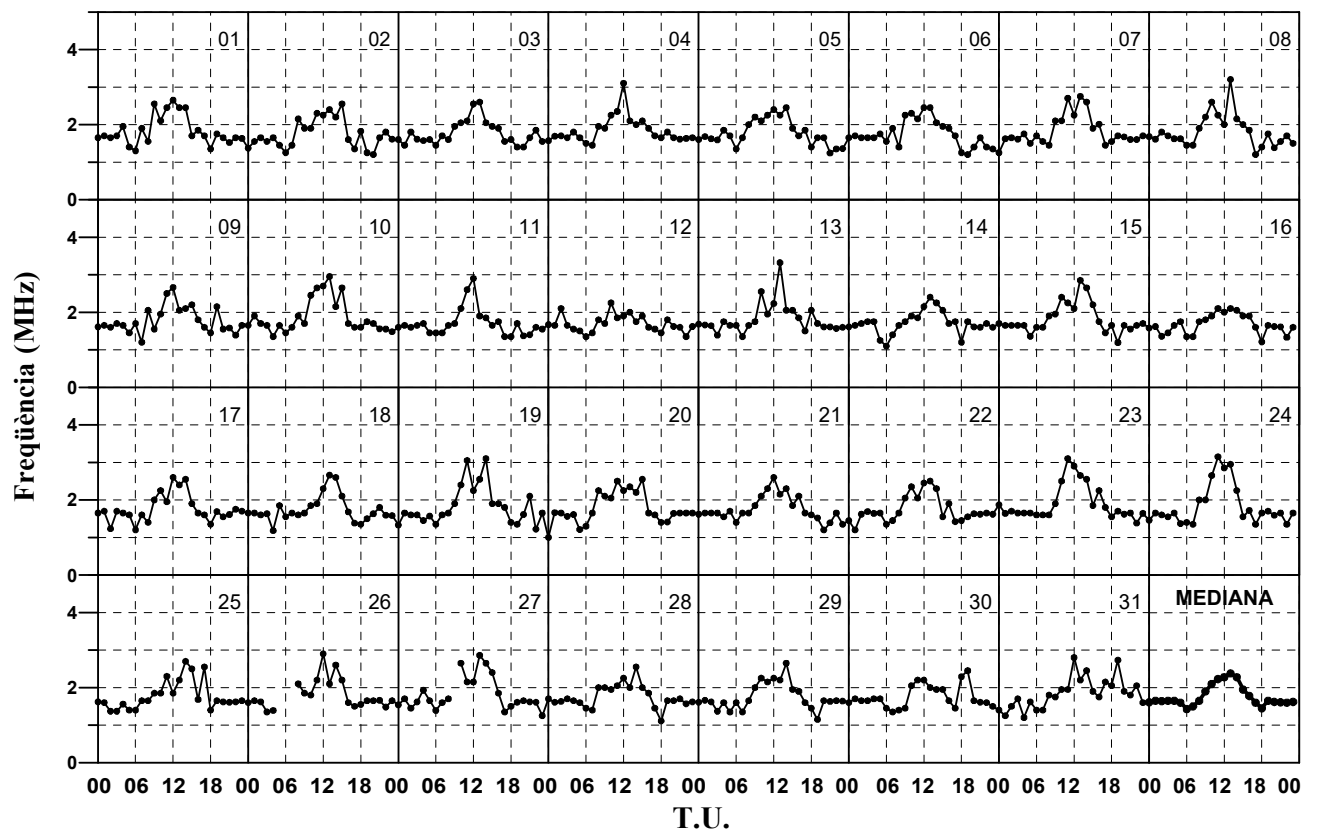
**Juliol 2021**

**h'E**



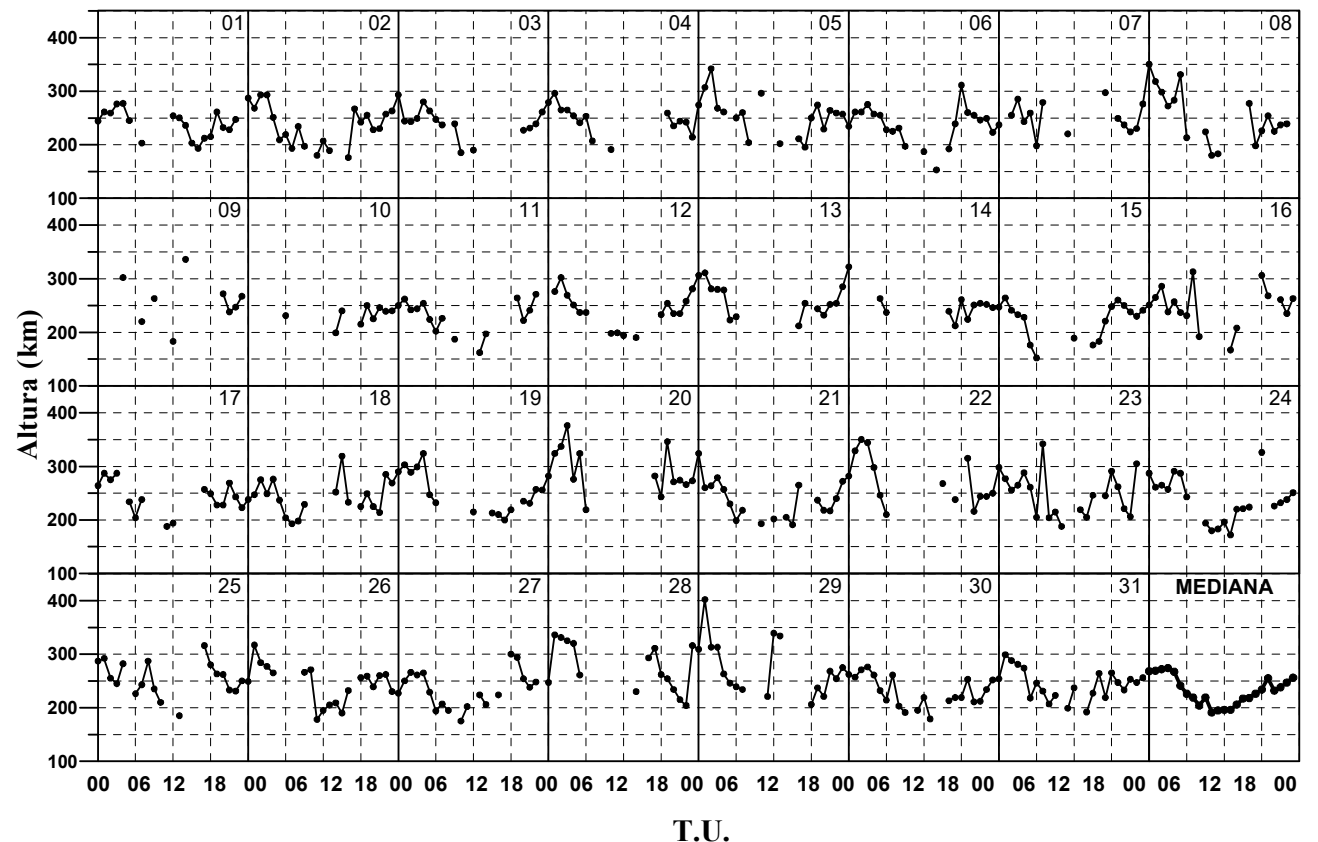
**Juliol 2021**

**f min**



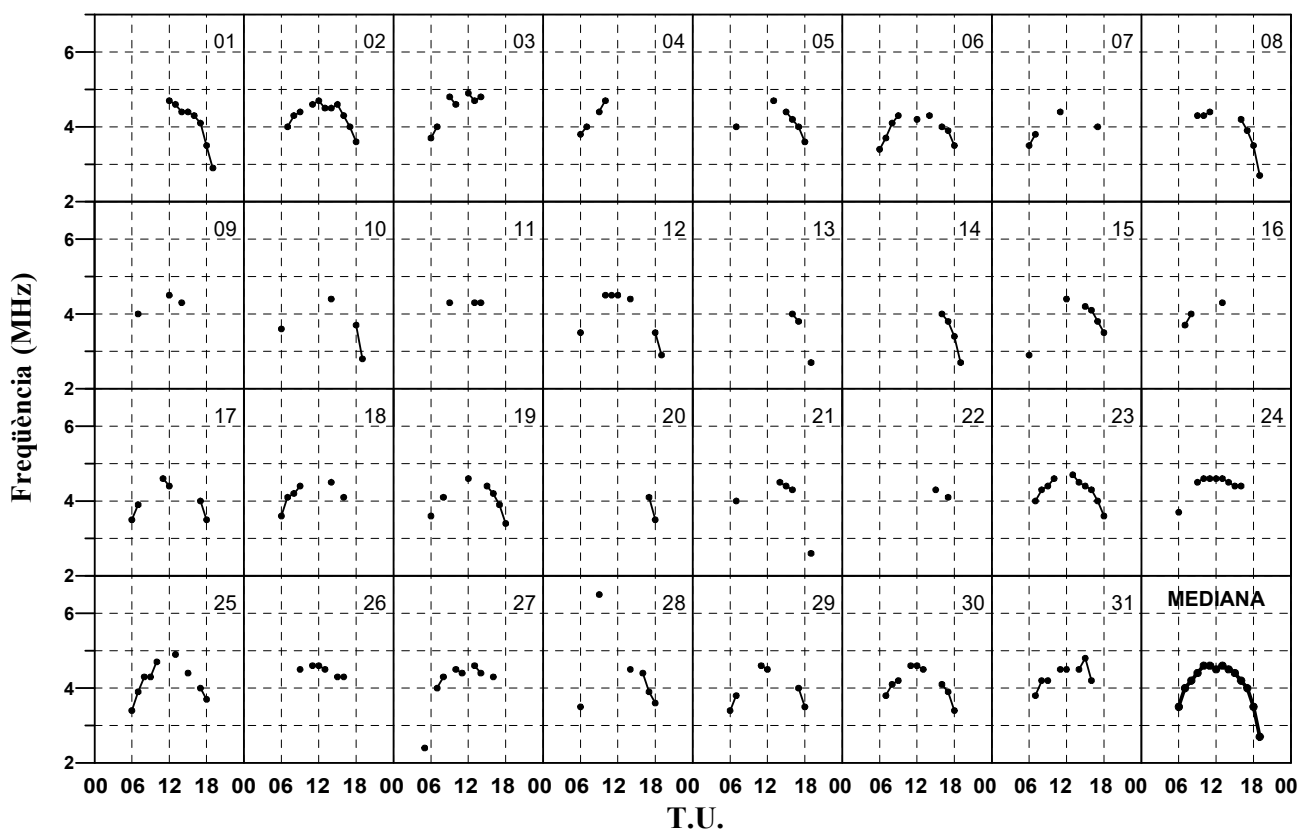
**Juliol 2021**

**h'F**



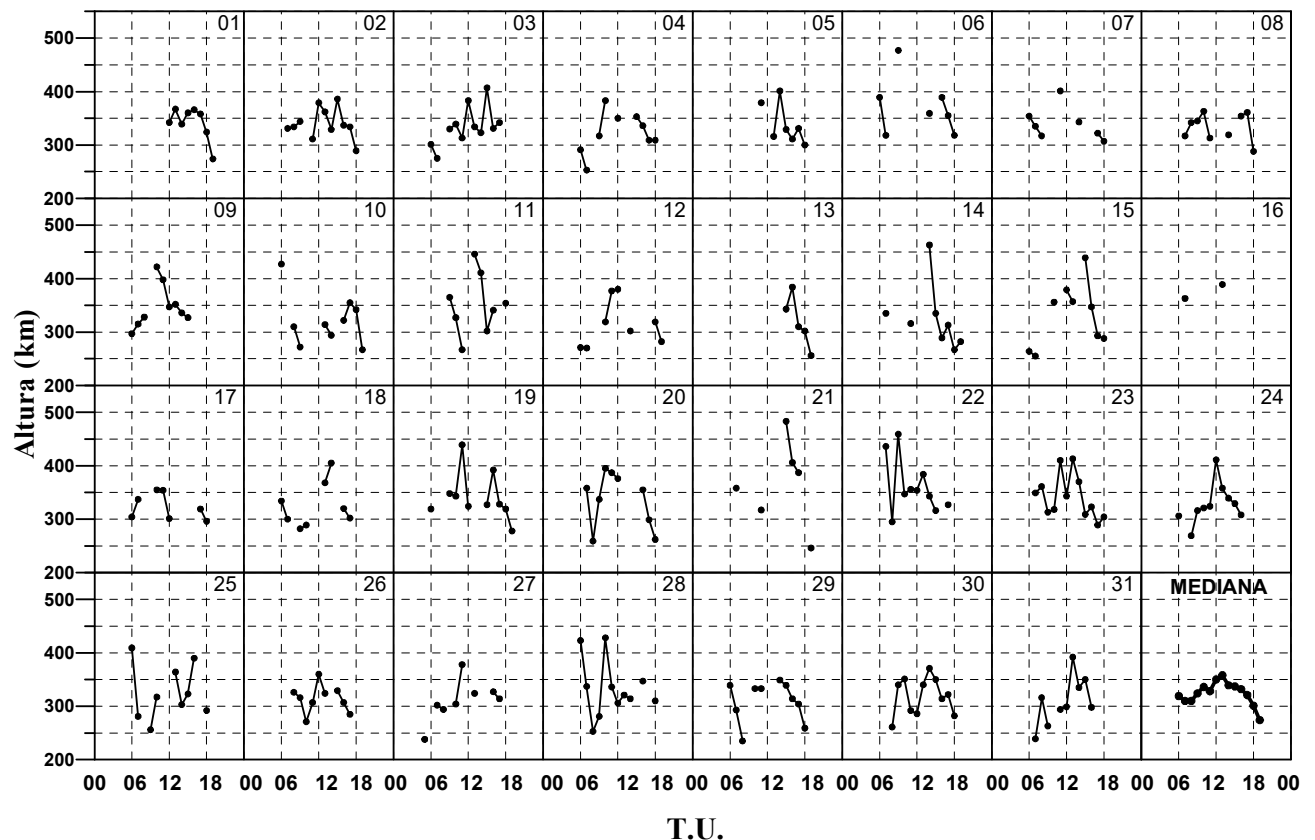
**Juliol 2021**

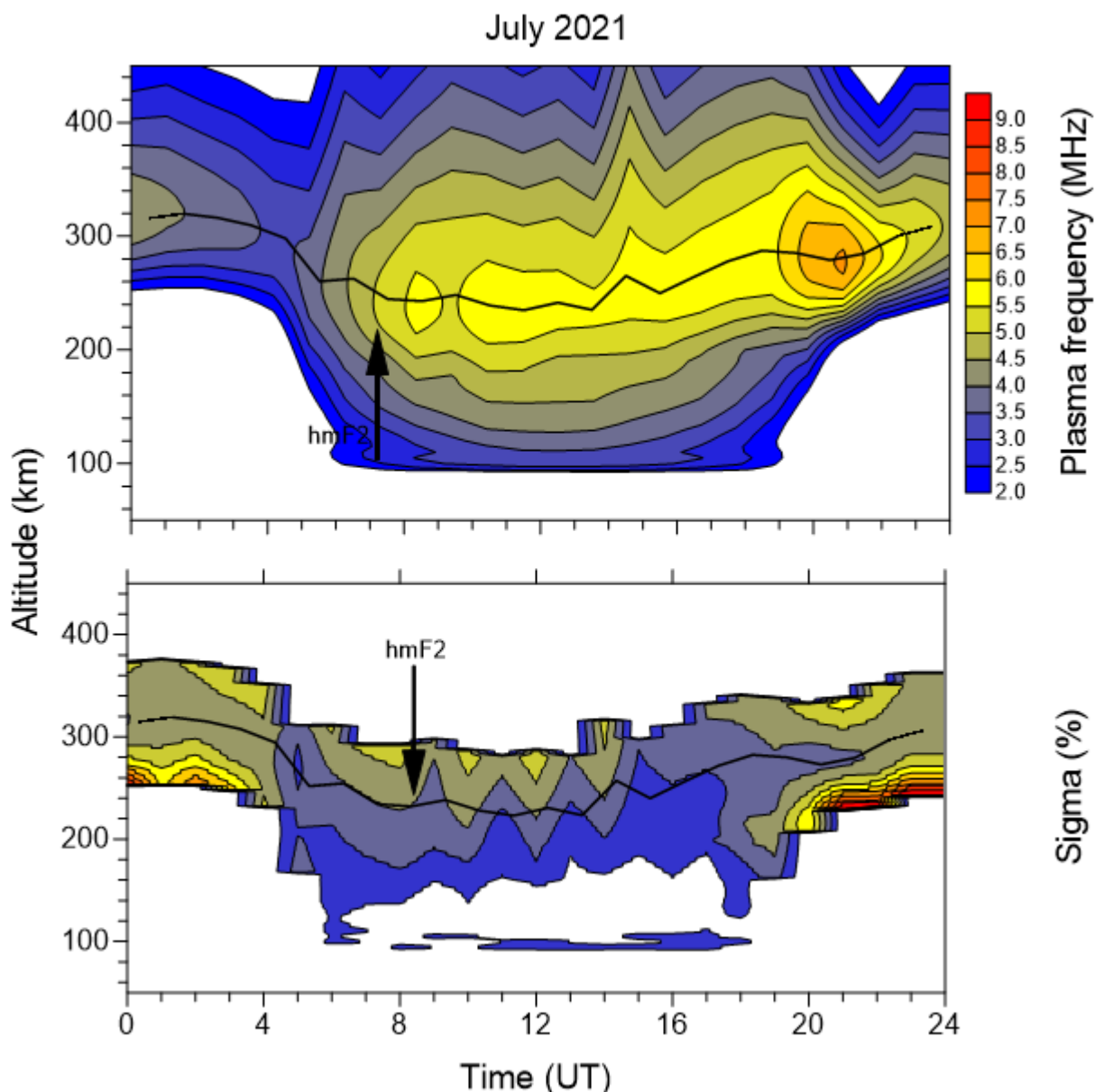
**foF1**



**Juliol 2021**

**h'F2**





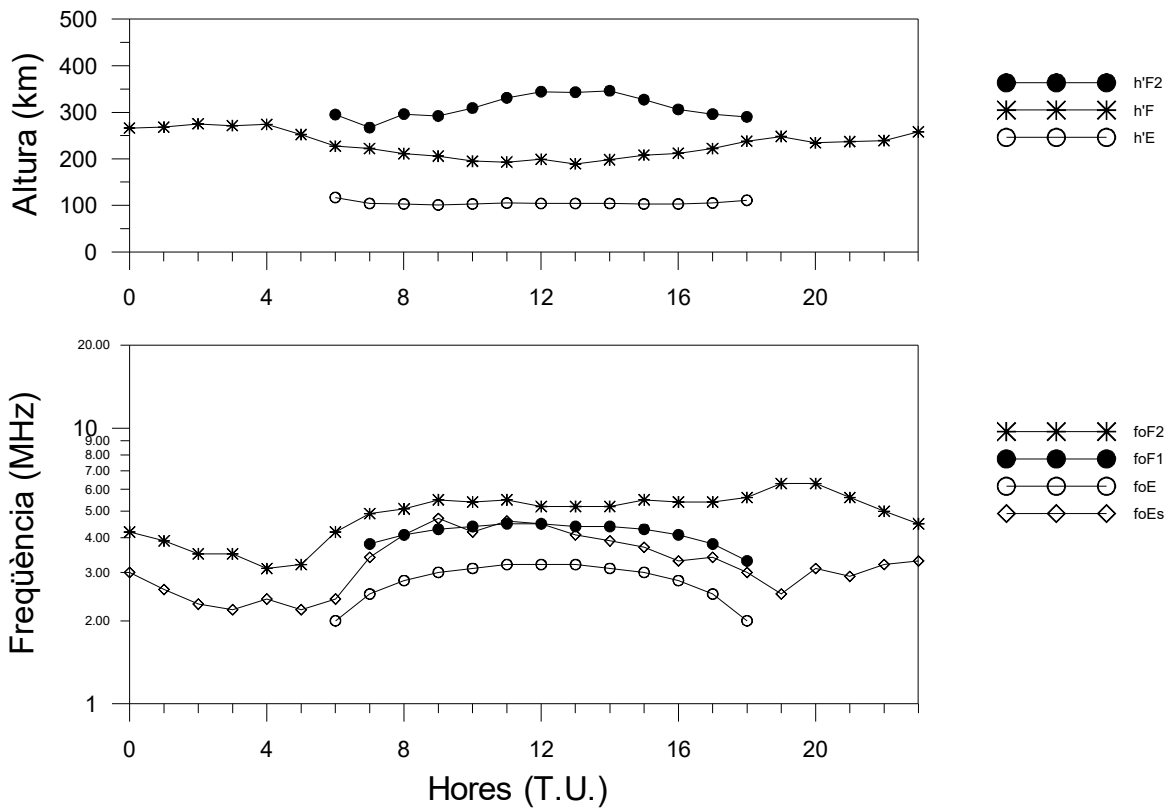
Variació diürna típica de la densitat electrònica (Freqüència de plasma) i la seva desviació estàndard (%) a sobre de l'observatori en funció de l'altura.

Variación diurna típica de la densidad electrónica (Frecuencia de plasma) y su desviación estándar (%) sobre el Observatorio en función de la altura.

Typical daily variation of the electron density (Plasma frequency) and its standard deviations (%) above the Observatory as function of the altitude.

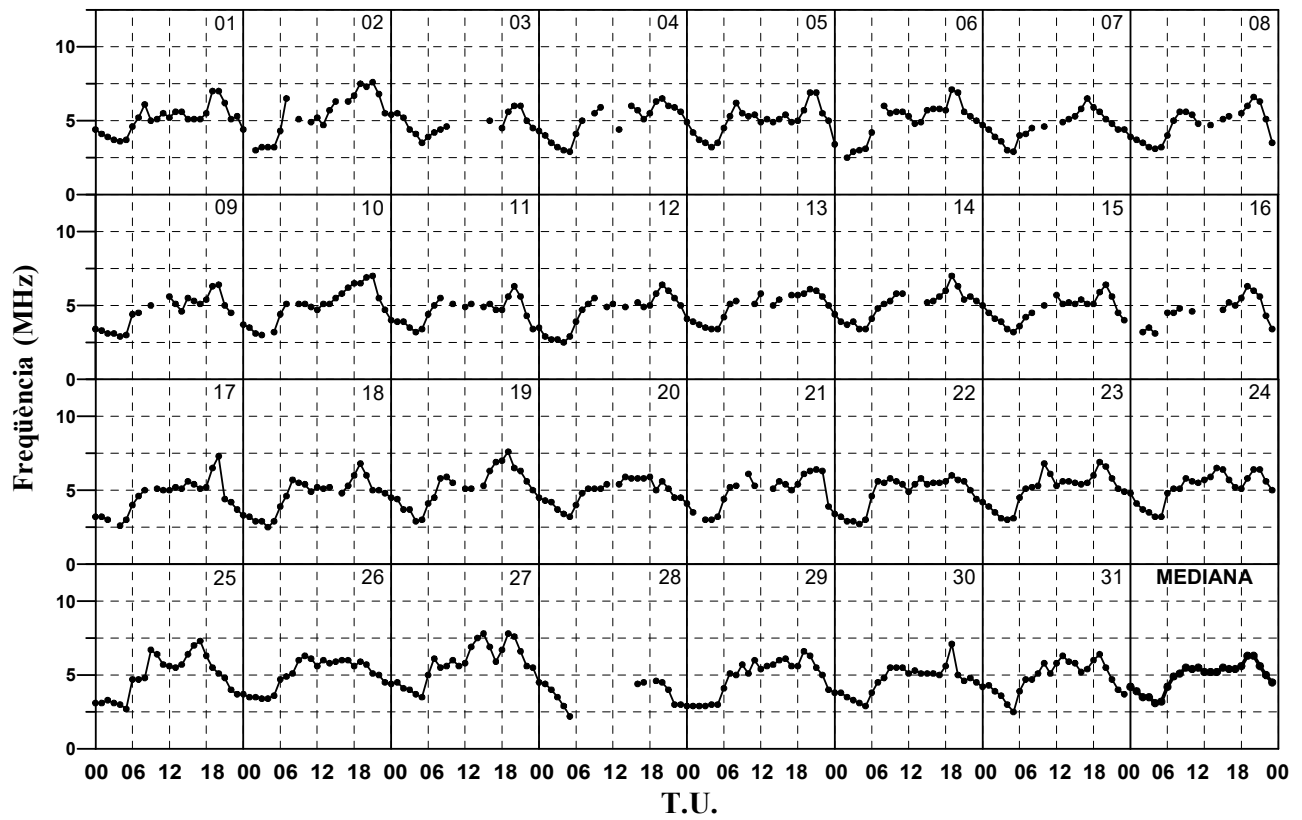
## AGOST 2021

Hora T.U.	foF2 MHz	M(3000) F2	h'F2 Km	foF1 MHz	h'F Km	foE MHz	h'E Km	foEs MHz
0	4.2 - 30	3.08 - 30	0 - 0	0.0 - 0	266 - 30	0.00 - 0	0 - 0	3.0 - 24
1	3.9 - 28	3.06 - 28	0 - 0	0.0 - 0	268 - 28	0.00 - 0	0 - 0	2.6 - 22
2	3.5 - 30	3.04 - 30	0 - 0	0.0 - 0	275 - 30	0.00 - 0	0 - 0	2.3 - 19
3	3.5 - 30	3.03 - 30	0 - 0	0.0 - 0	271 - 30	0.00 - 0	0 - 0	2.2 - 22
4	3.1 - 30	3.08 - 30	0 - 0	0.0 - 0	274 - 30	0.00 - 0	0 - 0	2.4 - 15
5	3.2 - 30	3.21 - 30	0 - 0	0.0 - 0	252 - 30	0.00 - 0	0 - 0	2.2 - 13
6	4.2 - 30	3.41 - 30	295 - 6	0.0 - 0	227 - 30	2.00 - 29	117 - 29	2.4 - 28
7	4.9 - 29	3.47 - 29	267 - 16	3.8 - 13	222 - 23	2.50 - 31	104 - 31	3.4 - 30
8	5.1 - 26	3.41 - 26	296 - 20	4.1 - 15	211 - 18	2.80 - 31	103 - 31	4.1 - 28
9	5.5 - 24	3.45 - 24	292 - 23	4.3 - 17	206 - 16	3.00 - 30	101 - 30	4.7 - 31
10	5.4 - 30	3.44 - 30	309 - 30	4.4 - 25	195 - 24	3.10 - 31	103 - 31	4.2 - 31
11	5.5 - 23	3.46 - 23	331 - 23	4.5 - 21	193 - 21	3.20 - 30	105 - 29	4.6 - 27
12	5.2 - 24	3.36 - 24	344 - 23	4.5 - 18	199 - 17	3.20 - 27	104 - 27	4.5 - 27
13	5.2 - 25	3.28 - 25	343 - 24	4.4 - 20	189 - 20	3.20 - 29	104 - 29	4.1 - 25
14	5.2 - 26	3.19 - 26	346 - 26	4.4 - 23	198 - 22	3.10 - 29	104 - 28	3.9 - 27
15	5.5 - 29	3.22 - 29	327 - 27	4.3 - 26	208 - 27	3.00 - 27	103 - 27	3.7 - 23
16	5.4 - 29	3.22 - 29	306 - 26	4.1 - 24	212 - 24	2.80 - 29	103 - 29	3.3 - 24
17	5.4 - 30	3.22 - 30	296 - 24	3.8 - 22	222 - 26	2.50 - 27	105 - 27	3.4 - 28
18	5.6 - 30	3.20 - 30	290 - 14	3.3 - 12	238 - 29	2.00 - 20	111 - 20	3.0 - 28
19	6.3 - 31	3.21 - 31	0 - 0	0.0 - 0	248 - 31	0.00 - 0	0 - 0	2.5 - 28
20	6.3 - 31	3.25 - 31	0 - 0	0.0 - 0	234 - 31	0.00 - 0	0 - 0	3.1 - 24
21	5.6 - 31	3.23 - 31	0 - 0	0.0 - 0	237 - 31	0.00 - 0	0 - 0	2.9 - 25
22	5.0 - 31	3.21 - 31	0 - 0	0.0 - 0	239 - 31	0.00 - 0	0 - 0	3.2 - 24
23	4.5 - 30	3.11 - 30	0 - 0	0.0 - 0	258 - 30	0.00 - 0	0 - 0	3.3 - 24



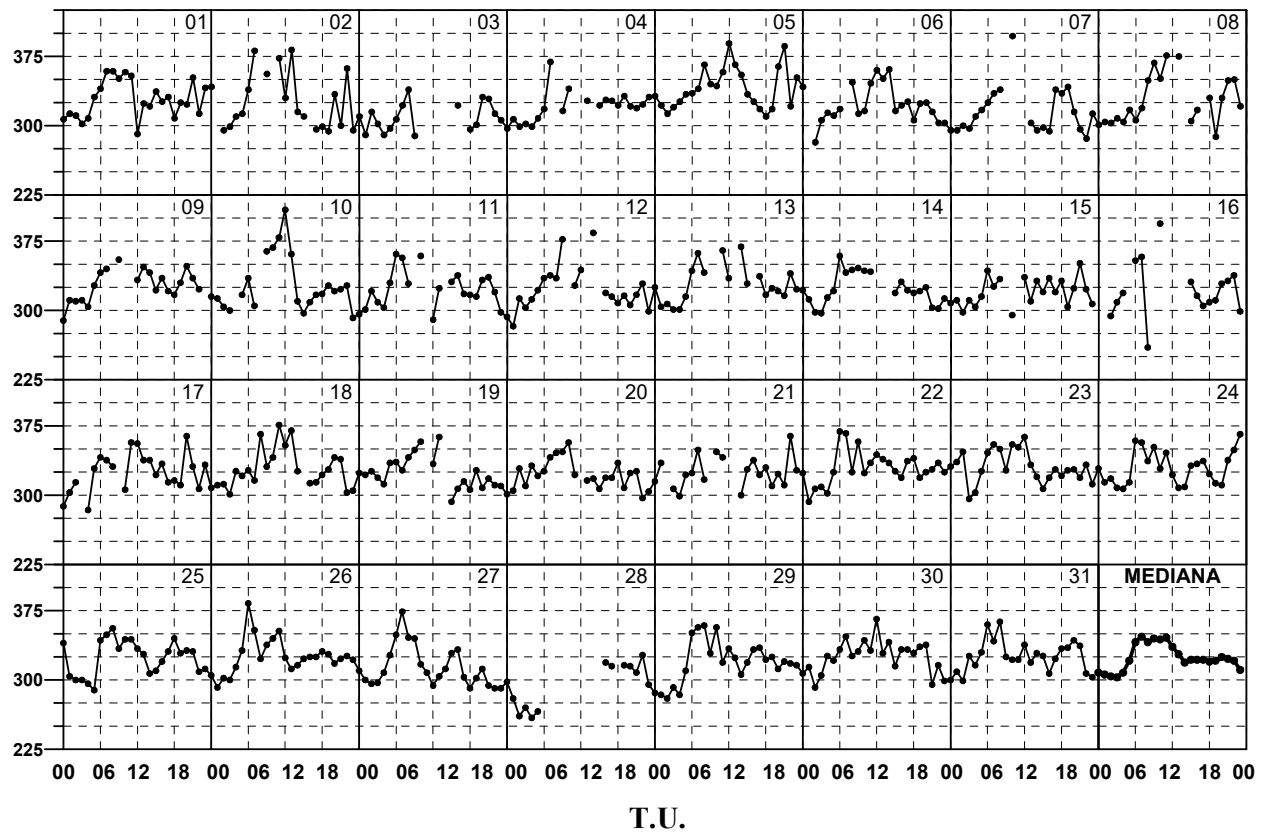
**Agost 2021**

**foF2**



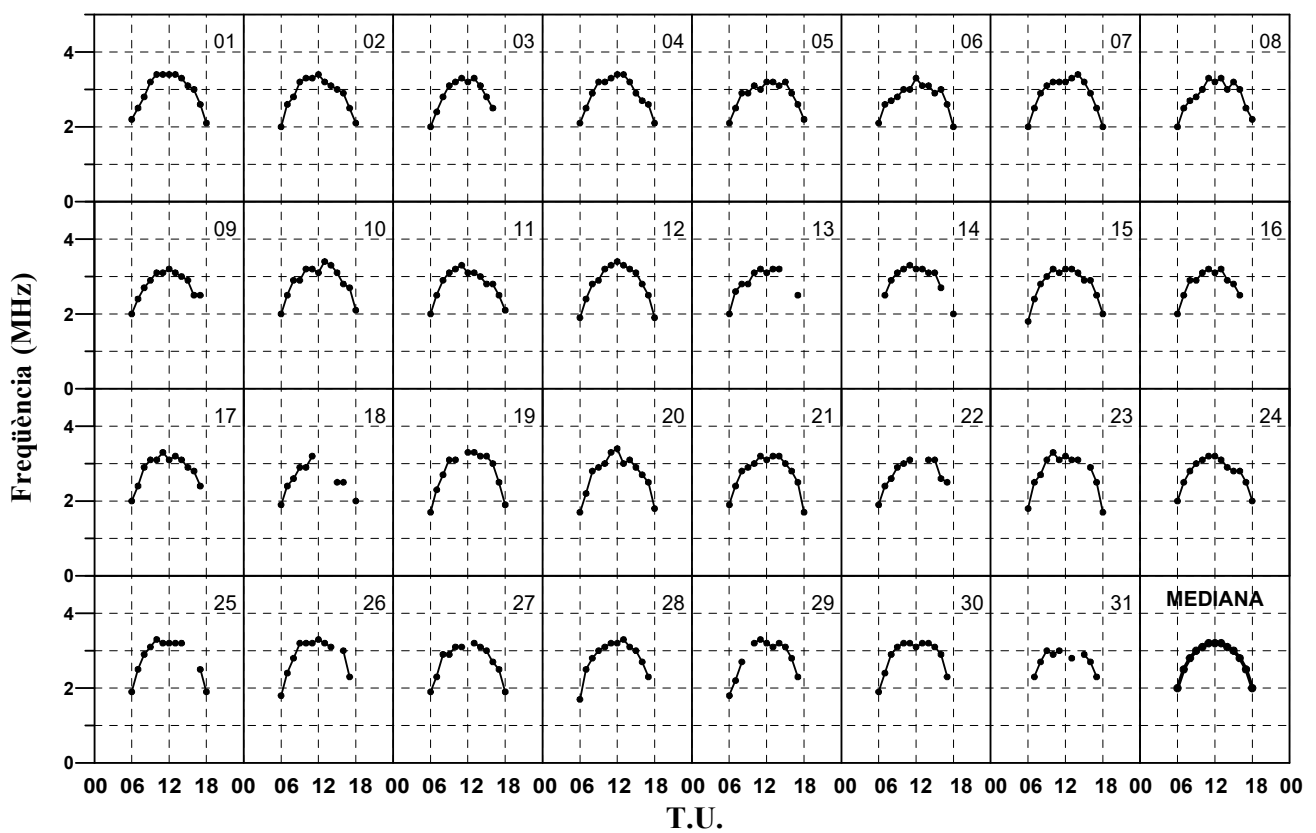
**Agost 2021**

**M(3000)F2**



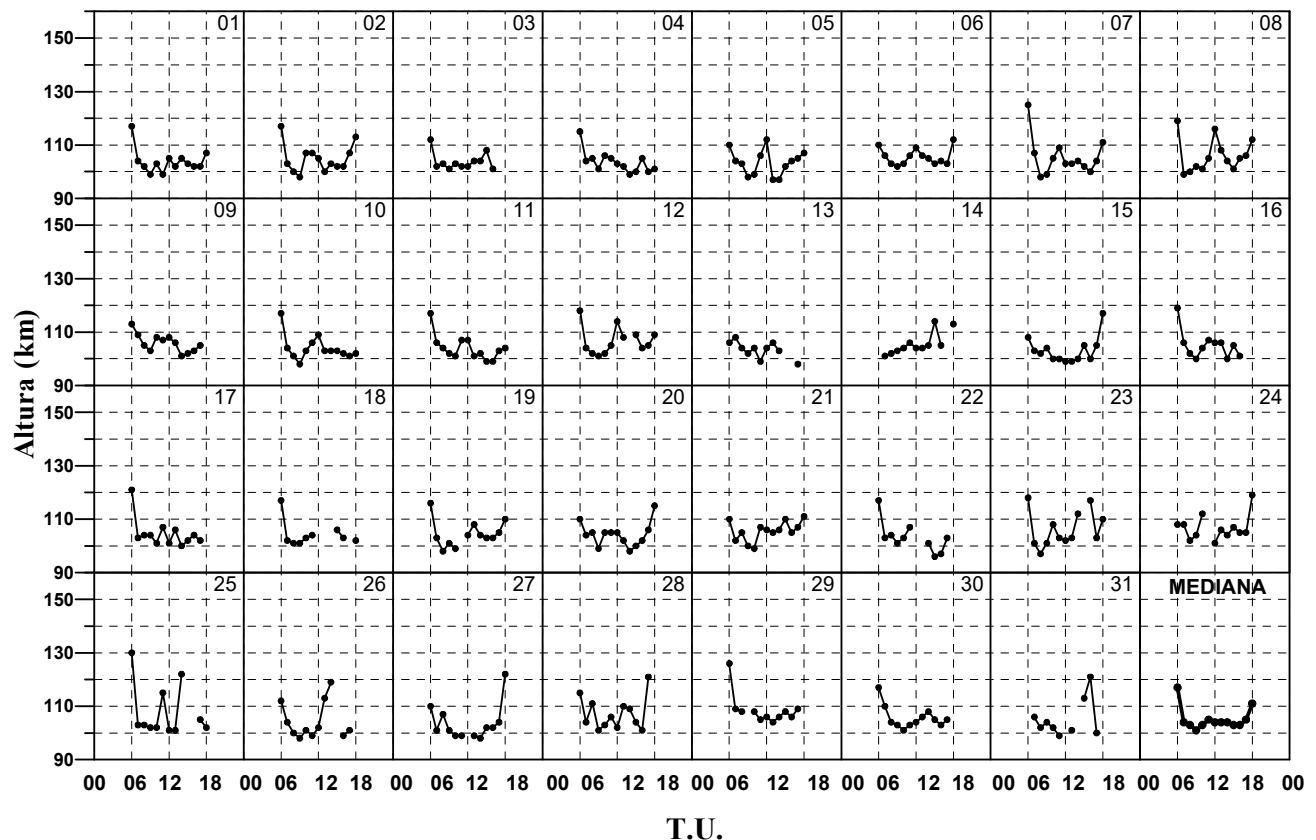
**Agost 2021**

**foE**



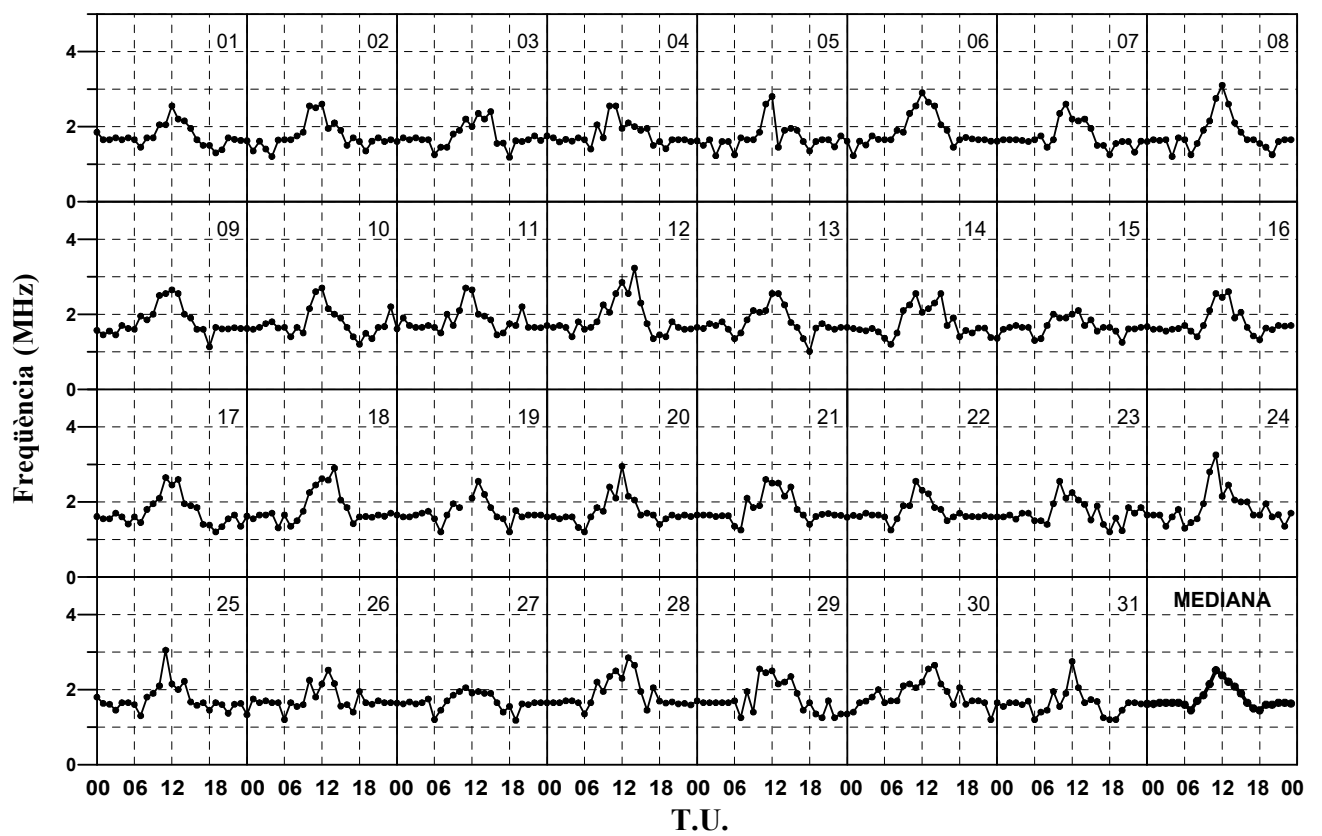
**Agost 2021**

**h'E**



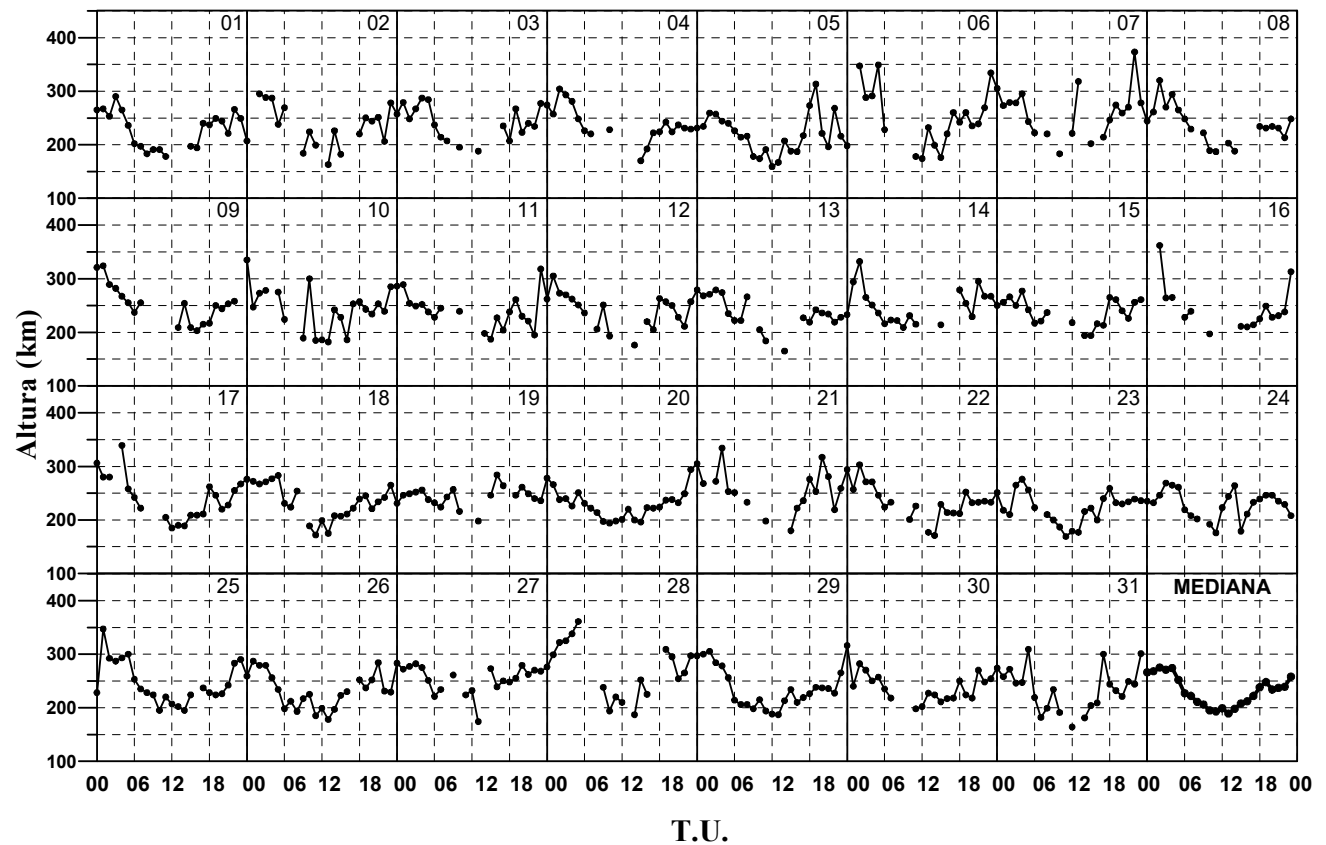
Agost 2021

$f$  min



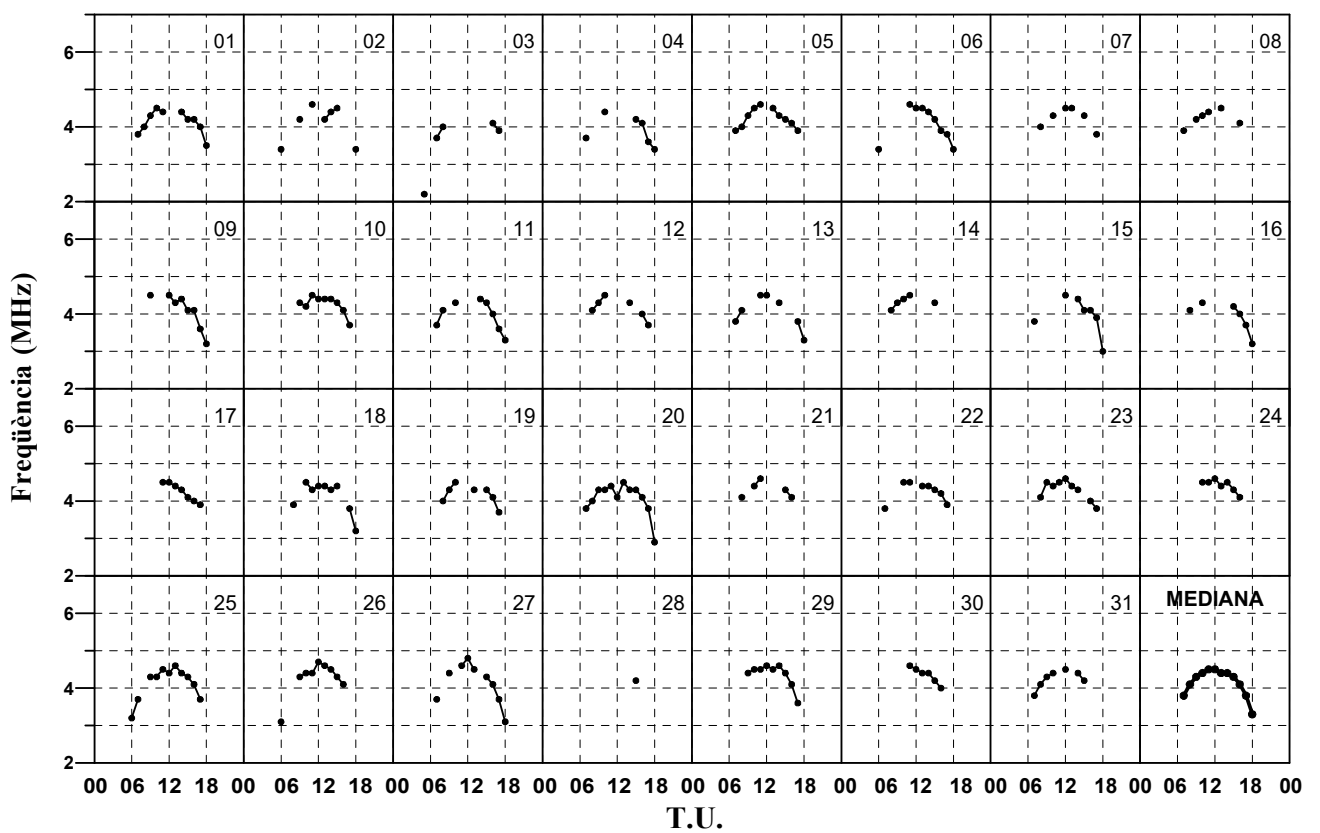
Agost 2021

$h^*F$



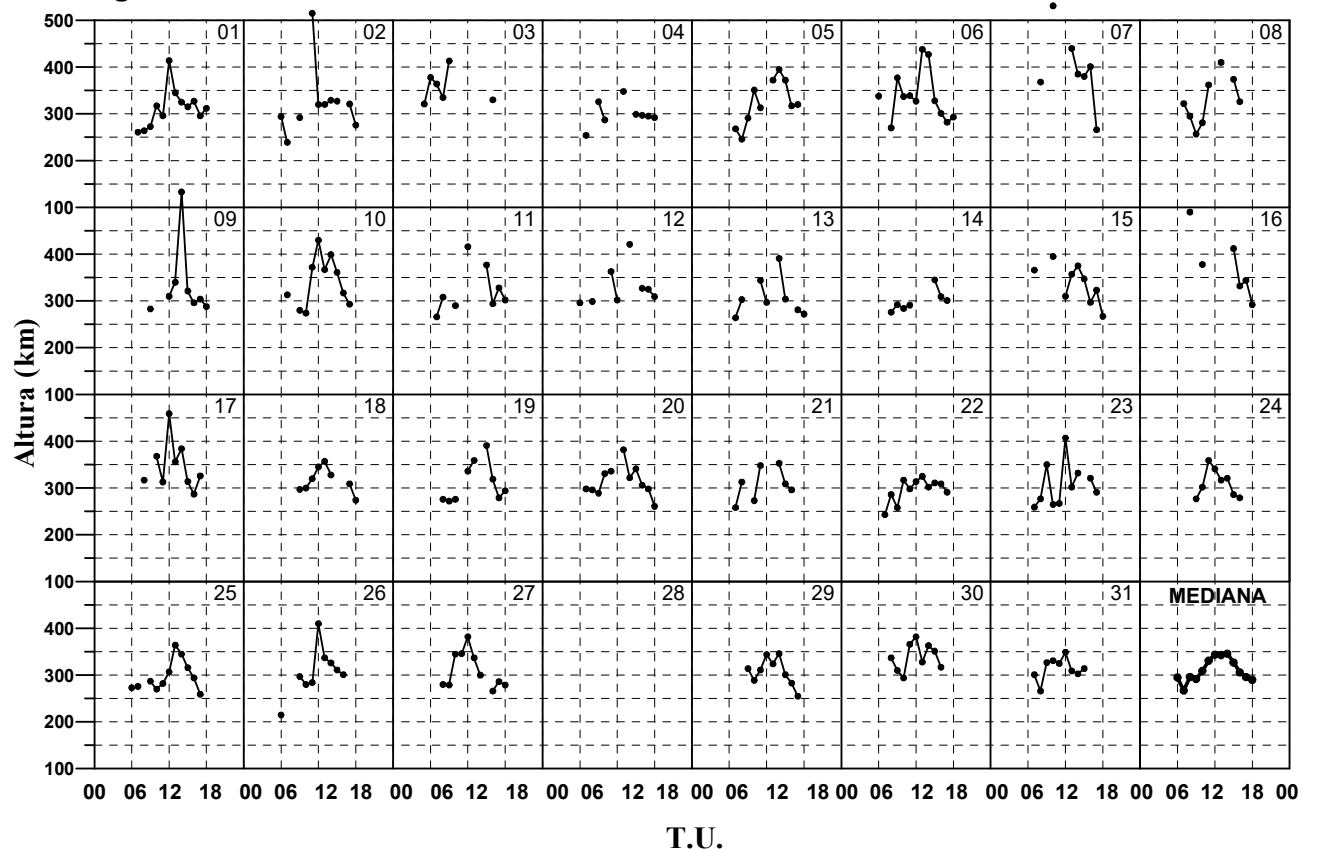
**Agost 2021**

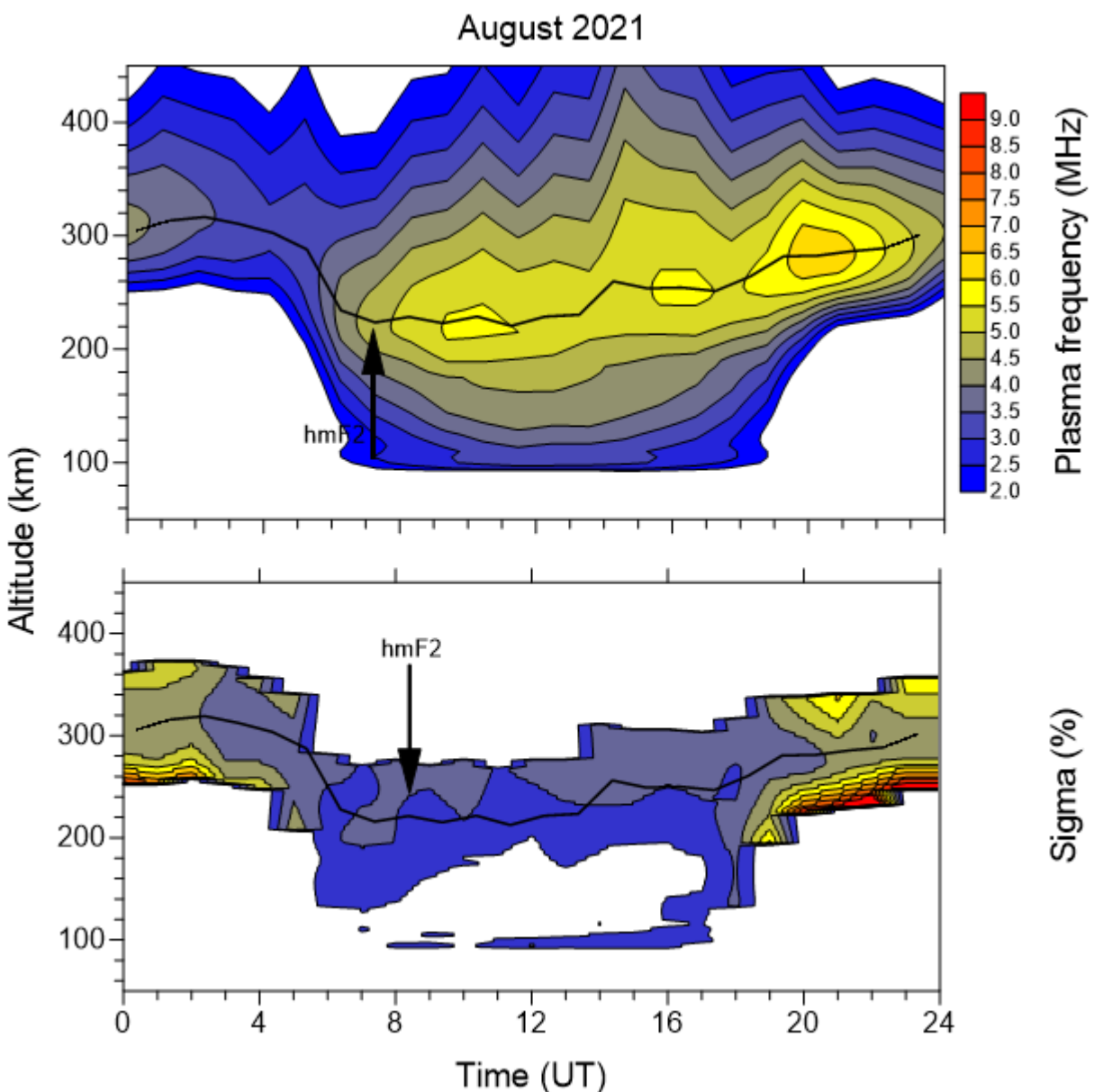
**foF1**



**Agost 2021**

**h'F2**





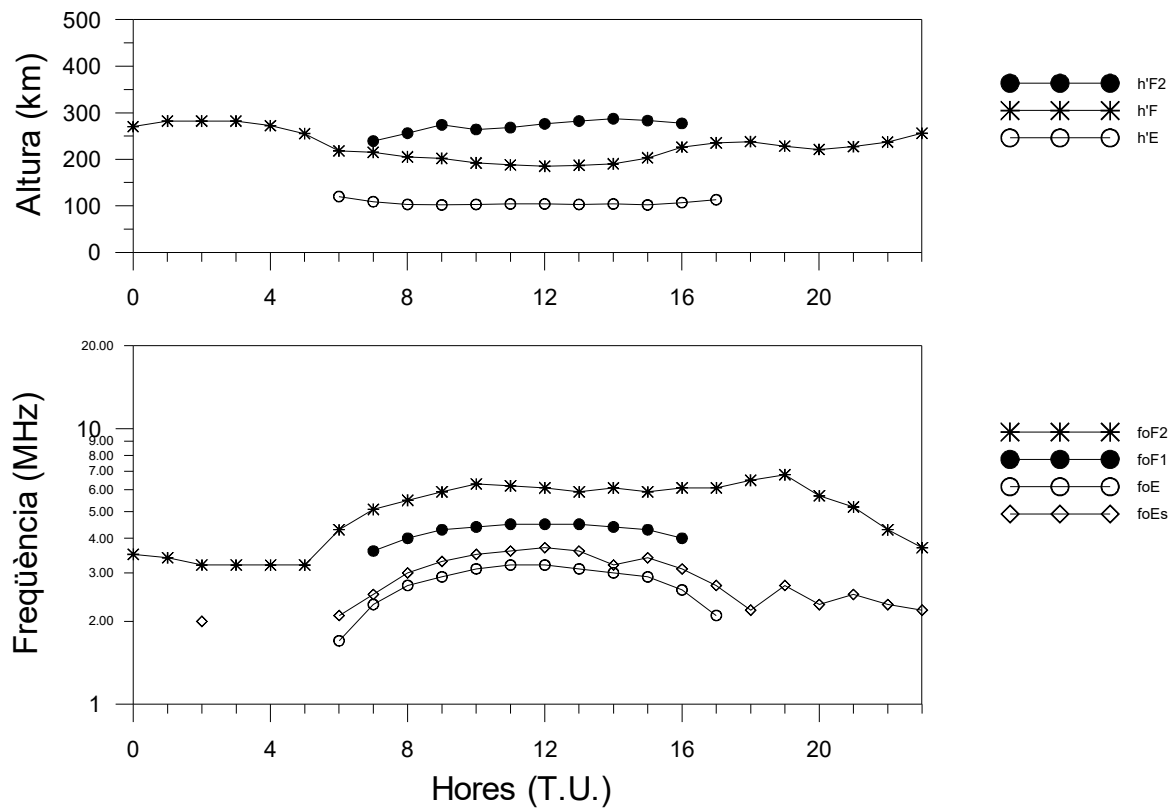
Variació diürna típica de la densitat electrònica (Freqüència de plasma) i la seva desviació estàndard (%) a sobre de l'observatori en funció de l'altura.

Variación diurna típica de la densidad electrónica (Frecuencia de plasma) y su desviación estándar (%) sobre el Observatorio en función de la altura.

Typical daily variation of the electron density (Plasma frequency) and its standard deviations (%) above the Observatory as function of the altitude.

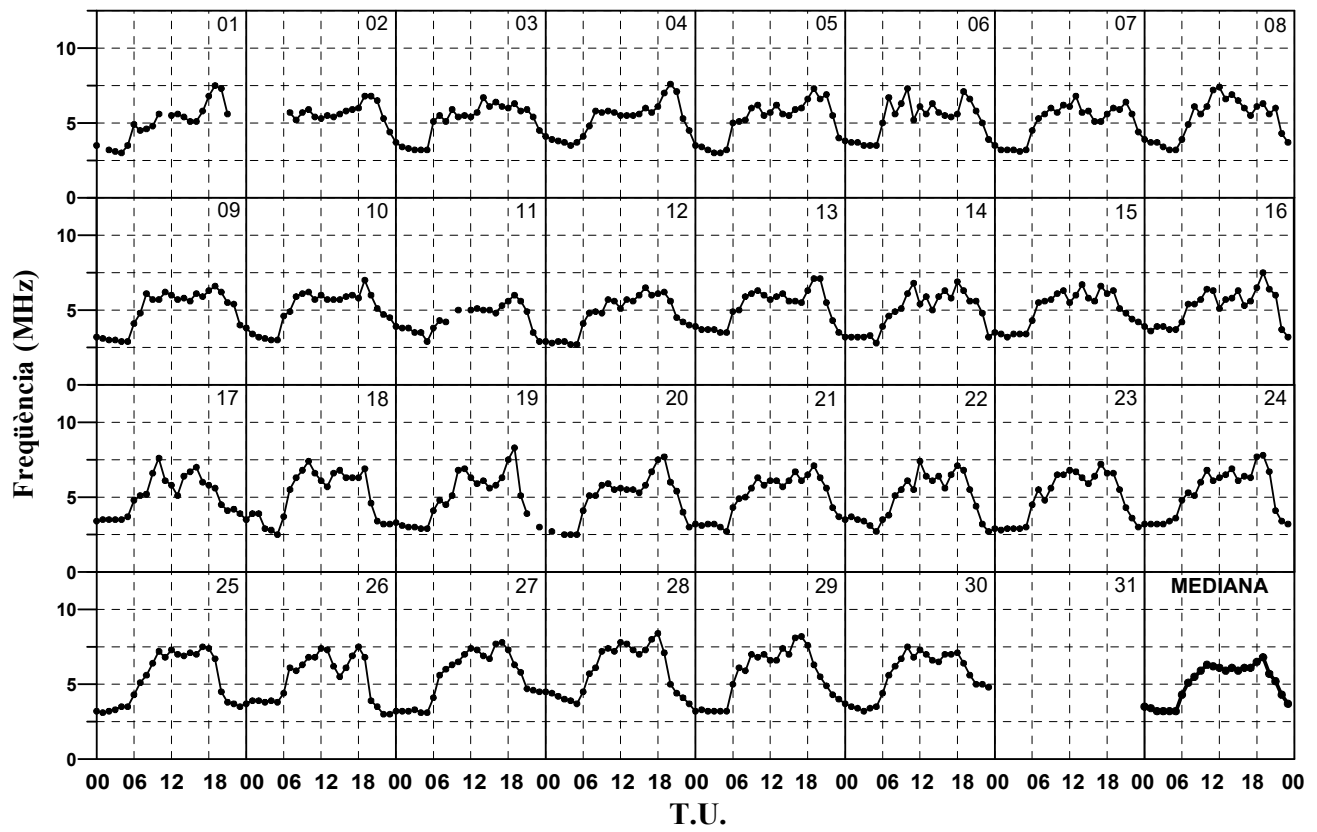
## SETEMBRE 2021

Hora T.U.	foF2 MHz	M(3000) F2	h'F2 Km	foF1 MHz	h'F Km	foE MHz	h'E Km	foEs MHz
0	3.5 - 28	3.05 - 28	0 - 0	0.0 - 0	270 - 28	0.00 - 0	0 - 0	0.0 - 0
1	3.4 - 28	3.01 - 28	0 - 0	0.0 - 0	282 - 28	0.00 - 0	0 - 0	0.0 - 0
2	3.2 - 28	2.98 - 28	0 - 0	0.0 - 0	282 - 28	0.00 - 0	0 - 0	2.0 - 5
3	3.2 - 29	3.02 - 29	0 - 0	0.0 - 0	282 - 29	0.00 - 0	0 - 0	0.0 - 0
4	3.2 - 29	3.08 - 29	0 - 0	0.0 - 0	272 - 29	0.00 - 0	0 - 0	0.0 - 0
5	3.2 - 29	3.17 - 29	0 - 0	0.0 - 0	255 - 29	0.00 - 0	0 - 0	0.0 - 0
6	4.3 - 29	3.65 - 29	0 - 0	0.0 - 0	218 - 29	1.70 - 6	120 - 6	2.1 - 13
7	5.1 - 30	3.62 - 30	239 - 5	3.6 - 5	215 - 30	2.30 - 29	109 - 29	2.5 - 18
8	5.5 - 30	3.57 - 30	256 - 14	4.0 - 14	205 - 30	2.70 - 28	103 - 28	3.0 - 17
9	5.9 - 29	3.46 - 29	274 - 22	4.3 - 21	202 - 27	2.90 - 30	102 - 30	3.3 - 21
10	6.3 - 30	3.54 - 30	264 - 29	4.4 - 28	192 - 29	3.10 - 29	103 - 29	3.5 - 19
11	6.2 - 29	3.48 - 29	268 - 23	4.5 - 25	188 - 28	3.20 - 30	104 - 30	3.6 - 16
12	6.1 - 30	3.41 - 30	276 - 27	4.5 - 26	185 - 28	3.20 - 27	104 - 27	3.7 - 13
13	5.9 - 30	3.37 - 30	282 - 27	4.5 - 27	187 - 30	3.10 - 28	103 - 28	3.6 - 9
14	6.1 - 30	3.35 - 30	287 - 24	4.4 - 23	190 - 29	3.00 - 26	104 - 26	3.2 - 14
15	5.9 - 30	3.31 - 30	283 - 17	4.3 - 15	203 - 28	2.90 - 30	102 - 30	3.4 - 13
16	6.1 - 30	3.30 - 30	277 - 14	4.0 - 14	226 - 30	2.60 - 28	107 - 28	3.1 - 19
17	6.1 - 30	3.33 - 30	0 - 0	0.0 - 0	235 - 30	2.10 - 26	113 - 26	2.7 - 25
18	6.5 - 30	3.32 - 30	0 - 0	0.0 - 0	238 - 30	0.00 - 0	0 - 0	2.2 - 23
19	6.8 - 30	3.33 - 30	0 - 0	0.0 - 0	228 - 30	0.00 - 0	0 - 0	2.7 - 15
20	5.7 - 30	3.35 - 30	0 - 0	0.0 - 0	221 - 30	0.00 - 0	0 - 0	2.3 - 16
21	5.2 - 30	3.33 - 30	0 - 0	0.0 - 0	227 - 30	0.00 - 0	0 - 0	2.5 - 9
22	4.3 - 28	3.29 - 28	0 - 0	0.0 - 0	237 - 28	0.00 - 0	0 - 0	2.3 - 13
23	3.7 - 29	3.11 - 29	0 - 0	0.0 - 0	256 - 29	0.00 - 0	0 - 0	2.2 - 8



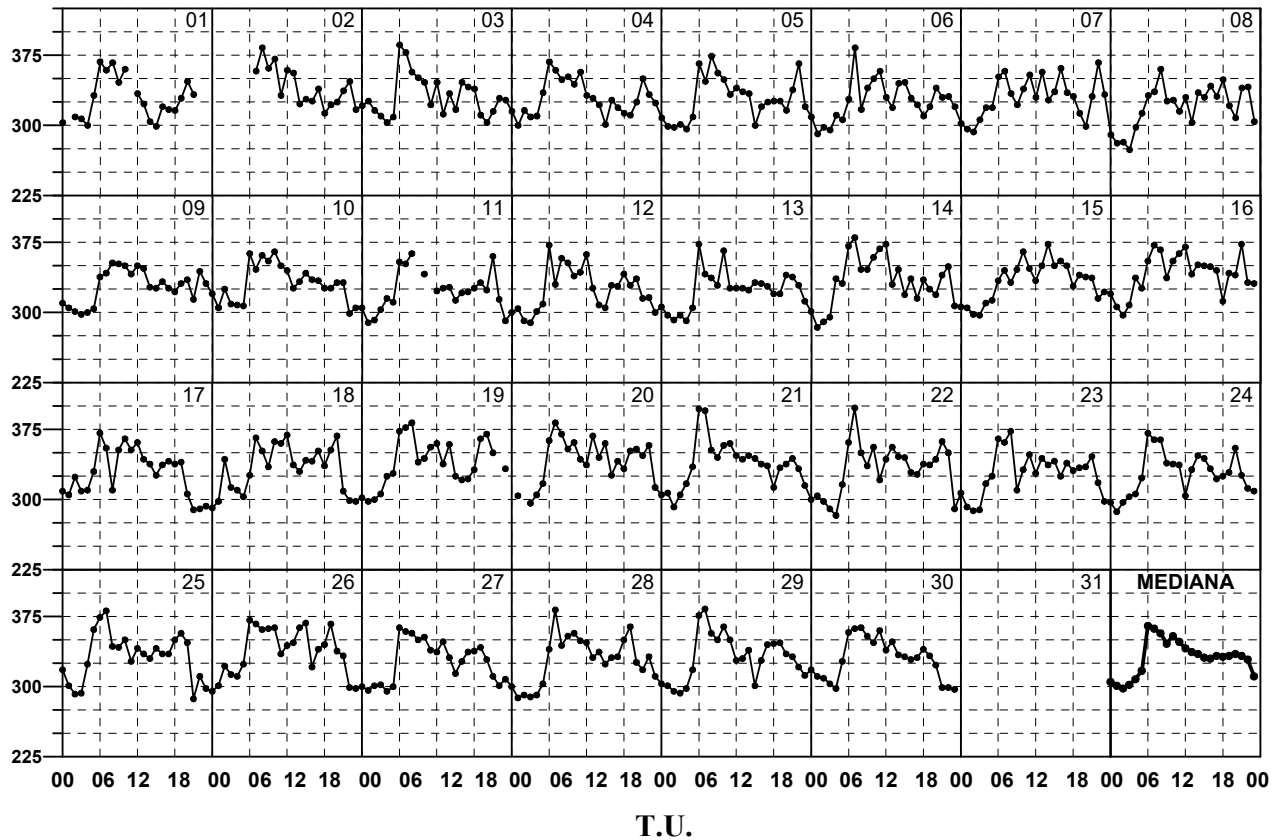
**Setembre 2021**

**foF2**



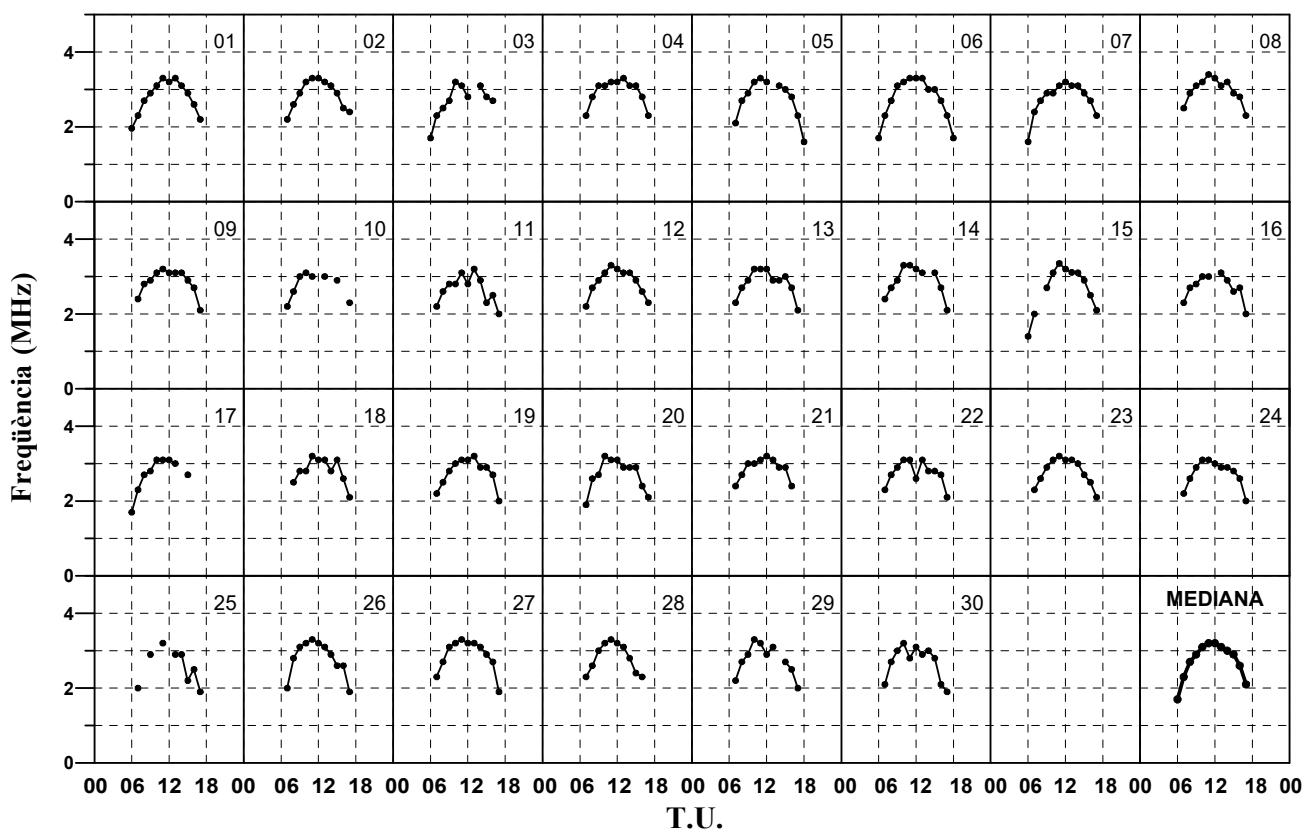
**Setembre 2021**

**M(3000)F2**



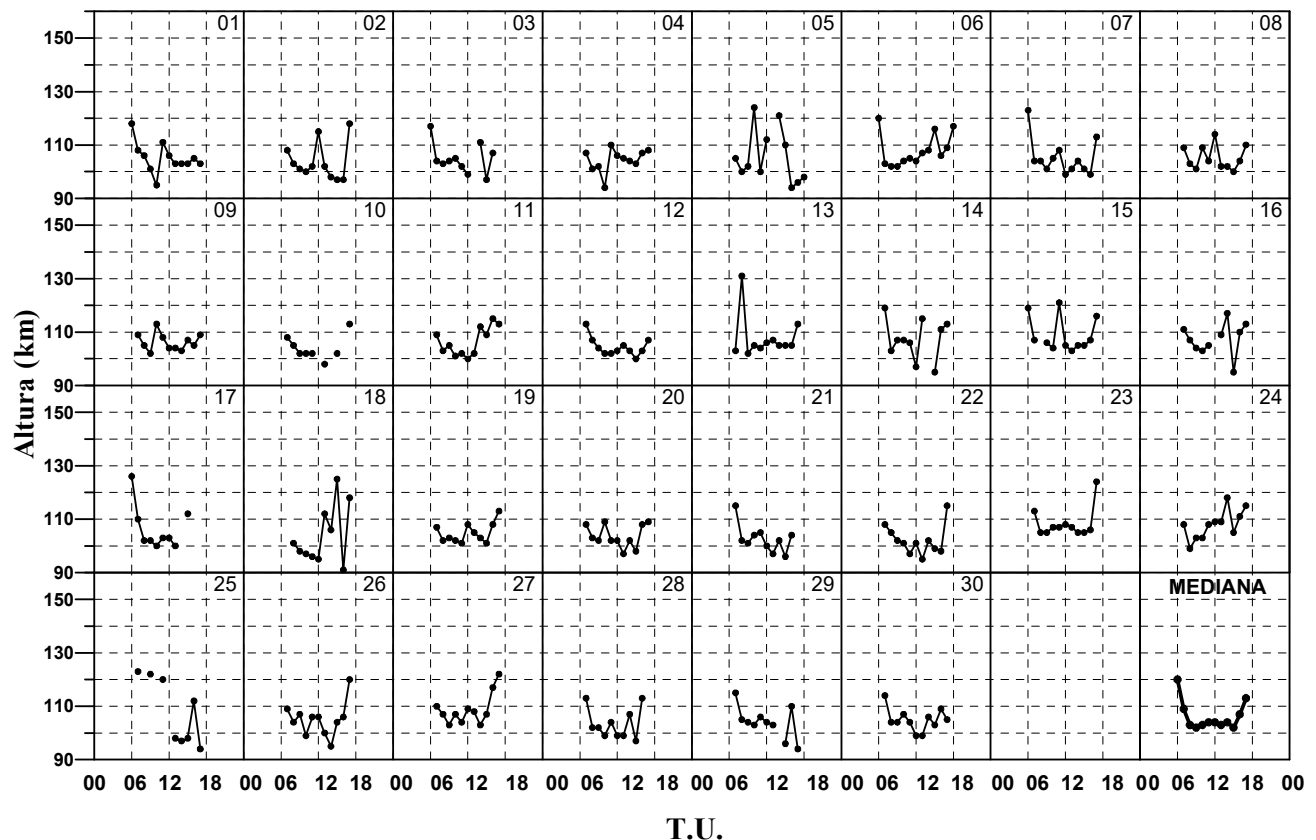
**Setembre 2020**

**foE**



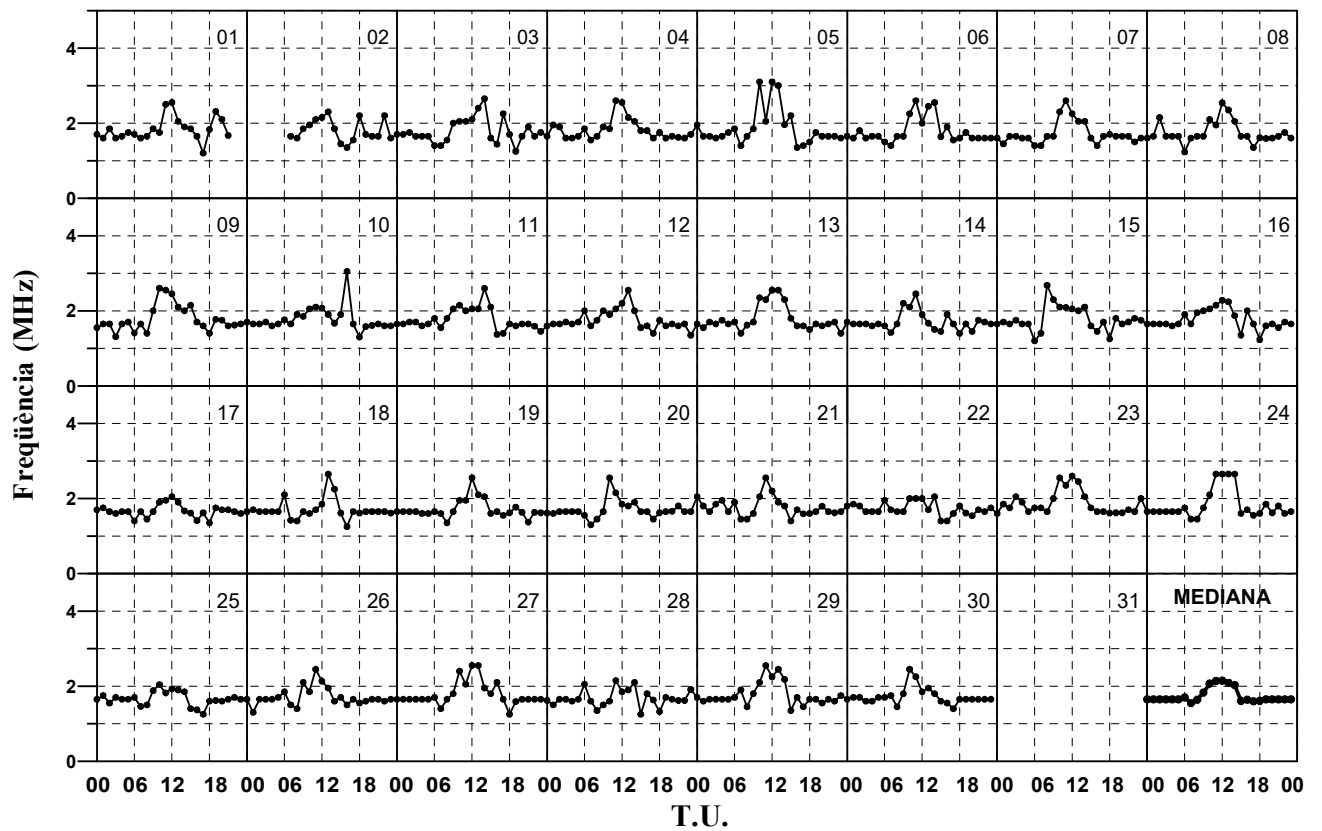
**Setembre 2020**

**h'E**



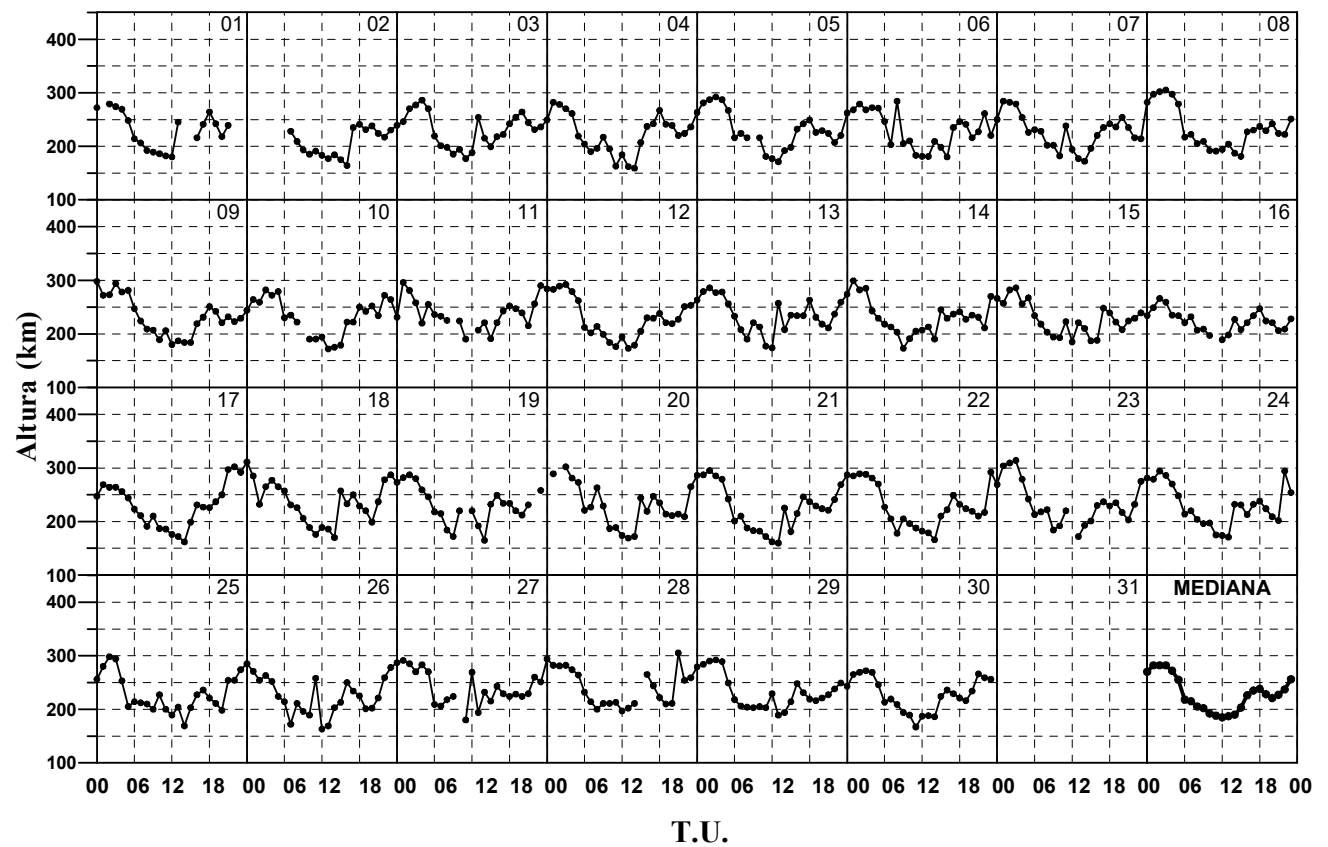
**Setembre 2021**

**f min**



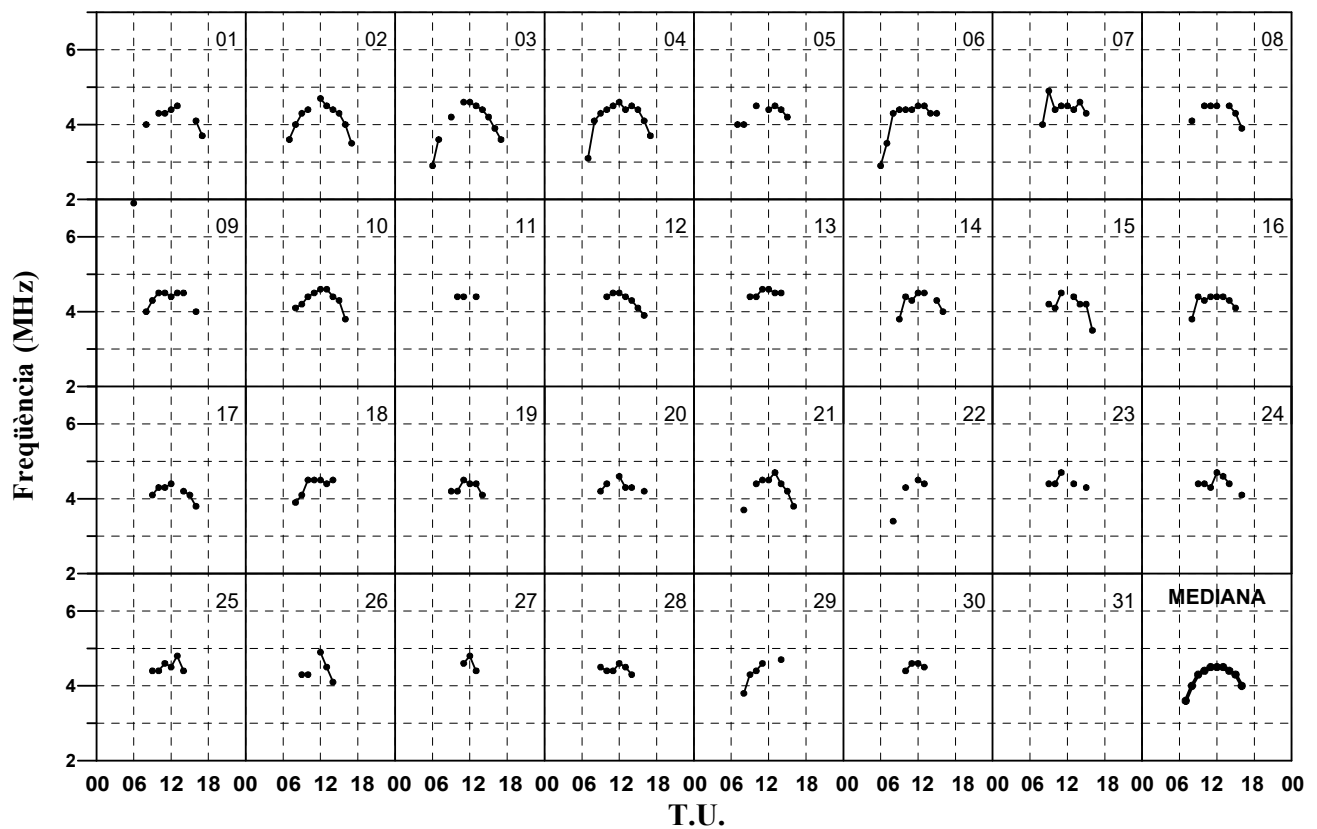
**Setembre 2021**

**h'F**



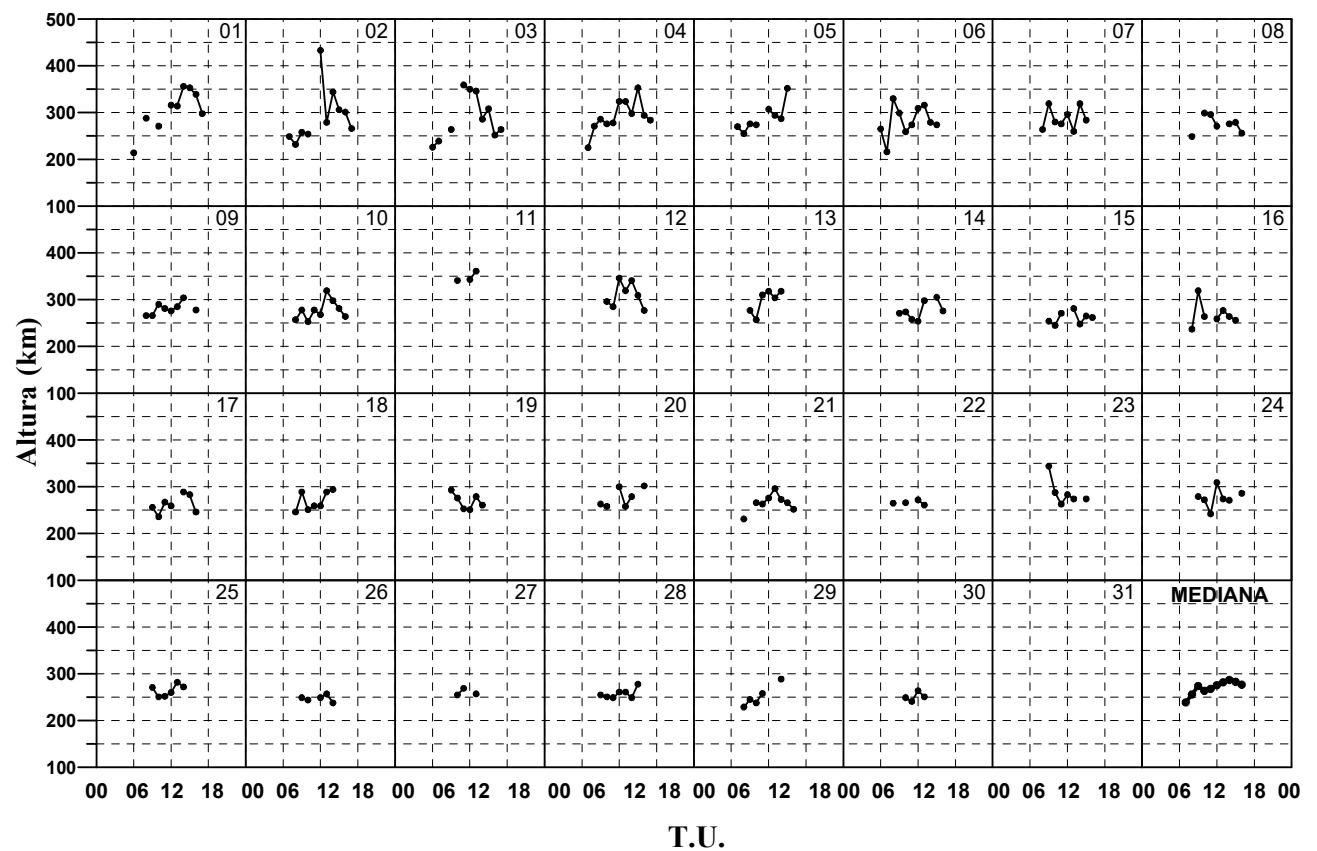
**Setembre 2021**

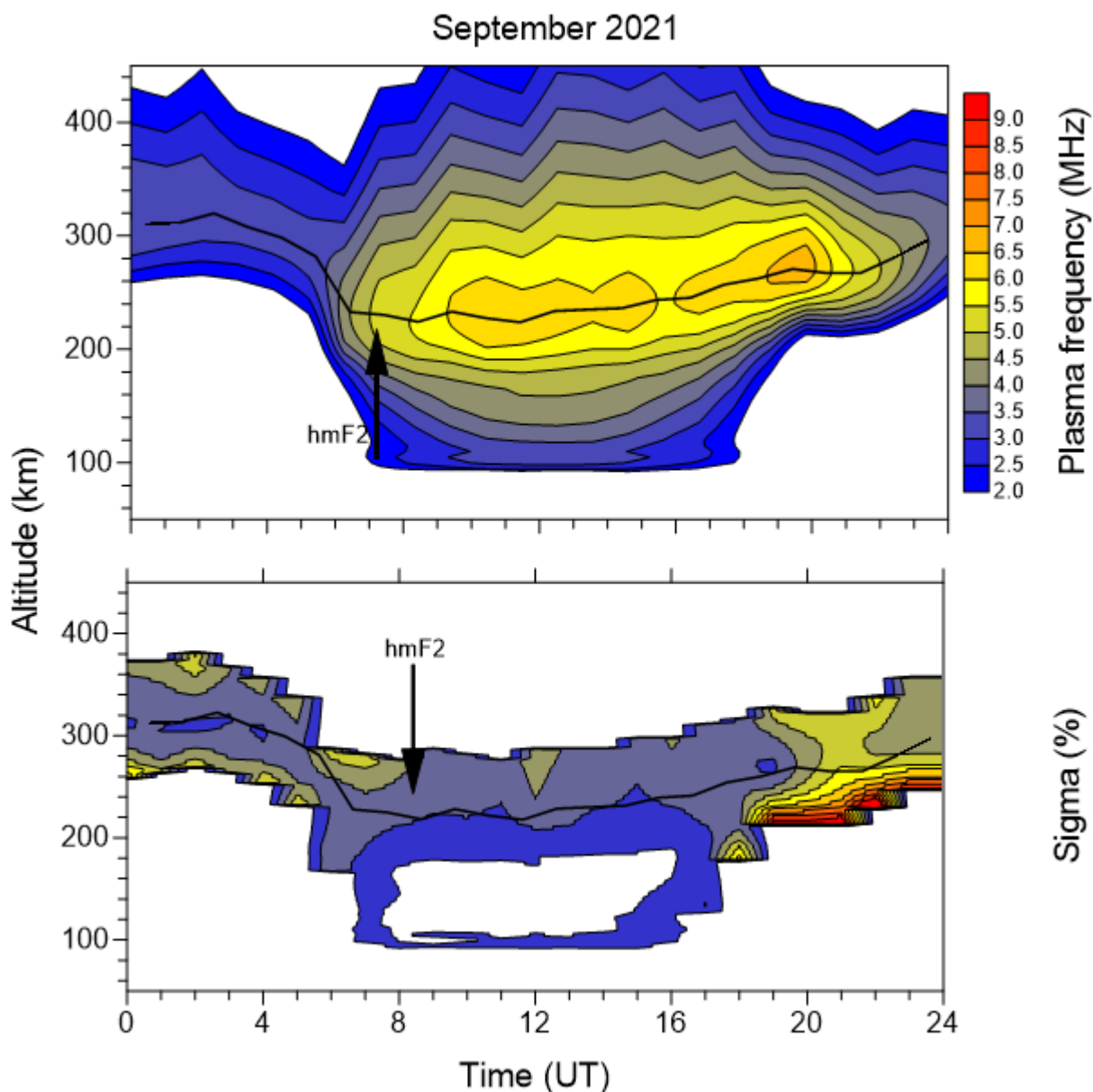
**foF1**



**Setembre 2021**

**h'F2**





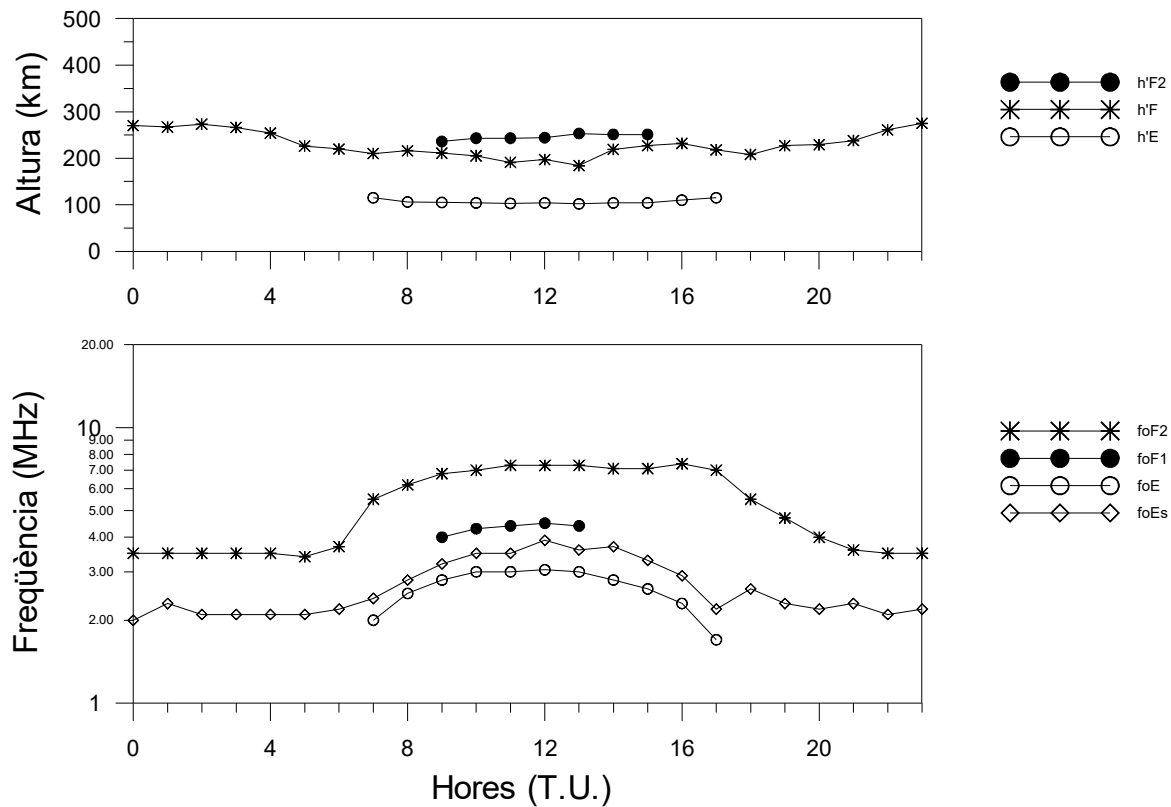
Variació diürna típica de la densitat electrònica (Freqüència de plasma) i la seva desviació estàndard (%) a sobre de l'observatori en funció de l'altura.

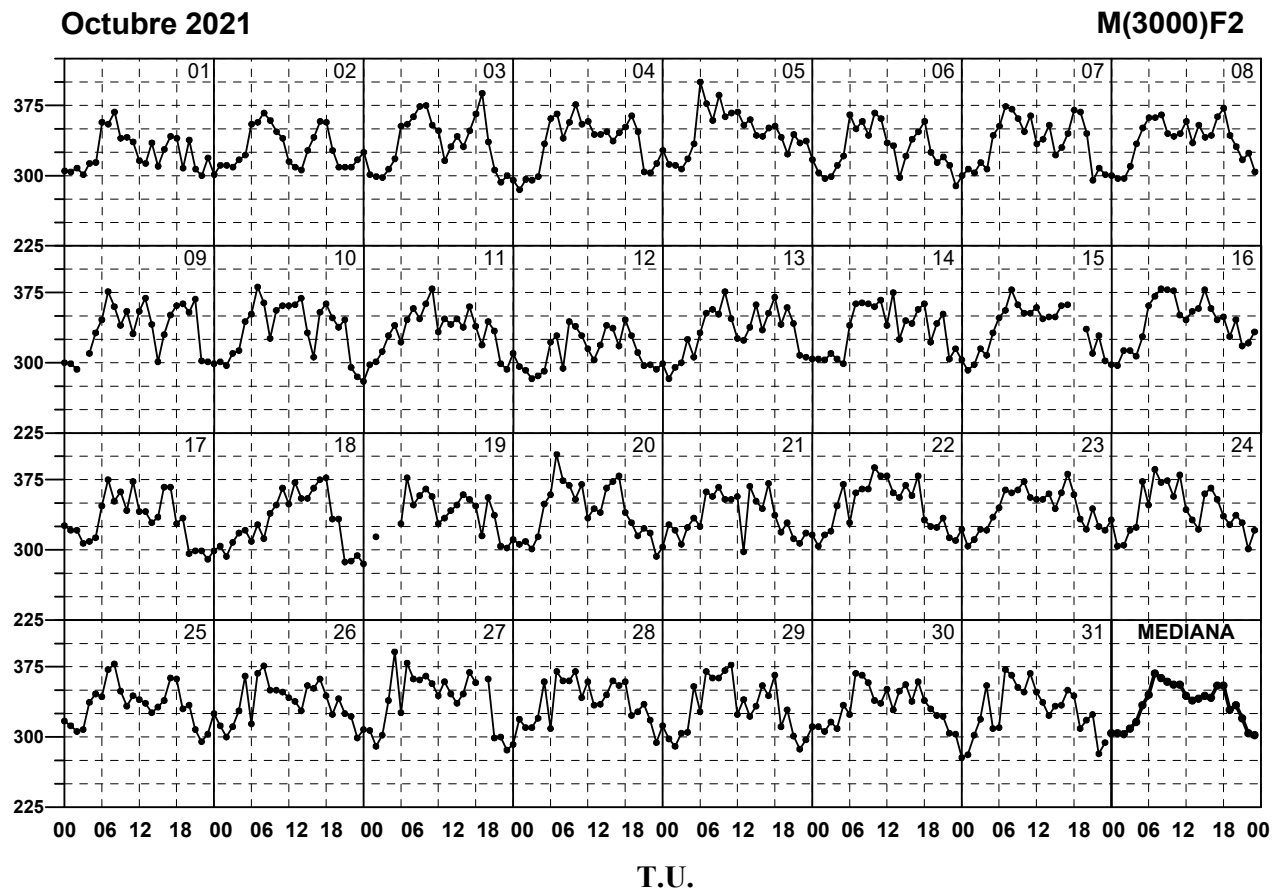
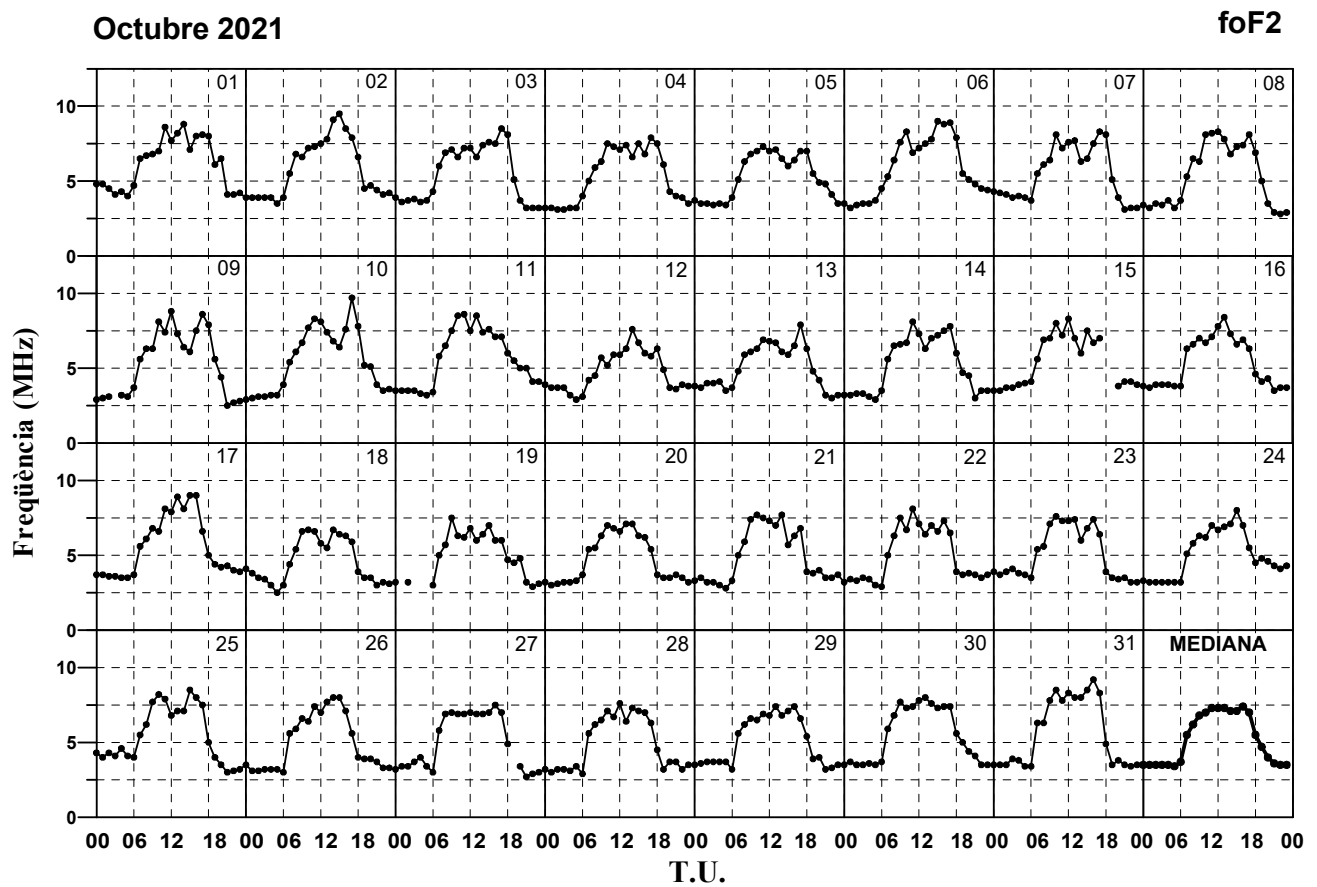
Variación diurna típica de la densidad electrónica (Frecuencia de plasma) y su desviación estándar (%) sobre el Observatorio en función de la altura.

Typical daily variation of the electron density (Plasma frequency) and its standard deviations (%) above the Observatory as function of the altituder.

## OCTUBRE 2021

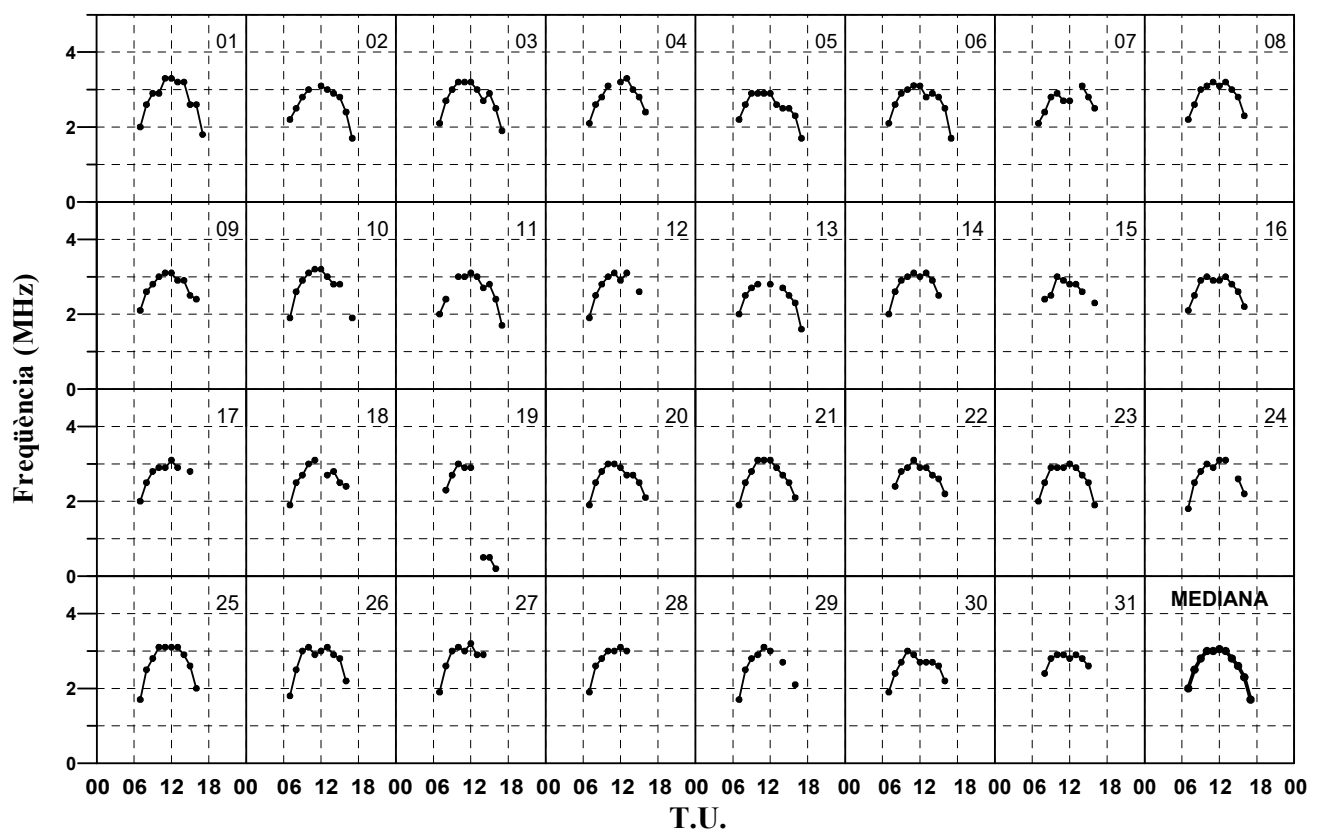
Hora T.U.	foF2 MHz	M(3000) F2	h'F2 Km	foF1 MHz	h'F Km	foE MHz	h'E Km	foEs MHz
0	3.5 - 31	3.04 - 31	0 - 0	0.0 - 0	270 - 31	0.00 - 0	0 - 0	2.0 - 11
1	3.5 - 30	3.04 - 30	0 - 0	0.0 - 0	267 - 30	0.00 - 0	0 - 0	2.3 - 5
2	3.5 - 31	3.03 - 31	0 - 0	0.0 - 0	273 - 31	0.00 - 0	0 - 0	2.1 - 5
3	3.5 - 29	3.09 - 29	0 - 0	0.0 - 0	266 - 29	0.00 - 0	0 - 0	2.1 - 5
4	3.5 - 30	3.16 - 30	0 - 0	0.0 - 0	254 - 30	0.00 - 0	0 - 0	2.1 - 5
5	3.4 - 30	3.34 - 30	0 - 0	0.0 - 0	226 - 30	0.00 - 0	0 - 0	2.1 - 6
6	3.7 - 31	3.45 - 31	0 - 0	0.0 - 0	220 - 31	0.00 - 0	0 - 0	2.2 - 6
7	5.5 - 31	3.68 - 31	0 - 0	0.0 - 0	210 - 31	2.00 - 27	115 - 27	2.4 - 14
8	6.2 - 31	3.63 - 31	0 - 0	0.0 - 0	216 - 31	2.50 - 31	106 - 31	2.8 - 19
9	6.8 - 31	3.59 - 31	236 - 15	4.0 - 17	211 - 30	2.80 - 30	105 - 30	3.2 - 25
10	7.0 - 31	3.56 - 31	243 - 22	4.3 - 20	205 - 29	3.00 - 31	104 - 31	3.5 - 24
11	7.3 - 31	3.56 - 31	243 - 26	4.4 - 25	191 - 27	3.00 - 28	103 - 28	3.5 - 29
12	7.3 - 31	3.44 - 31	244 - 19	4.5 - 16	197 - 29	3.05 - 30	104 - 30	3.9 - 23
13	7.3 - 31	3.39 - 31	253 - 21	4.4 - 18	184 - 27	3.00 - 27	102 - 27	3.6 - 17
14	7.1 - 31	3.41 - 31	251 - 6	0.0 - 0	219 - 29	2.80 - 27	104 - 27	3.7 - 18
15	7.1 - 31	3.44 - 31	251 - 6	0.0 - 0	227 - 30	2.60 - 27	104 - 27	3.3 - 20
16	7.4 - 31	3.42 - 31	0 - 0	0.0 - 0	232 - 29	2.30 - 24	110 - 24	2.9 - 28
17	7.0 - 31	3.55 - 31	0 - 0	0.0 - 0	218 - 31	1.70 - 8	115 - 8	2.2 - 29
18	5.5 - 30	3.55 - 30	0 - 0	0.0 - 0	208 - 30	0.00 - 0	0 - 0	2.6 - 20
19	4.7 - 29	3.29 - 29	0 - 0	0.0 - 0	227 - 29	0.00 - 0	0 - 0	2.3 - 18
20	4.0 - 31	3.34 - 31	0 - 0	0.0 - 0	229 - 31	0.00 - 0	0 - 0	2.2 - 9
21	3.6 - 31	3.20 - 31	0 - 0	0.0 - 0	238 - 31	0.00 - 0	0 - 0	2.3 - 7
22	3.5 - 31	3.04 - 31	0 - 0	0.0 - 0	261 - 31	0.00 - 0	0 - 0	2.1 - 6
23	3.5 - 31	3.02 - 31	0 - 0	0.0 - 0	275 - 31	0.00 - 0	0 - 0	2.2 - 12





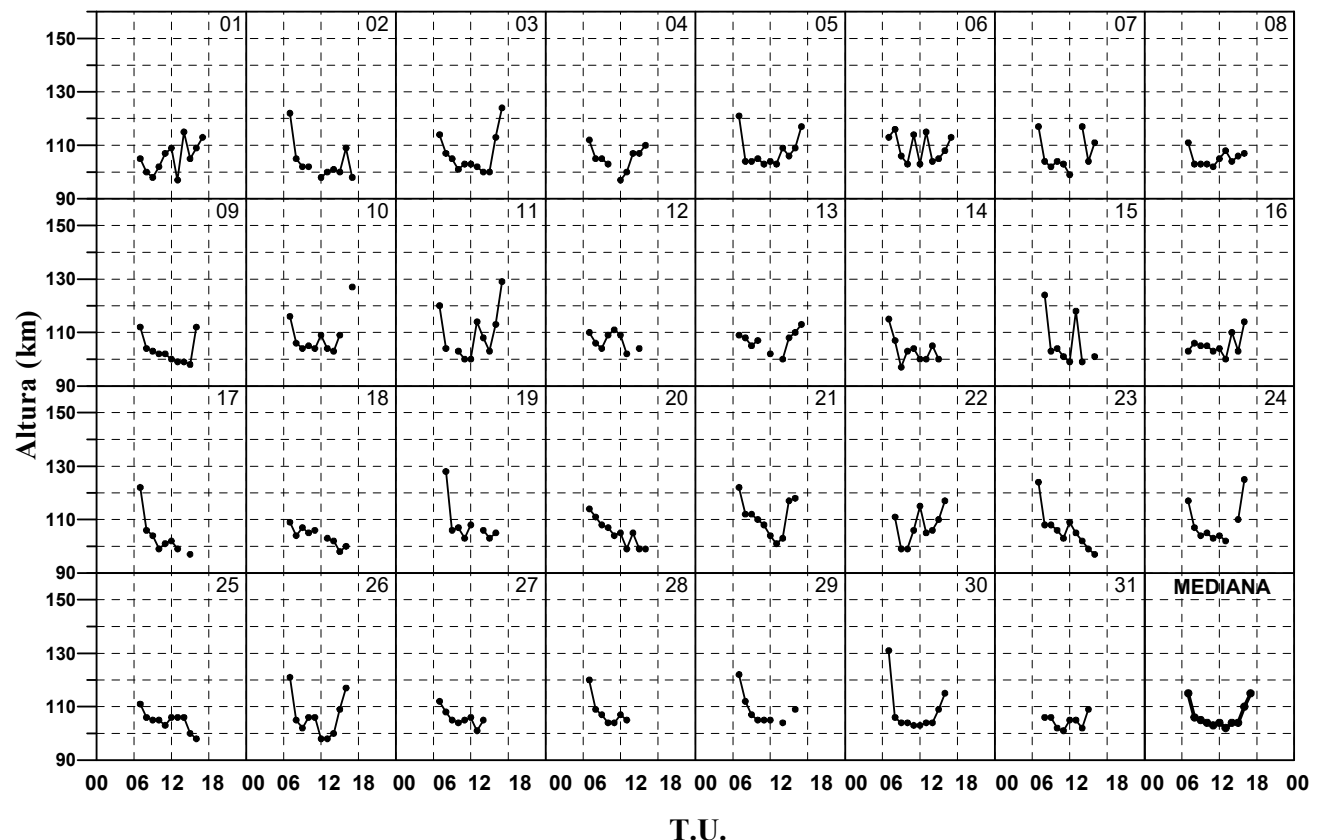
Octubre 2021

$f_{OE}$

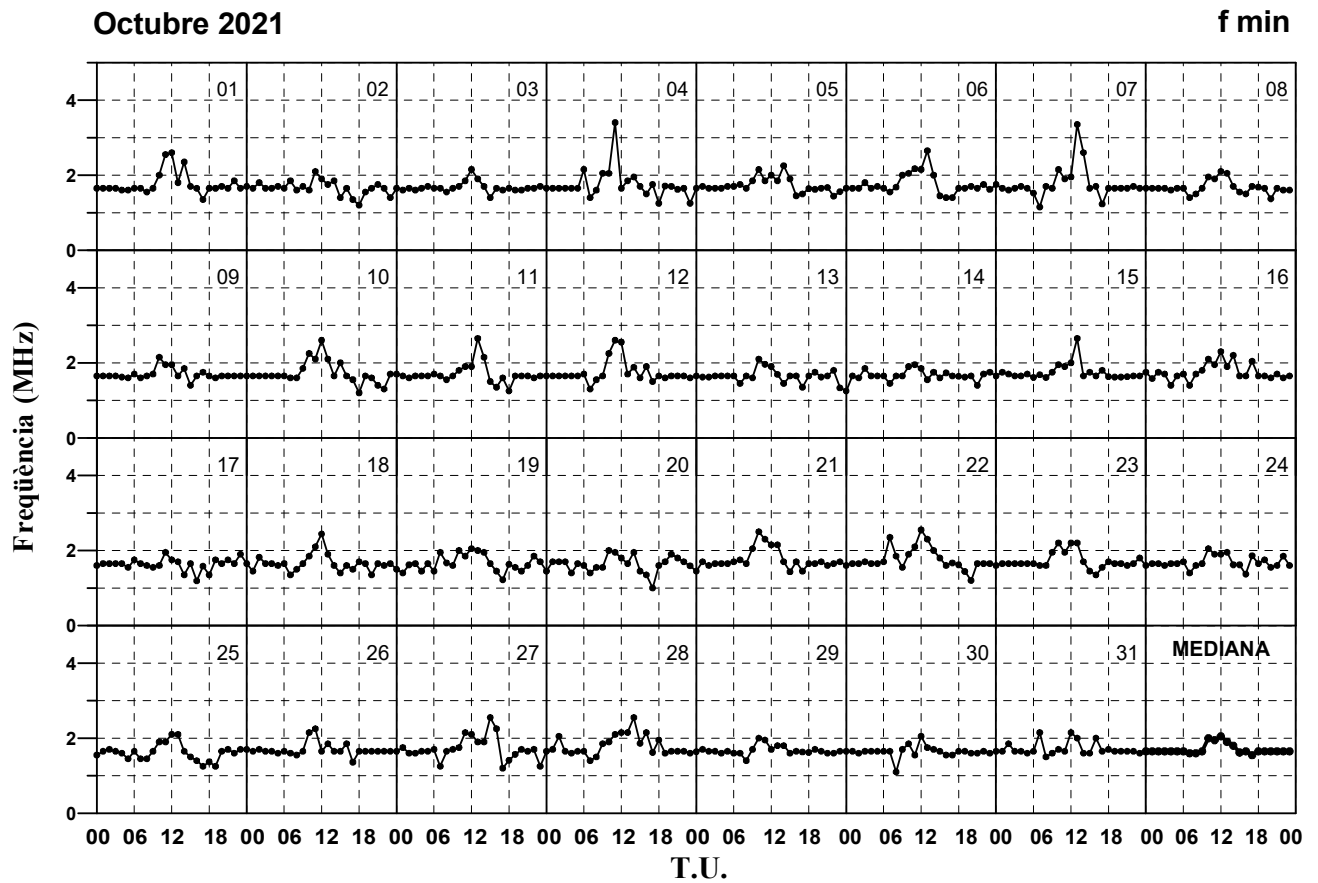


Octubre 2021

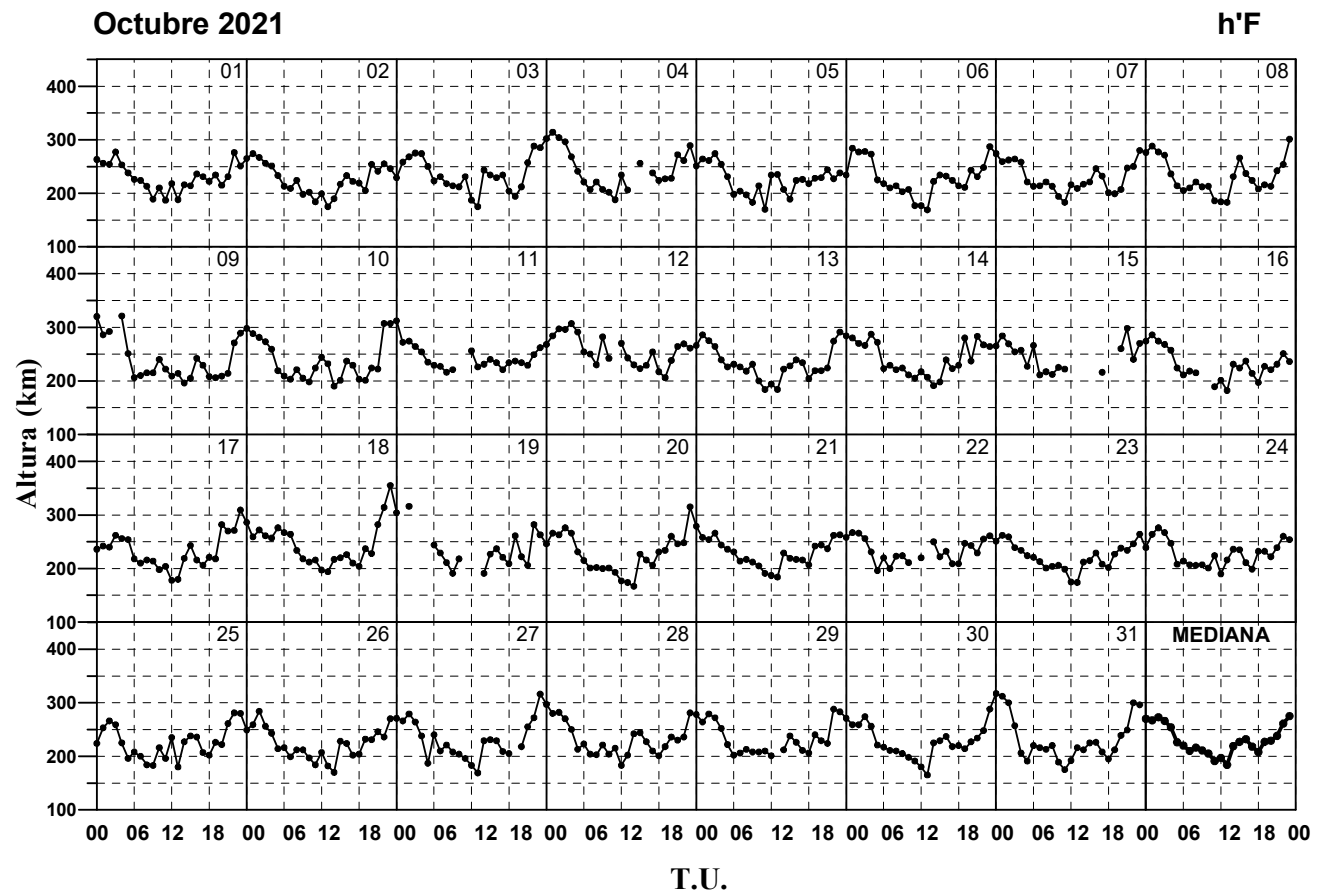
$h^E$



**Octubre 2021**

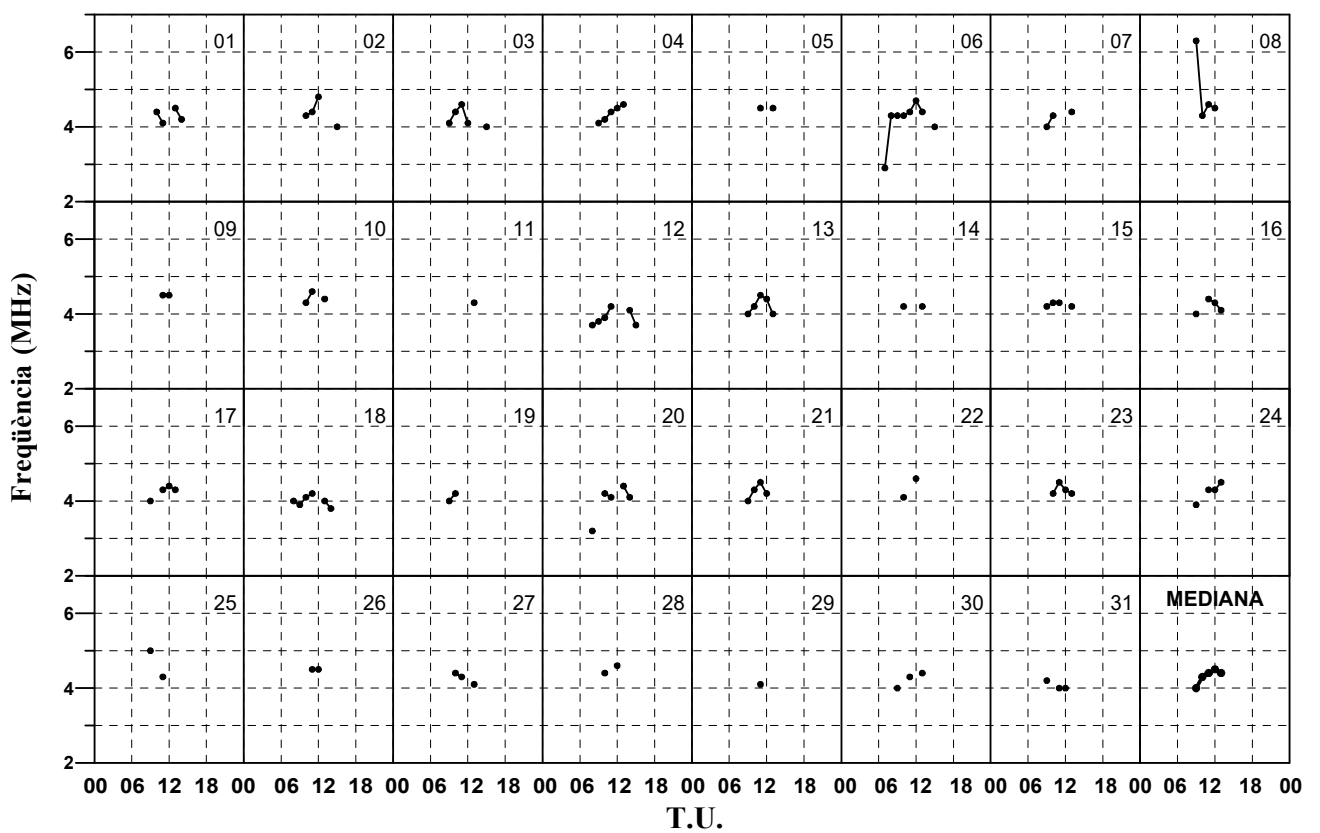


**Octubre 2021**



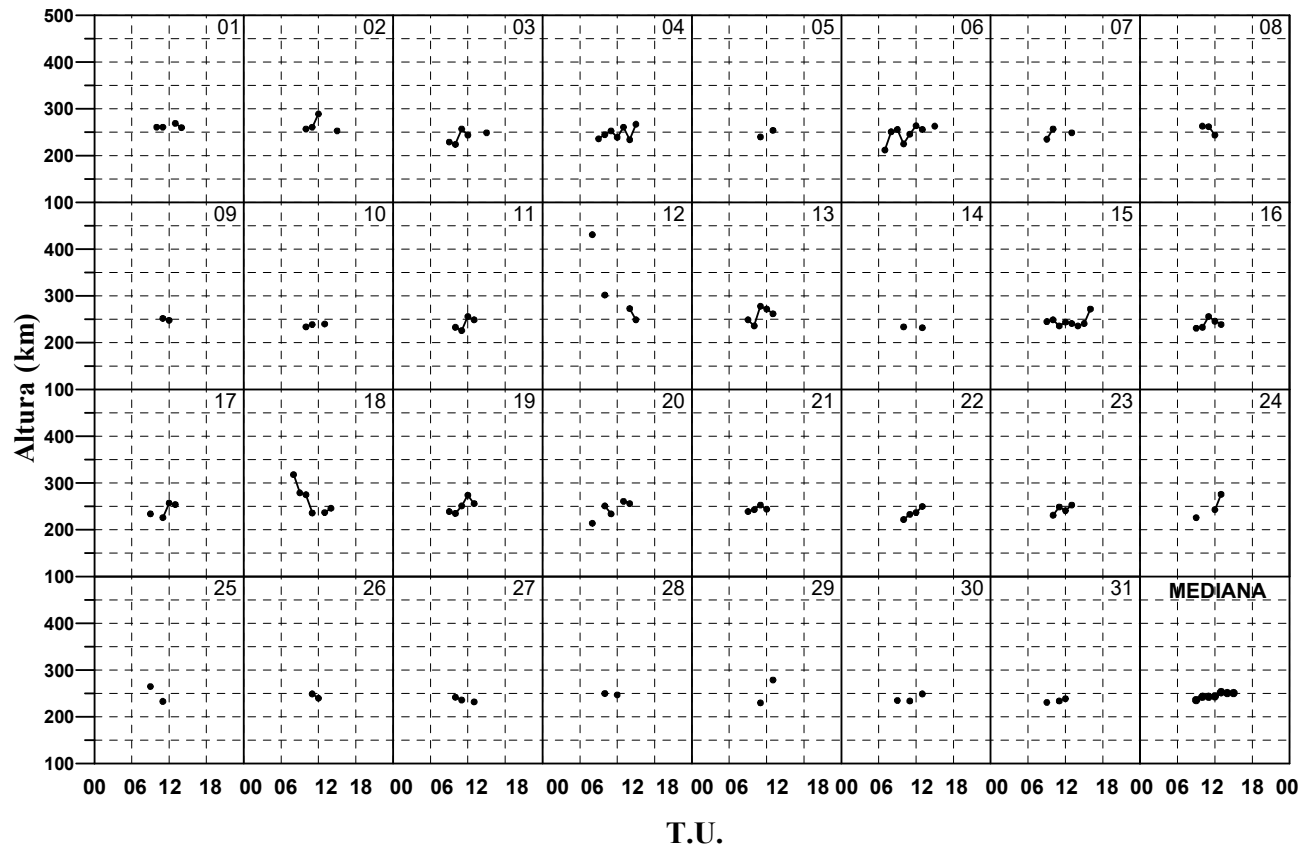
**Octubre 2021**

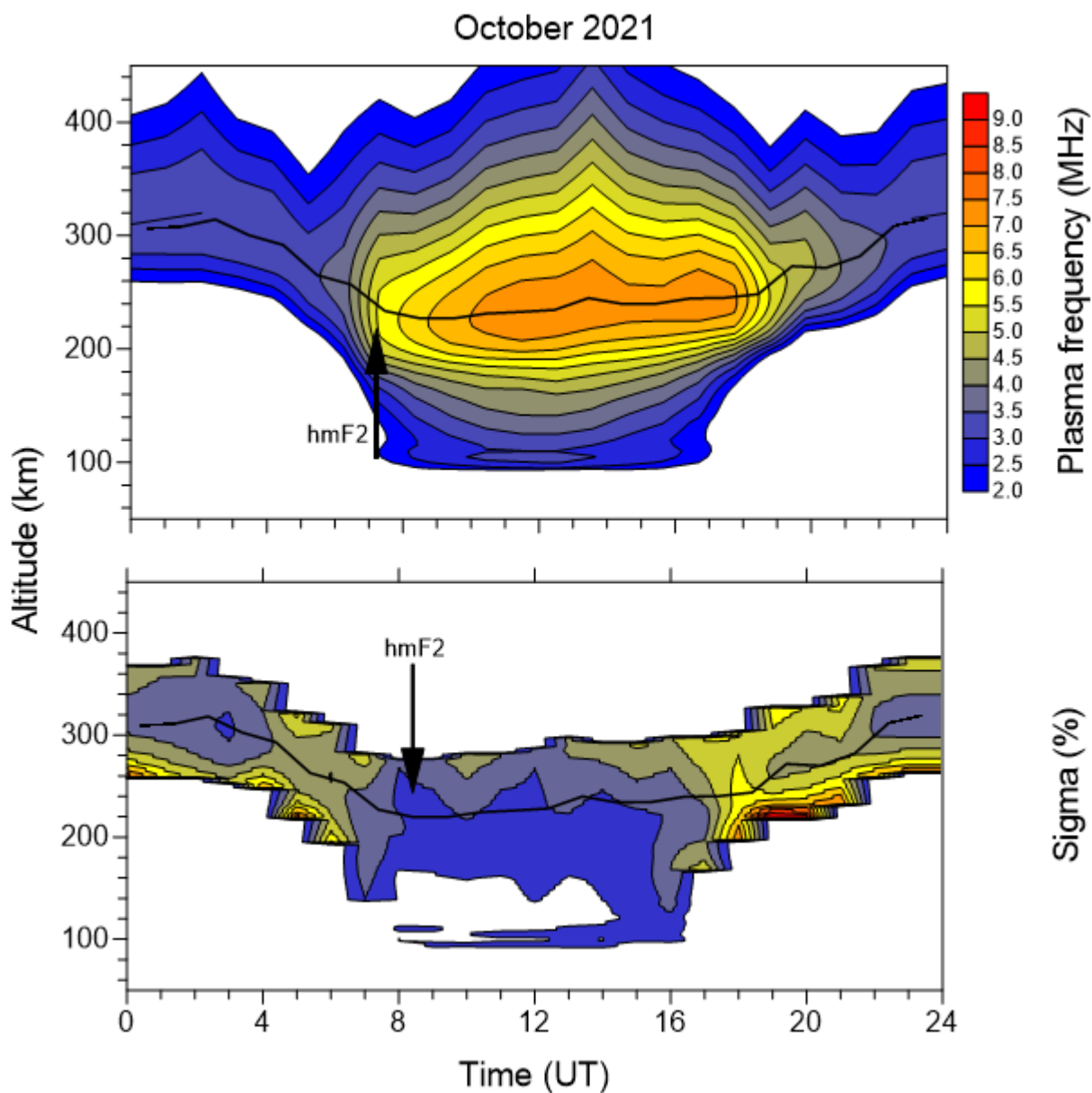
**foF1**



**Octubre 2021**

**h'F2**





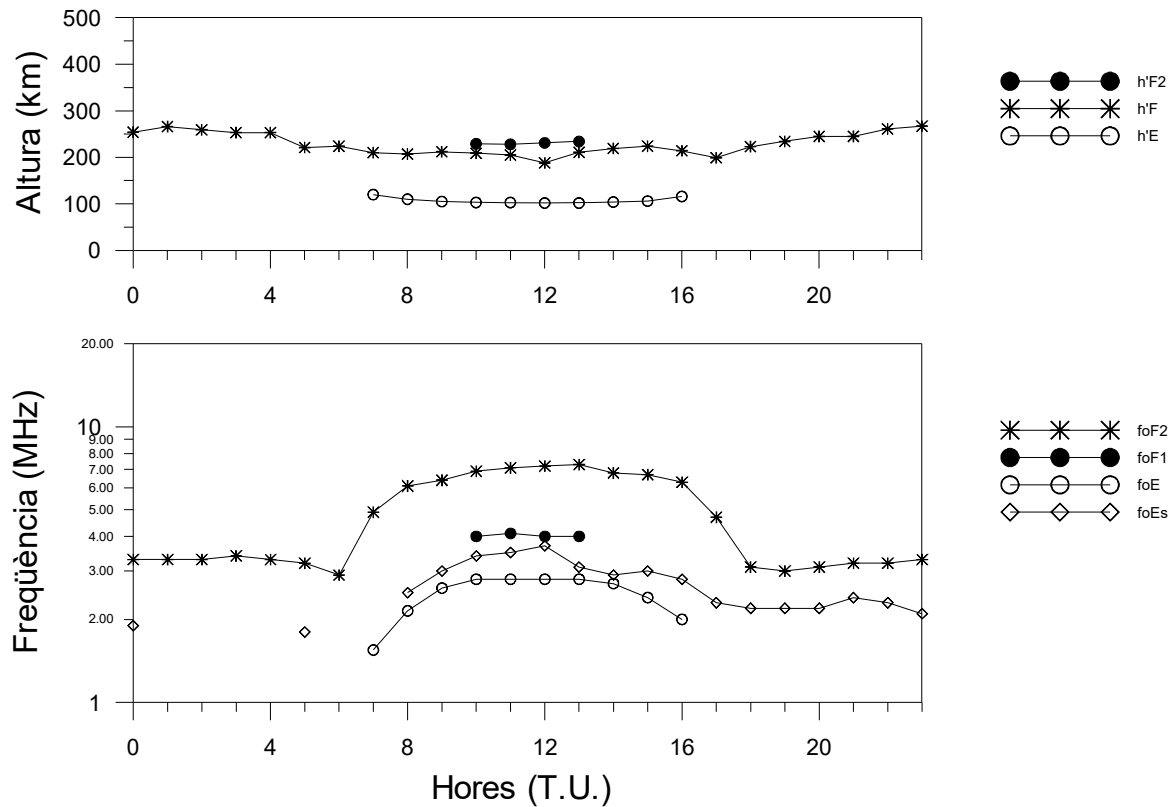
Variació diürna típica de la densitat electrònica (Freqüència de plasma) i la seva desviació estàndard (%) a sobre de l'observatori en funció de l'altura.

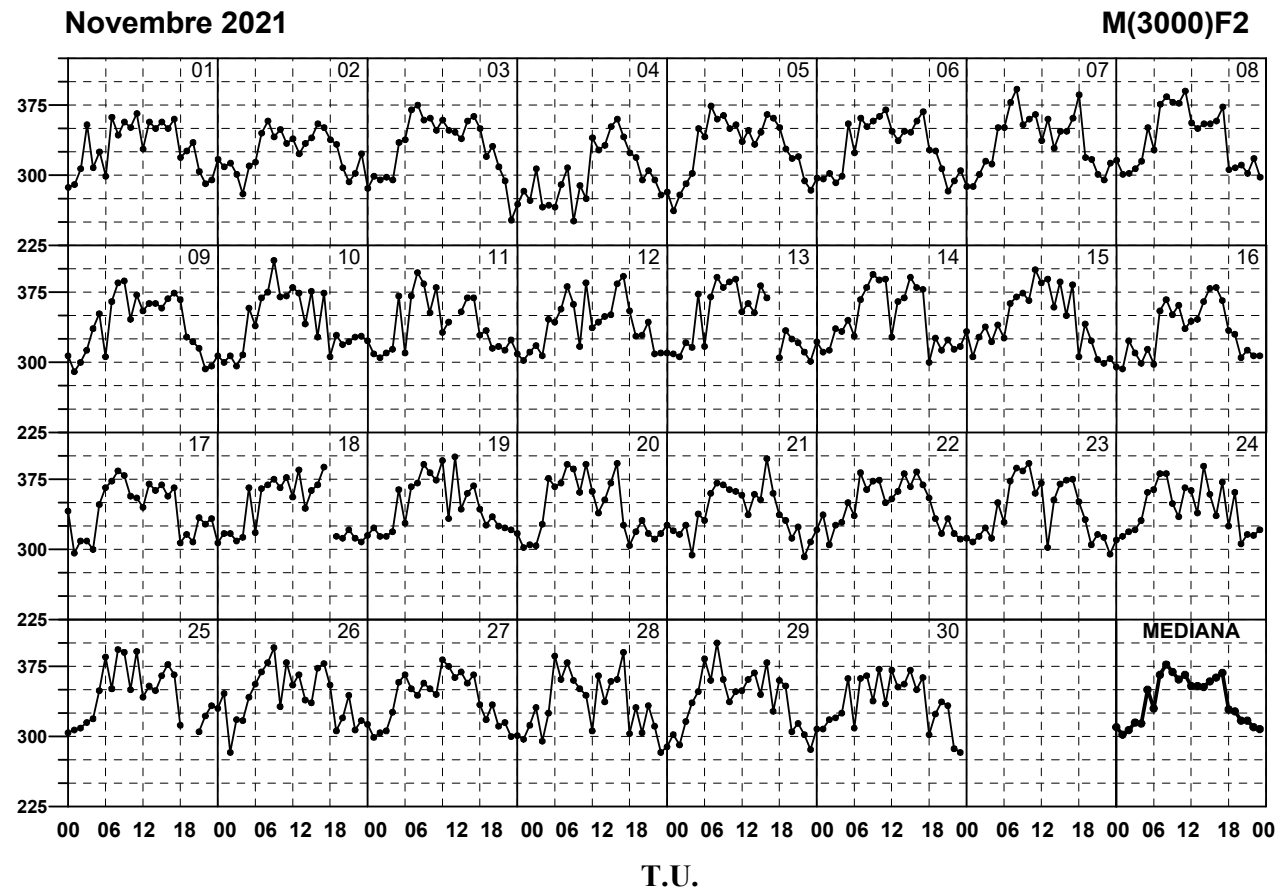
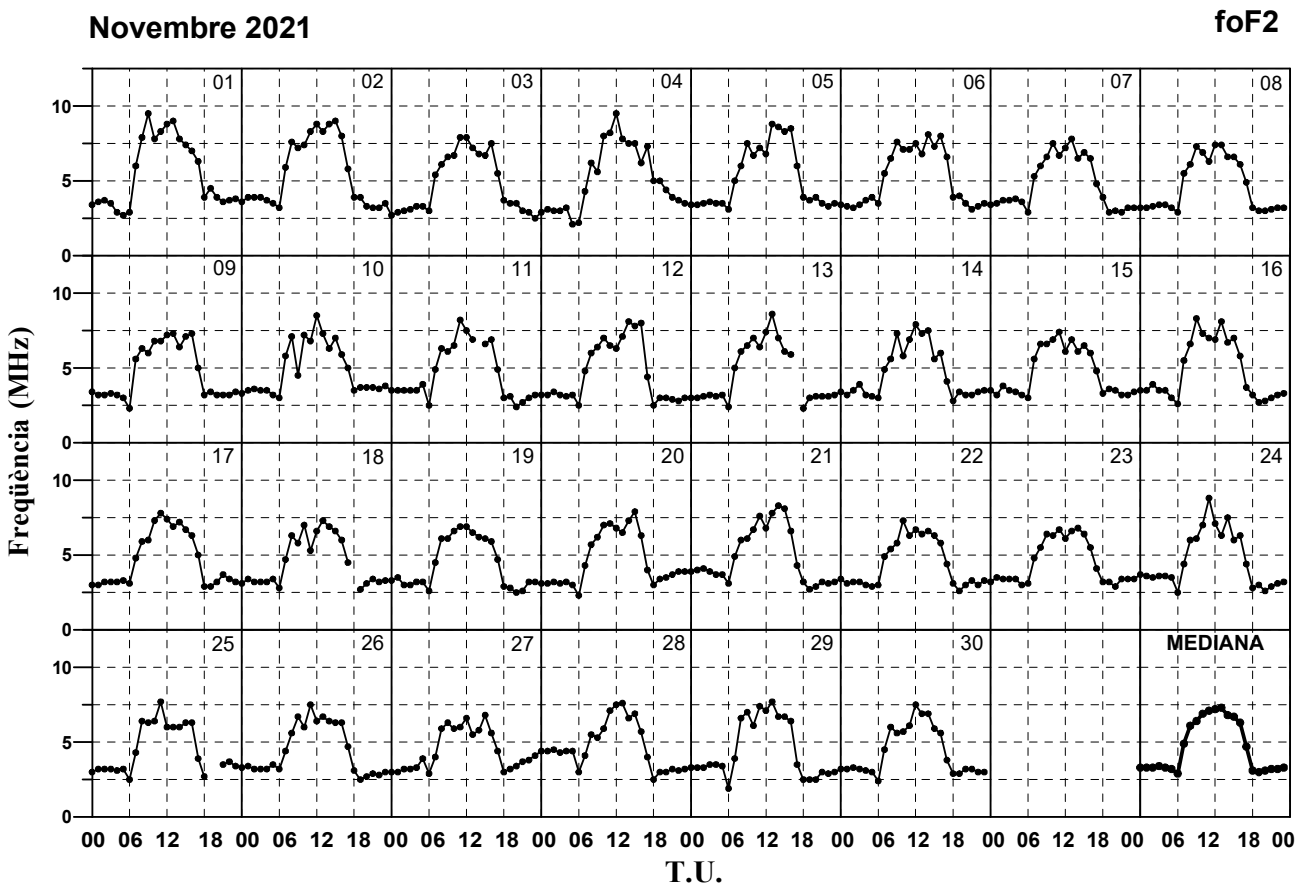
Variación diurna típica de la densidad electrónica (Frecuencia de plasma) y su desviación estándar (%) sobre el Observatorio en función de la altura.

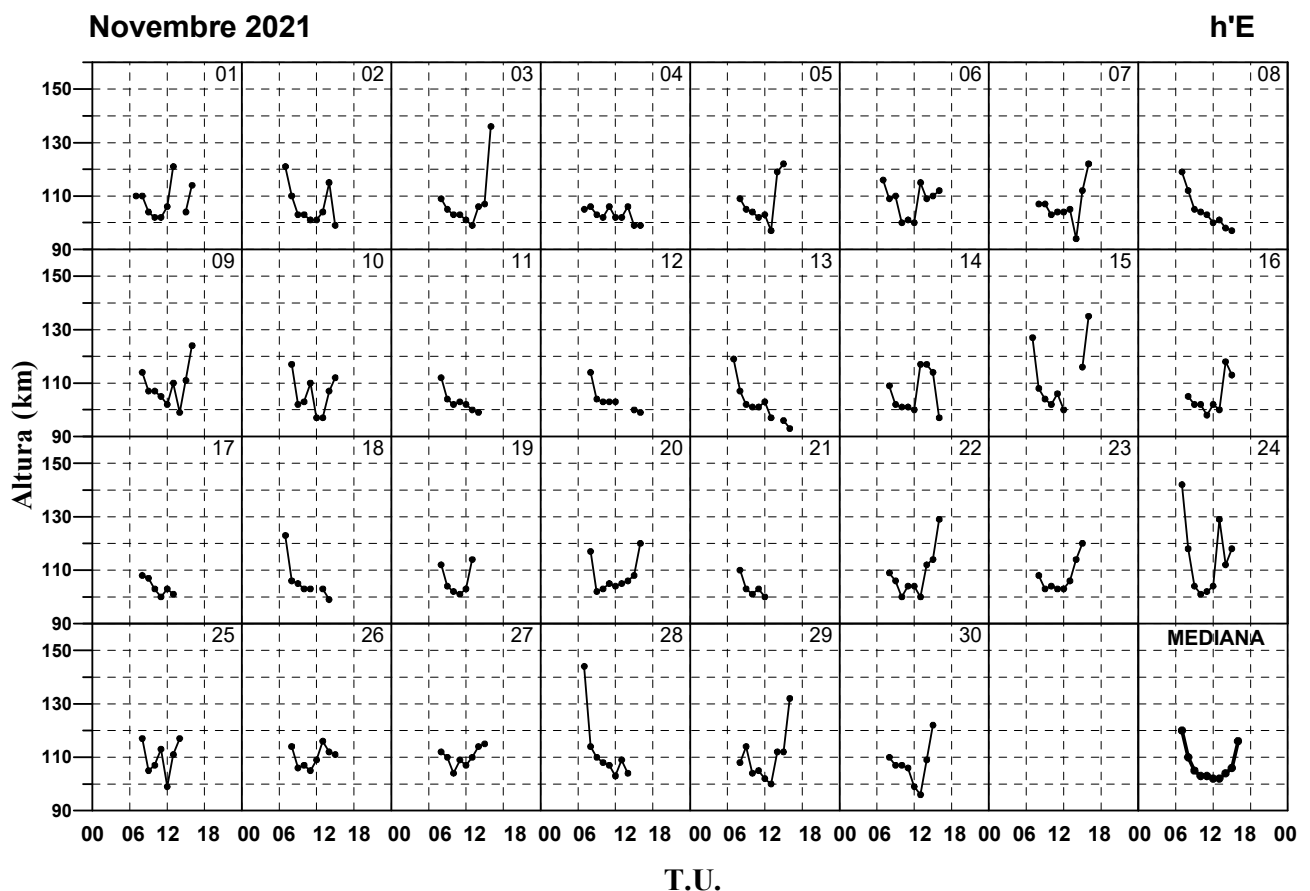
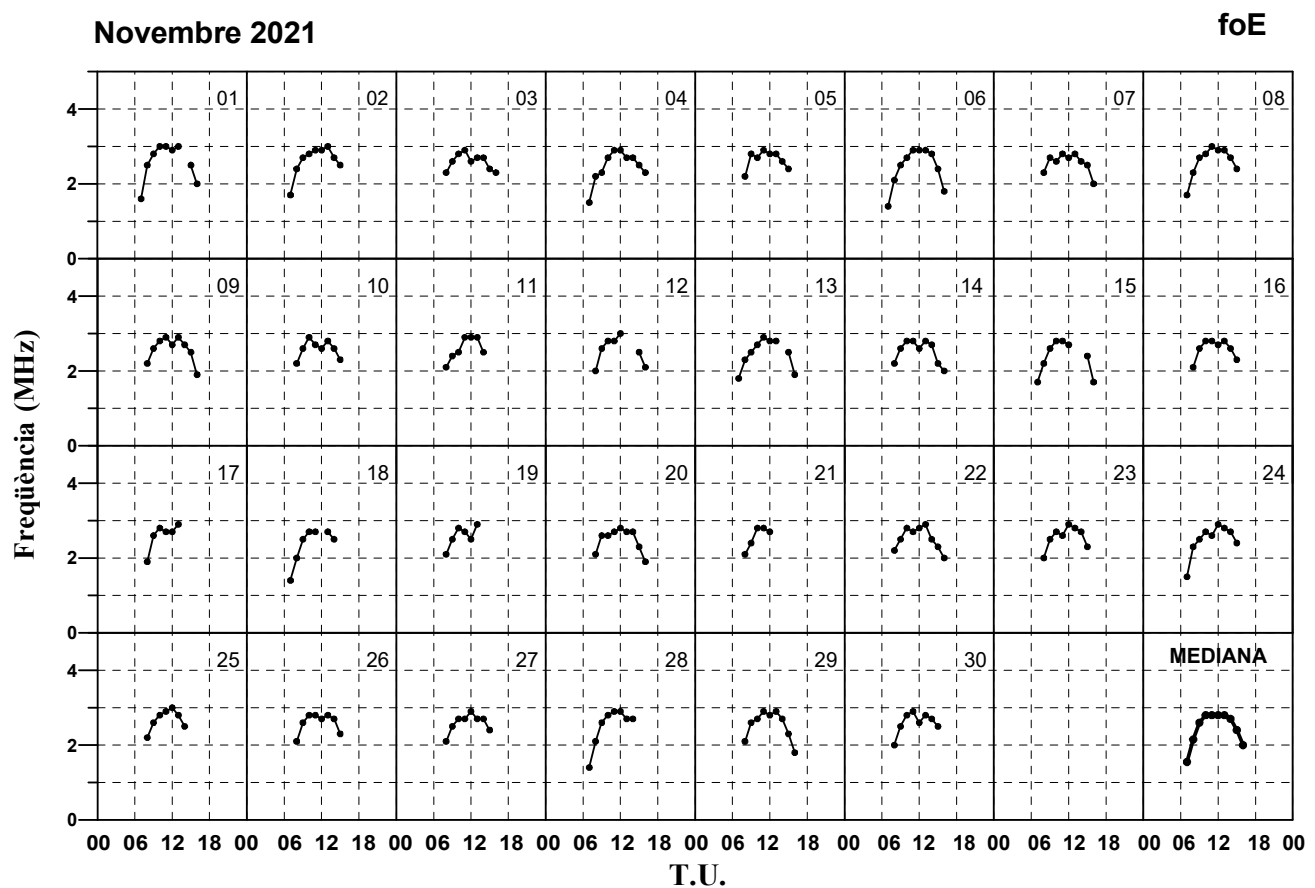
Typical daily variation of the electron density (Plasma frequency) and its standard deviations (%) above the Observatory as function of the altitude.

## NOVEMBRE 2021

Hora T.U.	foF2 MHz	M(3000) F2	h' F2 Km	foF1 MHz	h' F Km	foE MHz	h' E Km	foEs MHz
0	3.3 - 30	3.10 - 30	0 - 0	0.0 - 0	254 - 30	0.00 - 0	0 - 0	1.9 - 5
1	3.3 - 30	3.02 - 30	0 - 0	0.0 - 0	266 - 30	0.00 - 0	0 - 0	0.0 - 0
2	3.3 - 30	3.07 - 30	0 - 0	0.0 - 0	259 - 30	0.00 - 0	0 - 0	0.0 - 0
3	3.4 - 30	3.15 - 30	0 - 0	0.0 - 0	253 - 30	0.00 - 0	0 - 0	0.0 - 0
4	3.3 - 30	3.14 - 30	0 - 0	0.0 - 0	253 - 30	0.00 - 0	0 - 0	0.0 - 0
5	3.2 - 30	3.50 - 30	0 - 0	0.0 - 0	221 - 30	0.00 - 0	0 - 0	1.8 - 5
6	2.9 - 30	3.30 - 30	0 - 0	0.0 - 0	224 - 30	0.00 - 0	0 - 0	0.0 - 0
7	4.9 - 30	3.66 - 30	0 - 0	0.0 - 0	210 - 30	1.55 - 10	120 - 10	0.0 - 0
8	6.1 - 30	3.77 - 30	0 - 0	0.0 - 0	207 - 30	2.15 - 30	110 - 30	2.5 - 16
9	6.4 - 30	3.69 - 30	0 - 0	0.0 - 0	212 - 30	2.60 - 30	105 - 30	3.0 - 18
10	6.9 - 30	3.61 - 30	229 - 12	4.0 - 12	209 - 30	2.80 - 30	103 - 30	3.4 - 26
11	7.1 - 30	3.66 - 30	228 - 14	4.1 - 16	205 - 29	2.80 - 30	103 - 30	3.5 - 29
12	7.2 - 30	3.54 - 30	231 - 15	4.0 - 13	188 - 28	2.80 - 29	102 - 29	3.7 - 25
13	7.3 - 30	3.54 - 30	234 - 10	4.0 - 11	211 - 30	2.80 - 27	102 - 27	3.1 - 21
14	6.8 - 29	3.53 - 29	0 - 0	0.0 - 0	219 - 29	2.70 - 23	104 - 23	2.9 - 25
15	6.7 - 30	3.59 - 30	0 - 0	0.0 - 0	224 - 30	2.40 - 23	U106 - 23	3.0 - 24
16	6.3 - 30	3.63 - 30	0 - 0	0.0 - 0	214 - 30	2.00 - 13	116 - 13	2.8 - 25
17	4.7 - 29	3.68 - 29	0 - 0	0.0 - 0	199 - 29	0.00 - 0	0 - 0	2.3 - 21
18	3.1 - 29	3.29 - 29	0 - 0	0.0 - 0	223 - 29	0.00 - 0	0 - 0	2.2 - 17
19	3.0 - 29	3.27 - 29	0 - 0	0.0 - 0	234 - 29	0.00 - 0	0 - 0	2.2 - 14
20	3.1 - 29	3.17 - 29	0 - 0	0.0 - 0	245 - 29	0.00 - 0	0 - 0	2.2 - 12
21	3.2 - 30	3.17 - 30	0 - 0	0.0 - 0	245 - 30	0.00 - 0	0 - 0	2.4 - 8
22	3.2 - 30	3.10 - 30	0 - 0	0.0 - 0	261 - 30	0.00 - 0	0 - 0	2.3 - 10
23	3.3 - 30	3.08 - 30	0 - 0	0.0 - 0	267 - 30	0.00 - 0	0 - 0	2.1 - 7

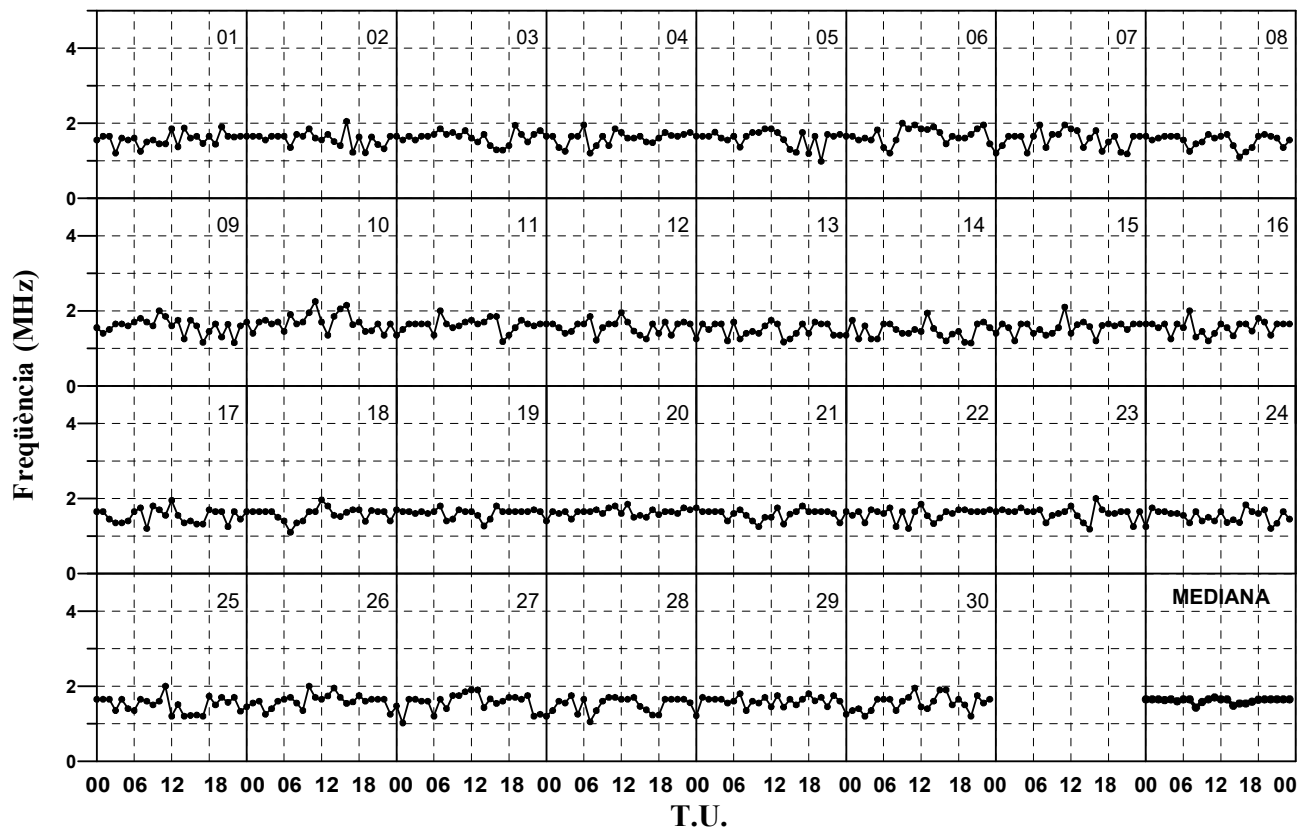






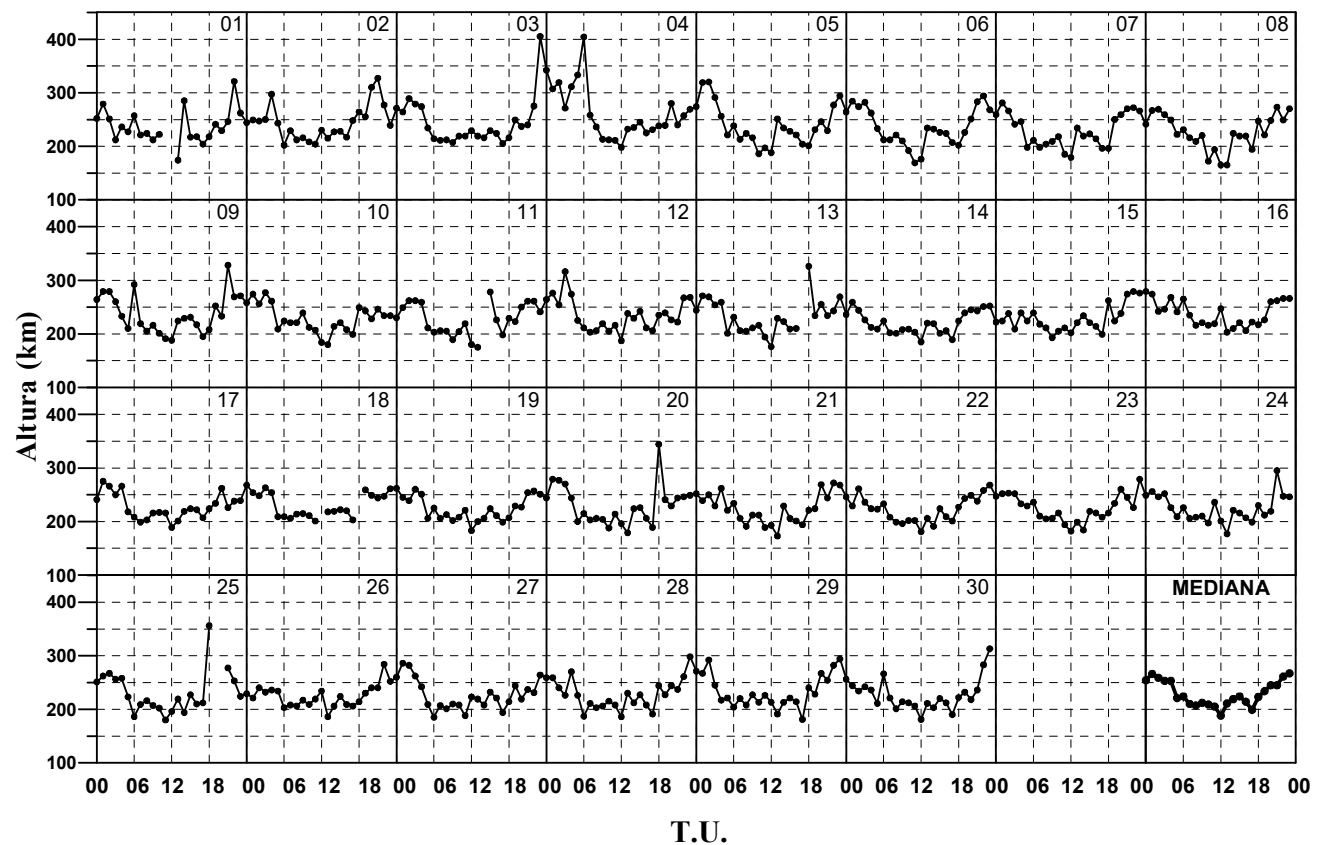
**Novembre 2021**

**f min**



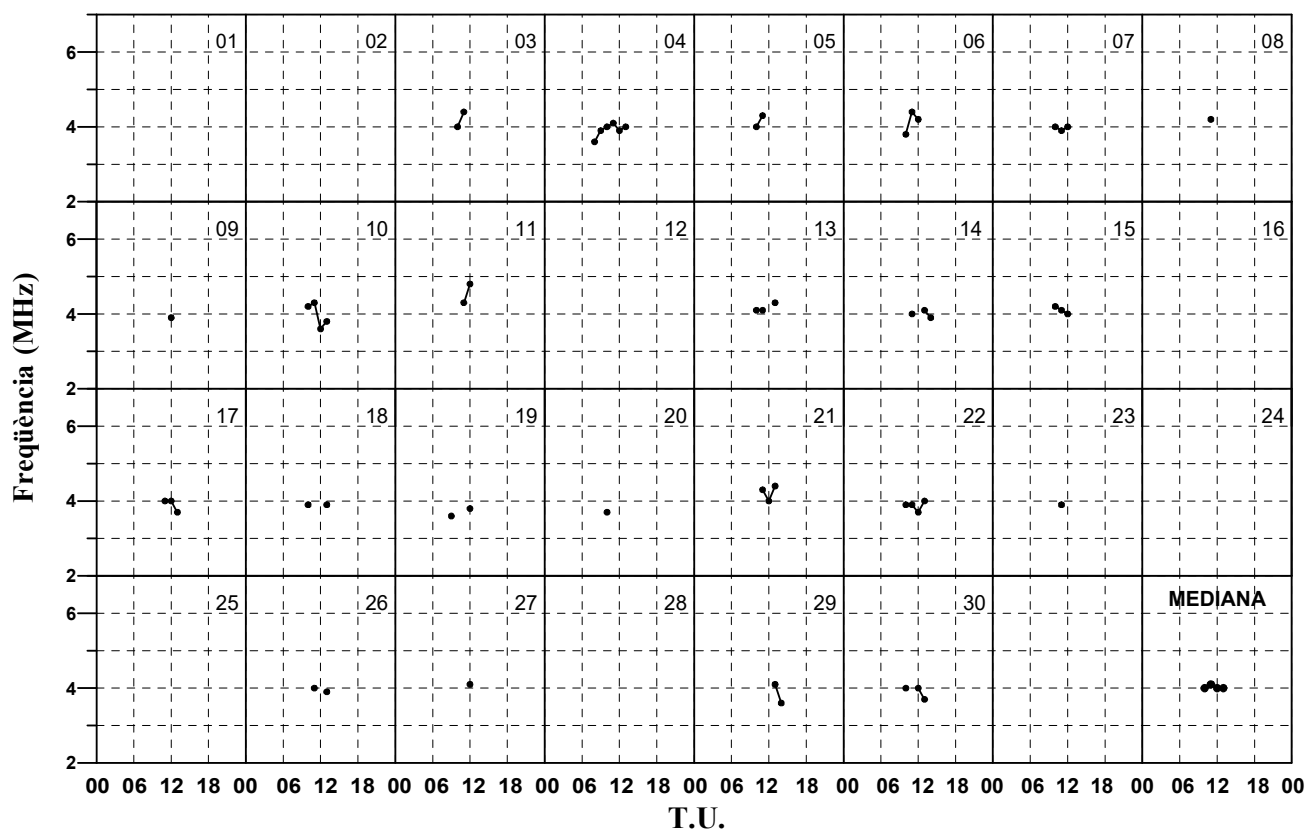
**Novembre 2021**

**h'F**



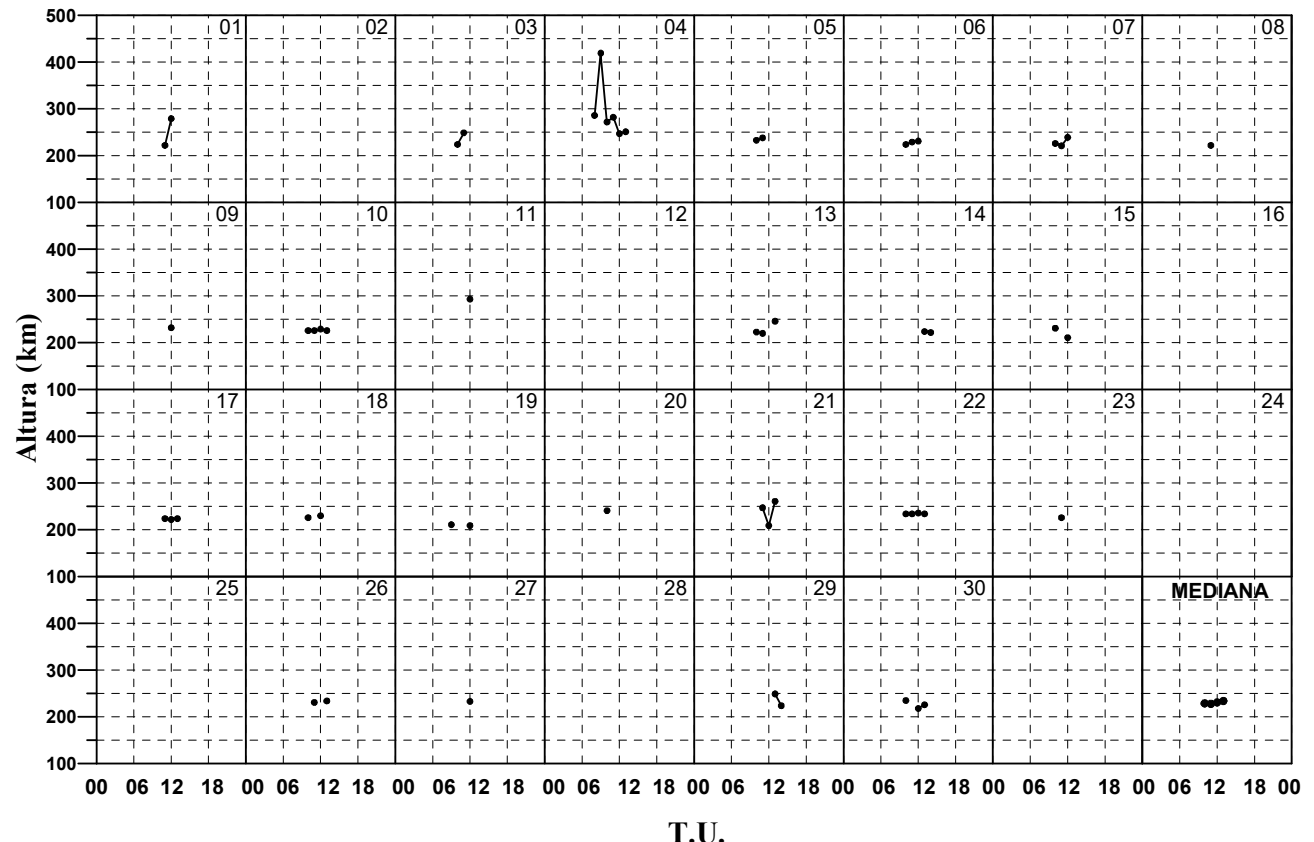
**Novembre 2021**

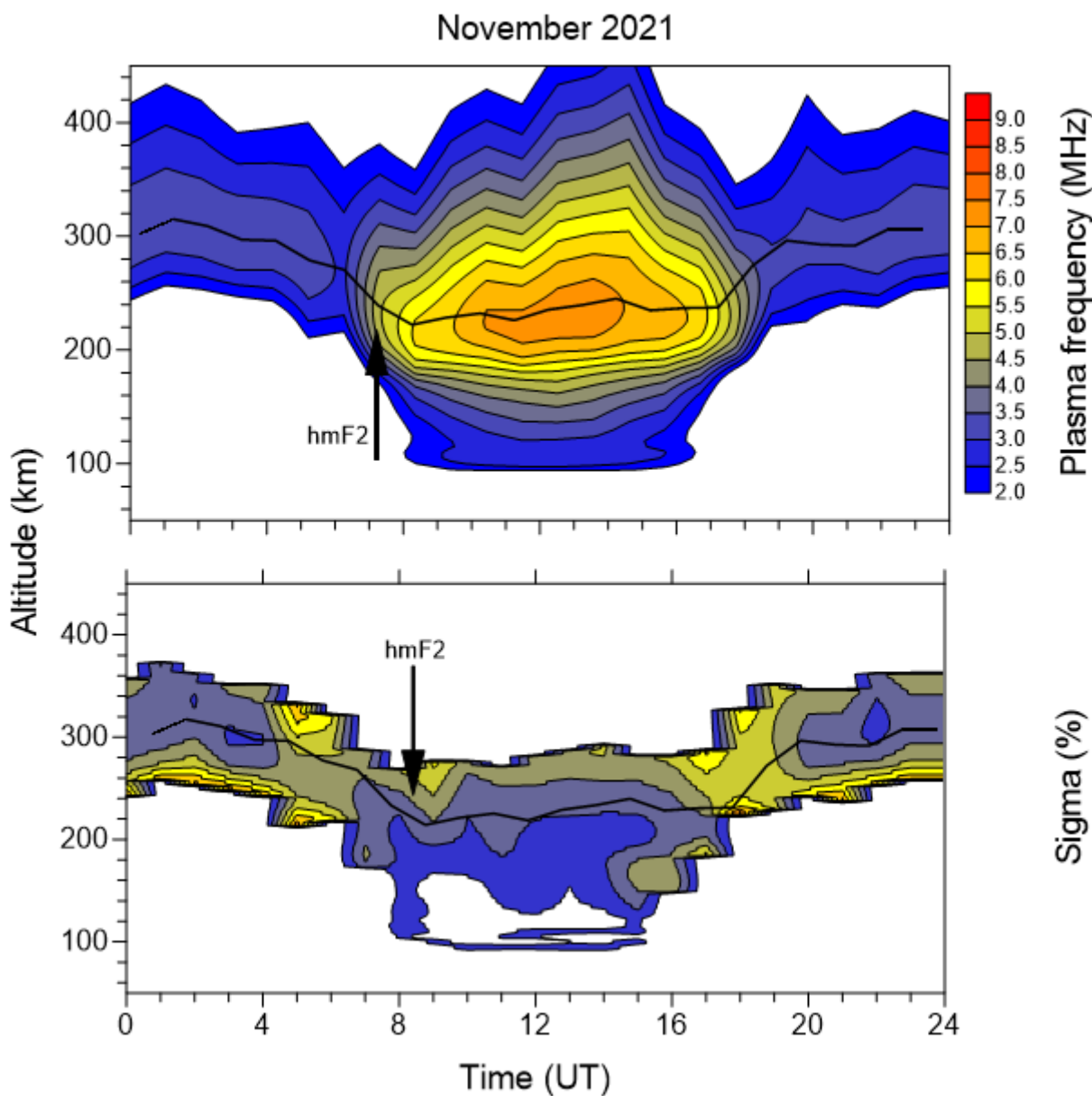
**foF1**



**Novembre 2021**

**h'F2**





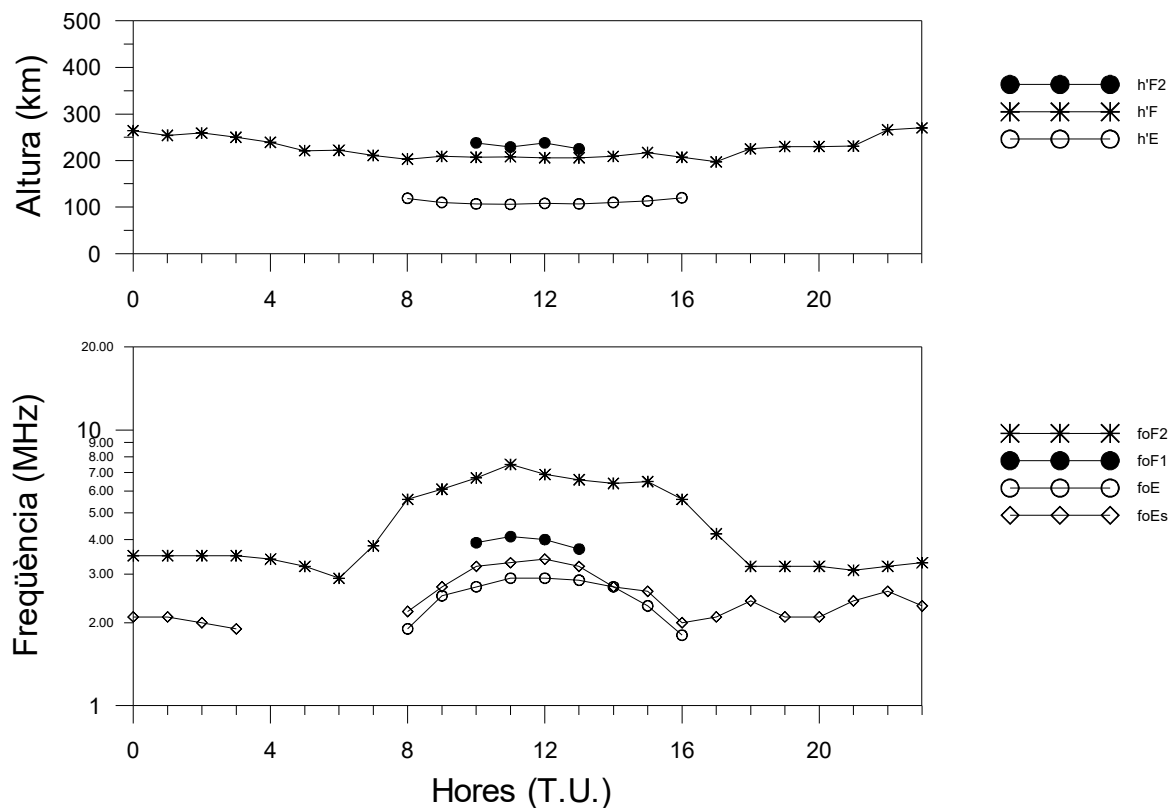
Variació diürna típica de la densitat electrònica (Freqüència de plasma) i la seva desviació estàndard (%) a sobre de l'observatori en funció de l'altura.

Variación diurna típica de la densidad electrónica (Frecuencia de plasma) y su desviación estándar (%) sobre el Observatorio en función de la altura.

Typical daily variation of the electron density (Plasma frequency) and its standard deviations (%) above the Observatory as function of the altitude.

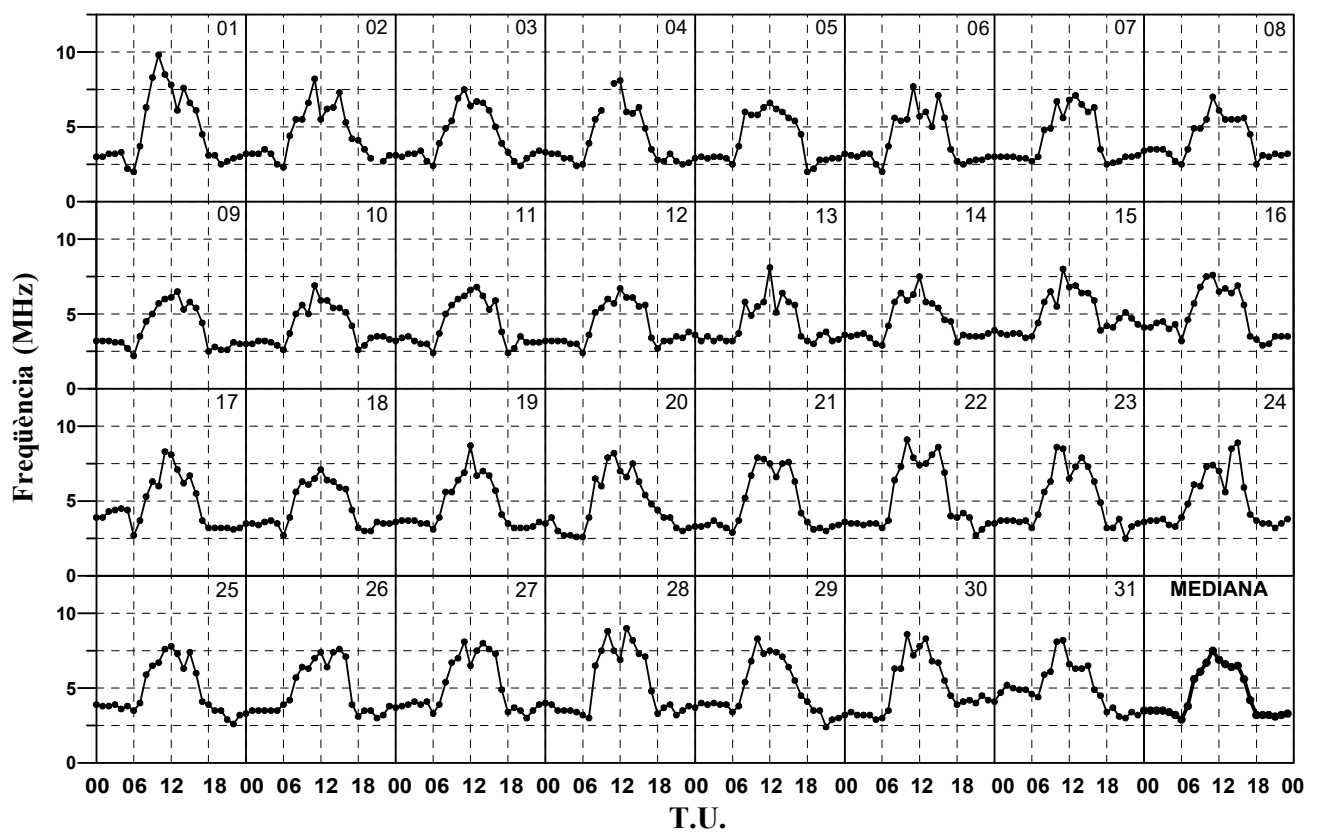
## DESEMBRE 2021

Hora U.T.	foF2 MHz	M(3000) F2	h'F2 Km	foF1 MHz	h'F Km	foE MHz	h'E Km	foEs MHz
0	3.5 - 31	3.05 - 31	0 - 0	0.0 - 0	264 - 31	0.00 - 0	0 - 0	2.1 - 11
1	3.5 - 31	3.07 - 31	0 - 0	0.0 - 0	254 - 31	0.00 - 0	0 - 0	2.1 - 8
2	3.5 - 31	3.09 - 31	0 - 0	0.0 - 0	259 - 31	0.00 - 0	0 - 0	2.0 - 9
3	3.5 - 31	3.17 - 31	0 - 0	0.0 - 0	250 - 31	0.00 - 0	0 - 0	1.9 - 6
4	3.4 - 31	3.19 - 31	0 - 0	0.0 - 0	239 - 31	0.00 - 0	0 - 0	0.0 - 0
5	3.2 - 31	3.39 - 31	0 - 0	0.0 - 0	221 - 31	0.00 - 0	0 - 0	0.0 - 0
6	2.9 - 31	3.34 - 31	0 - 0	0.0 - 0	222 - 31	0.00 - 0	0 - 0	0.0 - 0
7	3.8 - 31	3.55 - 31	0 - 0	0.0 - 0	211 - 31	0.00 - 0	0 - 0	0.0 - 0
8	5.6 - 31	3.77 - 31	0 - 0	0.0 - 0	203 - 31	1.90 - 30	119 - 30	2.2 - 18
9	6.1 - 31	3.75 - 31	0 - 0	0.0 - 0	209 - 31	2.50 - 31	110 - 31	2.7 - 22
10	6.7 - 30	3.61 - 30	238 - 7	3.9 - 8	207 - 30	2.70 - 30	107 - 30	3.2 - 21
11	7.5 - 31	3.64 - 31	229 - 11	4.1 - 11	208 - 31	2.90 - 31	106 - 31	3.3 - 19
12	6.9 - 31	3.63 - 31	238 - 6	4.0 - 6	206 - 31	2.90 - 28	108 - 28	3.4 - 20
13	6.6 - 31	3.62 - 31	225 - 8	3.7 - 8	206 - 31	2.85 - 30	107 - 30	3.2 - 14
14	6.4 - 31	3.63 - 31	0 - 0	0.0 - 0	209 - 31	2.70 - 29	110 - 29	2.7 - 18
15	6.5 - 31	3.61 - 31	0 - 0	0.0 - 0	217 - 31	2.30 - 28	113 - 28	2.6 - 18
16	5.6 - 31	3.76 - 31	0 - 0	0.0 - 0	207 - 31	1.80 - 14	120 - 14	2.0 - 15
17	4.2 - 31	3.43 - 31	0 - 0	0.0 - 0	197 - 31	0.00 - 0	0 - 0	2.1 - 9
18	3.2 - 31	3.30 - 31	0 - 0	0.0 - 0	225 - 31	0.00 - 0	0 - 0	2.4 - 7
19	3.2 - 31	3.29 - 31	0 - 0	0.0 - 0	230 - 31	0.00 - 0	0 - 0	2.1 - 7
20	3.2 - 31	3.33 - 31	0 - 0	0.0 - 0	230 - 31	0.00 - 0	0 - 0	2.1 - 9
21	3.1 - 30	3.21 - 30	0 - 0	0.0 - 0	231 - 30	0.00 - 0	0 - 0	2.4 - 12
22	3.2 - 31	2.99 - 31	0 - 0	0.0 - 0	266 - 31	0.00 - 0	0 - 0	2.6 - 8
23	3.3 - 31	3.03 - 31	0 - 0	0.0 - 0	270 - 31	0.00 - 0	0 - 0	2.3 - 12



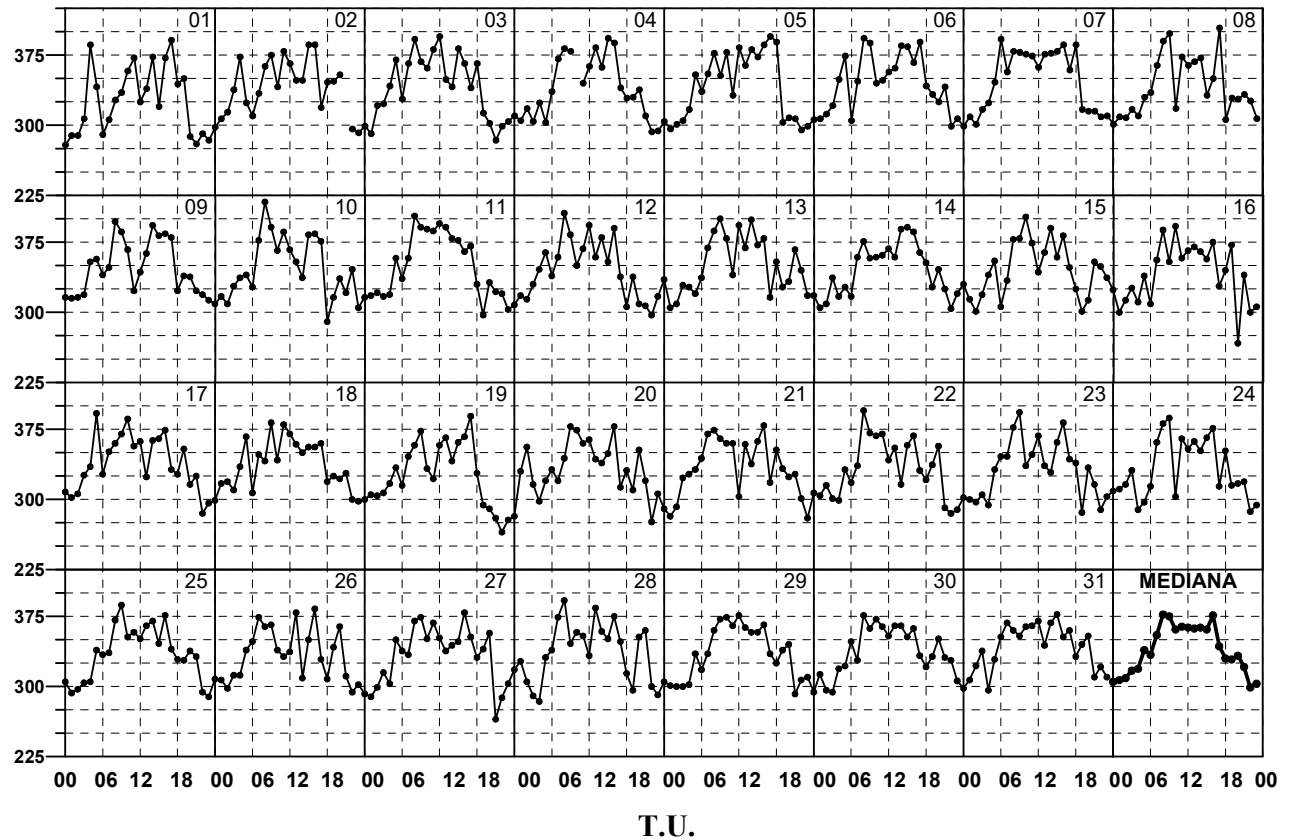
**Desembre 2021**

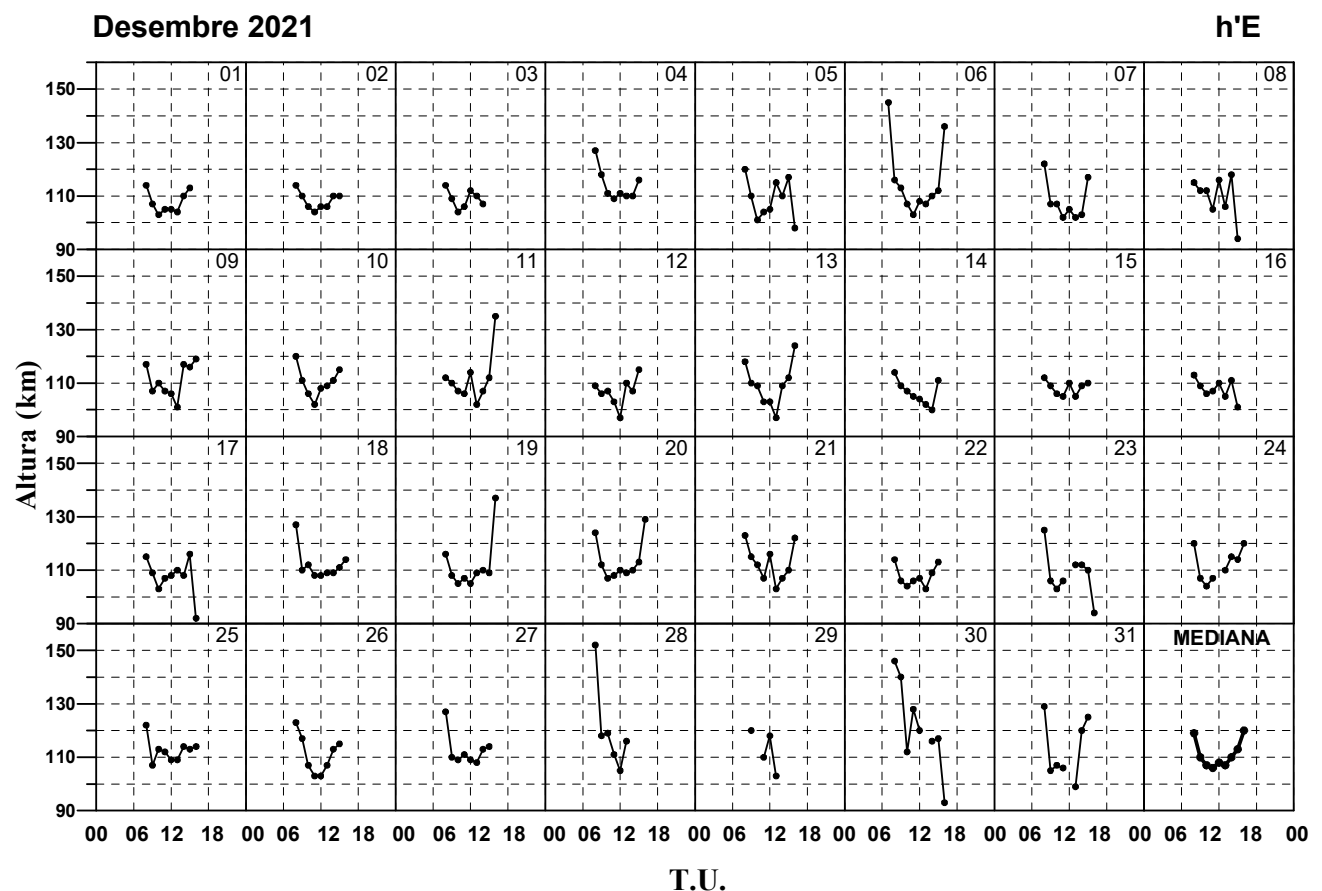
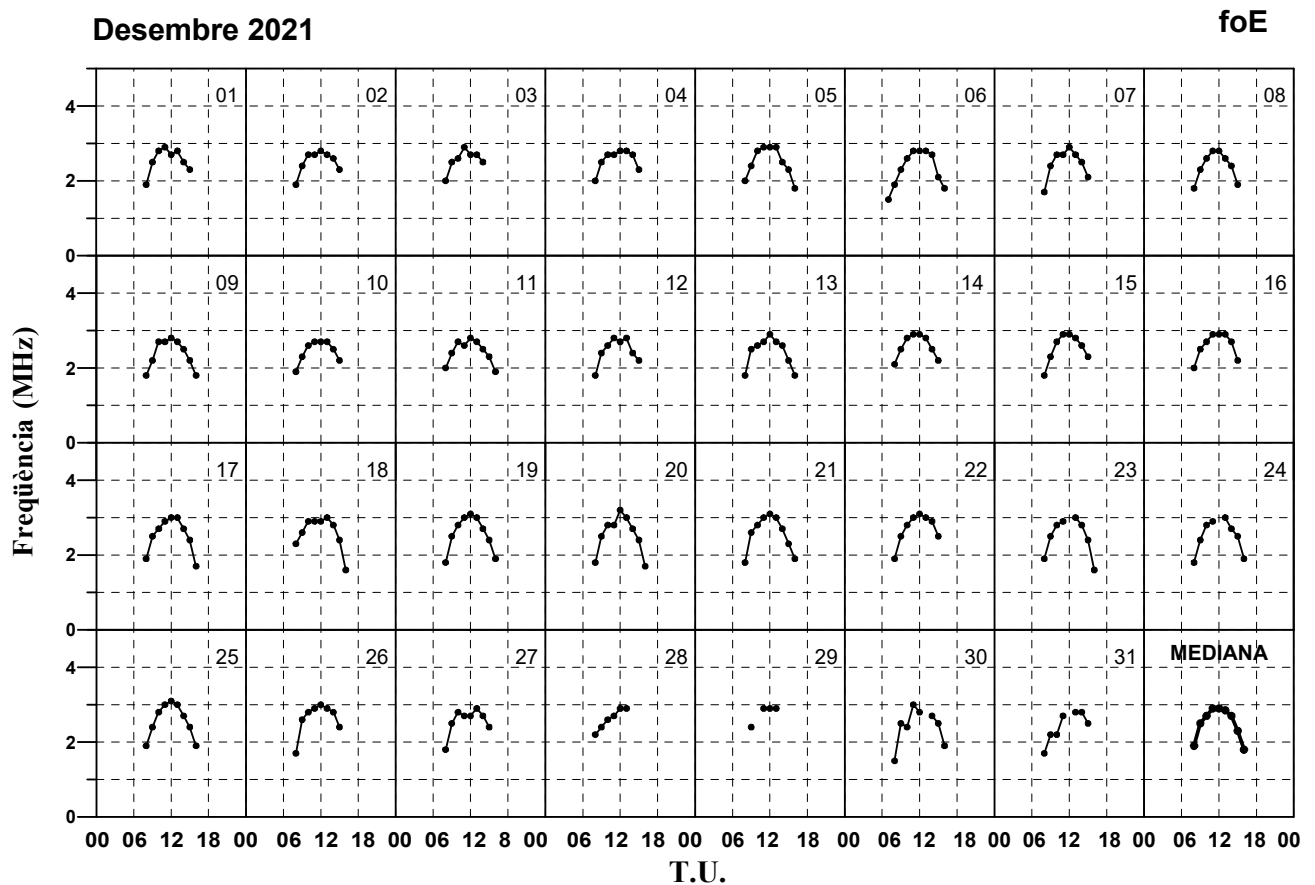
**foF2**



**Desembre 2021**

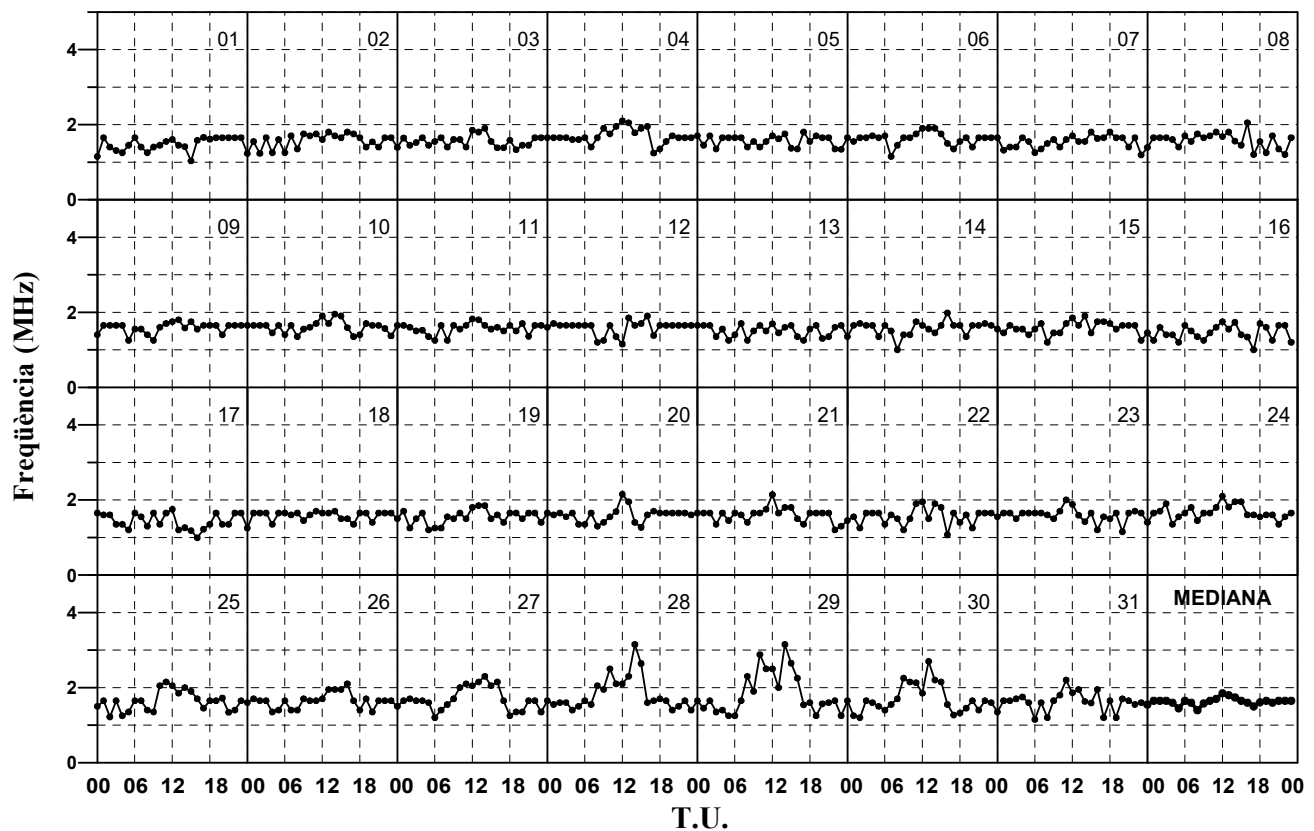
**M(3000)F2**





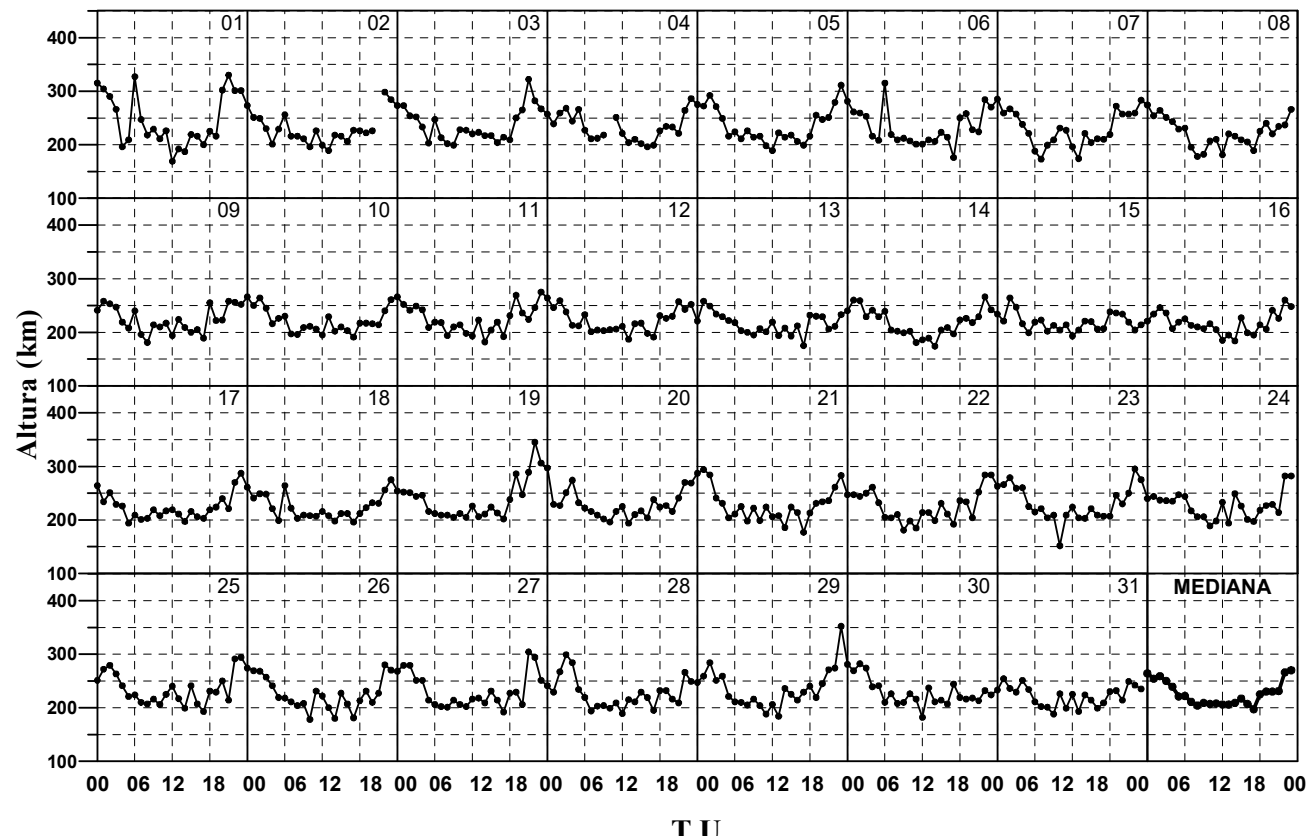
Desembre 2021

$f$  min



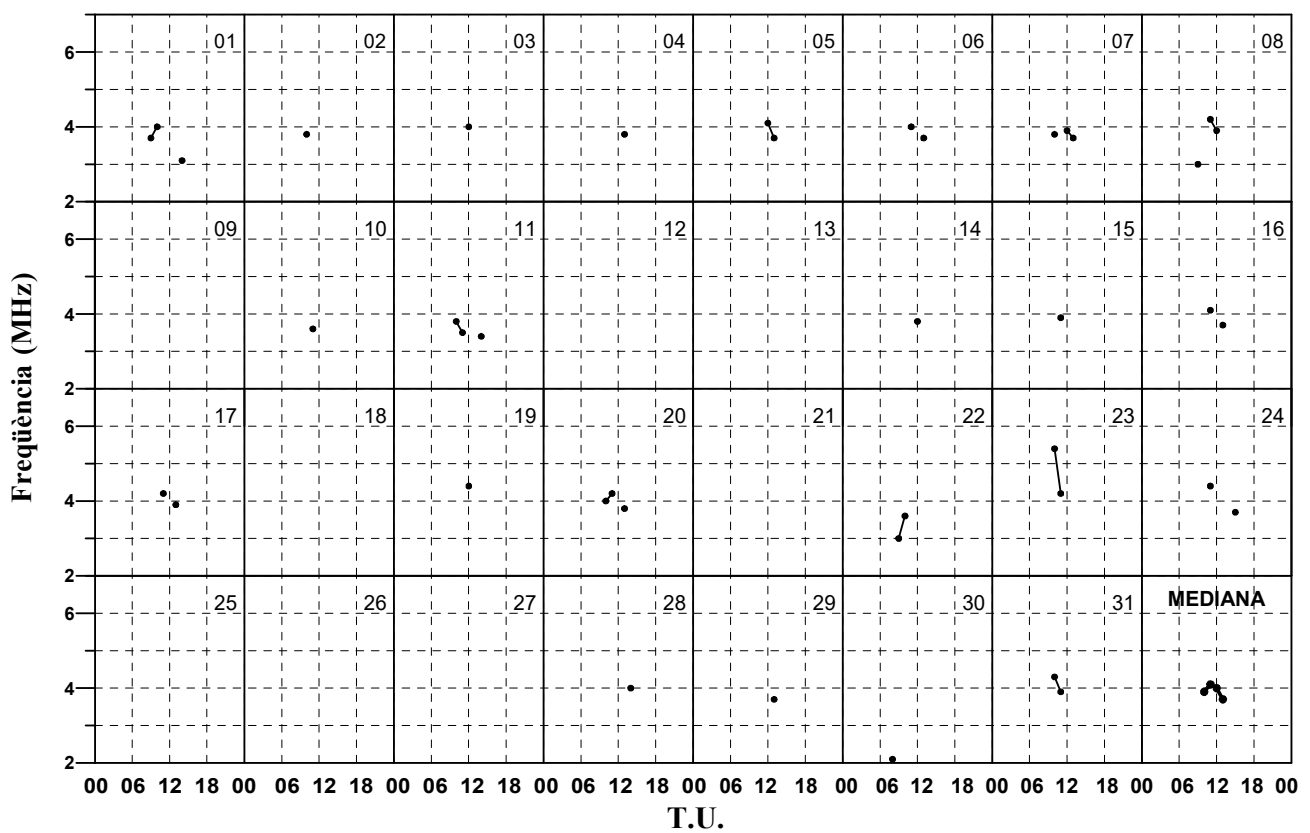
Desembre 2021

$h'F$



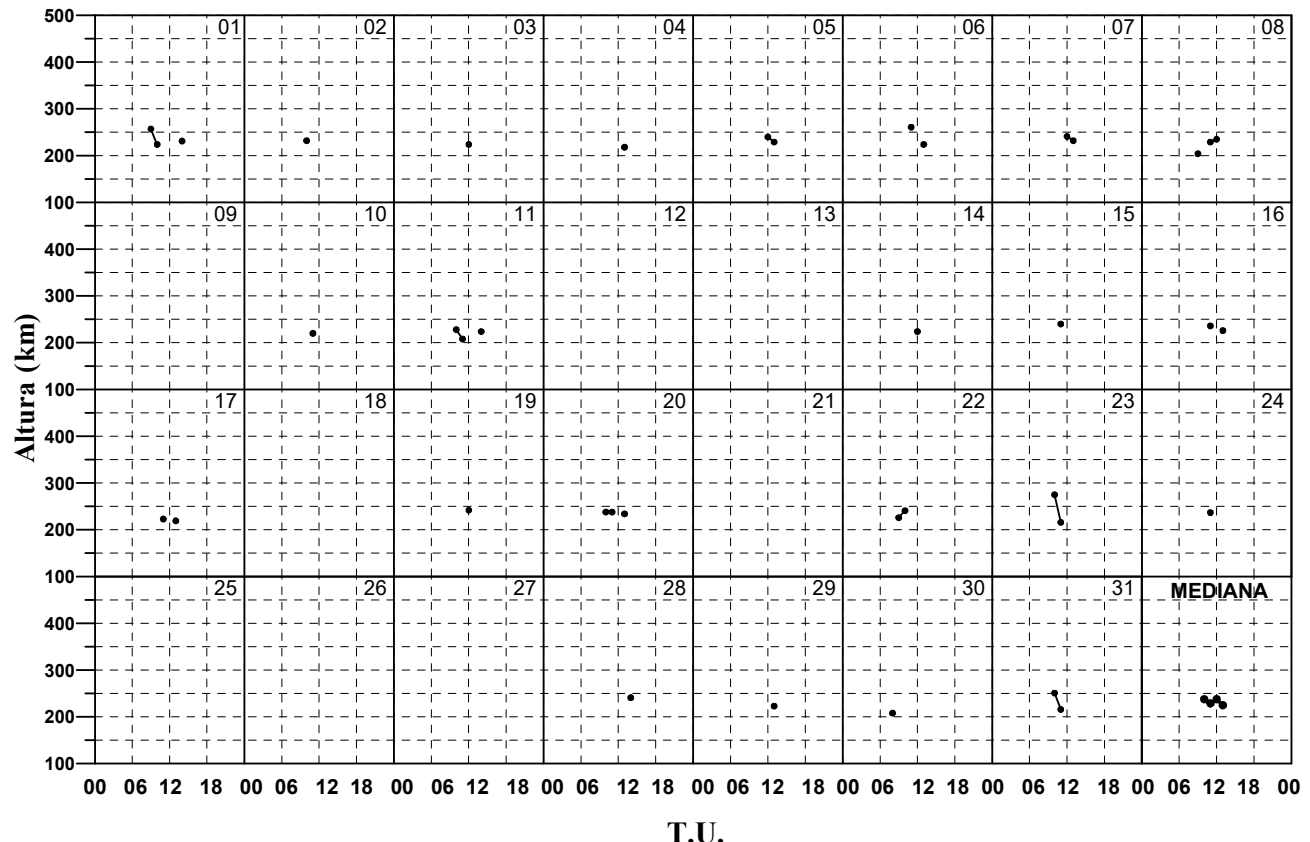
**Desembre 2021**

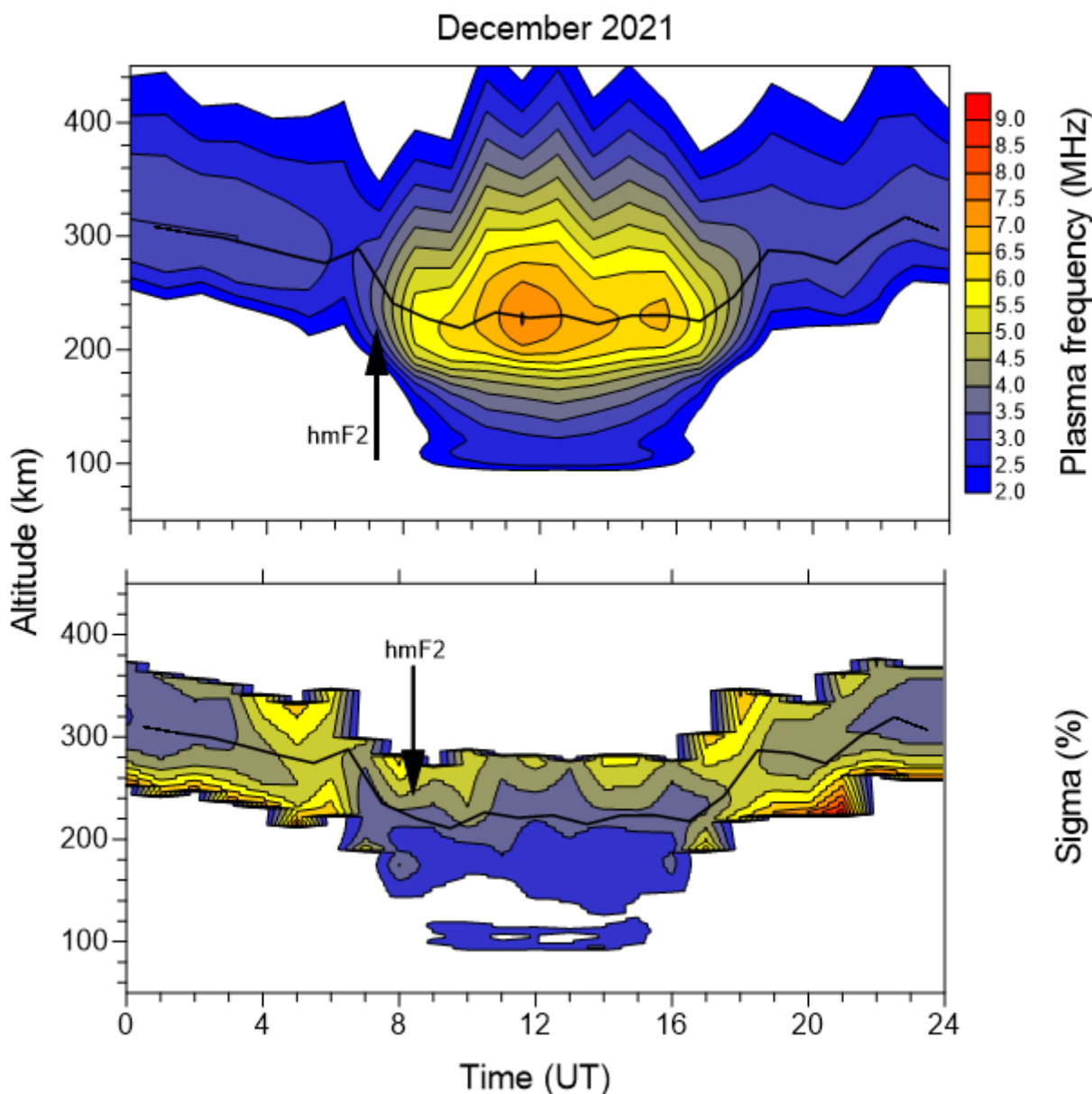
**foF1**



**Desembre 2021**

**h'F2**





Variació diürna típica de la densitat electrònica (Freqüència de plasma) i la seva desviació estàndard (%) a sobre de l'observatori en funció de l'altura.

Variación diurna típica de la densidad electrónica (Frecuencia de plasma) y su desviación estándar (%) sobre el Observatorio en función de la altura.

Typical daily variation of the electron density (Plasma frequency) and its standard deviations (%) above the Observatory as function of the altitude.





Ser i Saber

